

สำนักหอสมุดกลาง พระจอมเกล้าลาดกระบัง

ระบบไฟสถานบันเทิงแบบอัตโนมัติตามจังหวะเสียงดนตรี

AUTOMATIC TEMPO-BASED ON-STAGE FLASHING LIGHT SYSTEM



T117483



เลขหมู่.....

เลขทะเบียน 117483

วัน,เดือน,ปี 5 ต.ค. 2554



ปริญญานิพนธ์นี้เป็นส่วนหนึ่งของการศึกษาตามหลักสูตรปริญญาวิศวกรรมศาสตรบัณฑิต
สาขาวิชาวิศวกรรมโทรคมนาคม
คณะวิศวกรรมศาสตร์
สถาบันเทคโนโลยีพระจอมเกล้าเจ้าคุณทหารลาดกระบัง
ปีการศึกษา 2553

เอกสารนี้เป็นเอกสารที่สงวนไว้สำหรับการใช้งานเพื่อการศึกษาเท่านั้น ไม่อนุญาตให้นำไปใช้ประโยชน์ด้านการค้า
ไม่ว่ากรณีใดๆ ทั้งสิ้น อีกทั้งห้ามมิให้ดัดแปลงเนื้อหา และต้องอ้างอิงถึงเจ้าของเอกสารทุกครั้งที่มีการนำไปใช้

สำนักหอสมุดกลาง พระจอมเกล้าลาดกระบัง

ระบบไฟสถานบันเทิงแบบอัตโนมัติตามจังหวะเสียงดนตรี

AUTOMATIC TEMPO-BASED ON-STAGE FLASHING LIGHT SYSTEM



โดย
นายกฤษดา บาตะศรี
นายกานต์ ดวงประทีป
นายณัฐธีร์ อรุณวิจิตรสกุล

เลขหมู่.....
เลขทะเบียน..... 117483
วัน,เดือน,ปี..... 5 ต.ค. 2554

12336981

ปริญญานิพนธ์นี้เป็นส่วนหนึ่งของการศึกษาตามหลักสูตรปริญญาวิศวกรรมศาสตรบัณฑิต

สาขาวิชาวิศวกรรมโทรคมนาคม

คณะวิศวกรรมศาสตร์

สถาบันเทคโนโลยีพระจอมเกล้าเจ้าคุณทหารลาดกระบัง

ปีการศึกษา 2553

ผ่านการตรวจรปล่มแล้ว

(ลงชื่อ).....ผู้ตรวจ

ผ่านการตรวจฉบับนี้แล้ว

(ลงชื่อ).....ผู้ตรวจ

เอกสารนี้เป็นเอกสารสงวนไว้สำหรับการใช้งานเพื่อการศึกษาเท่านั้น ไม่อนุญาตให้นำไปเผยแพร่หรือใช้ประโยชน์ด้านการค้า
ไม่ว่ากรณีใดๆ ทั้งสิ้น อีกทั้งห้ามมิให้ตัดแปลงเนื้อหา และต้องอ้างอิงถึงเจ้าของเอกสารฉบับนี้ที่มีการนำไปใช้

ปริญญาโทปีการศึกษา 2553

สาขาวิชาวิศวกรรมโทรคมนาคม

คณะวิศวกรรมศาสตร์ สถาบันเทคโนโลยีพระจอมเกล้าเจ้าคุณทหารลาดกระบัง

เรื่อง ระบบไฟสถานบันเทิงแบบอัตโนมัติตามจังหวะเสียงดนตรี

AUTOMATIC TEMPO-BASED ON-STAGE FLASHING LIGHT SYSTEM

ผู้จัดทำ

- | | | |
|---------------|----------------|----------|
| 1. นายกฤษดา | บาตะศรี | 50010051 |
| 2. นายกษานต์ | ดวงประทีป | 50010060 |
| 3. นายณัฐธีร์ | อรุณวิจิตรสกุล | 50010458 |

(ผศ. ดร. พิพัฒน์ พรหมณี)

อาจารย์ที่ปรึกษา

(ดร.มนตรี คำเงิน)

อาจารย์ที่ปรึกษาร่วม

เอกสารนี้เป็นเอกสารที่สงวนไว้สำหรับการใช้งานเพื่อการศึกษาเท่านั้น ไม่อนุญาตให้นำไปใช้ประโยชน์ด้านการค้า
ไม่ว่ากรณีใดๆ ทั้งสิ้น อีกทั้งห้ามมิให้ดัดแปลงเนื้อหา และต้องอ้างอิงถึงเจ้าของเอกสารทุกครั้งที่มีการนำไปใช้

กิตติกรรมประกาศ

ขอขอบพระคุณ ศศ.ดร.พิพัฒน์ พรหมมี เป็นอย่างสูงที่ได้ช่วยแนะนำให้คำปรึกษาในการทำปริญญาบัตรนี้ ตลอดจนคณาจารย์ทุกท่านที่ได้ให้การอบรมสั่งสอนแก่ผู้จัดทำที่มีส่วนช่วยเหลือในการจัดทำปริญญาบัตรนี้ให้สำเร็จลุล่วงไปด้วยดี รวมถึงห้องสมุดคณะวิศวกรรมศาสตร์ที่ทำให้ได้มีแนวคิดในการทำโครงการนี้

ขอขอบคุณเพื่อน และ รุ่นพี่ที่คอยเป็นกำลังใจและให้ความช่วยเหลืออยู่เสมอในการจัดทำ ตลอดจนเพื่อนร่วมปริญญาบัตรที่ให้ความเป็นเพื่อนและกำลังใจในการฝ่าฟันอุปสรรคร่วมคิดและแก้ปัญหา นับเป็นสิ่งล้ำค่าที่สุดที่หาไม่ได้ในตำราเรียน

สิ่งหนึ่งที่ขาดเสียไม่ได้ ขอขอบพระคุณบิดา มารดา และครอบครัวที่คอยช่วยเหลือเกื้อกูล ส่งเสริมให้ข้าพเจ้าได้ร่ำเรียนและเป็นกำลังใจในชีวิตของข้าพเจ้า

คณะผู้จัดทำ

ระบบไฟสถานบันเทิงแบบอัตโนมัติตามจังหวะเสียงดนตรี
 AUTOMATIC TEMPO-BASED ON-STAGE
 FLASHING LIGHT SYSTEM

โดย นายกฤษดา บาตะศรี 50010051
 นายกษานต์ ดวงประทีป 50010060
 นายณัฐธีร์ อรุณวิจิตรสกุล 50010458

อาจารย์ที่ปรึกษา ผศ.ดร. พิพัฒน์ พรหมมี

อาจารย์ที่ปรึกษาร่วม ดร. มนตรี คำเงิน

บทคัดย่อ

โครงการนี้นำเสนอระบบไฟสถานบันเทิงแบบอัตโนมัติตามจังหวะเสียงดนตรี โดยระบบจะแยกแยะจังหวะดนตรีช้า ปานกลาง และ เร็ว ด้วยโปรแกรมบนคอมพิวเตอร์ และ เชื่อมต่อกับไมโครคอนโทรลเลอร์ โดยจะทำงานร่วมกันแบบอัตโนมัติและ ตามที่กำหนด ทั้งช่วงเวลา และ ตำแหน่งของหลอดไฟ โดยไมโครคอนโทรลเลอร์จะเก็บรูปแบบการกะพริบของไฟได้ต่างๆ ตามจังหวะดนตรีโดยสัญญาณควบคุมจะออกจากไมโครคอนโทรลเลอร์ไปยังชุดขับไดรแอกเพื่อจับหลอดไฟให้กะพริบตามจังหวะเสียงดนตรี และ โปรแกรมที่กำหนด

ABSTRACT

This project presents Automatic tempo-based on-stage flashing light system. Tempo of music (slow, medium and fast) is detected by using the program on the computer. The computer and microcontroller are connected and functioned for automatic or manual controlled of timing and position of the bulbs. Microcontroller provides the number of patterns for display based on the tempo of music. The system provides outputs for the bulb driver circuit. The several bulbs can be flashed based on the music tempo or manual programmed.

เอกสารนี้เป็นเอกสารที่สงวนไว้สำหรับการใช้งานเพื่อการศึกษาเท่านั้น ไม่อนุญาตให้นำไปใช้ประโยชน์ด้านการค้า ไม่ว่ากรณีใดๆ ทั้งสิ้น อีกทั้งห้ามมิให้ตัดแปลงเนื้อหา และต้องอ้างอิงถึงเจ้าของเอกสารทุกครั้งที่มีการนำไปใช้

สารบัญ

	หน้า
กิตติกรรมประกาศ	I
บทคัดย่อ	II
สารบัญ	III
สารบัญรูป	V
สารบัญตาราง	VIII
บทที่ 1	
บทนำ	9
1.1 ความเป็นมาและความสำคัญของปัญหา	9
1.2 วัตถุประสงค์	10
1.3 ขอบเขตของปริญญานิพนธ์	11
บทที่ 2	
ทฤษฎีและหลักการที่เกี่ยวข้อง	13
2.1 ทฤษฎีการตรวจจับจังหวะหรือบีตของเฟดริก พาติน (FEDERIC PATIN)	13
2.2 ทฤษฎีพื้นฐานของเอสซีอาร์ (SCR)	30
2.3 ทฤษฎีพื้นฐานของไดแอค (DIAC)	34
2.4 ทฤษฎีพื้นฐานของไตรแอค (TRIAC)	36
2.5 ทฤษฎีพื้นฐานของโซลิดสเตตรีเลย์ (SOLID STATE RELAY: SSR)	41
2.6 ทฤษฎีพื้นฐานของออฟ โต ไอ โซเลเตอร์ (OPTO-ISOLATOR)	42
2.7 ทฤษฎีพื้นฐานของไมโครคอนโทรลเลอร์ (MICROCONTROLLER)	45
2.8 หลักการทำงานและโครงสร้างของคีย์แพด	58
2.9 โปรแกรม KEIL C51 (UVISION 2)	61
2.10 โปรแกรม VISUAL STUDIO 2008	62

เอกสารนี้เป็นเอกสารที่สงวนไว้สำหรับการใช้งานเพื่อการศึกษาเท่านั้น ไม่อนุญาตให้นำไปใช้ประโยชน์ด้านการค้า
ไม่ว่ากรณีใดๆ ทั้งสิ้น อีกทั้งห้ามมิให้ดัดแปลงเนื้อหา และต้องอ้างอิงถึงเจ้าของเอกสารทุกครั้งที่มีการนำไปใช้

สารบัญ (ต่อ)

	2.11 โปรแกรม PROCESSING	71
บทที่ 3	การออกแบบและการจัดทำโครงการ	76
	3.1 การออกแบบ	77
	3.2 เครื่องมือที่ใช้ในการทดลอง	96
	3.3 การจัดเก็บผลการทดลอง	96
บทที่ 4	ผลการทดลอง	98
	4.1 ผลการทดลองของระบบจัดเก็บรูปแบบการกระพริบของหลอดไฟและชุดควบคุมการกระพริบของหลอดไฟ	98
	4.2 ผลการทดลองโดยวัดผลรูปแบบการกระพริบของหลอดไฟแสดงเป็นภาพถ่าย	102
	4.3 ผลการเขียนแอปพลิเคชัน BEATLES MUSIC PLAYER	108
	4.4 ผลการทดลองการบันทึกจากการตรวจนับปีด	109
บทที่ 5	สรุปผลและข้อเสนอแนะ	113
	5.1 สรุปผล	113
	5.2 ข้อเสนอแนะ	114
บรรณานุกรม		115
ภาคผนวก ก	เอกสารอ้างอิง	116
ภาคผนวก ข	ข้อมูลอุปกรณ์อ้างอิง	153

เอกสารนี้เป็นเอกสารที่สงวนไว้สำหรับการใช้งานเพื่อการศึกษาเท่านั้น ไม่อนุญาตให้นำไปใช้ประโยชน์ด้านการค้าไม่ว่ากรณีใดๆ ทั้งสิ้น อีกทั้งห้ามมิให้ดัดแปลงเนื้อหา และต้องอ้างอิงถึงเจ้าของเอกสารทุกครั้งที่มีการนำไปใช้

สารบัญรูป

รูปที่	หน้า
1.1 บล็อกไดอะแกรมระบบไฟสถานบนเท็งแบบอัตโนมัติตามจังหวะเสียงคนตรี	12
2.1 การเก็บข้อมูลในแต่ละซับแบนด์ของเฟดริก พาดิน	20
2.2 ขบวนการอิมพัลส์โดยแสดงลักษณะเฉพาะของคาบเวลาระหว่างพัลส์ (TI)	24
2.3 กราฟแสดงค่า E_{BPMc} เพื่อใช้ในการหา BEAT PER MINUTE ของเพลง	30
2.4 (ก) โครงสร้าง (ข) วงจรสมมูล และ (ค) สัญลักษณ์ของเอสซีอาร์	31
2.5 การจุดชนวนให้เอสซีอาร์นำกระแส	32
2.6 การทำให้เอสซีอาร์หยุดนำกระแสโดยวิธี ANODE CURRENT INTERRUPTION	33
2.7 การทำให้เอสซีอาร์หยุดนำกระแสโดยวิธี FORCED COMMUTATION	34
2.8 โครงสร้างและสัญลักษณ์ของ ไตรแอก	35
2.9 กราฟแสดงลักษณะสมบัติของ ไตรแอก	35
2.10 (ก) โครงสร้างของ ไตรแอก (ข) สัญลักษณ์ของ ไตรแอก ส่วนประกอบ	37
2.11 (ก) สัญลักษณ์ของ ไตรแอก (ข) วงจรสมมูลของ ไตรแอก แสดงวงจร	38
2.12 การทำงานของ ไตรแอก ทั้ง 4 ควอเตอร์	39
2.13 กราฟแสดงสมบัติของ ไตรแอก	40
2.14 โครงสร้างการทำงาน โดยทั่วไปของ โซลิตสเตรีย	42
2.15 รูปร่างและลักษณะต่าง ๆ ของ อุปกรณ์ แยกกันทางแสงแบบ (ก) (ข) และ (ค)	43
2.16 วงจรภายในและวงจรใช้งานของ อุปกรณ์ แยกกันทางแสง	43
2.17 อุปกรณ์ แยกกันทางแสงแบบต่าง ๆ	44
2.18 โครงสร้างพื้นฐานของ ไมโครคอนโทรลเลอร์	46
2.19 โครงสร้างภายในของ ไมโครคอนโทรลเลอร์เบอร์ AT89C51	50
2.20 การจัดขาของ ไมโครคอนโทรลเลอร์เบอร์ AT89C51	51

สารบัญรูป (ต่อ)

รูปที่	หน้า
2.21 การจัดสรรหน่วยความจำโปรแกรมไมโครคอนโทรลเลอร์ AT89C51	53
2.22 โครงสร้างหน่วยความจำข้อมูลภายในของ AT89C51	54
2.23 การทำงานของพอร์ตลักษณะอินพุต	56
2.24 ลักษณะการทำงานเป็นพอร์ตเอาต์พุต เมื่อกำหนดให้สภาวะลอจิกเป็น 0	57
2.25 ลักษณะการทำงานเป็นพอร์ตเอาต์พุต เมื่อกำหนดให้สภาวะลอจิกเป็น 1	57
2.26 ลักษณะ โครงสร้างของคีย์แพด	58
2.27 การทำงานของสวิทช์	59
2.28 การเกิด CONTACT BOUNCE หรือการกดสัมผัส	59
2.29 การเชื่อมต่อคีย์แพดเข้ากับ ไมโครคอนโทรลเลอร์	60
2.30 หน้าต่างการใช้งาน โปรแกรม KEIL C51 (UVISION 2)	62
2.31 โปรแกรม VISUAL STUDIO 2008	63
2.32 ตัวอย่างการเริ่มต้นใช้งาน โปรแกรม VISUAL STUDIO 2008	64
2.33 ตัวอย่างการเริ่มต้นใช้งาน โปรแกรม VISUAL STUDIO 2008(2)	65
2.34 ตัวอย่างการเริ่มต้นใช้งาน โปรแกรม VISUAL STUDIO 2008(3)	65
2.35 ตัวอย่างการเริ่มต้นใช้งาน โปรแกรม VISUAL STUDIO 2008(4)	66
2.36 เมนูบาร์ (MENU BAR)	66
2.37 ทูลบาร์ (TOOL BAR)	67
2.38 หน้าต่าง TOOLBOX	68
2.39 หน้าต่าง FORM DESIGNER	69
2.40 หน้าต่าง SOLUTION EXPLORER	69
2.41 หน้าต่าง PROPERTIES WINDOW	70
2.42 หน้าต่าง TASK LIST	70
2.43 โปรแกรม PROCESSING และหนังสือ “A PROGRAMMING HANDBOOK FOR VISUAL DESIGNERS AND ARTISTS”	71
2.44 หน้าต่าง โปรแกรม PROCESSING	72

เอกสารนี้เป็นเอกสารที่สงวนไว้สำหรับการใช้งานเพื่อการศึกษาเท่านั้น ไม่อนุญาตให้นำไปใช้ประโยชน์ด้านการค้า ไม่ว่ากรณีใดๆ ทั้งสิ้น อีกทั้งห้ามมิให้ตัดแปลงเนื้อหา และต้องอ้างอิงถึงเจ้าของเอกสารทุกครั้งที่มีการนำไปใช้

สารบัญรูป (ต่อ)

รูปที่	หน้า
3.1 บล็อกโคอะแกรมระบบไฟสถานบันเทิงแบบอัตโนมัติตามจังหวะเสียงดนตรี	77
3.2 วงจรรวมของระบบไฟสถานบันเทิงแบบอัตโนมัติตามจังหวะเสียงดนตรี	79
3.3 การเชื่อมต่อระหว่างไมโครคอนโทรลเลอร์(AT89C51,AT89C4051), คีย์แพด และ วงจรมาตรฐาน RS-232	80
3.4 การเชื่อมต่อระหว่างไมโครคอนโทรลเลอร์ (AT89C4051) กับคีย์แพด	82
3.5 การเชื่อมต่อระหว่างวงจรมาตรฐาน RS-232 กับไมโครคอนโทรลเลอร์ (AT89C52) และสวิตช์สองทาง	84
3.6 วงจรควบคุมหลอดไฟ (LAMP CONTROL CIRCUIT)	85
3.7 โพลวัชอาร์ตของโปรแกรม	87
3.8 ชิ้นงานที่เสร็จสมบูรณ์	91
3.9 การออกแบบแอปพลิเคชันด้วยโปรแกรม VISUAL STUDIO 2008	92
3.10 การเก็บข้อมูลในแต่ละซับบนคีย์	94
3.11 หน้าต่างโปรแกรม PROCESSING ขณะทำการประมวลผล	96
4.1 สัญญาณที่วัดจากพอร์ต P0.0 ถึงพอร์ต P0.3 ตัวอย่างที่ 1	99
4.2 สัญญาณที่วัดจากพอร์ต P0.0 ถึงพอร์ต P0.3 ตัวอย่างที่ 2	100
4.3 สัญญาณที่วัดจากพอร์ต P0.0 ถึงพอร์ต P0.3 ตัวอย่างที่ 3	102
4.4 รูปแบบการกระพริบของหลอดไฟ ตัวอย่างที่ 1	103
4.5 รูปแบบการกระพริบของหลอดไฟ ตัวอย่างที่ 2	104
4.6 รูปแบบการกระพริบของหลอดไฟ ตัวอย่างที่ 2(2)	106
4.7 รูปแบบการกระพริบของหลอดไฟ ตัวอย่างที่ 3	107
4.8 หน้าต่างแอปพลิเคชัน BEATLES MUSIC PLAYER	108
4.9 หน้าต่างแอปพลิเคชัน BEATLES MUSIC PLAYER (2)	109
4.10 หน้าต่างโปรแกรม GUITAR PRO 5	110

เอกสารนี้เป็นเอกสารที่สงวนไว้สำหรับการใช้งานเพื่อการศึกษาเท่านั้น ไม่อนุญาตให้นำไปใช้ประโยชน์ด้านการค้า ไม่ว่ากรณีใดๆ ทั้งสิ้น อีกทั้งห้ามมิให้ตัดแปลงเนื้อหา และต้องอ้างอิงถึงเจ้าของเอกสารทุกครั้งที่มีการนำไปใช้

สารบัญตาราง

ตารางที่	หน้า
2.1 คุณสมบัติที่สำคัญของ ไตรแอกทีนียมโซ่	41
2.2 คุณสมบัติของไมโครคอนโทรลเลอร์ตระกูล MCS-51	49
3.1 ความสัมพันธ์ระหว่างคอลัมน์และกีย์ที่ถูกเลือก	81
3.2 สถานะการทำงานของแต่ละกีย์	81
4.1 ตารางการเปรียบเทียบผลที่ได้กับค่าที่กำหนดในการออกแบบซอฟต์แวร์ ตัวอย่างที่ 1	99
4.2 ตารางการเปรียบเทียบผลที่ได้กับค่าที่กำหนดในการออกแบบซอฟต์แวร์ ตัวอย่างที่ 2	101
4.3 ตารางการเปรียบเทียบผลที่ได้กับค่าที่กำหนดในการออกแบบซอฟต์แวร์ ตัวอย่างที่ 3	102
4.4 ตารางบันทึกค่าการเกิดบิตต่อหน้าที่เปรียบเทียบจากค่ามาตรฐานกับค่าเฉลี่ยจากการตรวจจับด้วยเมทรูด ISONSET()	111
4.5 ตารางบันทึกค่าการเกิดบิตต่อหน้าที่เปรียบเทียบจากค่ามาตรฐานกับค่าเฉลี่ยจากการตรวจจับด้วยเมทรูด ISSNARE()	111

บทที่ 1

บทนำ

1.1 ความเป็นมาและความสำคัญของปัญหา

ในปัจจุบันธุรกิจบันเทิงได้เติบโตขึ้นมาพร้อมกับเทคโนโลยีที่พัฒนาขึ้น โดยเฉพาะธุรกิจสถานบันเทิงที่ขยายตัวขึ้นอย่างรวดเร็วตอบสนองพฤติกรรมทางสังคมของมนุษย์ที่เปลี่ยนไปในสถานบันเทิงแต่ละแห่ง จะมีการจัดตกแต่งร้านให้เหมาะสมตามความต้องการของกลุ่มลูกค้า การแสดงดนตรี หรือมีการเปิดเพลงเพื่อสร้างบรรยากาศ โดยส่วนประกอบที่สำคัญที่จะช่วยสร้างความสวยงามและดึงดูดลูกค้าได้มากขึ้นคือการจัดรูปแบบของแสงไฟ ซึ่งจะเกี่ยวข้องกับอุปกรณ์ทางอิเล็กทรอนิกส์ที่มีให้เลือกใช้ได้หลายรูปแบบแตกต่างกันไป ความสามารถของอุปกรณ์เหล่านั้นจะขึ้นอยู่กับรูปแบบของการกระพริบของหลอดไฟที่หลากหลาย ทั้งนี้อุปกรณ์ที่มีความสามารถสูงก็จะมีราคาแพงตามไปด้วยเช่นกัน การจะสร้างอุปกรณ์เหล่านั้นนั้นจะต้องศึกษาเกี่ยวกับการควบคุมหลอดไฟด้วยวงจรต่างๆ รวมไปถึงจังหวะของดนตรีในแต่ละเพลงเพื่อให้การทำงานสอดคล้องกัน

“จังหวะ” ในหลักการของดนตรีเป็นเรื่องที่สามารถเข้าใจโดยสามัญชน แต่ค่อนข้างยากที่จะนิยามหรือเจาะจงความหมาย ทำให้เป็นปรากฏการณ์ที่ขึ้นอยู่กับมุมมองของแต่ละบุคคล ซึ่งไม่มีพื้นฐานในทางทฤษฎีใดๆ ที่สามารถอธิบายทฤษฎีของจังหวะเสียงดนตรีได้อย่างชัดเจน สิ่งเดียวที่ตั้งอยู่บนพื้นฐานความเป็นจริงคือ สิ่งที่มีมนุษย์รับฟังและเข้าใจตรงกันว่าสัญญาณเสียงนั้นๆ ประกอบด้วยจังหวะและเป็นเสียงเพลง เสียงดนตรี

ในการจำลองปรากฏการณ์ทางฟิสิกส์จำเป็นต้องอยู่ภายใต้หลักการหรือทฤษฎีทางคณิตศาสตร์ และมีผลลัพธ์ที่มีค่าเป็นตัวเลขที่สามารถเป็นไปได้เสมอ แต่หลักการนั้นไม่สามารถวัดค่าหรือตีกรอบให้กับสิ่งที่เป็นามธรรมได้ อาทิเช่น อารมณ์ ความรู้สึกของมนุษย์ ซึ่งไม่อยู่ภายใต้กฎเกณฑ์ทางคณิตศาสตร์ สิ่งที่ยากที่สุดที่มนุษย์สัมผัสรับรู้กลับเป็นเรื่องยากที่จะประมวลผลด้วยโปรแกรมใดๆ Beat Detection หรือการตรวจจับบีตทำงานภายใต้ความซับซ้อนดังกล่าว คือ สัมผัสจังหวะของเสียงเพลงที่เป็นธรรมชาติมากที่สุดสำหรับมนุษย์ ความรู้สึกแรกที่มนุษย์จะเคาะเท้าหรือ

เต้นเมื่อได้ยินเสียงเพลงตามจังหวะของเพลง ประเด็นสำคัญคือการสั่งงานให้คอมพิวเตอร์ที่ทำได้

เอกสารนี้เป็นเอกสารที่สงวนไว้สำหรับการใช้งานเพื่อการศึกษาเท่านั้น ไม่นิยามให้นำไปใช้ประโยชน์ด้านการค้า ไม่ว่ากรณีใดๆ ทั้งสิ้น อีกทั้งห้ามมิให้ตัดแปลงเนื้อหา และต้องอ้างอิงถึงเจ้าของเอกสารทุกครั้งที่มีการนำไปใช้

เพียงประมวลผลให้รู้จักกับคำว่า “จังหวะ” หรือ “บิต” ที่เป็นเรื่องธรรมชาติสำหรับมนุษย์ ซึ่งมีหลายขั้นตอนวิธีการทั้งแบบแม่นยำมากและน้อยแตกต่างกันไป

สำหรับปริญญาโทฉบับนี้จะเป็นการออกแบบและสร้างระบบไฟสถานะบนเท็งแบบอัตโนมัติตามจังหวะเสียงดนตรี ข้อดีของระบบคือสามารถเลือกรูปแบบของการกะพริบของหลอดไฟได้ทั้งความเร็วและตำแหน่งของหลอดไฟแต่ละสี เพื่อให้การกะพริบของหลอดไฟสอดคล้องกับจังหวะของเพลง ทำให้การทำงานยืดหยุ่นมากขึ้นและมีราคาประหยัดเมื่อเทียบกับอุปกรณ์ที่มีความสามารถในระดับเดียวกัน โดยระบบจะประกอบด้วยการแอปพลิเคชันบนคอมพิวเตอร์และโปรแกรมตรวจจับบิตเพื่อส่งการให้หลอดไฟกะพริบตามเสียงดนตรี อีกทั้งยังมีรูปแบบการกะพริบอีกมากมายทั้งการสุมเลือกหรือกดคีย์แพด จากนั้นจะส่งข้อมูลไปยังไมโครคอนโทรลเลอร์ (เบอร์ AT89C52) ซึ่งเป็นส่วนที่เลือกรูปแบบการกะพริบของหลอดไฟ โดยจะทำการสุมเลือกรูปแบบการกะพริบในหมวดต่างๆตามค่าอินพุตที่ได้รับจากคอมพิวเตอร์ หรือสามารถเลือกรูปแบบการกะพริบของหลอดไฟที่กำหนดเอง หรือเลือกให้หลอดไฟกะพริบตามจังหวะเสียงดนตรีโดยอัตโนมัติด้วยคีย์แพดขนาด 3x4 ซึ่งควบคุมโดยไมโครคอนโทรลเลอร์ตัวที่สอง (AT89C4051) ซึ่งการเลือกใช้งานจะสลับการทำงานด้วยสวิตช์เพื่อเลือกว่าจะรับสัญญาณอินพุตจากคอมพิวเตอร์หรือจากคีย์แพดซึ่งต่อกับไมโครคอนโทรลเลอร์ตัวที่สอง จากนั้นไมโครคอนโทรลเลอร์ตัวแรกก็จะส่งสัญญาณควบคุมไปยังชุดขับ ไตรแอกเพื่อขับหลอดไฟให้กะพริบตามโปรแกรมต่อไป

1.2 วัตถุประสงค์

- 1) ออกแบบและสร้างระบบไฟสถานะบนเท็งแบบอัตโนมัติตามจังหวะเสียงดนตรี
- 2) ศึกษาและทดลองเขียนโปรแกรมด้วยภาษา C# และ Java เพื่อออกแบบโปรแกรมบนคอมพิวเตอร์ และภาษา C ในการควบคุมไมโครคอนโทรลเลอร์ MCS-51
- 3) ศึกษาและทดลองเขียนแอปพลิเคชันด้วยโปรแกรม Visual Studio 2008 และโปรแกรม Processing
- 4) ศึกษาทฤษฎีของการวิเคราะห์สัญญาณเสียงและประยุกต์ใช้งาน
- 5) ศึกษาการทำงานและการสร้างวงจร ไตรแอกเพื่อควบคุมหลอดไฟ
- 6) ศึกษาหลักการการทำงานของวงจร โซลิดสเตทรีเลย์
- 7) ศึกษาการใช้งานไมโครคอนโทรลเลอร์ MCS-51

เอกสารนี้เป็นเอกสารที่สงวนไว้สำหรับการใช้งานเพื่อการศึกษาเท่านั้น ไม่อนุญาตให้นำไปใช้ประโยชน์ด้านการค้าไม่ว่ากรณีใดๆ ทั้งสิ้น อีกทั้งห้ามมิให้ดัดแปลงเนื้อหา และต้องอ้างอิงถึงเจ้าของเอกสารทุกครั้งที่มีการนำไปใช้

- 8) ประยุกต์หลักการต่างๆที่เกี่ยวข้องกับการตรวจจับบีตในเพลง เพื่อพัฒนาและนำไปออกแบบระบบไฟสถานบันเทิงแบบอัตโนมัติตามจังหวะเสียงดนตรีที่มีคุณภาพที่ดีในอนาคต

1.3 ขอบเขตของปริญญานิพนธ์

ขอบเขตการทำงานแบ่งเป็นสองส่วนหลักคือ ในส่วนของ โปรแกรมบนคอมพิวเตอร์ และ ส่วนของระบบบันทึกรูปแบบการกระพริบของหลอดไฟ

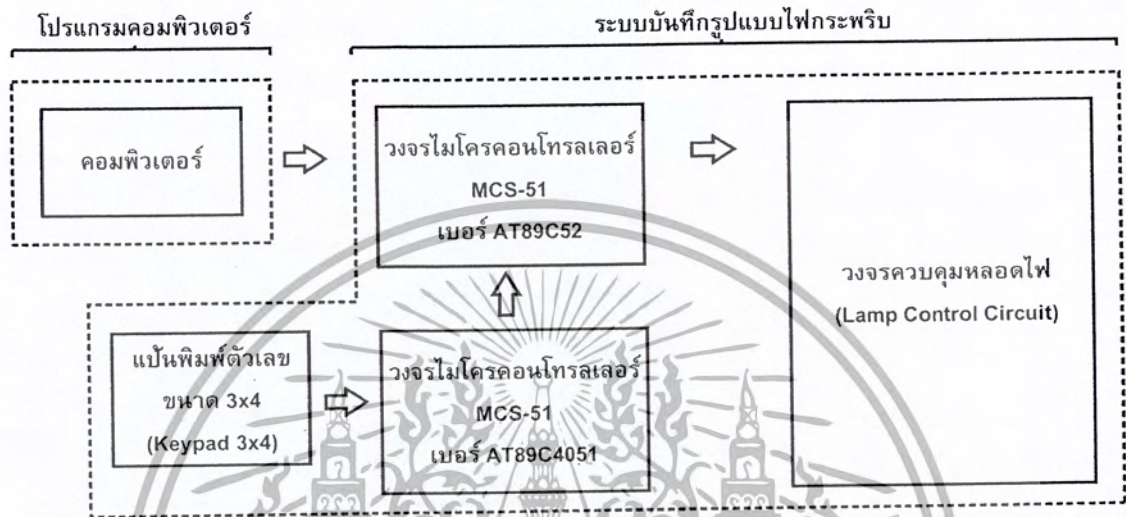
ในส่วนของโปรแกรมบนคอมพิวเตอร์ จะเป็นการเขียน โปรแกรมภาษา C# ด้วยโปรแกรม Visual Studio 2008 เมื่อทำการเล่นเพลงจากในคอมพิวเตอร์ โปรแกรมนี้จะทำการเรียกใช้ แอปพลิเคชันจาวาจากโปรแกรม Processing ซึ่งสามารถตรวจจับและทำการวิเคราะห์สัญญาณด้วยวิธีการต่างๆทำให้สามารถสั่งการให้ระบบบันทึกรูปแบบไฟกระพริบสามารถสั่งการหลอดไฟให้กระพริบตามจังหวะเสียงดนตรีได้ โดยโปรแกรมจะมีรูปแบบเป็นแอปพลิเคชันบนคอมพิวเตอร์ สะดวกต่อการ เล่นเพลง, หยุดเพลง, เร่ง-ถอยหลัง และเรียงคิวเพลง ได้ จากนั้นจะส่งสัญญาณไปเลือกรูปแบบการกระพริบของหลอดไฟบนไมโครคอนโทรลเลอร์ ซึ่งเชื่อมต่อด้วยการส่งข้อมูลแบบอนุกรมตามมาตรฐาน RS-232

ส่วนที่สองทำการสร้างรูปแบบของไฟกระพริบและเก็บรูปแบบต่างๆไว้ในไมโครคอนโทรลเลอร์ (AT89C52) โดยเขียนโปรแกรมสั่งงานด้วยภาษาซี ระบบจะทำงานแบ่งเป็นสองลักษณะซึ่งสลับการทำงานด้วยสวิทช์ คือ ในส่วนแรกจะรับค่าอินพุตที่ได้จากโปรแกรมบนคอมพิวเตอร์ ส่วนต่อมาจะเป็นการกระพริบของหลอดไฟในลักษณะแบบกำหนดเอง โดยการกดสวิทช์ที่คีย์แพนขนาด 3x4 ควบคุมโดยไมโครคอนโทรลเลอร์ (AT89C4051) และจะเป็นตัวส่งสัญญาณควบคุมไปยังไมโครคอนโทรลเลอร์ (AT89C52) โดยสามารถใช้งานได้ทั้งหมด 12 ปุ่ม (12 รูปแบบ) แบ่งออกเป็น รูปแบบการกระพริบของเพลงช้า-กลาง-เร็วอย่างละ 3 ปุ่ม และแบบกำหนดได้ด้วยตนเอง (ควบคุมหลอดไฟด้วยตนเอง) 3 ปุ่ม รวมทั้งหมด 12 ปุ่ม

สัญญาณควบคุมการกระพริบของหลอดไฟจะส่งจากไมโครคอนโทรลเลอร์ (AT89C52) ไปยังวงจรควบคุมหลอดไฟ ซึ่งประกอบด้วย วงจรของโซลิดสเตทรีเลย์และวงจรไดรแอกแบบออปโตไอโซเลเตอร์ (TIC206C) ซึ่งทำงานที่โหลตตั้งแต่ 5 วัตต์ที่ 240 โวลต์ ไปจนถึง

เอกสารนี้เป็นเอกสารที่สงวนไว้สำหรับการใช้งานเพื่อการศึกษาเท่านั้น ไม่อนุญาตให้นำไปใช้ประโยชน์ด้านการค้าไม่ว่ากรณีใดๆ ทั้งสิ้น อีกทั้งห้ามมิให้คัดแปลงเนื้อหา และต้องอ้างอิงถึงเจ้าของเอกสารทุกครั้งที่มีการนำไปใช้

โหลต 250 วัตต์ที่ 240 โวลต์ โดยมีแผ่นระบายความร้อนขนาดที่รองรับความร้อนได้ 17 องศาเซลเซียสต่อวัตต์ (17° c/w) บล็อกไดอะแกรมระบบไฟสถานบ้านเชิงแบบอัตโนมัติตามจังหวัดเสียงนครีแสดงดังรูปที่ 1.1



รูปที่ 1.1 บล็อกไดอะแกรมระบบไฟสถานบ้านเชิงแบบอัตโนมัติตามจังหวัดเสียงนครี

เอกสารนี้เป็นเอกสารที่สงวนไว้สำหรับการใช้งานเพื่อการศึกษาเท่านั้น ไม่อนุญาตให้นำไปใช้ประโยชน์ด้านการค้า ไม่ว่ากรณีใดๆ ทั้งสิ้น อีกทั้งห้ามมิให้ดัดแปลงเนื้อหา และต้องอ้างอิงถึงเจ้าของเอกสารทุกครั้งที่มีการนำไปใช้

บทที่ 2

ทฤษฎีและหลักการที่เกี่ยวข้อง

2.1 ทฤษฎีการตรวจจับจังหวะหรือบีตของเฟดริก พาติน (Federic Patin)

ในช่วงหลายปีที่ผ่านมาการวิเคราะห์เพื่อแยกพัลส์ของจังหวะเสียงดนตรี โดยอัตโนมัติ เป็นหัวข้องานวิจัยที่น่าสนใจมาก เฟดริก พาติน (Federic Patin) เป็นผู้หนึ่งที่ได้ทดลองค้นคว้าการตรวจจับบีตหรือจังหวะของเพลงต่างๆ (Beat Detection) โดยมีความคิดริเริ่มมาจาก อีริก ดี เชียร์เรอร์ (Eric d. Sheirer) ผู้เขียนรายงานการวิจัย “การวิเคราะห์จังหวะและบีตของสัญญาณเสียงดนตรี (Tempo and beat analysis of acoustic musical signal)” ของมหาวิทยาลัยเคมบริดจ์ ประเทศอังกฤษ โดยการค้นคว้าของ เฟดริก พาติน ได้วางกรอบทฤษฎีและการคำนวณที่น่าสนใจและเป็นประโยชน์ต่อการทำปริญญานิพนธ์นี้เป็นอย่างมาก

เฟดริกเลือกที่จะใช้หลักการของการวิเคราะห์สัญญาณ (Signal Processing) เพื่อการตรวจจับบีตที่มีประสิทธิภาพมากที่สุด อย่างไรก็ตามเขาเพียงแต่วางแนวทางและทฤษฎีไว้แต่ยังไม่เคยทดลองใช้งานอย่างจริงจัง ทฤษฎีของเขาคาดว่า ในการได้ยินของมนุษย์ การจะรับรู้จังหวะหรือบีตของเสียงเพลงนั้น เกิดขึ้นจากคลื่นเสียงจะถูกเปลี่ยนแปลงเป็นสัญญาณไฟฟ้า จากนั้นสมองจะตีความคลื่นสัญญาณไฟฟ้านั้นและจะรับรู้ว่าเป็นบีต สังเกตได้ว่ายิ่งคลื่นเสียงนั้นมีพลังงานเสียงมากเท่าใด สมองของมนุษย์จะรับรู้เสมือนเป็นลูกพลังงานเสียงขนาดใหญ่ซึ่งเข้าใจในทางธรรมชาติกันว่าเป็นบีต ซึ่งพลังงานเสียงที่มีขนาดใหญ่มากๆเกินกว่าพลังงานเสียงช่วงอื่นๆ ในเพลง พลังงานเสียงนั้นจะถูกจัดว่าเป็นบีตและถูกเรียกว่า “พลังงานเสียงสูงสุด (Sound energy peaks)”

จากทฤษฎีข้างต้น การตรวจจับพลังงานสูงสุดจะใช้เทคนิค การคำนวณค่าพลังงานเสียงเฉลี่ยเปรียบเทียบกับค่าพลังงานเสียงปัจจุบัน โดยจะทำการคำนวณทั้งเป็น 2 ช่องสัญญาณหรือโหมคสเตอริโอ กล่าวคือ จะทำการคำนวณทั้งฝั่งซ้าย $a[n]$ และฝั่งขวา $b[n]$ ของสัญญาณ $a[n]$ จะเป็นค่าแอมพลิจูดของสัญญาณรับค่าได้ในช่วง T_e วินาทีสำหรับสัญญาณฝั่งซ้าย $b[n]$ จะเป็นค่าแอมพลิจูดของสัญญาณรับค่าได้ในช่วง T_e วินาทีสำหรับสัญญาณฝั่งขวา

เอกสารนี้เป็นเอกสารที่สงวนไว้สำหรับการใช้งานเพื่อการศึกษาเท่านั้น ไม่อนุญาตให้นำไปใช้ประโยชน์ด้านการค้าไม่ว่ากรณีใดๆ ทั้งสิ้น อีกทั้งห้ามมิให้ตัดแปลงเนื้อหา และต้องอ้างอิงถึงเจ้าของเอกสารทุกครั้งที่มีการนำไปใช้

โดยจะทำการสร้างพัลส์จำนวน 1024 แชนเนลเข้าไปในสัญญาณทั้ง $a[n]$ และ $b[n]$ เพื่อใช้ในการเก็บค่าพลังงานปัจจุบัน จะใช้บัพเฟอร์ วิ่งไปตามสตรึมของสัญญาณไปเรื่อยๆ เพื่อเก็บค่าพลังงานปัจจุบัน จากนั้นแทนแชนเนลจำนวน 44032 แชนเนล ซึ่งประมาณค่าเท่ากับ 1 วินาทีของเพลงโดยทั่วไปเพื่อใช้เก็บค่าพลังงานเฉลี่ยขณะนั้นเนื่องจากการได้ยินของมนุษย์จะรับรู้บิตในขณะนั้นได้เพียง 1 วินาทีเท่านั้น จากนั้นบัพเฟอร์ที่ใช้เก็บค่าพลังงานเฉลี่ยจะวิ่งตามสตรึมของสัญญาณทำให้มีความจำเป็นในการเก็บค่าพลังงานปัจจุบันใช้หลักการนี้ทำซ้ำไปเรื่อยๆ จนถึงสุดสตรึมเพลง เมื่อทำการเก็บค่าพลังงานปัจจุบันและพลังงานเฉลี่ยของเพลงในขณะนั้นได้แล้วจะทำการเปรียบเทียบกัน หากค่าพลังงานปัจจุบันมีมากกว่าค่าพลังงานเฉลี่ยข้างเคียงแล้ว ค่าพลังงานปัจจุบันนั้นจะถูกจัดว่าเป็นพลังงานเสียงสูงสุดที่เกิดขึ้น ณ ขณะนั้นและถูกจัดว่าเป็นบิต

โดยที่ค่าพลังงานเฉลี่ยของเพลงจะไม่ทำการคำนวณทั้งเพลงเพราะว่าในเพลงๆหนึ่งจะมีทั้งส่วนที่มีดนตรีเข้มข้นและบางส่วนที่มีดนตรีค่อนข้างเบาบาง ดังนั้นค่าพลังงานเฉลี่ยจะเก็บค่าเป็นช่วงเวลาเท่านั้น และจะเปรียบเทียบกับค่าพลังงานปัจจุบันเพื่อให้เพลงที่มีดนตรีเบาบางทั้งเพลงแต่ช่วงท้ายเพลงมีดนตรีเข้มข้น ช่วงท้ายเพลงจะไม่ส่งผลกระทบต่อค่าพลังงานเฉลี่ยทั้งหมด โดยหลักการที่กล่าวมาข้างต้น เรียกว่า “การวิเคราะห์การตรวจจับบิตในเชิงสถิติ (Statistical streaming Beat detection) สามารถแสดงเป็นขั้นตอนได้ดังนี้

2.1.1 ขั้นตอนวิธีการตรวจจับบิตในเชิงสถิติ แบบที่ 1

2.1.1.1 แทนค่าอย่างละ 1024 แชนเนลลงใน $a[n]$ และ $b[n]$ เพื่อคำนวณค่าพลังงานปัจจุบัน (Instant energy) ซึ่งในที่นี้จะแทนด้วยค่า e แทนด้วยสมการได้ดังสมการที่ 2.1

$$e = e_{\text{stereo}} = e_{\text{right}} + e_{\text{left}} = \sum_{k=i_0}^{i_0+1024} a[k]^2 + b[k]^2 \quad (2.1)$$

2.1.1.2 จำนวนค่าพลังงานปัจจุบัน ณ ช่วงเวลา (Local average energy) หรือแทนด้วยค่า $\langle E \rangle$ ด้วยค่าแซมเปิล 44032 แซมเปิล แสดงดังสมการที่ 2.2 (44100 คือค่า Sample rate ของไฟล์เพลง)

$$\langle E \rangle = \frac{1024}{44100} \times \sum_{i=0}^{44032} (B[0][i])^2 + (B[1][i])^2 \quad (2.2)$$

2.1.1.3 เลื่อนบัฟเฟอร์เก็บค่าไปทางขวาอีก 1024 แซมเปิล จะทำให้สามารถเก็บค่าแซมเปิลใหม่ได้ 1024 จากนั้นแซมเปิล ลบ 1024 แซมเปิลเก่าทิ้ง

2.1.1.4 เปรียบเทียบค่า e กับ $C \times \langle E \rangle$ โดยที่ค่า C คือค่าคงที่ความไวต่อสิ่งกระตุ้น (ในที่นี้จะใช้ค่า 1.3) ซึ่งจะขออธิบายในหัวข้อที่ 2.1.3

2.1.1.5 หากค่า e มีขนาดพลังงานใกล้เคียงกับ $C \times \langle E \rangle$ ค่าพลังงานปัจจุบันนั้นๆคือค่าบีต

จากขั้นตอนการตรวจจับบีต เราสามารถพัฒนาความเร็วและค่าความแม่นยำของการตรวจจับบีตได้ โดยการเก็บค่าพลังงานเฉลี่ยที่ได้เป็นค่าๆหนึ่งลงในบัฟเฟอร์ โดยสร้างช่องเก็บข้อมูลให้บัฟเฟอร์สามารถเก็บได้ทั้งหมด 43 ช่องข้อมูล จะเรียกบัฟเฟอร์นี้ว่าบัฟเฟอร์ (E) ซึ่งจะมีค่าเท่ากับ $E[43]$ ทำให้ข้อมูลพลังงานปัจจุบันที่จะเก็บได้ถึง 42 ค่า หรือ $E[42]$ โดย 42 ค่าที่เหลือจะเป็นค่าพลังงานปัจจุบันค่าเก่าและจะทำการเปรียบเทียบภายในตัวบัฟเฟอร์ ทำให้เกิดความแม่นยำและรวดเร็วมากยิ่งขึ้น วิธีการคือการพัฒนาสมการที่ 2.2 ก่อนจะทำตามขั้นตอนที่เหลือข้างต้น ซึ่งสมการใหม่ที่พัฒนาขึ้นมาี้ แสดงได้ดังขั้นตอนวิธีการตรวจจับบีต แบบที่ 2

2.1.2 ขั้นตอนวิธีการตรวจจับบีตในเชิงสถิติแบบที่ 2

2.1.2.1 แทนค่าอย่างละ 1024 แซมเปิลลงใน $a[n]$ และ $b[n]$ เพื่อคำนวณค่าพลังงานปัจจุบัน (Instant energy) ซึ่งในที่นี้จะแทนด้วยค่า e แทนด้วยสมการที่ 2.1

2.1.2.2 จำนวนค่า $\langle E \rangle$ และใช้ค่า $E[i]$ แสดงแทนช่องข้อมูลของบัฟเฟอร์

เอกสารนี้เป็นเอกสารที่สงวนไว้สำหรับการใช้งานเพื่อการศึกษาเท่านั้น ไม่อนุญาตให้นำไปใช้ประโยชน์ด้านการค้า ไม่ว่ากรณีใดๆ ทั้งสิ้น อีกทั้งห้ามมิให้ดัดแปลงเนื้อหา และต้องอ้างอิงถึงเจ้าของเอกสารทุกครั้งที่มีการนำไปใช้

$$\langle E \rangle = \frac{1}{43} \times \sum_{i=0}^{43} (E[i])^2 \quad (2.3)$$

2.1.2.3 เลื่อนบัฟเฟอร์เก็บค่าไปทางขวาอีก 1 ช่องข้อมูล ทำให้มีช่องข้อมูลเพิ่มขึ้น 1 ช่องสำหรับการจัดเก็บค่าพลังงานเฉลี่ยใหม่และลบค่าพลังงานเฉลี่ยเก่าทิ้งออกไป

2.1.2.4 แทนค่าพลังงาน e ใหม่ที่ช่อง $E[0]$

2.1.2.5 เปรียบเทียบค่า e กับ $C \times \langle E \rangle$ หากค่า e มีขนาดพลังงานใกล้เคียงกับ $C \times \langle E \rangle$ ค่าพลังงานปัจจุบันนั้นๆคือค่าบีต

ในเพลงแนวเทคโน (Techno) หรือแนวแร็ป (Rap) จะมีความชัดเจนของพลังงานเสียงสูงสุดหรือบีต (ซึ่งจะใช้ค่า C ประมาณ 1.4) โดยค่า C คือค่าความไวต่อบีต (Beat Sensibility) แต่สำหรับแนวเพลงฮาร์ดร็อก (Hard Rock) หรือเพลงที่มีเสียงแตก (Distortion) อันเกิดจากเสียงรบกวนเป็นจำนวนมากนั้นอาจทำให้เกิดความแปรปรวนของพลังงานเสียงสูงสุด จึงต้องคำนวณค่า C เพื่อใช้กับเพลงแนวดังกล่าว เพื่อให้เกิดความแม่นยำสูงสุด สำหรับการคำนวณค่า C จะใช้ “หลักการคำนวณหาค่าความแปรปรวนของพลังงานเสียง (V)” ทำให้สามารถพัฒนาการตรวจบีตโดยเพิ่มขึ้นตอนดังกล่าว เพื่อให้เห็นภาพที่ชัดเจนยิ่งขึ้น พิจารณารายละเอียดที่วิธีการตรวจบีตแบบที่ 3

2.1.3 ขั้นตอนวิธีการตรวจบีตในเชิงสถิติ แบบที่ 3

2.1.3.1 แทนค่าอย่างละ 1024 แซมเปิลลงใน $a[n]$ และ $b[n]$ เพื่อคำนวณค่าพลังงานปัจจุบัน (Instant energy) ซึ่งในที่นี้จะแทนด้วยค่า e แทนด้วยสมการที่ 2.1

2.1.3.2 คำนวณค่าพลังงานเฉลี่ย $\langle E \rangle$ จากค่าพลังงานปัจจุบัน (E) ที่อยู่ในบัฟเฟอร์ $E[i]$ โดยใช้สมการที่ 2.2

2.1.3.3 คำนวณค่าความแปรปรวน (V) ของค่าพลังงานปัจจุบัน (E) ได้ดังสมการที่ 2.4

$$V = \frac{1}{43} \times \sum_{i=0}^{43} (E[i] - \langle E \rangle)^2 \quad (2.4)$$

2.1.3.4 จากนั้นคำนวณหาค่า C ได้ดังสมการที่ 2.5 โดยสมการนี้จะได้มาจากการเปรียบเทียบค่าที่คิดว่าเหมาะสมของ V กับ C ในรูปแบบเชิงเส้น

$$C = (-0.0025714 \times V) + 1.514287 \quad (2.5)$$

2.1.3.5 เลื่อนบัฟเฟอร์เก็บค่าไปทางขวาอีก 1 ช่องข้อมูล ทำให้มีช่องข้อมูลเพิ่มขึ้น 1 ช่องสำหรับการจัดเก็บค่าพลังงานเฉลี่ยใหม่และลบค่าพลังงานเฉลี่ยเก่าทิ้งออกไป

2.1.3.6 เปรียบเทียบค่า e กับ $C \times \langle E \rangle$ หากค่า e มีขนาดพลังงานใกล้เคียงกับ $C \times \langle E \rangle$ ค่าพลังงานปัจจุบันนั้นก็คือค่าบีต

ทั้งสามขั้นตอนการตรวจจับบีตที่ได้กล่าวมาทั้งหมดได้ทำการทดสอบกับแนวดนตรีส่วนหนึ่ง อาทิเช่น ป๊อป (Pop), รั๊อค (Rock), เมทัล (Metal), เทคโน (Techno), แร็ป (Rap), คลาสสิก (Classical), พังก์ (Punk) เป็นต้น ผลที่ได้รับค่อนข้างยากที่จะคาดเดา โดยจะขอพูดถึงเฉพาะขั้นตอนวิธีการตรวจจับบีตในเชิงสถิติแบบที่ 3 เพียงเท่านั้น เพราะเป็นขั้นตอนที่พัฒนามาจาก ขั้นตอนแบบที่ 1 และ 2 โดยขั้นตอนแบบที่ 3 จะใช้ได้ผลดีเฉพาะดนตรีที่มีเสียงรบกวนน้อยเท่านั้น และแม่นยำมากกับดนตรีแนวเทคโนและแร็ป แม้ว่าจะทำการพัฒนาค่า C แล้วก็ตามดนตรีจำพวก พังก์, รั๊อค และฮาร์ดร็อก ก็ยังคงแม่นยำเป็นบางเพลงเพียงเท่านั้น ไม่สามารถใช้ได้ผลกับทุกเพลง ซึ่งสามารถสัมผัสได้โดยธรรมชาติในทันทีว่าจริงหรือเท็จกับผลที่ออกมาไม่สอดคล้องกัน

สำหรับการอธิบายความผิดพลาดนี้ อาจเกิดจากการที่กีตาร์และฟลูต มีช่วงความถี่ที่ทับซ้อนกัน มีพลังงานเสียงใกล้เคียงกันเพียงแต่มี Pitch ของเสียงที่แตกต่างกัน เมื่อผ่านขั้นตอนวิธีการทั้งหมดเสียงเหล่านี้จัดเป็นแค่เสียงรบกวนที่ไม่มีพลังงานเสียงที่มีประโยชน์ต่อการคำนวณ และยังเพิ่มความผิดพลาดให้แก่การคำนวณเสียด้วย ดังนั้นจึงสามารถแก้ไขปัญหาเหล่านี้ได้โดยใช้

“การวิเคราะห์การตรวจจับบีตในเชิงสถิติแบบเลือกใช้ช่วงความถี่ (Statistical streaming Beat detection by Frequency selected)”

การวิเคราะห์แบบเลือกใช้ช่วงความถี่เป็นการพัฒนาหลักการของการวิเคราะห์การตรวจจับบีตในเชิงสถิติแบบเก่า เพื่อแก้ปัญหาสัญญาณที่มีเสียงรบกวนจำนวนมากดังที่ได้กล่าวไป โดยหลักการนี้จะทำการแก้ปัญหาด้วยการแบ่งความถี่ออกเป็นช่วงแบนด์ต่างๆ ทั้งช่วงความถี่สูงและต่ำ ซึ่งพลังงานเสียงของโดเมนเวลากับโดเมนความถี่จะมีค่าเท่ากัน ขั้นตอนแรกนำสัญญาณจากสัญญาณต้นแบบจาก $a[n]$ และ $b[n]$ ในลักษณะของสัญญาณเสียงของไฟล์ .wav หรือสัญญาณเสียงอินพุตจากไมโครโฟน ทำการสุ่ม 1024 แซมเปิลลงในบัฟเฟอร์ในแต่ละช่วงเวลา จากนั้นจะเข้าสู่กระบวนการแปลงฟูริเยร์อย่างง่าย (Fast fourier transform : FFT) ทำให้ได้ผลลัพธ์เป็นสเปกตรัมความถี่ 1024 สเปกตรัม แล้วทำการแบ่งสเปกตรัมทั้งหมดลงในแต่ละช่วงแบนด์ ยังมีช่วงแบนด์มากขึ้นก็ยิ่งเพิ่มความไวต่อการตรวจจับบีตมากขึ้น (ในที่นี้จะใช้ 32 ช่วงแบนด์) และใช้ได้ผลดีกับแนวเพลงต่างๆ มากยิ่งขึ้น จากนั้นจะคำนวณพลังงานเสียงในแต่ละช่วงแบนด์เปรียบเทียบกับพลังงานเสียงเฉลี่ยก่อนหน้าของช่วงแบนด์นั้นๆ หากพลังงานเสียงปัจจุบันของช่วงแบนด์นั้นมีค่ามากกว่าพลังงานเสียงเฉลี่ยก่อนหน้า พลังงานเสียงนั้นคือบีต พิจารณาขั้นตอนวิธีการตรวจจับบีตในเชิงสถิติแบบแบ่งช่วงความถี่ ได้ดังนี้

2.1.4 ขั้นตอนวิธีการตรวจจับบีตในเชิงสถิติแบบแบ่งช่วงความถี่

2.1.4.1 คำนวณ FFT ของ 1024 แซมเปิลที่นำมาจากสัญญาณ $a[n]$ และ $b[n]$ เมื่อผ่านกระบวนการ FFT จะได้ค่าจำนวนเชิงซ้อน ซึ่งแบ่งออกเป็นส่วนจริง (Real part) จาก $a[n]$ และส่วนจินตภาพ (Imaginary Part) จาก $b[n]$ ดังสมการที่ 2.6 โดยการ FFT จะต้องคำนวณทั้ง 1024 แซมเปิล

$$(a_n) + i \times (b_n) \quad (2.6)$$

2.1.4.2 นำค่าที่ได้จาก FFT เก็บลงในบัฟเฟอร์ ดังนั้นบัฟเฟอร์ (B) จะเก็บค่าแอมพลิจูดของความถี่ไว้ทั้งหมด 1024 ค่า

เอกสารนี้เป็นเอกสารที่สงวนไว้สำหรับการใช้งานเพื่อการศึกษาเท่านั้น ไม่อนุญาตให้นำไปใช้ประโยชน์ด้านการค้า ไม่ว่ากรณีใดๆ ทั้งสิ้น อีกทั้งห้ามมิให้ตัดแปลงเนื้อหา และต้องอ้างอิงถึงเจ้าของเอกสารทุกครั้งที่มีการนำไปใช้

2.1.4.3 แบ่งบัพเฟอร์ออกเป็น 32 ชั้นแบนด์ ทำการคำนวณพลังงานในแต่ละชั้นแบนด์ และเก็บค่าพลังงานของแต่ละชั้นแบนด์ (E_s) ดังนั้น E_s จะมี 32 ขนาด และ $E_s[i]$ จะเก็บพลังงานของชั้นแบนด์ i เอาไว้ แสดงได้ดังสมการที่ 2.7

$$E_s[i] = \frac{32}{1024} \times \sum_{k=i \times 32}^{(i+1) \times 32} B[k] \quad (2.7)$$

2.1.4.4 จากนั้นคำนวณหาค่าพลังงานเฉลี่ยในแต่ละชั้นแบนด์ i (E_i)

โดยใช้สมการที่ 2.8

$$\langle E_i \rangle = \frac{1}{43} \times \sum_{k=0}^{42} E_i[k] \quad (2.8)$$

2.1.4.5 เกือบบัพเฟอร์เก็บค่าไปทางขวาอีก 1 ช่องข้อมูล ทำให้มีช่องข้อมูลเพิ่มขึ้น 1 ช่องสำหรับการจัดเก็บค่าพลังงานเฉลี่ยใหม่ในแต่ละชั้นแบนด์และลบค่าพลังงานเฉลี่ยเก่าทิ้งออกไป

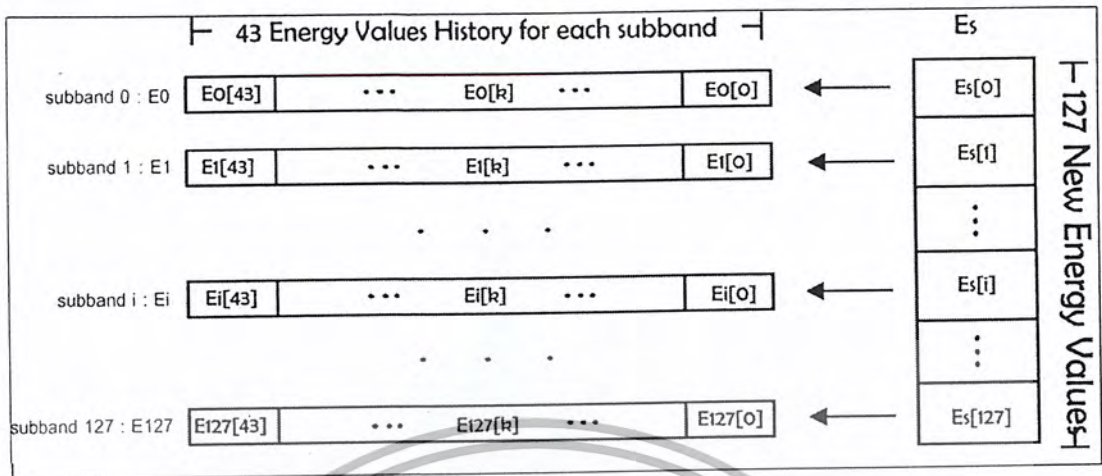
2.1.4.6 จัดเก็บค่าพลังงานเฉลี่ยของแต่ละชั้นแบนด์ใหม่ ลงใน $E_i[0]$

พิจารณาสมการที่ 2.9

$$E_i[0] = E_s[i] \quad (2.9)$$

2.1.4.7 หากในแต่ละชั้นแบนด์ i หาก $E_s[i] > (C \times \langle E_i \rangle)$ ค่าพลังงานนั้นๆคือค่าบิต

สามารถแสดงการเก็บข้อมูลในแต่ละชั้นแบนด์ได้ดังรูปที่ 2.1



รูปที่ 2.1 การเก็บข้อมูลในแต่ละซับแบนด์ของเฟดริก พาดิน

สำหรับค่า C ในขั้นตอนวิธีการนี้ไม่จำเป็นต้องทำการคำนวณเพราะวิธีการนี้ได้ทำการแยกค่าพลังงานลงในแต่ละซับแบนด์ทำให้เกิดค่าความแปรปรวนเป็นอย่างมาก สามารถใช้ค่า $C = 250$ ได้ทันที (ตั้งไว้ที่ค่าที่สูงมาก) ผลลัพธ์ค่อนข้างเป็นที่น่าพอใจสามารถแก้ปัญหาเสียงรบกวนของแนวเพลงต่างๆ ได้อาทิเช่น เสียงแตกของกีตาร์ (Distortion) เป็นต้น แต่เนื่องจากเสียงฉาบของกลองไม่สามารถนำมาคำนวณได้เพราะนามิโดเมนความถี่ที่ทับซ้อนกับเครื่องดนตรีชนิดอื่นๆ

อีกแนวทางหนึ่งในการช่วยพัฒนาขั้นตอนวิธีการตรวจจับปิดในเชิงสถิติแบบแบ่งช่วงความถี่สามารถพัฒนาให้มีความละเอียดและแม่นยำมากขึ้นด้วยการแบ่งซับแบนด์เพิ่มขึ้นจากเดิม 32 ซับแบนด์เป็น 64 ซับแบนด์แต่ก็จะทำให้การประมวลผลช้าลงเล็กน้อย อีกแนวทางหนึ่งคือ อาศัยหลักการระบบการได้ยินของมนุษย์ที่ไม่สมบูรณ์แบบ หูของมนุษย์นั้นมีลักษณะคล้ายกับวงจรรองความถี่ต่ำ กล่าวคือ เสียงรบกวนที่มนุษย์ได้ยินจะได้ยินชัดเจนเฉพาะ Pitch เสียงต่ำ หากเป็น Pitch เสียงสูงก็แทบจะไม่ได้ยินเลย ดังนั้นจึงทำการแบ่งความกว้างของแต่ละซับแบนด์ให้มีค่าไม่เท่ากัน ตัวอย่างเช่น ในซับแบนด์[0] จะมีค่าความถี่อยู่เพียง 2 ค่า แต่ในซับแบนด์[64] จะมีค่าความถี่อยู่ 20 ค่า เป็นต้น โดยความกว้างของแต่ละซับแบนด์ (w_i) ของ n ซับแบนด์ สามารถแสดงได้ดังขั้นตอนการพัฒนาปรับปรุงวิธีการตรวจจับปิดในเชิงสถิติแบบแบ่งช่วงความถี่ด้วยการเพิ่มซับแบนด์และแบ่งความกว้างของซับแบนด์ได้ดังนี้

เอกสารนี้เป็นเอกสารที่สงวนไว้สำหรับการใช้งานเพื่อการศึกษาเท่านั้น ไม่อนุญาตให้นำไปใช้ประโยชน์ด้านการค้าไม่ว่ากรณีใดๆ ทั้งสิ้น อีกทั้งห้ามมิให้ดัดแปลงเนื้อหา และต้องอ้างอิงถึงเจ้าของเอกสารทุกครั้งที่มีการนำไปใช้

2.1.5 ขั้นตอนการพัฒนาปรับปรุงด้วยการเพิ่มชั้นแบนด์และแบ่งความกว้างของชั้นแบนด์

2.1.5.1 เพิ่มความกว้างของชั้นแบนด์แบบเชิงเส้น ด้วยสมการที่ 2.10

$$w_i = a \times i + b \quad (2.10)$$

จากสมการที่ 2.10 ตัวอย่างการเพิ่มความกว้างของชั้นแบนด์ที่ 1 สามารถแสดงได้ดังสมการที่ 2.11

$$w_1 = a + b \quad (2.11)$$

2.1.5.2 ถ้าความกว้างของชั้นแบนด์รวมทั้งหมดจะต้องมีค่าไม่เกิน 1024 (ขนาดของบัพเฟอร์) อธิบายได้ดังสมการที่ 2.12

$$\sum_{i=1}^n w_i = 1024 = n \cdot b + a \cdot \sum_{i=1}^n i = n \cdot b + a \cdot \frac{n \cdot (n+1)}{2} = 1024 \quad (2.12)$$

เมื่อได้ค่า w_i จากวิธีการข้างต้นแล้ว จะนำค่า w_i ที่ได้และหลักการเพิ่มชั้นแบนด์เป็น 64 ชั้นแบนด์ไปประยุกต์กับสมการที่ 2.7 ทำให้ได้สมการที่ 2.13 ดังนี้

$$E_s[i] = \frac{w_i}{1024} \times \sum_{k=\sum_{j=1}^{i-1} w_j}^{\sum_{j=1}^i w_j} B[k] \quad (2.13)$$

ภายหลังจากได้นำขั้นตอนการพัฒนาปรับปรุงด้วยการเพิ่มชั้นแบนด์และแบ่งความกว้างของชั้นแบนด์มาประยุกต์ใช้เพื่อให้ได้ผลลัพธ์ที่ละเอียดและแม่นยำมากขึ้น ให้แทนสมการที่ 2.7 ด้วยสมการ 2.13 ในขั้นตอนวิธีการตรวจจับบีตในเชิงสถิติแบบแบ่งช่วงความถี่ แต่ถ้าหาก

ต้องการจะเพิ่มคุณสมบัติในการตัดแบ่งช่วงความถี่ สามารถขั้นตอนการพัฒนาปรับปรุงด้วยวิธีการเลือกใช้ช่วงความถี่

2.1.5.5 ขั้นตอนการพัฒนาปรับปรุงด้วยวิธีการเลือกใช้ช่วงความถี่

1) ถ้า 'i' < 'N/2' ดังนั้น (if 'i' < 'N/2' then)

$$f = \frac{i \times f_c}{N} \quad (2.14)$$

2) แต่ถ้า 'i' >= 'N/2' ดังนั้น (else if 'i' >= 'N/2' then)

$$f = \frac{(N-i) \times f_c}{N} \quad (2.15)$$

โดยที่ i คือตำแหน่งชั้นแบนด์ภายในบัพเฟอ์เก็บค่าเอาต์พุตของ FFT และ N คือขนาดของการแปลง FFT (1024) , f_c คือความถี่แซมเปิล (44100 แซมเปิล)

อีกวิธีการหนึ่งที่สามารถเพิ่มความเที่ยงตรงให้กับการตรวจจับบีตเป็นอย่างยิ่ง คือการเพิ่มเงื่อนไขในขั้นตอนสุดท้ายเพื่อคัดเลือค่าพลังงานสูงสุดที่ดีที่สุด โดยทำการเปรียบเทียบจากค่าความแปรปรวนของพลังงานในแต่ละชั้นแบนด์ หากค่าความแปรปรวนสูงหมายถึงค่าพลังงานสูงสุดนั้นมีความแตกต่างจากค่าพลังงานอื่นๆเป็นอย่างยิ่งทำให้มีความชัดเจนในการตรวจจับบีตมากยิ่งขึ้น วิธีการดังกล่าวสามารถทำได้ดังนี้

2.1.6 ขั้นตอนการพัฒนาปรับปรุงด้วยวิธีการเพิ่มเงื่อนไขการเปรียบเทียบค่าความแปรปรวนของพลังงานในแต่ละชั้นแบนด์

เพิ่มเงื่อนไข $V((E_i)) > V_0$ ลงในการเปรียบเทียบค่า e กับ $C \times \langle E \rangle$ จะได้เงื่อนไขใหม่ดังนี้ เปรียบเทียบค่า e กับ $C \times \langle E \rangle$ และ $V((E_i)) > V_0$ โดย V_0 คือค่าจำกัดความแปรปรวน ซึ่งสามารถคำนวณได้จากสมการที่ 2.16 ดังนี้

$$V((E_i)) = \frac{1}{43} \times \sum_{k=0}^{42} (E_i[k] - \langle E_i \rangle)^2 \quad (2.16)$$

2.1.7 แนวคิดการตรวจจับปิดด้วยวิธีกรองด้วยฟิลเตอร์

หากมีสัญญาณ $x(t)$ และ $y(t)$ สามารถที่จะสร้างฟังก์ชันที่จะเป็นโอเดียในการอธิบายความคล้ายคลึงกันของทั้งสองสัญญาณ โดยเรียกฟังก์ชันนี้ว่า “ฟังก์ชันความสัมพันธ์ของสัญญาณ” สามารถเขียนเป็นสมการ ได้ดังนี้

$$r_{xy}(\alpha, \beta) = \int_{-\infty}^{+\infty} [x(t) \cdot y(\alpha \cdot (t - \beta))] \cdot dt \quad (2.17)$$

สมการนี้เป็นสมการการคำนวณหาพลังงานที่สามารถแลกเปลี่ยนระหว่างสัญญาณ $x(t)$ กับสัญญาณ $y(t - \beta)$ ซึ่งคล้ายคลึงกัน และกำหนดให้มี β อยู่ในสมการเพื่อกำจัดปัญหาจุดกำเนิดสัญญาณบนแกนเวลา เพราะการนำสองสัญญาณมาเปรียบเทียบกันควรปราศจากความเอนไปได้เกี่ยวกับแกนเวลา แต่จะต้องทราบว่าสมการที่ 2.17 จะต้องถูกเขียนให้อยู่ในรูปสมการที่คอมพิวเตอร์เข้าใจได้ จึงต้องเขียนให้อยู่ในรูปสมการที่ 2.18 ดังนี้

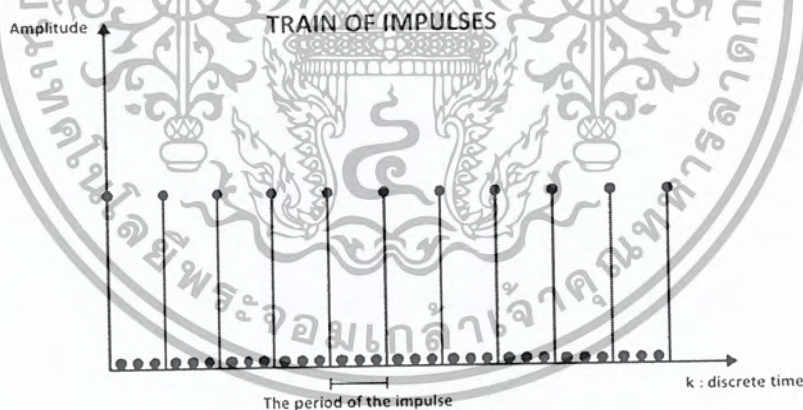
$$r_{xy}(\beta) = \int_{k=-\infty}^{+\infty} [x[k] \cdot y[k - \beta]] \quad (2.18)$$

เอกสารนี้เป็นเอกสารที่สงวนไว้สำหรับการใช้งานเพื่อการศึกษาเท่านั้น ไม่อนุญาตให้นำไปใช้ประโยชน์ด้านการค้า ไม่ว่ากรณีใดๆ ทั้งสิ้น อีกทั้งห้ามมิให้ตัดแปลงเนื้อหา และต้องอ้างอิงถึงเจ้าของเอกสารทุกครั้งที่มีการนำไปใช้

ประเด็นสำคัญคือสามารถประมาณค่าความคล้ายคลึงระหว่างเพลงกับขบวนอิมพัลส์โดยใช้ฟังก์ชันตามสมการ ขบวนอิมพัลส์ซึ่งถูกแปลงมาในรูปของความถี่ (Beats per minute ที่ต้องการนำมาทดสอบ) ซึ่งเรียกว่า Comb Filter และพลังงานจากสมการ \mathcal{Y} ทำให้สามารถคำนวณค่าเปรียบเทียบระหว่างเพลงกับขบวนอิมพัลส์ ด้วยเหตุนี้จึงคำนวณหาค่าจังหวะของขบวนอิมพัลส์ที่เกิดในเพลง ถ้าคำนวณหาพลังงานของสมการ \mathcal{Y} ด้วยขบวนอิมพัลส์ที่ต่างกัน ก็จะเห็นพลังงานที่มีค่ามากที่สุดเกิดขึ้น ดังนั้นจึงทำให้ทราบหลักการในอัตราการเกิด Beats per minute พิจารณาจากสมการที่ 2.19 แทนพลังงานด้วย E_y และ $X[k]$ เป็นสัญญาณเสียงเพลง สำหรับ $Y[k]$ เป็นขบวนอิมพัลส์

$$E_y = \sum_{\beta=-\infty}^{+\infty} \gamma_{xy}[\beta]^2 \quad (2.19)$$

เพื่อแสดงขบวนอิมพัลส์ให้เห็นภาพที่ชัดเจนขึ้น ขอให้พิจารณาขบวนอิมพัลส์โดยแสดงลักษณะเฉพาะของคาบเวลาระหว่างพัลส์ (T_i) ดังรูปที่ 2.2



รูปที่ 2.2 ขบวนอิมพัลส์โดยแสดงลักษณะเฉพาะของคาบเวลาระหว่างพัลส์ (T_i)

ดังนั้น คาบเวลา T_i ของอิมพัลส์จึงต้องสอดคล้องกับ Beats per minute ที่ต้องการทดสอบในเพลงรูปแบบนี้ทำให้ค่าของ Beats per minute กับ T_i แบบไม่ต่อเนื่องทางเวลาได้ดังสมการที่ 2.20

เอกสารนี้เป็นเอกสารที่สงวนไว้สำหรับการใช้งานเพื่อการศึกษาเท่านั้น ไม่อนุญาตให้นำไปใช้ประโยชน์ด้านการค้า ไม่ว่ากรณีใดๆ ทั้งสิ้น อีกทั้งห้ามมิให้ตัดแปลงเนื้อหา และต้องอ้างอิงถึงเจ้าของเอกสารทุกครั้งที่มีการนำไปใช้

$$T_i = \frac{60}{BPM} \times fs \quad (2.20)$$

จากสมการที่ 2.20 fs ก็คือ Sample Frequency โดยปกติอยู่ที่ 44100 เฮิร์ต(ตามมาตรฐานไฟล์ .wav) BPM หมายถึง Beats per minute rate หรืออัตราการเกิดบีตต่อนาที และ T_i คือคาบเวลาของขบวนอิมพัลส์ (Impulse Train) แต่เพราะว่าการคำนวณที่ยู่ยากในสมการที่ 2.18 จึงใช้วิธีการมองที่แกนของความถี่โดยใช้ FFT ในการคำนวณผลลัพธ์ของ $X[k]$ และ $Y[k]$ (FFT ของ $X[k]$ และ $Y[k]$) จึงหาค่าพลังงานของสมการ Y ได้โดยตรงในแกนของความถี่ ดังนั้น E_y จะได้รูปแบบสมการดังนี้

$$E_y = \sum_{k=0}^N |X[k] \cdot Y[k]|^2 \quad (2.21)$$

ในขั้นตอนนี้การคำนวณค่อนข้างสิ้นเปลืองทรัพยากรหากจะคำนวณข้อมูลทั้งหมดในเพลง จึงใช้วิธีการตัดช่วงกลางของเพลงออกมา 5 วินาที เป็นการสมมุติให้จังหวะของเพลงคงที่ตลอดและใช้ส่วนของกลางเพลงที่ดึงออกมาเป็นตัวแทนทั้งหมดของเพลง พิจารณาขั้นตอนการทำงานได้ดังนี้

2.1.7.1 ดึงข้อมูลจากบัพเฟออร์ข้อมูลของเพลงทุกๆ 5 วินาที เก็บลงใน $a[k]$ และ $b[k]$ โดยค่าของ $a[k]$ และ $b[k]$ เป็น N จากนั้นกำหนดให้ $a[k]$ เป็นค่าทางฝั่งซ้าย และ $b[k]$ เป็นค่าทางฝั่งขวา (Stereo Stream)

2.1.7.2 แปลง FFT ของสัญญาณออกมา ได้ $a[k]$ เป็นส่วนจริง (Real part) และ $b[k]$ เป็นส่วนจินตภาพ (Imaginary part) หลังจากนั้นเก็บค่าส่วนจริงลงใน $ta[k]$ และส่วนจินตภาพลงใน $tb[k]$

2.1.7.3 สำหรับ Beats Per Minute ที่นำมาทดสอบ ในตัวอย่างนี้เราใช้ตั้งแต่ 60 BPM (บีตระดับเพลงช้า) ถึง 180 BPM (บีตระดับเพลงเร็ว) ทำซ้ำกันทั้งหมด 10 ครั้ง จากนั้นแทน BPM ที่ใช้ทดสอบด้วย BPMc

เอกสารนี้เป็นเอกสารที่สงวนไว้สำหรับการใช้งานเพื่อการศึกษาเท่านั้น ไม่อนุญาตให้นำไปใช้ประโยชน์ด้านการค้าไม่ว่ากรณีใดๆ ทั้งสิ้น อีกทั้งห้ามมิให้ดัดแปลงเนื้อหา และต้องอ้างอิงถึงเจ้าของเอกสารทุกครั้งที่มีการนำไปใช้

2.1.7.4 จำนวนค่าของ T_i ได้โดยใช้สมการที่ 2.20

2.1.7.5 จำนวนค่าขบวนอิมพัลส์และเก็บค่าลงใน (i) และ (j) นำค่าที่เก็บได้ทั้งสองค่ามาเป็นสัญญาณสเตอริโอ โดยวิธีการสร้างขบวนอิมพัลส์พิจารณาได้จากคำสั่งด้านล่าง

```
for (k = 0; k < N; k++)
```

```
{
```

```
if ((k % Ti) == 0)
```

```
l[k] = j[k] = AmpMax;
```

```
else
```

```
l[k] = j[k] = 0;
```

```
}
```

2.1.7.6 จากนั้นแปลง FFT ของสัญญาณได้ (i) และ (j) เก็บค่าที่ได้ลงใน $tl[k]$ และ $tj[k]$

2.1.7.7 สุดท้ายคำนวณค่าพลังงานความสัมพันธ์ระหว่างขบวนอิมพัลส์กับสัญญาณเพลง 5 วินาที โดยพิจารณาจากสมการที่ 2.21 จะได้สมการใหม่ดังนี้

$$E_{BPMc} = \sum_{k=0}^N |(ta[k] + i \cdot tb[k]) \cdot (tl[k] + i \cdot tj[k])| \quad (2.22)$$

2.1.7.8 บันทึกค่าผลลัพธ์ของ E_{BPMc}

2.1.7.9 จังหวะของเพลงนั้นเกิดจากค่าของ BPM max เมื่อค่าสูงสุดของ E_{BPMc} เกิดขึ้นจะได้ค่าอัตราการเกิด Beat per minute ของเพลง

ค่าของ AmpMax ที่ปรากฏขึ้นบนขบวนของอิมพัลส์ กำหนดโดยค่า Sample size ที่มาจากไฟล์ โดยปกติแล้วค่า Sample size จะอยู่ที่ 16 บิต เป็นค่าที่มีประสิทธิภาพดีเยี่ยม ถ้าใช้งานในรูปแบบของ Non Sign signal ค่าของ AmpMax จะอยู่ที่ 65535 แต่ถ้าใช้งานในรูปแบบ 16 บิต Sign sample ค่าของ AmpMax จะอยู่ที่ 32767

เอกสารนี้เป็นเอกสารที่สงวนไว้สำหรับการใช้งานเพื่อการศึกษาเท่านั้น ไม่อนุญาตให้นำไปใช้ประโยชน์ด้านการค้า ไม่ว่ากรณีใดๆ ทั้งสิ้น อีกทั้งห้ามมิให้ตัดแปลงเนื้อหา และต้องอ้างอิงถึงเจ้าของเอกสารทุกครั้งที่มีการนำไปใช้

และเพื่อให้บีตถูกตรวจจับได้ง่ายขึ้น สามารถเพิ่มประสิทธิภาพด้วยการทำให้ สัญญาณ $a[k]$ และ $b[k]$ เกิดความแตกต่างด้วยสมการที่ 2.23 โดยนำขั้นตอนนี้ไปไว้ก่อน ขั้นตอนที่ 2.1.1.2

$$\forall k \in [1, N-2]$$

$$a[k] = \frac{1}{2} fs \cdot (a[k+1] - a[k-1]) \quad (2.23)$$

$$b[k] = \frac{1}{2} fs \cdot (b[k+1] - b[k-1])$$

2.1.8 การปรับปรุงประสิทธิภาพด้วยวิธีเลือกความถี่พลังงานเสียง (Frequency selected sound energy)

ในหัวข้อที่ 2.1.7 นั้น เกิดปัญหาหนึ่งคือบีตของจ๊ากับบีตของกลองนั้นจับได้เหมือนกัน ซึ่งการตรวจจับบีตนั้นไม่เหมาะสมกับเพลงที่มีเสียงรบกวนมากๆ เช่น ดนตรีแนว ฮาร์ดร็อก เพื่อแก้ปัญหาดังกล่าวจึงทำให้เกิดกระบวนการวิธีเลือกความถี่พลังงานเสียง Frequency selected sound energy โดยทำการแยกสัญญาณแบ่งลงในซับแบนด์หลายๆซับแบนด์ เริ่มจากการแบ่ง $ta[k]$ และ $tb[k]$ ลงในหลายๆซับแบนด์ ค่าของอาร์เรย์จะถูกเรียกว่า $tas[k]$ และ $tbs[k]$ ('s' มีค่าตั้งแต่ 1-16) ขั้นตอนวิธีการจะมีบางส่วนที่คล้ายกันกับวิธีแรกแต่ขั้นตอนจะเพิ่มขึ้นมาเพื่อปรับปรุงประสิทธิภาพเมื่อทำการตรวจจับบีตกับเพลงแนวฮาร์ดร็อก หรือเพลงที่มีเสียงรบกวนเยอะแสดงได้ดังนี้

2.1.8.1 ดึงข้อมูลจากบีตเฟออร์ข้อมูลของเพลงทุกๆ 5 วินาที เก็บลงใน $a[k]$ และ $b[k]$ โดยค่าของ $a[k]$ และ $b[k]$ เป็น N จากนั้นกำหนดให้ $a[k]$ เป็นค่าทางฝั่งซ้าย และ $b[k]$ เป็นค่าทางฝั่งขวา (Stereo Stream)

2.1.8.2 สร้างความแตกต่างของสัญญาณ $a[k]$ และ $b[k]$ โดยสมการที่

2.21

2.1.8.3 แปลง FFT ของสัญญาณออกมา ได้ $a[k]$ เป็นส่วนจริง (Real part) และ $b[k]$ เป็นส่วนจินตภาพ (Imaginary part) หลังจากนั้นเก็บค่าส่วนจริงลงใน $ta[k]$ และ ส่วนจินตภาพลงใน $tb[k]$

2.1.8.4 สร้างอาร์เรย์ขนาดต่างๆ 16 ชับแบนด์เพื่อเก็บค่า $tas[k]$ และ $tbs[k]$ จากนั้นตัด $ta[k]$ และ $tb[k]$ ings ด้วยกฎของลอการิทึม

2.1.8.5 สำหรับชับแบนด์ทั้งหมด $tas[k]$ และ $tbs[k]$ (s มีค่าตั้งแต่ 1-16)
 $Ws = \text{length}$ ของ 's'

2.1.8.6 สำหรับ Beats Per Minute ที่นำมาทดสอบ ในตัวอย่างนี้เราใช้ ตั้งแต่ 60 BPM (บีตระดับเพลงช้า) ถึง 180 BPM (บีตระดับเพลงเร็ว) ทำซ้ำกันทั้งหมด 10 ครั้ง จากนั้นแทน BPM ที่ใช้ทดสอบด้วย BPMc

2.1.8.7 ค่าของ Ti ได้โดยใช้สมการที่ 2.20

2.1.8.8 ค่าของ i และ j เก็บค่าที่เก็บ ได้ทั้งสองค่ามาเป็นสัญญาณสเตอริโอ โดยวิธีการสร้างขบวนอิมพัลส์ พิจารณาได้จากคำสั่ง ด้านล่าง

```
for (k = 0; k < ws; k++)
```

```
{
  if ((k % Ti) == 0)
```

```
    I[k] = k[k] = AmpMax;
```

```
  else
```

```
    I[k] = j[k] = 0;
```

```
}
```

2.1.8.9 จากนั้นแปลง FFT ของสัญญาณได้ i และ j เก็บค่าที่ได้ลงใน

$tl[k]$ และ $tj[k]$

2.1.8.10 สูตรย้ายคำนวณค่าพลังงานความสัมพันธ์ระหว่างขบวนการอิมพัลส์กับสัญญาณเพลง 5 วินาที โดยพิจารณาจากสมการที่ 2.22 จะได้สมการใหม่ดังนี้

$$E_{(BPMc,s)} = \sum_{k=0}^{ws} (tas[k] + i \cdot tbs[k]) \cdot (tl[k] + i \cdot tj[k]) \quad (2.24)$$

2.1.8.11 บันทึกค่าผลลัพธ์ของ E_{BPMc}

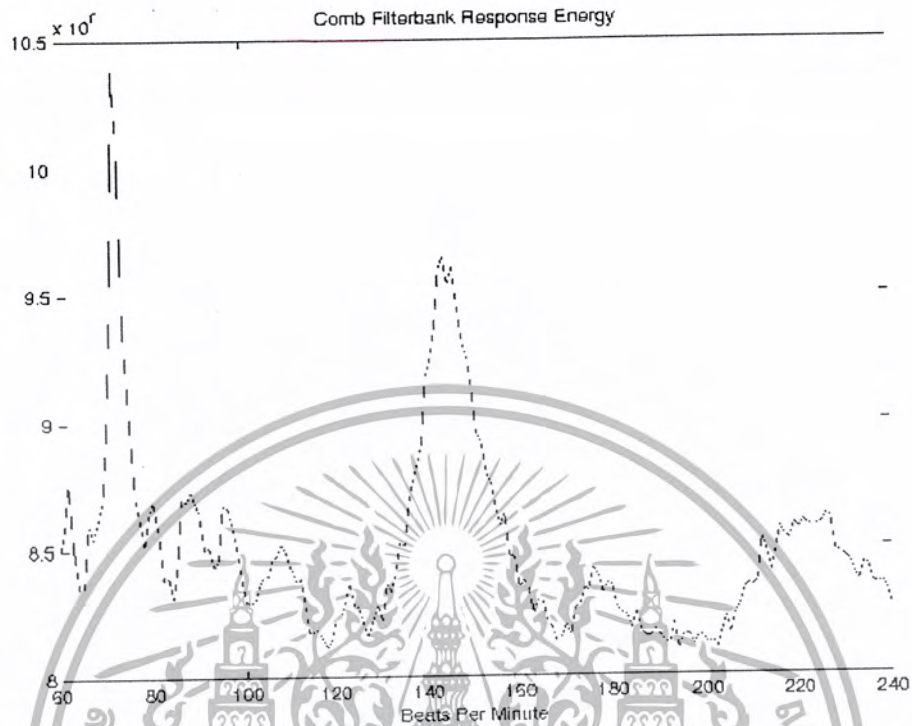
2.1.8.12 จังหวะของเพลงนั้นเกิดจากค่าของ $BPM \max$ เมื่อค่าสูงสุดของ E_{BPMc} เกิดขึ้นจะได้ค่าอัตราการเกิด Beat per minute ของเพลง

2.1.8.13 ทำตามขั้นตอนที่ 2.1.8.12 ในทุกๆซับบैंด เกิดค่า $BPM \max s$ ในทุกๆซับบैंด จึงสามารถเอามาพิจารณาได้

ในส่วนของการปรับปรุงประสิทธิภาพวิธีเลือกความถี่พลังงานเสียง (Frequency selected sound energy) ต้องเลือกค่าจังหวะตามหลักการของความถี่แบนด์วิธหรือถ้าต้องการค่าในหลายๆซับบैंดก็สามารถคำนวณ BPM ได้จาก $BPM \max s$ ทั้งหมดที่เกิดจาก $EBPM \max s$ ดังสมการที่ 2.25

$$BPM = \frac{1}{\sum_{s=1}^{16} (EBPM \max s)} \sum_{s=1}^{16} (EBPM \max s) \cdot (BPM \max s) \quad (2.25)$$

พิจารณาจากรูปที่ 2.3 ผลลัพธ์นี้ได้จากโปรแกรม MATLAB จะเห็นได้ว่าค่า E_{BPMc} แสดงค่ามากที่สุดนั้นมีค่าระดับ $BPMc = 75$ ฉะนั้น Beat per minute ของเพลงนี้จึงมีค่า 75 (75 ครั้งต่อนาที)



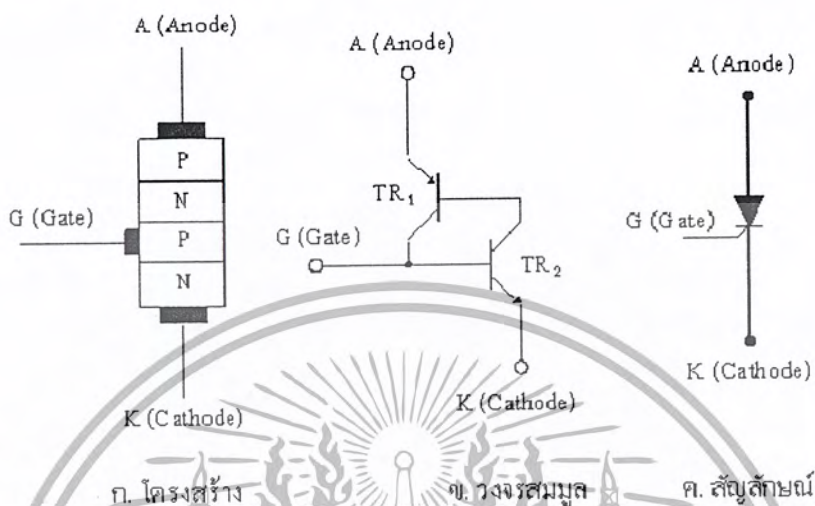
รูปที่ 2.3 กราฟแสดงค่า E_{BPM} เพื่อใช้ในการหา Beat per minute ของเพลง [12]

2.2 ทฤษฎีพื้นฐานของเอสซีอาร์ (SCR)

2.2.1 โครงสร้างและสัญลักษณ์ของเอสซีอาร์

ซิลิคอน คอนโทรล เร็คติไฟร์เออร์ (Silicon Control Rectifier) หรือ เอสซีอาร์ (SCR) เป็นอุปกรณ์โซลิดสเตท (Solid-State) ที่ทำหน้าที่เป็นสวิตช์เปิด - ปิด (On - Off) วงจรทางอิเล็กทรอนิกส์ชนิดหนึ่ง รวมทั้งเอสซีอาร์ (SCR) ยังจัดเป็นอุปกรณ์สารกึ่งตัวนำประเภท “ไทริสเตอร์” (Thyristor) ข้อดีของสวิตซ์อิเล็กทรอนิกส์คือจะไม่มีหน้าสัมผัสหรือเรียกว่าคอนแทค (Contact) ขณะเปิด - ปิดจึงไม่ทำให้เกิดประกายไฟที่หน้าสัมผัสจึงมีความปลอดภัยสูงซึ่งสวิตซ์ธรรมดาคือแบบกลไกที่มีหน้าสัมผัสจะไม่สามารถนำไปใช้ในบางสถานที่ได้สวิตซ์อิเล็กทรอนิกส์

บางครั้งเรียกว่า “โซลิดสเตตสวิตช์” (Solid State Switch) แสดงโครงสร้าง วงจรสมมูล และ สัญลักษณ์ของเอสซีอาร์ได้ดังรูปที่ 2.4



รูปที่ 2.4 (ก) โครงสร้าง (ข) วงจรสมมูล และ (ค) สัญลักษณ์ของเอสซีอาร์ [2]

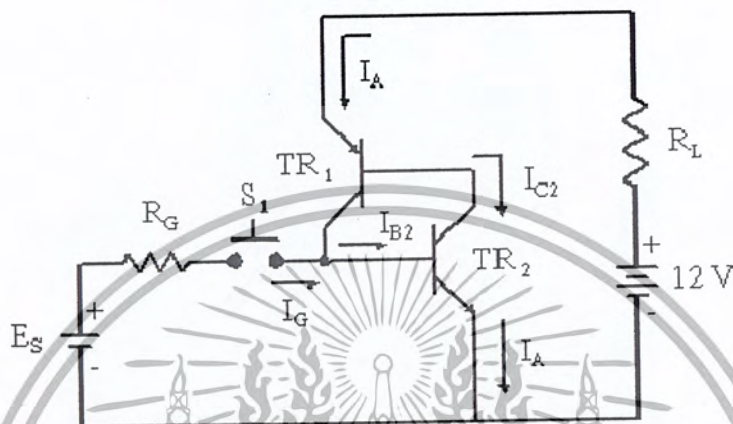
ถ้าดูจากรูปที่ 2.4 (ก) โครงสร้างของเอสซีอาร์ (SCR) ประกอบไปด้วยสารกึ่งตัวนำ 4 ชั้นคือ พี-เอ็น-พี-เอ็น (P-N-P-N) มีจำนวน 3 รอยต่อ มีขาต่อออกมาใช้งาน 3 ขาคือ ขาแอโนด (A : Anode) ขาแคโทด (K : Cathode) และขาเกต (G : Gate) ซึ่งสภาวะการทำงานของเอสซีอาร์ (SCR) สามารถแบ่งการทำงานออกได้เป็น 2 สภาวะคือ

- 1) สภาวะนำกระแส เรียกว่า ON
- 2) สภาวะหยุดนำกระแส เรียกว่า OFF

2.2.2 สภาวะนำกระแสของเอสซีอาร์

พิจารณาจากรูปที่ 2.4 การที่จะทำให้เอสซีอาร์นำกระแสสามารถทำได้โดยจุดชนวน เรียกว่า “ทริกเกอร์” (Trigger) ด้วยกระแสเกต (I_G) ให้แก่เอสซีอาร์ (SCR) และที่ขั้วแอโนด (A) และแคโทด (K) ได้รับไบอัสตรงคือที่แอโนดได้แรงดันบวก (+) และที่แคโทดได้รับแรงดันลบ (-) ทำให้เกิดกระแส I_{B2} ไหลเข้าขาเบส (Base) ของทรานซิสเตอร์ T_{R2} ทำให้ T_{R2} อยู่ในสภาวะนำกระแส (ON) จะเกิดกระแสคอลเลกเตอร์ (I_{C2}) ไหลผ่าน T_{R2} ซึ่งก็คือกระแส I_{B1} ของ

ทรานซิสเตอร์ T_{R1} นั้นเอง ดังนั้น T_{R1} จึงนำกระแสด้วย ค่าความต้านทานระหว่างขั้วแอโนด (A) และแคโทด (K) จึงมีค่าต่ำมากเป็นผลให้เกิดกระแสแอโนด (I_A) ไหลผ่านอิมิตเตอร์ของ T_{R1} ไปออกที่อิมิตเตอร์ของ T_{R2} สถานะการทำงานของเอสซีอาร์เปรียบเสมือนสวิตช์ปิดวงจร



รูปที่ 2.5 การจุดชนวนให้เอสซีอาร์นำกระแส [2]

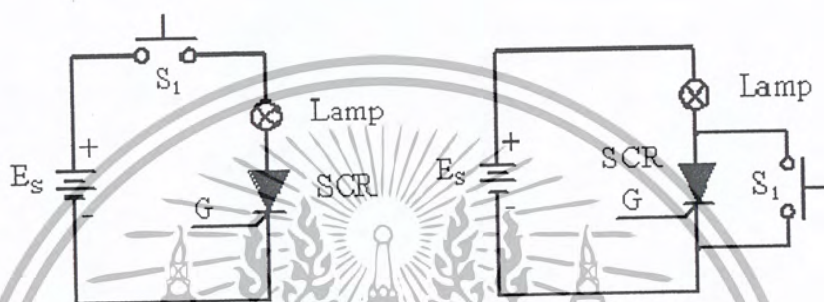
เมื่อเอสซีอาร์นำกระแสแล้วไม่จำเป็นต้องคงค่ากระแสเกต (I_G) ไว้ตลอดไป สามารถลดค่ากระแสเกตให้เป็นศูนย์ ($I_G = 0$) หรือปลดกระแสเกตออกได้โดยที่เอสซีอาร์ยังคงนำกระแสต่อไปเพราะ I_{B2} ที่ไหลเข้าเบสของ T_{R2} จะไหลมาจากคอลเลกเตอร์ของ T_{R1} ดังนั้นถึงแม้จะไม่มีกระแสเกตเอสซีอาร์ก็ยังนำกระแสต่อไปได้ ในสถานะนำกระแสนี้ถ้าแหล่งจ่ายเป็นไฟกระแสสลับสามารถจะบังคับให้เอสซีอาร์นำกระแสได้มากหรือน้อยได้โดยเลือกมุมจุดชนวนที่เกตให้เหมาะสม

2.2.3 สถานะหยุดนำกระแสของเอสซีอาร์

วิธีการทำให้เอสซีอาร์หยุดนำกระแสมีหลักการคือ ทำให้กระแสแอโนด (I_A) ลดลงจนต่ำกว่ากระแสโฮลดีง (I_H : Holding Current คือค่ากระแสต่ำสุดที่ทำให้เอสซีอาร์นำกระแส) หรือ $I_A < I_H$ จึงจะทำให้เอสซีอาร์หยุดนำกระแสได้ซึ่งการที่จะทำให้เอสซีอาร์หยุดนำกระแสมี 2 วิธีคือ

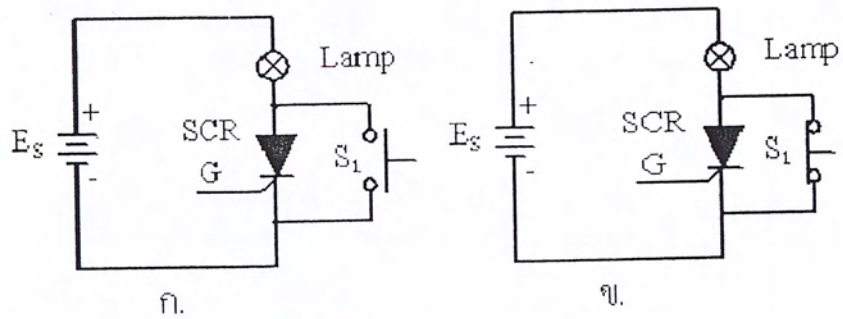
เอกสารนี้เป็นเอกสารที่สงวนไว้สำหรับการใช้งานเพื่อการศึกษาเท่านั้น ไม่อนุญาตให้นำไปใช้ประโยชน์ด้านการค้าไม่ว่ากรณีใดๆ ทั้งสิ้น อีกทั้งห้ามมิให้ตัดแปลงเนื้อหา และต้องอ้างอิงถึงเจ้าของเอกสารทุกครั้งที่มีการนำไปใช้

2.2.3.1 แอนโอดเคอเรนทอินเทอร์พชั่น (Anode Current Interruption) โดยการตัดกระแส I_A ไม่ให้ไหลผ่านแอนโอดของเอสซีอาร์ วิธีง่ายๆ ดังรูปที่ 2.6 (ก) โดยต่อสวิตช์อนุกรมแอนโอด (A) ของเอสซีอาร์และเปิดสวิตช์เมื่อต้องการทำให้เอสซีอาร์หยุดทำงาน (Turn – Off) หรืออีกวิธีในรูปที่ 2.6 (ข) โดยต่อสวิตช์ระหว่างขั้วแอนโอดและแคโทดของเอสซีอาร์เป็นการเปลี่ยนทางเดินของกระแสแอนโอด (I_A) ไม่ให้ไหลผ่านเอสซีอาร์



รูปที่ 2.6 การทำให้เอสซีอาร์หยุดนำกระแสโดยวิธี Anode Current Interruption [2]

2.2.3.2 ฟอซคอมมิวเทชัน (Forced Commutation) วิธีนี้ทำได้โดยบังคับให้เอสซีอาร์ได้รับไบอัสกลับโดยใช้สวิตช์ขนานกับเอสซีอาร์เป็นตัวควบคุมการหยุดนำกระแสของเอสซีอาร์ดังรูปที่ 2.7 ถ้าสวิตช์เปิดวงจรเอสซีอาร์ยังคงนำกระแสอยู่ แต่ถ้าสวิตช์ปิดวงจรเอสซีอาร์จะหยุดนำกระแส เนื่องจากได้รับไบอัสกลับตลอดเวลาที่สวิตช์ยังคงปิดอยู่ โดยระยะเวลาในการบังคับให้เอสซีอาร์หยุดนำกระแสโดยให้ไบอัสกลับนี้จะต้องนานกว่าระยะเวลา Turn Off Time ซึ่งระบุไว้ในคู่มือ โดยทั่วไปค่าเวลานี้จะน้อยมาก (ประมาณ ไมโครวินาที)



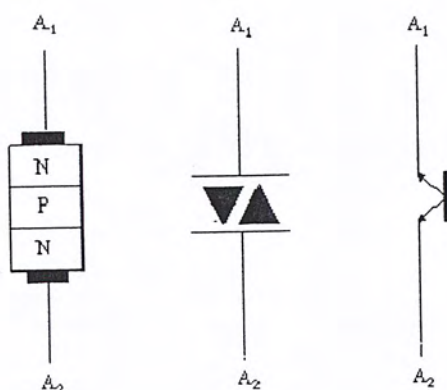
รูปที่ 2.7 การทำให้เอสซีอาร์หยุดนำกระแสโดยวิธี Forced Commutation [2]

2.3 ทฤษฎีพื้นฐานของไดแอก (Diac)

ไดแอก (Diac) หรือจะเรียกว่า ไดโอด-เอซี ก็ได้เป็นอุปกรณ์อิเล็กทรอนิกส์ จุดชนวน ไตรแอกที่ถูกออกแบบให้มีการนำกระแสได้ 2 ทางที่แรงดันค่าหนึ่ง

2.3.1 โครงสร้างและสัญลักษณ์ของไดแอก

รูปแบบโครงสร้างของไดแอกจะเป็นสาร P-N-P 3 ชั้น 2 รอยต่อเช่นเดียวกับ ทรานซิสเตอร์ (Transistor) ดังแสดงในรูปที่ 2.8 แต่จะแตกต่างจากทรานซิสเตอร์ก็ตรงที่ ความเข้มข้นในการโด๊ป (Dope) สารเป็นผลทำให้รอยต่อทั้งสองของไดแอกเหมือนกันจึงทำให้มีคุณสมบัติเป็น สวิตช์ (Switch) ได้ 2 ทางและค่าแรงดัน (Voltage) ที่เริ่มต้นจะทำให้ไดแอกนำกระแสได้นั้นจะอยู่ในช่วง 29-30 โวลต์



รูปที่ 2.8 โครงสร้างและสัญลักษณ์ของไดโอด [3]

สำหรับการทำงานของไดโอดนั้นเมื่อพิจารณาจากรูปที่ 2.8 จะอาศัยช่วงของแรงดันพังทลาย (Break Over Voltage) เป็นส่วนของการทำงาน โดยป้อนแรงดันบวก (+) เข้าที่ขา A_1 และแรงดันลบ (-) เข้าที่ขา A_2 สังเกตว่ารอยต่อ N และ P ตรงบริเวณ A_1 จะอยู่ในลักษณะไบอัสกลับจึงไม่มีกระแสไหลจาก A_1 ไปยัง A_2 ได้ ดังนั้นเมื่อเพิ่มแรงดันไบอัสดังกล่าวสูงขึ้นเรื่อยๆ ไปจนถึงค่าแรงดันค่าหนึ่งจะทำให้กระแสสามารถไหลทะลุผ่านรอยต่อ N-P มาได้ ส่วนรอยต่อตรง A_2 นั้นอยู่ในสภาวะไบอัสตรงอยู่แล้ว ดังนั้นกระแสที่ไหลผ่านไดโอดนี้จึงเหมือนกับเป็นกระแสที่เกิดจากการพังทลายของไดโอดและถ้าไม่มีการจำกัดกระแสแล้ว ไดโอดก็สามารถพังได้เหมือนกันถ้าหากสลับขั้วศักย์แรงดัน A_1 และ A_2 การทำงานของไดโอดก็จะเป็นเช่นเดียวกับกรณีดังกล่าวที่ผ่านมา สามารถเขียนเป็นกราฟแสดงความสัมพันธ์ของแรงดันตกคร่อมตัวไดโอด กับกระแสที่ไหลผ่านได้ดังแสดงดังรูปที่ 2.9



รูปที่ 2.9 กราฟแสดงลักษณะสมบัติของไดโอด [3]

เอกสารนี้เป็นเอกสารที่สงวนไว้สำหรับการใช้งานเพื่อการศึกษาเท่านั้น ไม่อนุญาตให้นำไปใช้ประโยชน์ด้านการค้าไม่ว่ากรณีใดๆ ทั้งสิ้น อีกทั้งห้ามมิให้ตัดแปลงเนื้อหา และต้องอ้างอิงถึงเจ้าของเอกสารทุกครั้งที่มีการนำไปใช้

เมื่อพิจารณาจากกราฟด้านบนเมื่อไดโอดนำกระแส ค่าแรงดันตกคร่อมตัวไดโอดจะลดค่าลงไปอีกเล็กน้อยซึ่งปกติจะลดลงจากค่าแรงดันพังทลายประมาณ 5 โวลต์ จากลักษณะสมบัติของไดโอดเราจะเห็นได้ว่าไดโอดนั้นเหมาะสมที่จะนำไปใช้เป็นตัวป้อนกระแสจุดชนวนให้กับอุปกรณ์ไทรแอก เพราะนำกระแสได้ 2 ด้าน

2.3.2 ตัวอย่างระดับค่าแรงดัน(Voltage) ของไดโอดในเบอร์ต่างๆ

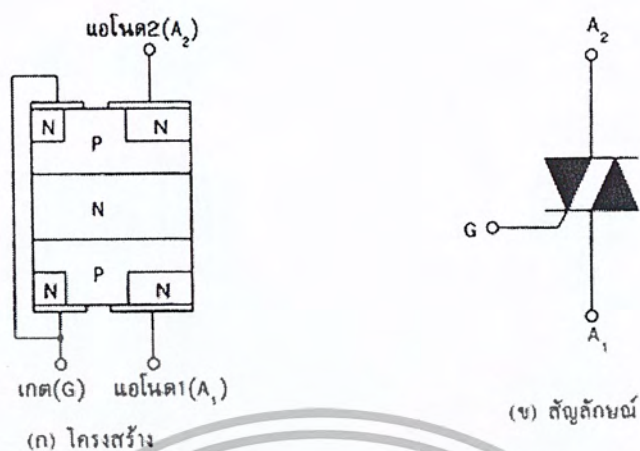
GT - 32 แถบสีแดง	$V_{BO} = 27-37 \text{ V}$
GT - 35 แถบสีส้ม	$V_{BO} = 30-40 \text{ V}$
GT - 40 แถบสีเหลือง	$V_{BO} = 38-48 \text{ V}$
GT - 50 แถบสีเขียว	$V_{BO} = 56-70 \text{ V}$

2.4 ทฤษฎีพื้นฐานของไทรแอก (Triac)

ไทรแอก (Triac) เป็นอุปกรณ์สารกึ่งตัวนำจำพวกไคริสเตอร์ เช่นเดียวกับ SCR แต่มีโครงสร้างแตกต่างไปจาก SCR เพราะ ไทรแอกนั้นเปรียบเสมือนการรวม SCR สองตัวไว้ด้วยกัน

2.4.1 โครงสร้าง สัญลักษณ์และวงจรสมมูลของไทรแอก

โครงสร้างของไทรแอกประกอบด้วยสารกึ่งตัวนำตอนใหญ่ 3 ตอน คือ PNP และในสารกึ่งตัวนำตอนใหญ่ มีสารกึ่งตัวนำตอนย่อยชนิด N อีก 4 ตอน ต่ออยู่กับสารกึ่งตัวนำชนิด P ทั้ง 2 ด้าน มีขาต่อออกมาใช้งาน 3 ขา ดังอธิบายได้ในรูปที่ 2.10 คือ



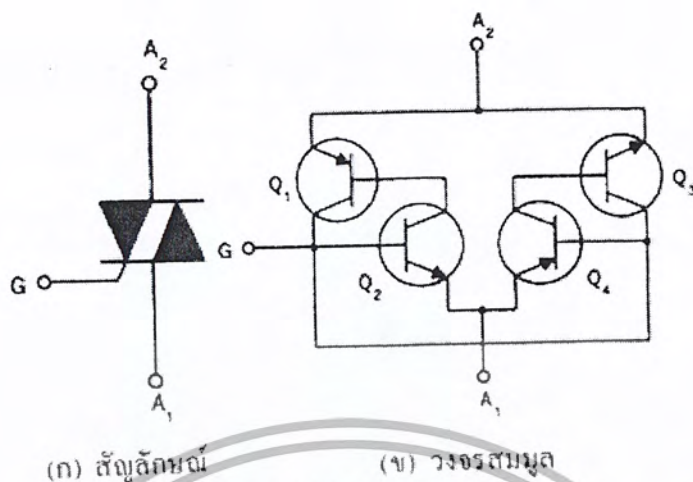
รูปที่ 2.10 (ก) โครงสร้างของไทรแอก (ข) สัญลักษณ์ของไทรแอก [4]

จากรูปที่ 2.10 (ก) ขาแอโนด 1 (Anode 1) ใช้ตัวย่อ A_1 หรืออาจเรียกว่าขามินเทอร์มินอล 1 (Main Terminal -1) ใช้ตัวย่อ MT₁, ขาแอโนด 2 (Anode 2) ใช้ตัวย่อ A_2 หรืออาจเรียกว่าขามินเทอร์มินอล 2 (Main Terminal -2) ใช้ตัวย่อ MT₂, และ ขาเกต (Gate) ใช้ตัวย่อ G สำหรับโครงสร้างและสัญลักษณ์ของไทรแอกพิจารณาได้ดังนี้

2.4.1.1 จากรูปที่ 2.10 (ก) อธิบายโครงสร้างเบื้องต้นของไทรแอก ประกอบด้วยสารกึ่งตัวนำคอนใหญ่ 3 คอน PNP และสารกึ่งตัวนำคอนย่อยชนิด N อีก 4 คอน ต่อกับสาร P ด้านละ 2 คอน การต่อขาออกมาใช้งานทั้ง 3 ขา คือขา A_1 , A_2 และ G ถูกต่อร่วมกับสารกึ่งตัวนำทั้งชนิด P และชนิด N ทำให้ไทรแอกสามารถนำกระแสได้กับแรงดันไฟสลับทั้งช่วงบวกและช่วงลบ

2.4.1.2 ส่วนรูปที่ 2.10 (ข) เป็นสัญลักษณ์ของไทรแอก ประกอบด้วยรูปสามเหลี่ยมและขีด 2 รูป ต่อกลับด้านกัน เหมือนกับ SCR สองตัวต่อขนานแบบหันหัวกลับทางกัน ขาเกตของ SCR ทั้งสองต่อร่วมกัน ดังนั้นวงจรสมมูลของไทรแอก จึงเหมือนกับวงจรสมมูลของ SCR สองตัวต่อร่วมกัน ลักษณะวงจรแสดงได้ดังรูปที่ 2.11

เอกสารนี้เป็นเอกสารที่สงวนไว้สำหรับการใช้งานเพื่อการศึกษาเท่านั้น ไม่อนุญาตให้นำไปใช้ประโยชน์ด้านการค้าไม่ว่ากรณีใดๆ ทั้งสิ้น อีกทั้งห้ามมิให้ตัดแปลงเนื้อหา และต้องอ้างอิงถึงเจ้าของเอกสารทุกครั้งที่มีการนำไปใช้



รูปที่ 2.11 (ก) สัญลักษณ์ของไครแอก (ข) วงจรสมมูลของไครแอก [4]

คุณสมบัติในการทำงานของไครแอกเหมือนกับการทำงานของ SCR สามารถนำไปทำงานได้ทั้งแรงดันไฟตรงและแรงดันไฟสลับ การทำงานกับแรงดันไฟสลับ ไครแอกสามารถนำกระแสได้ทั้งแรงดันไฟสลับช่วงบวกและแรงดันไฟสลับช่วงลบ โดยควบคุมการทำงานได้ด้วยขาเกต แรงดันที่มากควบคุมขาเกตให้ทำงาน หรือแรงดันกระตุ้นเกตใช้ได้ทั้งแรงดันบวกและแรงดันลบ

2.4.2 คุณสมบัติพื้นฐานของไครแอกมีดังนี้

2.4.2.1 โดยปกติ ถ้าไม่มีสัญญาณทริกที่เกต ไครแอกจะไม่ทำงาน โดยจะมีลักษณะเหมือนกับสวิตช์ที่ถูกเปิดวงจร

2.4.2.2 ถ้าในกรณีที่ MT2 และ MT1 ถูกป้อนด้วยแรงดันบวกและลบตามลำดับ ไครแอกจะถูกกระตุ้นให้ทำงาน ได้โดยการป้อนสัญญาณพัลส์เพียงสั้น ๆ ที่เกิดของมัน โดยจะมีแรงดันตกคร่อมตัวมัน มีค่าประมาณ 1 หรือ 2 โวลต์ เท่านั้น และที่เช่นกันคือเมื่อไครแอกเริ่มทำงานแล้ว ก็จะสามารถคงสภาพการทำงานอยู่ เช่นนั้นต่อไปเรื่อยๆ トラบเท่าที่ยังมีกระแสไหลผ่านตัวมันอย่างต่อเนื่อง

2.4.2.3 หลังจากที่ไครแอกคงสภาพการทำงานอยู่นั้น ทางเดียวที่จะหยุดการทำงานลงได้ก็คือโดยการลดปริมาณกระแสที่ไหลผ่านตัวมันลงให้มีค่าต่ำกว่ากระแสโฮลดี้งของ

เอกสารนี้เป็นเอกสารที่สงวนไว้สำหรับการใช้งานเพื่อการศึกษาเท่านั้น ไม่อนุญาตให้นำไปใช้ประโยชน์ด้านการค้าไม่ว่ากรณีใดๆ ทั้งสิ้น อีกทั้งห้ามมิให้ตัดแปลงเนื้อหา และต้องอ้างอิงถึงเจ้าของเอกสารทุกครั้งที่มีการนำไปใช้

มัน ในกรณีที่ใช้ไครแอกในการจ่ายกระแส AC การหยุดทำงานจะเกิดขึ้นอย่างอัตโนมัติ เมื่อแรงดันของไฟสลับเข้าใกล้จุดตัดศูนย์ที่เกิดขึ้น ทุกๆครึ่งคลื่น นั่นคือกระแสจะลดลงเป็นศูนย์

2.4.2.4 ไครแอกถูกกระตุ้นให้ทำงานได้ ทั้งสัญญาณแบบบวกและลบที่ป้อนให้แก่ขาเกตโดยไม่คำนึงถึงขั้วที่ต่ออยู่ที่ MT1 และ MT2

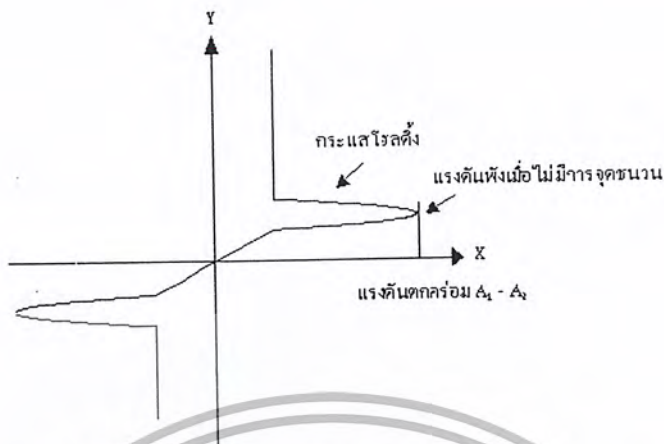
2.4.2.5 ไครแอกสามารถทนการกระชากของกระแสได้สูง เช่น โดยปกติสำหรับไครแอกที่ทนกระแสปกติได้ 10 แอมแปร์ (rms) สามารถทนการกระชากของกระแสในช่วงหนึ่ง คาบเวลาของไฟ 60 เฮิร์ตซ์ได้สูงถึง 100 แอมแปร์ เป็นต้น

จากคุณสมบัติที่กล่าวมาในเรื่องของการนำกระแส นั้น จึงสามารถแบ่งการทำงานของไครแอก ออกเป็น 4 แบบหรือ 4 ควอดเรนต์ (Quadrant) แสดงการทำงานของไครแอกทั้ง 4 ควอดเรนต์ที่ได้ดังรูปที่ 2.12



รูปที่ 2.12 การทำงานของไครแอกทั้ง 4 ควอดเรนต์ [4]

และสามารถอธิบายลักษณะกราฟแสดงสมบัติของไครแอกได้ดังรูปที่ 2.13



รูปที่ 2.13 กราฟแสดงสมบัติของไตรแอก [4]

พิจารณาจากรูปที่ 2.13 กราฟแสดงสมบัติของไตรแอกเป็นการแสดงความสัมพันธ์ของกระแสที่ไหลระหว่าง A_2-A_1 และแรงดันตกคร่อมทั้งบวกและลบ ในขณะที่แรงดันคร่อม A_2-A_1 มีค่าเป็นบวกเมื่อเทียบกับ A_1 และถ้ายังไม่มีการจุดชนวน (Trigger) แล้ว จะมีค่าแรงดันระหว่าง A_2-A_1 ค่าๆหนึ่งที่ทำให้ไตรแอกนำกระแสเองได้ แรงดันนี้คือแรงดันพังทลายเหมือนกับ SCR แต่ถ้าให้แรงดัน A_2-A_1 นี้มีค่าน้อยกว่าแรงดันพังทลายแล้วทำการจุดชนวน ที่ขาเกต (G) ซึ่งกระแสเกตจะมีค่าเป็นบวกหรือลบก็ได้ ไตรแอกจะนำกระแสทันที กราฟความสัมพันธ์และข้อจำกัดต่างๆ จะเหมือนกับ SCR ในทำนองเดียวกันถ้าให้แรงดันที่ A_1 มีค่าเป็นบวกเมื่อเทียบกับ A_2 ส่วนของกราฟคือแกน X ทางด้านลบจะมีลักษณะคล้ายกันกับด้านบวก ถ้าเพิ่มแรงดันมากขึ้นจนถึงค่าแรงดันพังทลายก็จะทำให้ไตรแอกนำกระแสเองได้ และถ้าหากว่าไม่มีการจำกัดกระแสในตัวไตรแอกแล้ว ไตรแอกจะเกิดการเสียหายได้ โดยในขณะที่ไตรแอกนำกระแสถ้าลดค่ากระแสแอนโวลจนจนถึงค่ากระแสต่ำสุดที่ยังคงทำให้ไตรแอกนำกระแสได้ ค่ากระแสต่ำสุดนี้เรียกว่า “โฮลดีง” (I_H : Holding Current) ก็จะทำให้ไตรแอกหยุดนำกระแส

เนื่องจากไตรแอกสามารถนำกระแสไฟฟ้าได้ทั้งสองทาง จึงเหมาะกับการนำไปใช้กับไฟสลับมากกว่าเอสซีอาร์ (SCR) และสำหรับกระแสไฟสลับ (เป็นคลื่นรูปไซน์) จะมีอยู่ช่วงเวลาหนึ่งช่วงกระแสตัดกับเส้นศูนย์ของกราฟ ที่กระแสต่ำกว่ากระแสโฮลดีง ดังนั้นจึงทำให้ไตรแอกหยุดนำกระแสเองและจะรอการจุดชนวนใหม่อีกครั้งและถ้าหากครึ่งลบของสัญญาณไฟสลับเข้า

เอกสารนี้เป็นเอกสารที่สงวนไว้สำหรับการใช้งานเพื่อการศึกษาเท่านั้น ไม่อนุญาตให้นำไปใช้ประโยชน์ด้านการค้าไม่ว่ากรณีใดๆ ทั้งสิ้น อีกทั้งห้ามมิให้ตัดแปลงเนื้อหา และต้องอ้างอิงถึงเจ้าของเอกสารทุกครั้งที่มีการนำไปใช้

มาก็จะนำกระแสทางด้านลบอีกเช่นเคย และจะหยุดนำกระแสเมื่อค่ากระแสลดลงต่ำกว่ากระแสโฮลดิ้ง

ตาราง 2.1 คุณสมบัติที่สำคัญของ ไตรแอกที่นิยมใช้

เบอร์	PIV	กระแสอาร์เอ็มเอส	V_{GT} (สูงสุด)	I_{GT} (สูงสุด)	I_H (สูงสุด)
C206D	400 V	3 A	2 V	5 mA	30 mA
2N6073	400 V	4 A	2.5 V	30 mA	70 mA
C226D	400 V	8 A	2.5 V	50 mA	60 mA
SC146D	400 V	10 A	2.5 V	50 mA	75 mA
TIC246D	400 V	15 A	2.5 V	50 mA	50 mA

จากตารางที่ 2.1 คุณสมบัติที่สำคัญของ ไตรแอกที่นิยมใช้ แสดงคุณสมบัติที่สำคัญเบื้องต้นเช่น ค่า PIV, V_{GT} (สูงสุด), I_{GT} (สูงสุด), I_H (สูงสุด) ซึ่งเป็นค่าสำคัญในการพิจารณาเลือกใช้ไตรแอกให้เหมาะสมกับการใช้งาน

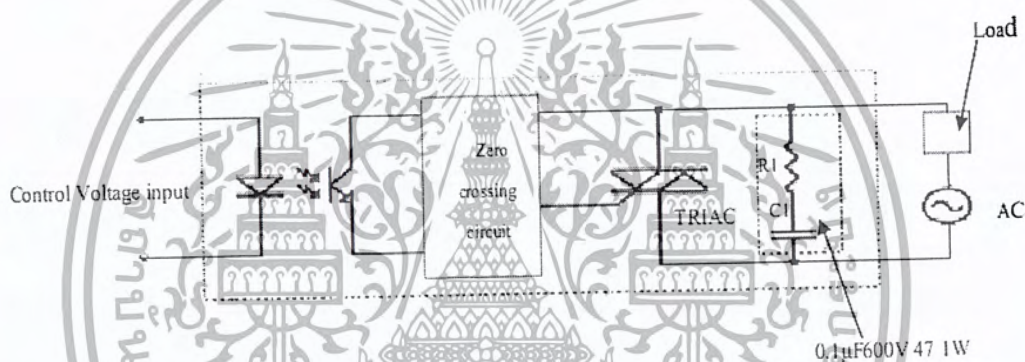
2.5 ทฤษฎีพื้นฐานของโซลิดสเตทรีเลย์ (Solid State Relay: SSR)

โซลิดสเตทรีเลย์ (Solid State Relay : SSR) ทำหน้าที่เป็นเหมือนสวิตช์อิเล็กทรอนิกส์ เป็นรีเลย์ประเภทหนึ่งซึ่งทำหน้าที่เหมือนรีเลย์กลไกแบบธรรมดาซึ่งภายในจะประกอบไปด้วย ขดลวด และหน้าสัมผัสเพียงแต่โซลิดสเตทรีเลย์จะมีโครงสร้างภายในเป็นอุปกรณ์อิเล็กทรอนิกส์สารกึ่งตัวนำที่ใช้สำหรับการตัดต่อวงจร แทนการตัดต่อวงจรด้วยหน้าสัมผัสเหมือนในรีเลย์แบบธรรมดาและยังใช้ในการปิด - เปิด ไฟสำหรับกระแสไฟ AC 110 โวลต์ หรือ DC 220 โวลต์ ได้ด้วย การใช้สารกึ่งตัวนำภายในทำให้โซลิดสเตทรีเลย์ไม่มีปัญหาด้านการสปาร์คของไฟ ทำงานได้รวดเร็ว และกำลังไฟที่ต้องการใช้ในการขับน้อย

เอกสารนี้เป็นเอกสารที่สงวนไว้สำหรับการใช้งานเพื่อการศึกษาเท่านั้น ไม่อนุญาตให้นำไปใช้ประโยชน์ด้านการค้าไม่ว่ากรณีใดๆ ทั้งสิ้น อีกทั้งห้ามมิให้ดัดแปลงเนื้อหา และต้องอ้างอิงถึงเจ้าของเอกสารทุกครั้งที่มีการนำไปใช้

2.5.1 หลักการทำงานของโซลิตสเทรีเลย์

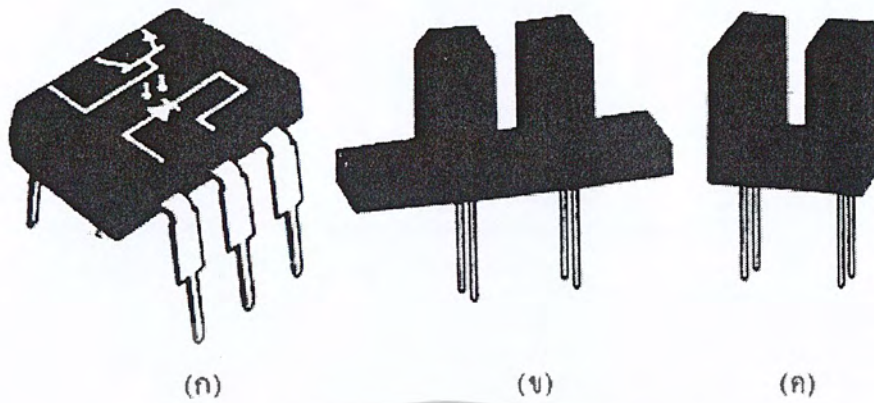
โครงสร้างการทำงานโดยทั่วไปของโซลิตสเทรีเลย์ แสดงดังรูปที่ 2.14 ซึ่งจะเห็นว่าขั้วทางอินพุตจะทำหน้าที่รับสัญญาณควบคุมการเปิด และปิดของวงจรทางเอาต์พุต โดยอินพุตและเอาต์พุตจะแยกกันทางไฟฟ้าอย่างสิ้นเชิงทำให้ตัดปัญหาเรื่องกราวด์รูปและการเชื่อมต่อทางไฟฟ้าที่อาจเกิดขึ้นได้ เพิ่มความปลอดภัยให้แก่วงจรและผู้ใช้งาน ซึ่งโดยทั่วไปการควบคุมเอาต์พุตจะควบคุม โดยการเชื่อมโยงทางแสง โดยจะใช้แสงเป็นตัวแปรในการส่งผ่านความสัมพันธ์ทั้งสองด้าน



รูปที่ 2.14 โครงสร้างการทำงานโดยทั่วไปของโซลิตสเทรีเลย์ [5]

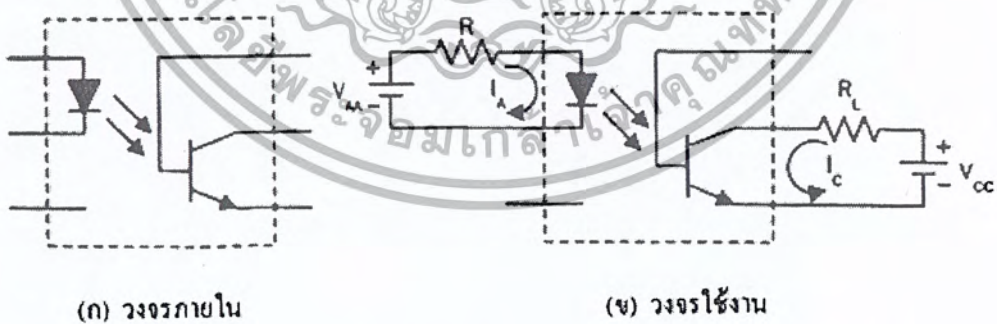
2.6 ทฤษฎีพื้นฐานของออปโตไอโซเลเตอร์ (Opto-Isolator)

อุปกรณ์แยกกันทางแสงหรือออปโตไอโซเลเตอร์ (Opto-Isolator) เป็นอุปกรณ์อิเล็กทรอนิกส์ล้วน ที่ใช้การเชื่อมต่อกันทางแสงด้วยทิศทางเคลื่อนที่ของแสงที่คงที่ภายในตัวอุปกรณ์ จะใช้หลักการเปลี่ยนสัญญาณไฟฟ้าเป็นสัญญาณแสง และเปลี่ยนกลับจากสัญญาณแสงเป็นสัญญาณไฟฟ้าตามเดิม สำหรับการเชื่อมต่อสัญญาณระหว่างวงจร 2 วงจรที่ต้องการแยกกันทางไฟฟ้าอย่างเด็ดขาด เพื่อป้องกันการรบกวนกันของสัญญาณไฟฟ้า รูปร่างและลักษณะของอุปกรณ์แยกกันทางแสง แสดงได้ดังรูปที่ 2.15



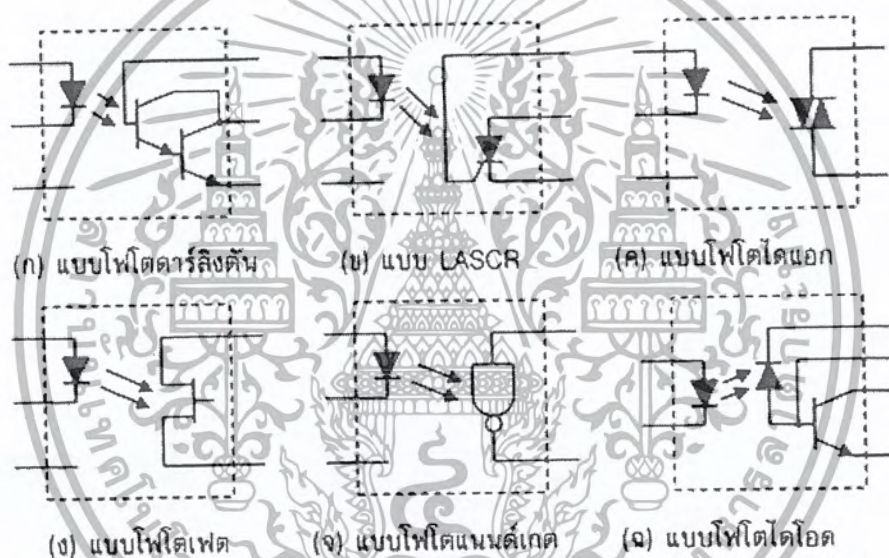
รูปที่ 2.15 รูปร่างและลักษณะต่างๆ ของอุปกรณ์แยกกันทางแสงแบบ (ก) (ข) และ (ค) [6]

อุปกรณ์แยกกันทางแสงเบื้องต้น จะประกอบด้วยอุปกรณ์กำเนิดแสง ส่วนมากเป็นพวก LED กำเนิดแสงในย่านอินฟราเรด และอุปกรณ์รับแสงมักเป็นพวกโฟโตทรานซิสเตอร์ทั้ง LED โฟโตทรานซิสเตอร์มักถูกสร้างไว้ในตัวถังเดียวกันและต่อขาออกมาใช้งานแต่ละส่วน อาจสร้างขึ้นในรูปแบบของไอซี ดังรูปที่ 2.15 (ก) หรือสร้างแยกกันชัดเจนวางแนวขนานห่างกัน มีช่องว่างกั้นกลาง ดังรูปที่ 2.15 (ข) และ (ค) เพื่อให้อุปกรณ์รับแสง เช่น เฟืองหรือจานกลมแบนเจาะรูมาเคลื่อนที่ตัดผ่านลำแสงตรงบริเวณช่องว่าง สำหรับวงจรภายในอุปกรณ์แยกกันทางแสง จะมีวงจรภายในและวงจรใช้งานแสดงดังรูปที่ 2.16



รูปที่ 2.16 วงจรภายในและวงจรใช้งานของอุปกรณ์แยกกันทางแสง [6]

จากรูปที่ 2.16 (ข) เมื่อจ่ายแรงดันไบอัสให้ LED และโฟโตทรานซิสเตอร์จะส่งผลให้ LED เปล่งแสงขึ้นส่องผ่านไปยังโฟโตทรานซิสเตอร์ ทำให้โฟโตทรานซิสเตอร์นำกระแส มีกระแส I_C ไหลในวงจรไปยังโหลด R_L แรงดันระหว่างอุปกรณ์ทั้งสองด้าน ทั้ง LED และด้านโฟโตทรานซิสเตอร์ ต้องใช้แรงดันมากหรือน้อยขึ้นอยู่กับระยะระหว่างตัวอุปกรณ์ทั้งสอง การจัดค่าแรงดันไบอัสที่เหมาะสมเป็นสิ่งสำคัญ และพอมะเพาะกับค่าทนแรงดันของอุปกรณ์ด้วย นอกจากอุปกรณ์แยกกันทางแสงจะทำมาจาก LED และโฟโตทรานซิสเตอร์แล้ว ในส่วนของอุปกรณ์รับแสงยังสามารถผลิตขึ้นมาจากอุปกรณ์สารกึ่งตัวนำหลายชนิดเป็นอุปกรณ์แยกกันทางแสงหลายประเภทได้ แสดงดังรูปที่ 2.17



รูปที่ 2.17 อุปกรณ์แยกกันทางแสงแบบต่าง ๆ [6]

จากรูปที่ 2.17 เป็นอุปกรณ์แยกกันทางแสงหลายแบบ อุปกรณ์กำเนิดแสงใช้ LED อินฟราเรดเป็นหลัก ส่วนอุปกรณ์รับแสงสามารถผลิตขึ้นได้จากอุปกรณ์สารกึ่งตัวนำหลายชนิด เพื่อให้เกิดความเหมาะสมกับวงจรและอุปกรณ์ทางเอาต์พุตที่จะเชื่อมต่อไป

รูปที่ 2.17 (ก) อุปกรณ์รับแสงแบบโฟโตคาร์ลิ่งตัน ช่วยให้สามารถใช้งานได้กับวงจรที่ต้องการกระแสทำงานสูง แต่ความไวในการทำงานของวงจรลดลง

เอกสารนี้เป็นเอกสารที่สงวนไว้สำหรับการใช้งานเพื่อการศึกษาเท่านั้น ไม่อนุญาตให้นำไปใช้ประโยชน์ด้านการค้าไม่ว่ากรณีใดๆ ทั้งสิ้น อีกทั้งห้ามมิให้คัดแปลงเนื้อหา และต้องอ้างอิงถึงเจ้าของเอกสารทุกครั้งที่มีการนำไปใช้

รูปที่ 2.17 (ข) อุปกรณ์รับแสงแบบ LASCR ช่วยการต่อเชื่อมวงจรทางอินพุตที่มีระดับแรงดันต่ำ ไปควบคุมวงจรทางเอาต์พุตที่มีระดับแรงดันสูง หรืออุปกรณ์เครื่องมือกลทางไฟฟ้าบางชนิด

รูปที่ 2.17 (ค) อุปกรณ์รับแสงแบบโฟโตไดโอด แยก สร้างขึ้นมาเพื่อประยุกต์ใช้งานเป็นอุปกรณ์กระตุ้นขาคัดไตรแอก โดยที่วงจรอินพุตมีระดับแรงดันต่ำ

รูปที่ 2.17 (ง) อุปกรณ์รับแสงแบบโฟโตเฟด ใช้งานได้กับวงจรเอาต์พุตที่ต้องการอิมพีแดนซ์สูงในการต่อเชื่อม ที่ต้องการแรงดันในการทำงานมากกว่ากระแสในการทำงาน

รูปที่ 2.17 (จ) อุปกรณ์รับแสงแบบโฟโตแนนด์เกต เป็นพวกอุปกรณ์ดิจิทัล อิเล็กทรอนิกส์ใช้ในการต่อเชื่อมวงจรแอนาล็อกและวงจรดิจิทัลเข้าด้วยกัน

รูปที่ 2.17 (ฉ) อุปกรณ์รับแสงแบบโฟโตไดโอดต่อร่วมกับ NPN ทรานซิสเตอร์ สามารถใช้งานได้กับโหลดที่ต้องการกระแสสูงขึ้น พร้อมกับมีการขยายสัญญาณในตัวก่อนส่งต่อไปให้วงจรเอาต์พุตอุปกรณ์แยกกันทางแสงหรือออปโต ไอโซเลเตอร์ ส่วนมากมักผลิตขึ้นมาในรูปของไอซี อาจมีอุปกรณ์แยกกันทางแสงชุดเดียวหรือหลายชุดก็ได้

2.7 ทฤษฎีพื้นฐานของไมโครคอนโทรลเลอร์ (Microcontroller)

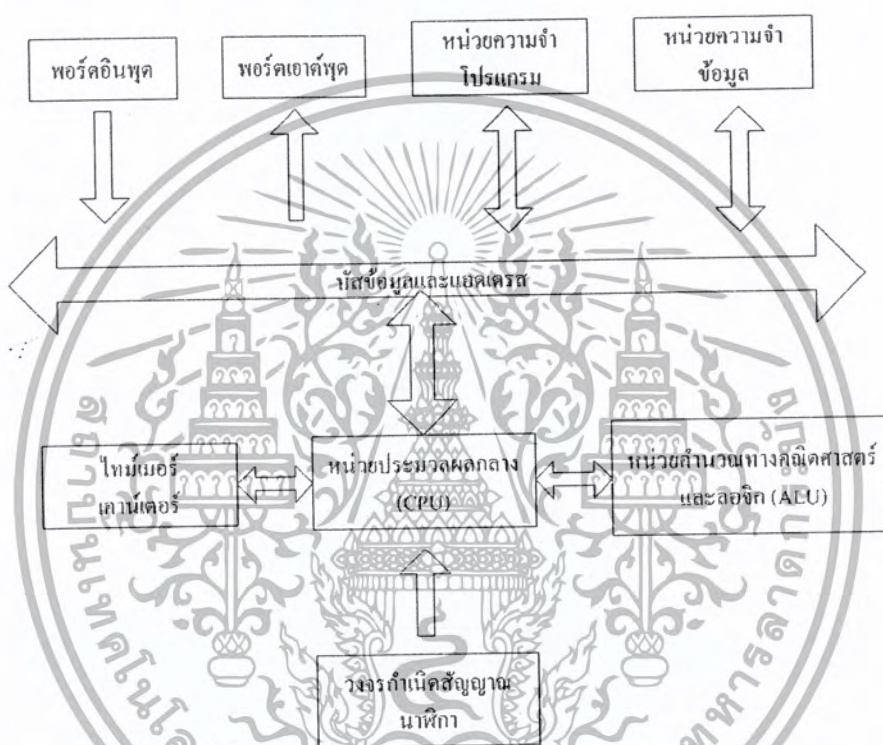
2.7.1 ความหมายของไมโครคอนโทรลเลอร์

ไมโครคอนโทรลเลอร์ (Microcontroller) มาจากคำ 2 คำ คำหนึ่งคือ ไมโคร (Micro) หมายถึงขนาดเล็ก และคำว่าคอนโทรลเลอร์ (controller) หมายถึงตัวควบคุมหรืออุปกรณ์ควบคุมขนาดเล็ก แต่ในตัวอุปกรณ์ควบคุมขนาดเล็กนี้ ได้บรรจุความสามารถที่ทำงานเสมือนกับระบบคอมพิวเตอร์ที่คนโดยส่วนใหญ่คุ้นเคย นั่นคือ ภายในไมโครคอนโทรลเลอร์ได้รวมเอาซีพียู, หน่วยความจำ และพอร์ต ซึ่งเป็นส่วนประกอบหลักสำคัญของระบบคอมพิวเตอร์เข้าไว้ด้วยกัน โดยที่สามารถเขียน โปรแกรมเพื่อกำหนดรูปแบบการทำงานและควบคุมได้อย่างอิสระตามความต้องการ

การควบคุมไมโครคอนโทรลเลอร์นั้นกระทำโดยผ่านกระบวนการควบคุมโดยโปรแกรมที่เขียนขึ้นเพื่อบอกถึงการทำงานของไมโครคอนโทรลเลอร์ โดยลักษณะที่ถูกระบุขึ้น

เอกสารนี้เป็นเอกสารที่สงวนไว้สำหรับการใช้งานเพื่อการศึกษาเท่านั้น ไม่อนุญาตให้นำไปใช้ประโยชน์ด้านการค้า ไม่ว่ากรณีใดๆ ทั้งสิ้น อีกทั้งห้ามมิให้ตัดแปลงเนื้อหา และต้องอ้างอิงถึงเจ้าของเอกสารทุกครั้งที่มีการนำไปใช้

โดยผู้เขียนโปรแกรมควบคุม ซึ่งควบคุมการทำงานทั้งหมดของไมโครคอนโทรลเลอร์ ในการกำหนดพอร์ตให้เป็นอินพุตหรือเอาต์พุต และยังสามารถกำหนดหน่วยความจำภายในซึ่งเป็นที่เก็บข้อมูลและเป็นที่พักข้อมูลตามความต้องการ โดยในการทำงานของไมโครคอนโทรลเลอร์แต่ละคำสั่ง จะอ้างอิงเวลาจากสัญญาณนาฬิกาที่ส่งให้กับไมโครคอนโทรลเลอร์เป็นหลัก สามารถแสดงโครงสร้างพื้นฐานของไมโครคอนโทรลเลอร์ได้ดังรูปที่ 2.18



รูปที่ 2.18 โครงสร้างพื้นฐานของไมโครคอนโทรลเลอร์

2.7.2 ไมโครคอนโทรลเลอร์ในตระกูลต่างๆ

2.7.2.1 MCS-51 ไมโครคอนโทรลเลอร์ MCS-51 หรือ Intel 8051 เป็นไมโครคอนโทรลเลอร์ที่ถูกพัฒนาขึ้น โดยบริษัท Intel เมื่อปี ค.ศ. 1980 และได้รับความนิยมสูงสุดในขณะนั้นจนถึงปัจจุบัน ก็ยังคงมีใช้กันอย่างแพร่หลาย MCS-51 เป็นไมโครคอนโทรลเลอร์ที่มีสถาปัตยกรรมและฟังก์ชันการใช้งานไม่ค่อยซับซ้อนเท่าใดนักและยัง

เอกสารนี้เป็นเอกสารที่สงวนไว้สำหรับการใช้งานเพื่อการศึกษาเท่านั้น ไม่อนุญาตให้นำไปใช้ประโยชน์ด้านการค้าไม่ว่ากรณีใดๆ ทั้งสิ้น อีกทั้งห้ามมิให้ดัดแปลงเนื้อหา และต้องอ้างอิงถึงเจ้าของเอกสารทุกครั้งที่มีการนำไปใช้

เป็นไมโครคอนโทรลเลอร์ที่มีความเร็วในการทำงานต่ำ ทำให้ในปัจจุบันความนิยมใช้ MCS-51 จึงลดลง แต่อย่างไรก็ตาม MCS-51 ก็เหมาะที่จะเป็นไมโครคอนโทรลเลอร์ตัวแรกๆ ที่จะช่วยให้ศึกษาเรียนรู้พื้นฐานการพัฒนาโปรแกรมบนไมโครคอนโทรลเลอร์เป็นอย่างดี

2.7.2.2 PIC ไมโครคอนโทรลเลอร์ PIC เป็นไมโครคอนโทรลเลอร์ที่ถูกพัฒนาขึ้น โดยบริษัท Microchip คำว่า PIC ย่อมาจาก Peripheral Interface Controller ในปัจจุบัน PIC เป็นไมโครคอนโทรลเลอร์ ที่ได้รับความนิยมอย่างมากเพราะ PIC มีฟังก์ชันการใช้งานมากมาย มีความเร็วในการทำงานสูงและราคาที่ไม่สูงมากด้วย ดังนั้นจึงทำให้ไมโครคอนโทรลเลอร์ตระกูล PIC ที่ขายในท้องตลาด มีให้เลือกมากมายหลายรูปแบบแล้วแต่การใช้งาน จุดเด่นประการสำคัญประการหนึ่งของ PIC ก็คือสามารถโปรแกรม PIC ผ่านพอร์ตอนุกรมได้อีกด้วย

2.7.2.3 AVR ไมโครคอนโทรลเลอร์ AVR เป็นไมโครคอนโทรลเลอร์ที่ถูกพัฒนาขึ้น โดยบริษัท Atmel เมื่อปี ค.ศ. 1996 AVR เป็นไมโครคอนโทรลเลอร์ตัวแรกๆ ที่ใช้หน่วยความจำแฟลช เป็นหน่วยความจำโปรแกรมแทนหน่วยความจำ ROM หรือ EPROM แบบเดิม ไมโครคอนโทรลเลอร์ AVR แบ่งออกตามระดับความจุของข้อมูลและฟังก์ชันการใช้งาน ปัจจุบัน AVR เป็นไมโครคอนโทรลเลอร์ตระกูลหนึ่ง ที่ได้รับความนิยมไม่แพ้ PIC เพราะมีความเร็วในการใช้งานสูง มีฟังก์ชันใช้งานมากมาย รวมถึงยังโปรแกรมผ่านพอร์ตสื่อสารอนุกรมได้เช่นเดียวกับ PIC อีกทั้งในขณะที่โปรแกรมยังไม่ต้องโหลดชิปตัวดังกล่าวออกจากวงจรด้วย หรือที่เรียกกันว่า In-System Programmable

2.7.2.4 ARM เป็นไมโครคอนโทรลเลอร์ที่ถูกพัฒนาขึ้น โดยบริษัท ARM Limited คำว่า ARM ย่อมาจาก Advance RISC Machine ไมโครคอนโทรลเลอร์ ARM นิยมใช้เป็นอย่างมากในอุปกรณ์ประเภทระบบสมองกลฝังตัว (Embedded System) เช่น โทรศัพท์มือถือ, เครื่อง PDA, เครื่องคิดเลข เป็นต้น ARM เป็นไมโครคอนโทรลเลอร์ที่มีสถาปัตยกรรมและฟังก์ชันการใช้งานที่ซับซ้อน เหมาะสำหรับการใช้งานพัฒนาโปรแกรมไมโครคอนโทรลเลอร์ระดับสูง

สำหรับในปฏิญานิพนธ์นี้จะเลือกใช้ไมโครคอนโทรลเลอร์ตระกูล MCS-51 ในการศึกษาออกแบบและสร้างระบบไฟสถานบันเทิงแบบอัตโนมัติตามจังหวัดเสียดคนตรี เพราะ MCS-51 มีโครงสร้างและวิธีการที่ไม่ซับซ้อนมากนัก เหมาะแก่การเริ่มต้นและศึกษาพื้นฐานของ

เอกสารนี้เป็นเอกสารที่สงวนไว้สำหรับการใช้งานเพื่อการศึกษาเท่านั้น ไม่อนุญาตให้นำไปใช้ประโยชน์ด้านการค้าไม่ว่ากรณีใดๆ ทั้งสิ้น อีกทั้งห้ามมิให้ดัดแปลงเนื้อหา และต้องอ้างอิงถึงเจ้าของเอกสารทุกครั้งที่มีการนำไปใช้

ไมโครคอนโทรลเลอร์ทำให้สามารถทำความเข้าใจได้ง่ายและรวดเร็วกว่าไมโครคอนโทรลเลอร์ตัวอื่นๆ

2.7.3 ภาษาที่ใช้ในการเขียนไมโครคอนโทรลเลอร์

2.7.3.1 ภาษาเครื่อง เป็นภาษาระดับต่ำที่สุด ประกอบไปด้วยรหัสเลขฐาน 2 คือ 0 กับ 1 เท่านั้น ซึ่งเป็นภาษาที่ไมโครคอนโทรลเลอร์เข้าใจ แต่มนุษย์จะทำความเข้าใจได้ยาก เพราะต้องอาศัยการจดจำรหัสคำสั่งต่างๆ รวมถึงต้องเข้าใจโครงสร้างภายในของไมโครคอนโทรลเลอร์ด้วย ดังนั้นจึงได้มีการคิดค้นสิ่งที่เรียกว่า คอมไพเลอร์ (Compiler) ขึ้นมา เพื่อให้มนุษย์สามารถเขียนภาษาระดับสูงที่มนุษย์สามารถเข้าใจได้ โดยคอมไพเลอร์จะทำหน้าที่เปลี่ยนภาษาระดับสูงเหล่านั้นให้กลายเป็นภาษาเครื่อง

2.7.3.2 ภาษาแอสเซมบลี เป็นภาษาที่ใช้รหัสคำสั่งเป็นตัวอักษรภาษาอังกฤษมาแทนคำสั่งรหัสเลขฐาน 2 ในแบบของภาษาเครื่องทำให้ภาษาแอสเซมบลีกลายเป็นภาษาที่มนุษย์ทำความเข้าใจได้ง่ายขึ้น นอกจากนี้แล้ว ยังเป็นภาษาที่ทำให้โปรแกรมทำงานได้อย่างรวดเร็ว เพราะมีการสั่งงานไปที่ฮาร์ดแวร์โดยตรง ด้วยเหตุนี้ทำให้ผู้พัฒนาโปรแกรมจำเป็นต้องเข้าใจสถาปัตยกรรมภายในของไมโครคอนโทรลเลอร์อย่างละเอียดด้วย ซึ่งกลายเป็นข้อดีของภาษาแอสเซมบลีไป คอมไพเลอร์ที่ทำหน้าที่แปลงภาษาแอสเซมบลีให้เป็นภาษาเครื่องเรียกว่า แอสเซมเบลอร์

2.7.3.3 ภาษา C เป็นภาษาระดับสูงที่มีความใกล้เคียงกับภาษามนุษย์ ทำให้ทำความเข้าใจได้ง่าย นอกจากนี้แล้วการเขียนโปรแกรมภาษา C ก็ไม่ต้องจำเป็นเข้าใจในโครงสร้างภายในของไมโครคอนโทรลเลอร์อย่างละเอียด เพียงแค่เข้าใจการเขียนโปรแกรมแบบโครงสร้างก็เพียงพอแล้วภาษา C สามารถใช้ในการเข้าถึงโครงสร้างภายในของไมโครคอนโทรลเลอร์ได้โดยตรง ทำให้โปรแกรมที่เขียนขึ้นทำงานได้รวดเร็ว ดังนั้นภาษา C จึงเป็นที่นิยมแพร่หลายในการเขียนโปรแกรมไมโครคอนโทรลเลอร์ คอมไพเลอร์ที่ใช้ในการแปลงภาษา C เป็นภาษาเครื่องมีอยู่มากมาย แต่ในปริณูตานิพนธ์นี้เลือกที่จะใช้ Keil C51 (uVision 2) ซึ่งจะอธิบายและกล่าวถึงในหัวข้อถัดไป

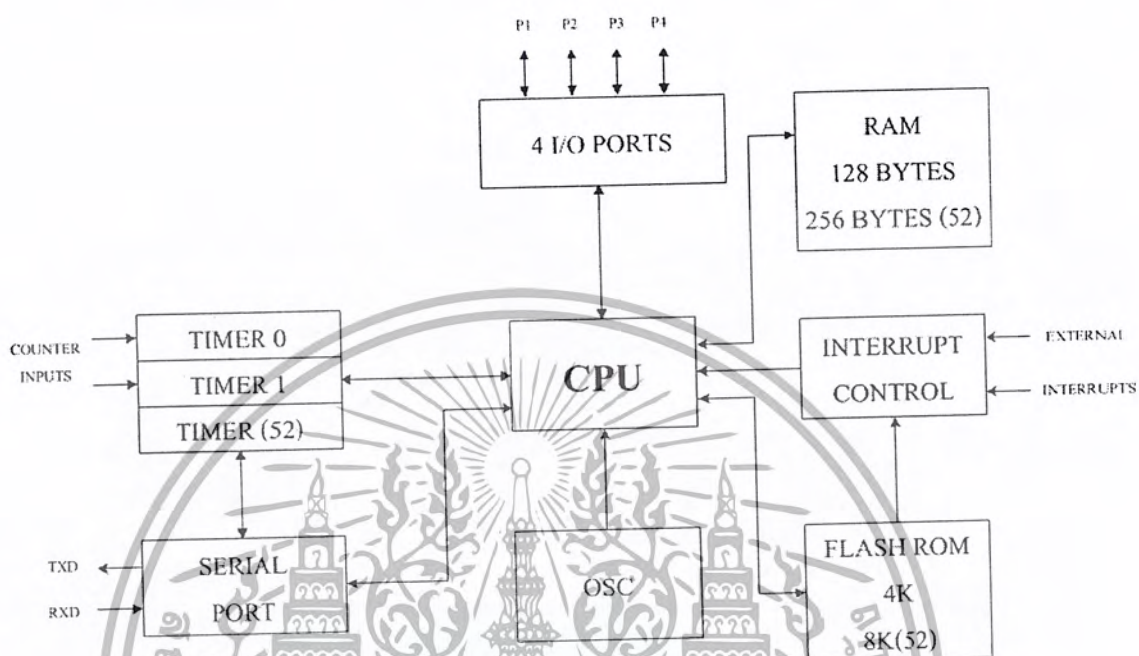
2.7.4 กลุ่มของไมโครคอนโทรลเลอร์ตระกูล MCS-51

ไมโครคอนโทรลเลอร์ตระกูล MCS-51 ส่วนใหญ่นั้นจะมี CPU ขนาด 8 บิต โดยแต่ละเบอร์ก็จะมีหน่วยความจำ จำนวนพอร์ตอินพุต-เอาต์พุต จำนวนขาที่แตกต่างกันไปตามลักษณะการใช้งานแต่ละเบอร์ ยกตัวอย่างเช่น เบอร์ AT89C2051 มีขนาดของหน่วยความจำแบบแฟลช 2 Kbyte หน่วยความจุข้อมูล 128 bytes แต่มีจำนวน 40 ขา ส่วนเบอร์ AT89C51 มีขนาดหน่วยความจำแบบแฟลช 4 Kbyte หน่วยความจุข้อมูล 128 bytes แต่มีจำนวน 40 ขา ซึ่งทำให้มีจำนวนพอร์ตอินพุต-เอาต์พุต มากกว่าเบอร์ AT89C2051 ดังนั้นจึงสามารถติดต่อกับอุปกรณ์ภายนอกได้หลายอุปกรณ์มากกว่า แต่ราคาก็สูงตามไปด้วยเช่นกัน แต่อย่างไรก็ตามไม่ว่าไอซีจะมีจำนวน 20 ขาหรือ 40 ขา ก็จะมี พอร์ต 1 และ พอร์ต 3 มาให้เป็นหลักเสมอ ทำให้สามารถใช้งานฟังก์ชันพิเศษได้ครอบคลุมได้เช่นเดียวกันสามารถพิจารณาได้จากคุณสมบัติของไมโครคอนโทรลเลอร์ตระกูล MCS-51 ได้ดังตารางที่ 2.2

ตารางที่ 2.2 คุณสมบัติของไมโครคอนโทรลเลอร์ตระกูล MCS-51

เบอร์	หน่วยความจำ	หน่วยความจำ	จำนวน I/O	ความเร็ว	จำนวนขา
	ข้อมูล	โปรแกรม			
AT89C2051	128 Ram	2 K flash	15	12MHz	20
AT89C4051	128 Ram	4 K flash	15	24MHz	20
AT89C51	128 Ram	4 K flash	32	24MHz	40
AT89C52	256 Ram	8 K flash	32	24MHz	40
AT89C55WD	256 Ram	20 K flash	32	24MHz	40
AT89C51RC	512 Ram	32 K flash	32	24MHz	40
AT89C51ED2	2 K Ram	64 K flash	34	60MHz	40

2.7.5 โครงสร้างและสถาปัตยกรรมของไมโครคอนโทรลเลอร์เบอร์ AT89C51



รูปที่ 2.19 โครงสร้างภายในของไมโครคอนโทรลเลอร์เบอร์ AT89C51

2.7.5.1 คุณสมบัติของไมโครคอนโทรลเลอร์เบอร์ AT89C51

- 1) เป็นไมโครคอนโทรลเลอร์ที่มี CPU ขนาด 8 บิต
- 2) มีหน่วยความจำข้อมูล (RAM) ขนาด 128 byte
- 3) มีหน่วยความจำโปรแกรม (ROM) แบบแฟลชขนาด 4 Kbyte สามารถทนต่อการเขียนลบได้ 1000 ครั้งและคงค่าข้อมูลที่เขียนไว้ได้ 10 ปี
- 4) มีพอร์ตอินพุต-เอาต์พุตทั้งหมด 4 พอร์ต พอร์ตละ 8 บิต รวม 32 บิต โดยแต่ละบิตสามารถใช้ได้ทั้งเป็น อินพุตและเอาต์พุต
- 5) มีไทม์เมอร์/เคาน์เตอร์ขนาด 16 บิต 2 ตัวคือไทม์เมอร์ 0 และไทม์เมอร์ 1
- 6) สามารถรองรับแหล่งกำเนิดอินเตอร์รัพต์ได้ 5 แหล่ง คือ อินเตอร์รัพต์ภายนอกที่ขา INTO และ INT1 อินเตอร์รัพต์จากไทม์เมอร์ 0 และไทม์เมอร์ 1 และอินเตอร์รัพต์จากพอร์ตสื่อสารอนุกรม
- 7) มีวงจรสื่อสารอนุกรมแบบสองทิศทาง (full duplex)

เอกสารนี้เป็นเอกสารที่สงวนไว้สำหรับการใช้งานเพื่อการศึกษาเท่านั้น ไม่อนุญาตให้นำไปใช้ประโยชน์ด้านการค้า ไม่ว่ากรณีใดๆ ทั้งสิ้น อีกทั้งห้ามมิให้คัดลอกเนื้อหา และต้องอ้างอิงถึงเจ้าของเอกสารทุกครั้งที่มีการนำไปใช้

8) ทำงานที่สัญญาณพิก้า 0-24 MHz

2.7.5.2 การจัดขาของไมโครคอนโทรลเลอร์เบอร์ AT89C51 จะมีการจัดขาที่เหมือนกันแสดงลักษณะการจัดขาของไมโครคอนโทรลเลอร์ AT89C51 ในแบบตัวถังแบบ DIP 40 ขาแสดงดังรูปที่ 2.20

P1.0	1	40	VCC
P1.1	2	39	P0.0 (AD0)
P1.2	3	38	P0.1 (AD1)
P1.3	4	37	P0.2 (AD2)
P1.4	5	36	P0.3 (AD3)
P1.5	6	35	P0.4 (AD4)
P1.6	7	34	P0.5 (AD5)
P1.7	8	33	P0.6 (AD6)
RST	9	32	P0.7 (AD7)
(RXD) P3.0	10	31	EA/VPP
(TXD) P3.1	11	30	ALE/PROG
(INT0) P3.2	12	29	RSEN
(INT1) P3.3	13	28	P2.7 (A15)
(T0) P3.4	14	27	P2.6 (A14)
(T1) P3.5	15	26	P2.5 (A13)
(WR) P3.6	16	25	P2.4 (A12)
(RD) P3.7	17	24	P2.3 (A11)
XTAL2	18	23	P2.2 (A10)
XTAL1	19	22	P2.1 (A9)
GND	20	21	P2.0 (A8)

รูปที่ 2.20 การจัดขาของไมโครคอนโทรลเลอร์เบอร์ AT89C51 [7]

จากรูปที่ 2.20 หน้าที่และการทำงานของแต่ละขามาดังนี้

- 1) VCC เป็นขาสำหรับต่อไฟเลี้ยง 5 โวลต์
- 2) GND เป็นขาสำหรับต่อลงกราวด์
- 3) XTAL 1/XTAL 2 เป็นขาทำหน้าที่ต่อกับตัวผลิตสัญญาณพิก้าให้กับ

ไอซี ซึ่งโดยปกติจะอยู่ที่ 11.0592 MHz

- 4) RST (Reset) เป็นขาอินพุตเพื่อเริ่มต้นการทำงานใหม่ของ

ไมโครคอนโทรลเลอร์ โดยการป้อนสัญญาณ ลอจิก 1 ให้โดยเป็นเวลาไม่น้อยกว่า 2 แมกซ์ซีนไซเคิล

5) **ALE/PROG (Address Latch Enable)** เป็นขาสัญญาณเอาต์พุตเพื่อแลตช์ค่าแอดเดรสตำแหน่งข้อมูล (Address Bus, A0 - A7) ในการติดต่อกับหน่วยความจำภายนอก และเป็นขาสัญญาณเอาต์พุตเพื่อควบคุมการโปรแกรมให้กับไมโครคอนโทรลเลอร์

6) **PSEN (Program Store Enable)** เป็นขาสัญญาณสโตรป (พัลส์ต่ำ) เมื่อต้องการอ่านข้อมูลจากหน่วยความจำโปรแกรมภายนอก โดยการส่งสัญญาณสโตรปนี้ 2 ครั้งใน 1 พัลส์สัญญาณนาฬิกา

7) **EA/VPP (External Access)** เป็นขาสัญญาณอินพุตเพื่อทำหน้าที่เลือกใช้งานหน่วยความจำภายนอกและภายใน โดยการกำหนดสถานะลอจิก ถ้าให้เป็นลอจิก 1 จะเลือกใช้งานหน่วยความจำภายใน ถ้าให้เป็น ลอจิก 0 จะเลือกใช้งานหน่วยความจำภายนอกในกรณีทำการโปรแกรมไมโครคอนโทรลเลอร์จะต่อเข้ากับแรงดันไฟฟ้า 12.75

8) **Port 0 (P0.0 – P0.7)** เป็นขาทำหน้าที่อินพุตและเอาต์พุตกับอุปกรณ์ภายนอก แบบ Open drain (ไม่มีตัวต้านทาน pull up ภายใน) ดังนั้นการใช้งานพอร์ต 0 นี้จึงจำเป็นต้องต่อตัวต้านทาน pull up ด้วย นอกจากนี้ ยังทำหน้าที่เป็นขา Address Bus (A0 – A7) ในการติดต่อกับหน่วยความจำภายนอกและ Data Bus (D0-D7) ในการรับข้อมูลการโปรแกรมให้กับไมโครคอนโทรลเลอร์อีกด้วย

9) **Port 1 (P1.0 – P1.7)** เป็นขาทำหน้าที่อินพุตและเอาต์พุตกับอุปกรณ์ภายนอก แบบมีตัวต้านทาน pull up ภายใน

10) **Port 2 (P2.0 - P2.7)** เป็นขาทำหน้าที่อินพุตและเอาต์พุตกับอุปกรณ์ภายนอก แบบมีตัวต้านทาน pull up ภายใน และยังเป็นขา Address Bus (A8 - A15) ในการติดต่อกับหน่วยความจำภายนอกอีกด้วย

11) **Port 3 (P3.0 - P3.7)** เป็นขาทำหน้าที่อินพุตและเอาต์พุตกับอุปกรณ์ภายนอกแบบมีตัวต้านทาน pull up ภายใน และยังทำหน้าที่เป็นขาของฟังก์ชันพิเศษต่างๆ ดังต่อไปนี้

- P3.0 / RXD รับข้อมูลแบบอนุกรม
- P3.1 / TXD ส่งข้อมูลแบบอนุกรม
- P3.2 / INT0 อินเทอร์รัพภายนอกหมายเลข 0
- P3.3 / INT1 อินเทอร์รัพภายนอกหมายเลข 1
- P3.4 / T0 Timer / Counter ตัวที่ 1

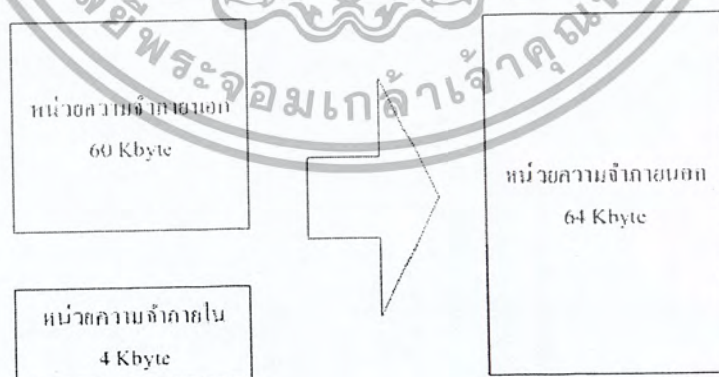
- P3.5 / T1 Timer / Counter ตัวที่ 2
- P3.6 / WR สัญญาณในการเขียนข้อมูลหน่วยความจำภายนอก
- P3.7 / RD สัญญาณในการอ่านข้อมูลหน่วยความจำภายนอก

2.7.6 โครงสร้างหน่วยความจำของไมโครคอนโทรลเลอร์ตระกูล MCS-51

ไมโครคอนโทรลเลอร์ตระกูล MCS-51 นั้นมีหน่วยความจำอยู่ 2 แบบที่ใช้เป็นที่เก็บข้อมูล คือ หน่วยความจำโปรแกรม (ROM) และหน่วยความจำข้อมูล (RAM) ซึ่งมีรายละเอียดแต่ละหน่วยความจำดังต่อไปนี้

2.7.6.1 หน่วยความจำโปรแกรม (Program Memory)

มีพื้นที่ไว้เพื่อเก็บโปรแกรมที่ถูกเขียนขึ้นและไม่สามารถเขียนลงหน่วยความจำนี้ได้ขณะทำงาน แต่จะทำหน้าที่โดยการอ่านคำสั่งของโปรแกรม เพื่อไปควบคุมไมโครคอนโทรลเลอร์ให้ทำงาน ตามลักษณะที่ถูกออกแบบโดยผู้เขียนโปรแกรม ซึ่งโดยทั่วไปแล้วในตัวไมโครคอนโทรลเลอร์นั้น มีหน่วยความจำที่มีขนาดแตกต่างกันออกไป ยกตัวอย่างเช่น ไมโครคอนโทรลเลอร์เบอร์ AT89C51 มีขนาดหน่วยความจำโปรแกรม 4 Kbyte และสามารถขยายเพิ่มเติมด้วยหน่วยความจำภายนอกได้ถึง 64 Kbyte แสดงการจัดสรรหน่วยความจำโปรแกรม AT89C51 ได้ดังรูปที่ 2.21



รูปที่ 2.21 การจัดสรรหน่วยความจำโปรแกรมไมโครคอนโทรลเลอร์ AT89C51

เอกสารนี้เป็นเอกสารที่สงวนไว้สำหรับการใช้งานเพื่อการศึกษาเท่านั้น ไม่อนุญาตให้นำไปใช้ประโยชน์ด้านการค้าไม่ว่ากรณีใดๆ ทั้งสิ้น อีกทั้งห้ามมิให้ดัดแปลงเนื้อหา และต้องอ้างอิงถึงเจ้าของเอกสารทุกครั้งที่มีการนำไปใช้

2.7.6.2 หน่วยความจำข้อมูล (Data Memory)

มีหน้าที่เก็บข้อมูลต่างๆ ในขณะที่โปรแกรมทำงานโดยทำการเรียกข้อมูลที่ต้องการของหน่วยความจำข้อมูลที่ต้องการมาใช้ หรือการนำข้อมูลมาเก็บไว้ในหน่วยความจำข้อมูล ยกตัวอย่างเช่น ไมโครคอนโทรลเลอร์เบอร์ AT89C51 จัดแบ่งหน่วยความจำข้อมูลออกเป็น 2 ส่วนคือ หน่วยความจำข้อมูลภายใน และหน่วยความจำข้อมูลภายนอก

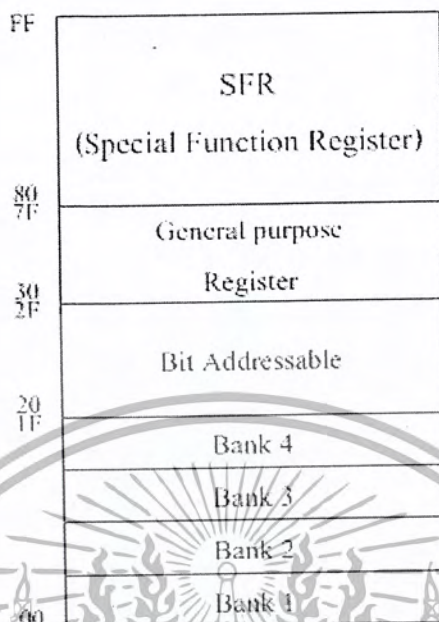
1) หน่วยความจำข้อมูลภายใน รับความจำข้อมูลภายในของไมโครคอนโทรลเลอร์เบอร์ AT89C51 แบ่งออกเป็น 4 ส่วน พิจารณาถึงโครงสร้างหน่วยความจำข้อมูลภายในของ AT89C51 ได้ดังรูปที่ 2.22 คือ

- ที่ตำแหน่ง 00H - 1FH จำนวน 32 Kbyte เป็นพื้นที่ของรีจิสเตอร์ R0 - R7 ซึ่งมีอยู่ด้วยกัน 4 ชุดนั้นหมายความว่ามีความจุถึง 32 รีจิสเตอร์

- ที่ตำแหน่ง 20H - 2FH จำนวน 16 byte สามารถเข้าใช้งานลักษณะไบต์หรือบิตได้ คือ สามารถอ้างถึงตำแหน่งแบบบิตได้ โดยตรง

- ที่ตำแหน่ง 30H - 7FH หน่วยความจำข้อมูลทั่วไป โดยสามารถเข้าถึงข้อมูลได้ในลักษณะไบต์เท่านั้น

- ที่ตำแหน่ง 80H - FFH สามารถเข้าถึงโดยตรง เป็นหน่วยความจำที่ทำหน้าที่พิเศษ



รูปที่ 2.22 โครงสร้างหน่วยความจำข้อมูลภายในของ AT89C51

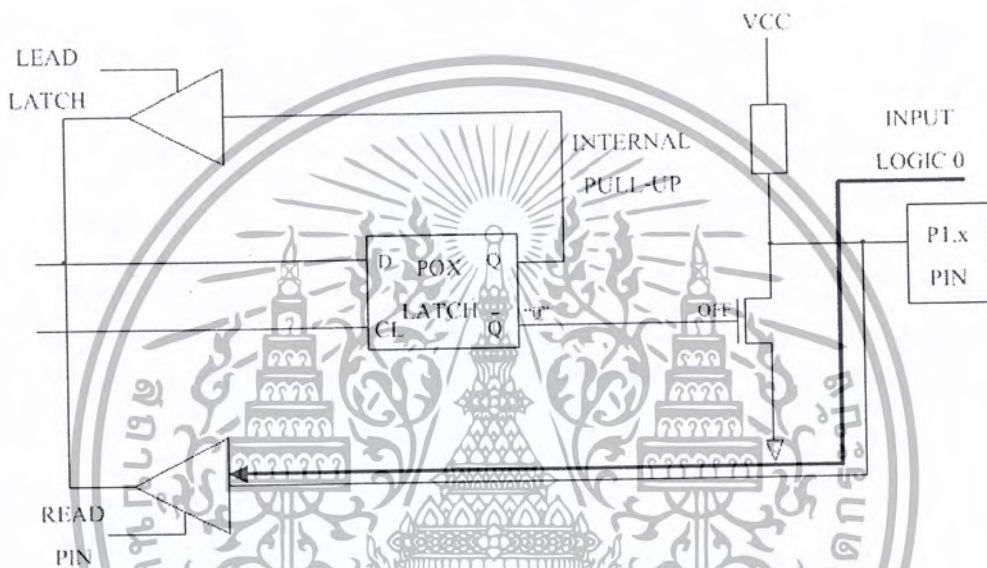
2) หน่วยความจำข้อมูลภายนอก หน่วยความจำข้อมูลภายนอกจะอยู่ภายนอกชิปไมโครคอนโทรลเลอร์เบอร์ AT89C51 ใช้สำหรับเก็บตัวแปรและข้อมูลทุกชนิดที่ไม่สามารถเก็บอยู่ภายในชิปได้ ซึ่ง AT89C51 สามารถอ้างหน่วยความจำข้อมูลภายนอกได้มากถึง 64 Kbyte หรือ 65,536 คำหนึ่ง

2.7.7 การใช้งาน MCS-51 เป็นพอร์ตอินพุตและเอาต์พุต

การใช้งานพอร์ตต่างๆ ของไมโครคอนโทรลเลอร์ MCS-51 เป็นพอร์ตที่สามารถติดต่อแบบสองทิศทางดังนั้นจึงต้องเข้าใจการกำหนดลักษณะการทำงานให้กับพอร์ตของไมโครคอนโทรลเลอร์ MCS-51 ดังต่อไปนี้

2.7.7.1 การกำหนดให้เป็นพอร์ตอินพุตการกำหนดลักษณะการทำงานเป็นพอร์ตพอร์ตอินพุตนั้น ต้องเริ่มจากการเขียนโปรแกรมเริ่มต้น โดยให้มีสภาวะลอจิก 1 เพื่อการทำงานของตัวเฟต ที่อยู่ภายใต้โครงสร้างของพอร์ตจะหยุดทำงานลง ดังนั้น สัญญาณของพอร์ตถูก

ต่อเชื่อมกับวงจร R-Pull up ภายในโดยตรง ซึ่งมีค่าประมาณ 50 กิโลโอห์ม ส่งผลให้ขาพอร์ตมีสถานะลอจิก 1 สามารถรับลอจิก 0 จากอุปกรณ์ภายนอกได้ง่าย แต่สำหรับ พอร์ต 0 ซึ่งไม่มี R-Pull up ทำให้เมื่อใช้งานควรต่อ R-Pull up เพื่อทำหน้าที่เป็น External Pull up ให้กับพอร์ต และการให้พอร์ตทำงานลักษณะอินพุตนั้นคือการรับสัญญาณไฟฟ้าเข้ามาที่พอร์ต ซึ่งก็คือสัญญาณไฟฟ้า ลอจิก 0 นั่นเอง ดังรูปที่ 2.23

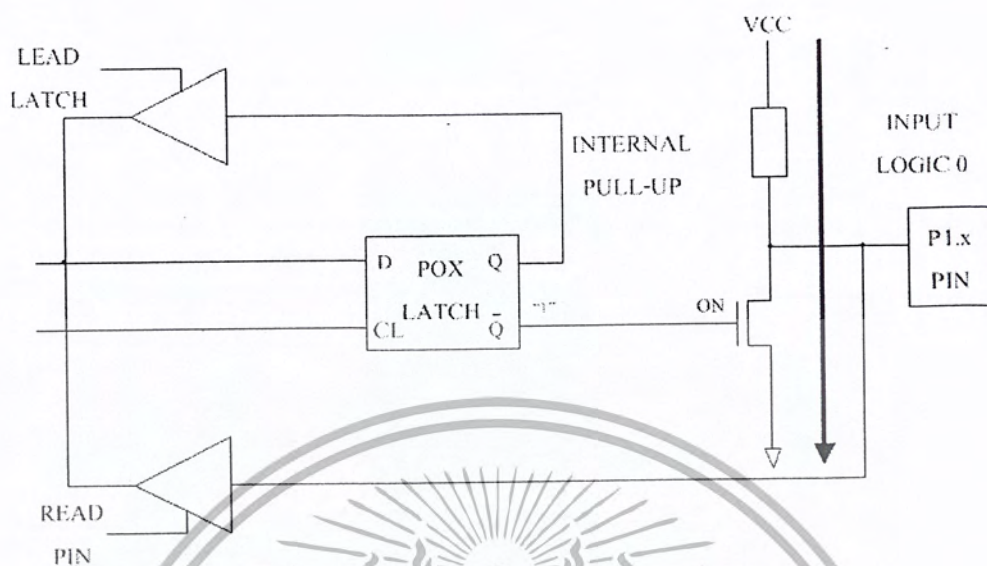


รูปที่ 2.23 แสดงการทำงานของพอร์ตลักษณะอินพุต

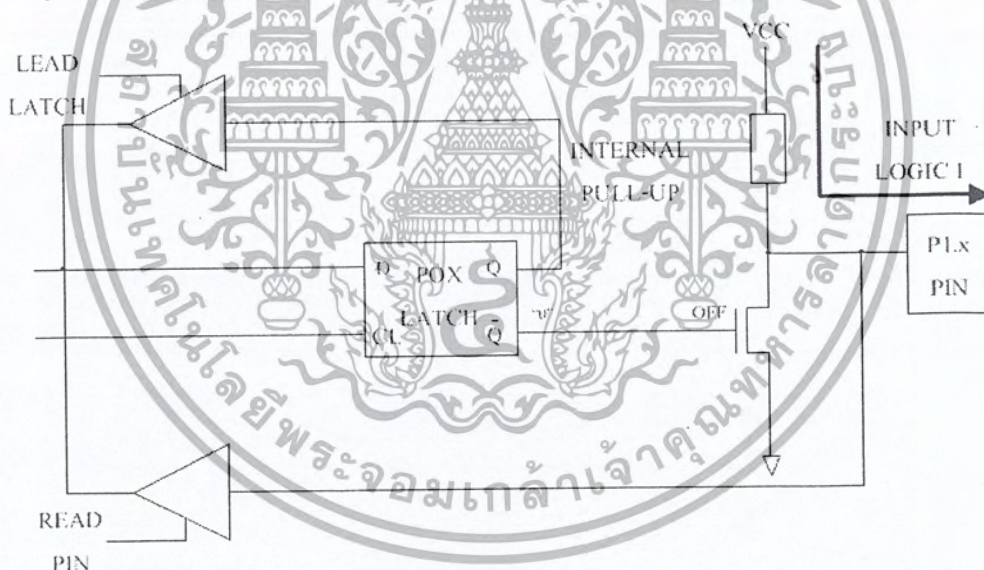
2.7.7.2 การกำหนดเป็นพอร์ตเอาต์พุตโดยปกติแล้วไมโครคอนโทรลเลอร์

MCS-51 จะกำหนดให้พอร์ตทำงานในลักษณะเอาต์พุตเป็นปกติอยู่แล้ว เช่น เมื่อกำหนดให้มีสถานะลอจิก 0 ให้ปรากฏที่พอร์ตนั้นๆ ฟลิปฟลอปก็จะคงค่าลอจิก 0 ไว้และส่งลอจิก 1 ไปที่เฟด ทำให้เฟดทำงาน ส่งผลให้เอาต์พุตเป็นลอจิก 0 แต่ถ้าต้องการให้เอาต์พุตเป็นลอจิก 1 ก็กำหนดให้มีสถานะเป็นลอจิก 1 ให้ปรากฏที่พอร์ตนั้นๆ ฟลิปฟลอปก็จะส่งลอจิก 0 ไปขับเฟด เฟดจะหยุดการทำงาน มีผลทำให้มีลอจิก 1 ตามตัวต้านทาน R-Pull up แต่ในลักษณะของพอร์ต 0 ซึ่งไม่มี R-Pull up ดังนั้น เมื่อต้องการให้เอาต์พุตมีสถานะเป็นลอจิก 1 จึงจำเป็นต้องต่อ R-Pull up ให้พอร์ต 0 เสมอ สามารถพิจารณาลักษณะการทำงานเป็นพอร์ตเอาต์พุตเมื่อกำหนดให้สถานะลอจิกเป็น 0 ได้ ดังรูปที่ 2.24 และเมื่อกำหนดให้สถานะลอจิกเป็น 1 ได้ดังรูปที่ 2.25

เอกสารนี้เป็นเอกสารที่สงวนไว้สำหรับการใช้งานเพื่อการศึกษาเท่านั้น ไม่อนุญาตให้นำไปใช้ประโยชน์ด้านการค้าไม่ว่ากรณีใดๆ ทั้งสิ้น อีกทั้งห้ามมิให้ตัดแปลงเนื้อหา และต้องอ้างอิงถึงเจ้าของเอกสารทุกครั้งที่มีการนำไปใช้



รูปที่ 2.24 ลักษณะการทำงานเป็นพอร์ตเอาต์พุต เมื่อกำหนดให้สถานะลอจิกเป็น 0



รูปที่ 2.25 ลักษณะการทำงานเป็นพอร์ตเอาต์พุต เมื่อกำหนดให้สถานะลอจิกเป็น 1

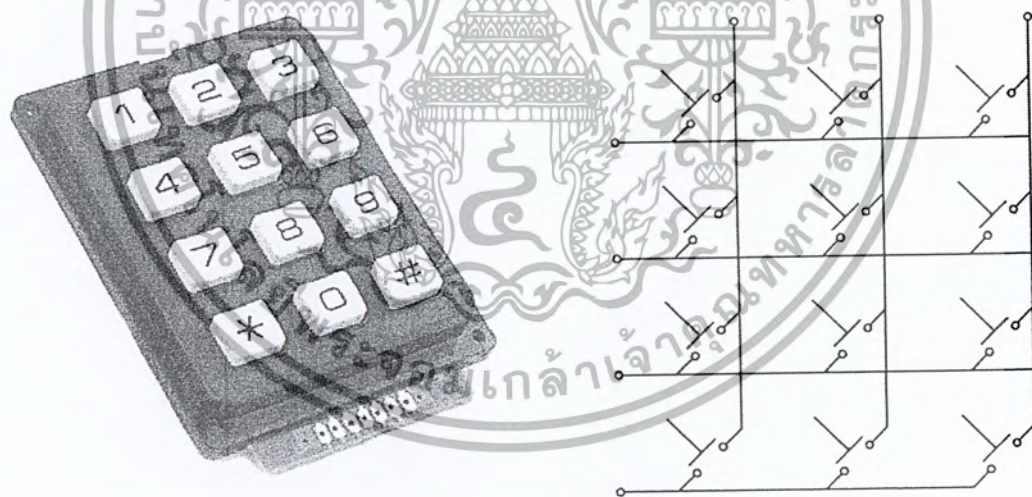
ในการทำงานของลักษณะเป็นพอร์ตเอาต์พุตนั้น มีกระแสสูงสุดได้ 10 mA สำหรับบิตเดียว แต่หากใช้รวมกันทั้งหมดของพอร์ต (P1.0 - P1.7) จะมีกระแสจ่ายได้สูงถึง 26 mA แต่การทำงานของพอร์ต 0 เนื่องจากไม่มี R-Pull up แต่อยู่ภายในจะทำให้ได้กระแส

เอกสารนี้เป็นเอกสารที่สงวนไว้สำหรับการใช้งานเพื่อการศึกษาเท่านั้น ไม่อนุญาตให้นำไปใช้ประโยชน์ด้านการค้า ไม่ว่ากรณีใดๆ ทั้งสิ้น อีกทั้งห้ามมิให้คัดแปลงเนื้อหา และต้องอ้างอิงถึงเจ้าของเอกสารทุกครั้งที่มีการนำไปใช้

15 mA สูงสุดของบิต แต่หากใช้พอร์ต 0 ทั้งหมด 8 Bit จะได้กระแสรวมกันสูงสุด 71 mA ซึ่งกระแสทั้งหมดนี้เรียกว่า กระแสชอร์ช และที่สำคัญในการต่อใช้งานบนคอมพิวเตอร์นั้นไม่จำเป็นต้องต่ออุปกรณ์ที่ช่วยในการส่งสัญญาณหรือที่เรียกว่า บัฟเฟอร์ แต่หากการต่อใช้งานจริงแล้ว ควรจะมีบัฟเฟอร์ในการต่อใช้งานอย่างยิ่ง เพื่อช่วยให้อุปกรณ์ที่ต่อร่วมกับไมโครคอนโทรลเลอร์นั้นมีกำลังในการขับที่ดีและคงที่พร้อมทั้งยังช่วยให้ตัวอุปกรณ์ไม่ต้องต่อโดยตรงกับไมโครคอนโทรลเลอร์ ในกรณีที่ตัวอุปกรณ์นั้นเกิดข้อบกพร่องอีกด้วย

2.8 หลักการทำงานและโครงสร้างของคีย์แพด

คีย์แพด (Keypad) คืออุปกรณ์ที่นำเอาสวิตช์หลายๆตัวมาต่อกันแบบเมทริกซ์ ซึ่งจะช่วยลดจำนวนสายสัญญาณของข้อมูลให้น้อยลง ในขณะที่ใช้สวิตช์จำนวนมากๆ แล้วยังลดขนาดของวงจรให้มีขนาดเล็กลงด้วย คีย์แพดจึงเปรียบเสมือนคีย์บอร์ดเล็กๆนั่นเอง ลักษณะโครงสร้างของคีย์แพดจะมีลักษณะดังรูปที่ 2.26

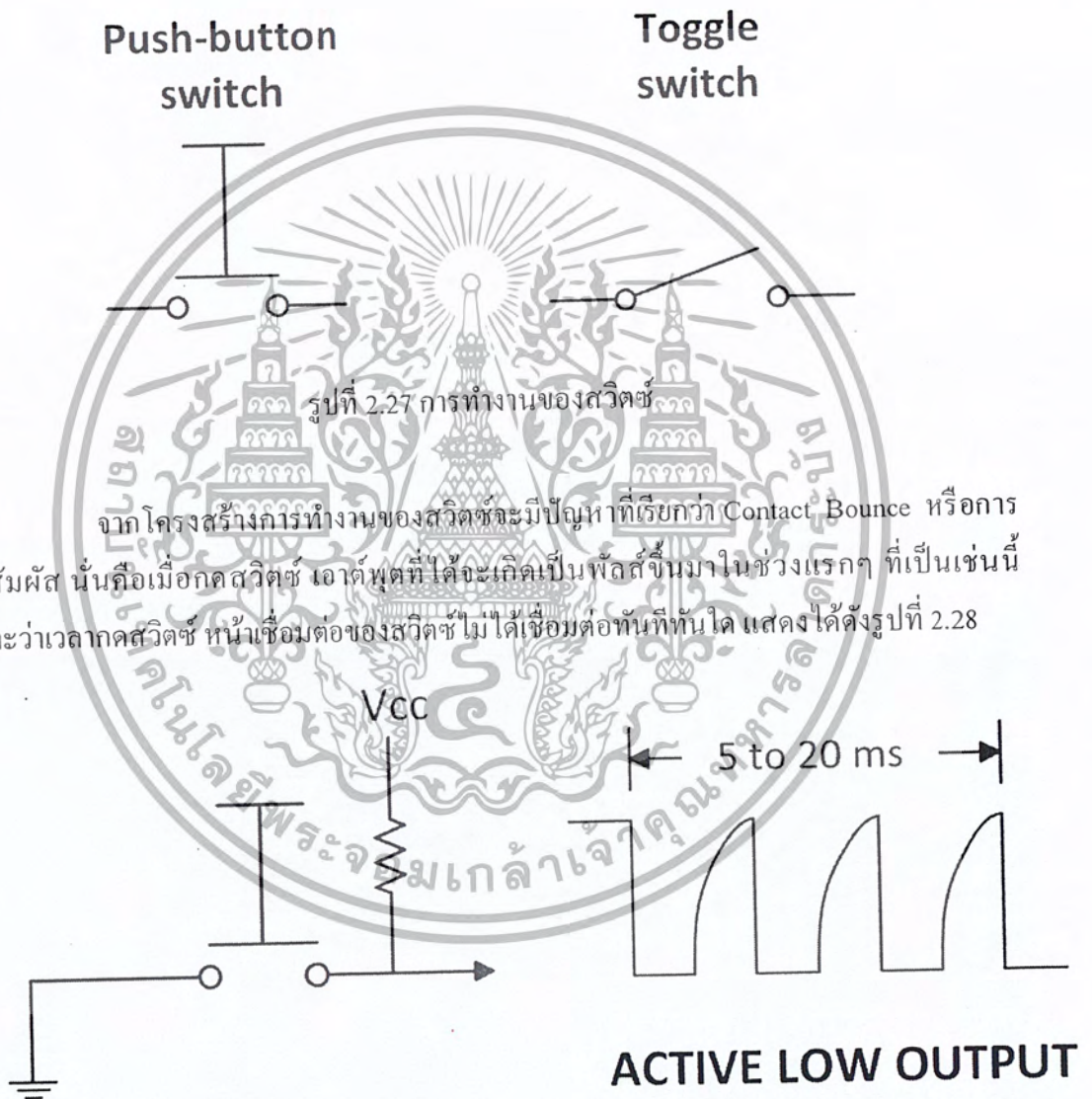


รูปที่ 2.26 ลักษณะ โครงสร้างของคีย์แพด [8]

เอกสารนี้เป็นเอกสารที่สงวนไว้สำหรับการใช้งานเพื่อการศึกษาเท่านั้น ไม่อนุญาตให้นำไปใช้ประโยชน์ด้านการค้าไม่ว่ากรณีใดๆ ทั้งสิ้น อีกทั้งห้ามมิให้ตัดแปลงเนื้อหา และต้องอ้างอิงถึงเจ้าของเอกสารทุกครั้งที่มีการนำไปใช้

2.8.1 กลไกการทำงานของคีย์แปด

กลไกการทำงานของสวิตช์เมื่อกดปุ่มสวิตช์ จะทำให้เส้นลวดทองแดงสัมผัสกันเกิดการครบวงจรแสดงดังรูปที่ 2.27



รูปที่ 2.28 การเกิด Contact Bounce หรือการกดสัมผัส

เอกสารนี้เป็นเอกสารที่สงวนไว้สำหรับการใช้งานเพื่อการศึกษาเท่านั้น ไม่อนุญาตให้นำไปใช้ประโยชน์ด้านการค้า ไม่ว่ากรณีใดๆ ทั้งสิ้น อีกทั้งห้ามมิให้ดัดแปลงเนื้อหา และต้องอ้างอิงถึงเจ้าของเอกสารทุกครั้งที่มีการนำไปใช้

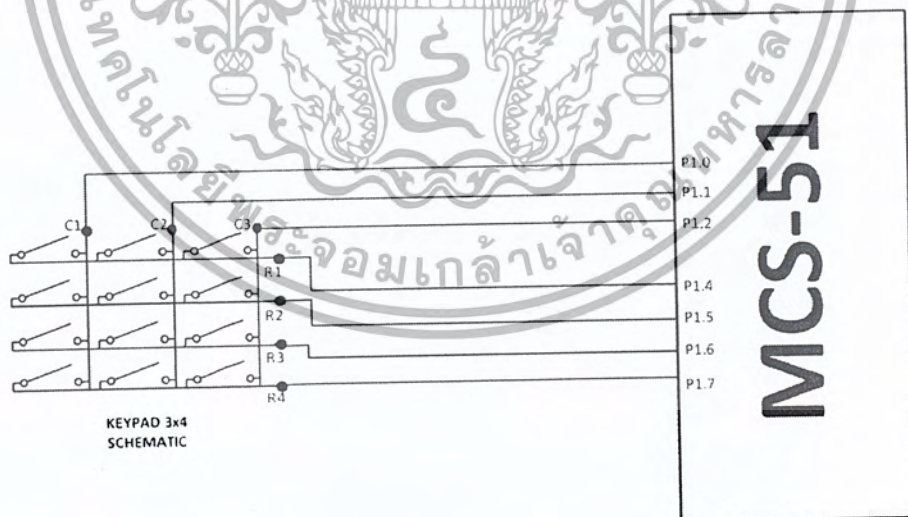
เพื่อให้ได้เอาต์พุตที่ถูกต้องจากการกดสวิตช์ก่อนส่งไปยังไมโครคอนโทรลเลอร์ จะต้องหน่วงเวลาไว้ระยะหนึ่งก่อน เพื่อแน่ใจว่าสวิตช์สัมผัสกันคงที่แล้ว กระบวนการนี้เรียกว่า การ “Debouncing” ดังนั้น ในการใช้งานคีย์แพดจึงประกอบไปด้วย 3 ขั้นตอนดังนี้

- 1) Keypad Scanning สำหรับตรวจสอบว่าสวิตช์ไหนถูกกด
- 2) Keypad Debouncing เพื่อความแน่ใจว่าสวิตช์นั้นถูกกดจริง
- 3) Table Lookup สำหรับหารหัสแอสกี (ASCII Code) ของคีย์ที่กดนั้น

เพื่อส่งให้ไมโครคอนโทรลเลอร์หรือคอมพิวเตอร์ต่อไป

จากขั้นตอนการทำงานทั้ง 3 นี้สามารถไปประยุกต์ใช้กับคีย์บอร์ดที่เชื่อมต่อกับคอมพิวเตอร์ได้

2.8.2 การเชื่อมต่อคีย์แพดเข้ากับไมโครคอนโทรลเลอร์



รูปที่ 2.29 การเชื่อมต่อคีย์แพดเข้ากับไมโครคอนโทรลเลอร์

เอกสารนี้เป็นเอกสารที่สงวนไว้สำหรับการใช้งานเพื่อการศึกษาเท่านั้น ไม่อนุญาตให้นำไปใช้ประโยชน์ด้านการค้า ไม่ว่ากรณีใดๆ ทั้งสิ้น อีกทั้งห้ามมิให้ตัดแปลงเนื้อหา และต้องอ้างอิงถึงเจ้าของเอกสารทุกครั้งที่มีการนำไปใช้

จากรูปที่ 2.29 การเชื่อมต่อคีย์แพด ขนาด 3x4 เข้ากับไมโครคอนโทรลเลอร์ที่พอร์ต 1 โดยใช้สายทั้งหมด 7 เส้น เป็นสายของคอลัมน์ 3 เส้นและสายของโรล 4 เส้น โดยไมโครคอนโทรลเลอร์จะทำการส่งข้อมูลบิต “0” ไปยัง P1.0 - P1.2 ตามลำดับ ในทุกครั้งที่มีการส่งข้อมูลไปยังสายคอลัมน์คีย์แพด ไมโครคอนโทรลเลอร์จะทำการอ่านค่าที่ P1.4 - P1.7 เข้ามาด้วย หากไม่มีการกดคีย์ค่าของ P1.4 - P1.7 ก็จะเป็น “1” ทั้งหมด ถ้าหากมีการกดคีย์ค่าของ P1.4 - P1.7 ก็จะไม่เป็น “1111” อีกต่อไป เป็นการแจ้งให้ทราบว่ามีมีการกดคีย์แพดแล้วจากนั้นไมโครคอนโทรลเลอร์ก็จะทำการค้นหาตำแหน่งต่อไป ในการค้นหาตำแหน่งนั้น สิ่งที่จะได้มาอย่างแรกคือ ค่าตำแหน่งของคีย์นั้น จากนั้นก็จะนำค่าตำแหน่งนั้นไปเปิดตารางข้อมูล (ตารางที่ 3.1) เพื่อที่จะได้ค่าที่ต้องการนำไปแสดงผลที่แท้จริง

2.9 โปรแกรม Keil C51 (uVision 2)

โปรแกรม Keil C51 (uVision 2) นั้นได้เข้ามามีบทบาทเป็นอย่างมากสำหรับการเขียนโปรแกรมต่างๆเพื่อลงไมโครคอนโทรลเลอร์ ซึ่งมีความสะดวกสบายอย่างมากเพราะการเขียนด้วยภาษา C นั้น เป็นภาษาที่เข้าใจได้ง่าย แกะใจได้อย่างสะดวก จึงทำให้โปรแกรมนี้นับเป็นที่นิยมมากในผู้ใช้ไมโครคอนโทรลเลอร์ตระกูล MCS-51

โดยโปรแกรม Keil C51 นั้นเป็นโปรแกรมที่สร้างขึ้นโดยบริษัท Keil Software โปรแกรมนี้จะเรียกกันในอีกชื่อหนึ่งว่า uVision 2 ซึ่งช่วยในการเขียนโปรแกรมภาษา C ซึ่งสามารถแปลงเป็น HEX ไฟล์และมีไอซีไมโครคอนโทรลเลอร์ให้เลือกมากมายหลายแบบ หน้าต่างการใช้งานโปรแกรมแสดงดังรูปที่ 2.30

```

Web51 - uVision2- [C:\web51c\app\00 Eeprom.Setup\eesetup.c]
File Edit View Project Debug Flash Peripherals Tools SVCS Window Help
Web51
Web51
  SRC
  eesetup.c
  INC
  const.h
  ip.h
  osp.h
  icmp.h
  udp.h
  web51.h
  extdm.h
  time.h
  eeprom.h
  system.h
  nt8019.h
  eesetup.h
  LIB
  Web51Udp.LIB
  Web51 main function...
  void main(void)
  {
    ETH_ADDR MY_ETH_ADDR = ((0x00, 0x0A, 0x59,
    IP_ADDR MY_IP_ADDR = ((192, 168, 6, 68));
    IP_ADDR GW_IP_ADDR = ((192, 168, 6, 254));
    IP_ADDR NETMASK = ((255, 255, 255, 0));

    WS1SystemInit();
    WS1VerStrComp();

    printf("\n\rQid T89c51RD2 eeprom settings.
    WS1SysInfo();

    memcpy( &my_eth_addr, &MY_ETH_ADDR, sizeof
    memcpy( &my_ip_addr, &MY_IP_ADDR, sizeof(
    memcpy( &gw_ip_addr, &GW_IP_ADDR, sizeof(
    memcpy( &netmask, &NETMASK, sizeof(IP_

    WS1EWriteConfig();

    printf("\n\rQid T89c51RD2 eeprom settings \n\r
  }
  Program Size: data=54.6 kdata=1862 code=10900
  creating hex file from "Web51"...
  "Web51" - 0 Error(s), 14 Warning(s).
  Build Command Find Files
  L28.C4
  
```

รูปที่ 2.30 หน้าต่างการใช้งาน โปรแกรม Keil C51 (uVision 2) [9]

2.10 โปรแกรม Visual Studio 2008

Visual C# 2008 เป็นเครื่องมือที่ช่วยในการเขียนภาษา C# ซึ่งภาษา C# เป็นภาษาโปรแกรมมิ่งใหม่ที่ถูกสร้างขึ้นมาสำหรับการพัฒนาซอฟต์แวร์ภายใต้เทคโนโลยี Microsoft .NET ซึ่งเป็นเทคโนโลยีที่ได้รับความนิยมสูงสุดในปัจจุบัน

Visual C# นั้นถูกแนะนำครั้งแรกพร้อมกับ Visual Studio .NET ในชื่อของ Visual C# .NET แต่มาโด่งดังและได้รับความนิยมอย่างสูงในเวอร์ชันถัดมานั้นคือ Visual C# 2005 ซึ่งมาพร้อมกับ Visual Studio 2005 และเวอร์ชันล่าสุดคือ Visual C# 2008 ซึ่งได้รับการพัฒนาให้รองรับการพัฒนาแอปพลิเคชันรูปแบบต่างๆ ได้มากมายทั้งที่เป็นแอปพลิเคชันบน Windows, อินเทอร์เน็ต, Mobile เป็นต้น

แต่เดิมนั้นเรามักจะเรียกการพัฒนาซอฟต์แวร์ (Software Development) ว่าการเขียนโปรแกรม (Programming) เพราะมีแค่งานเขียนโปรแกรม แต่สำหรับยุคนี้แล้วการพัฒนา

เอกสารนี้เป็นเอกสารที่สงวนไว้สำหรับการใช้งานเพื่อการศึกษาเท่านั้น ไม่อนุญาตให้นำไปใช้ประโยชน์ด้านการค้า ไม่ว่าจะกรณีใดๆ ทั้งสิ้น อีกทั้งห้ามมิให้ตัดแปลงเนื้อหา และต้องอ้างอิงถึงเจ้าของเอกสารทุกครั้งที่มีการนำไปใช้

ซอฟต์แวร์มีมากกว่าการเขียน โปรแกรม โดยมีตั้งแต่การออกแบบหน้าตา, ออกแบบฐานข้อมูล, การเขียนโปรแกรม, การทดสอบโปรแกรม และการเผยแพร่ผลงานที่พัฒนาขึ้นมา นอกจากนี้ขอบเขตของการพัฒนาแอปพลิเคชันยังครอบคลุมไปถึงการสร้างแอปพลิเคชันให้ทำงานบนอินเทอร์เน็ต, สร้างซอฟต์แวร์สำหรับโทรศัพท์มือถือ หรือแม้กระทั่งเขียนเป็นชุดคำสั่งสำหรับหุ่นยนต์



รูปที่ 2.31 โปรแกรม Visual Studio 2008 [10]

2.10.1 เริ่มต้นใช้งาน Visual C# 2008

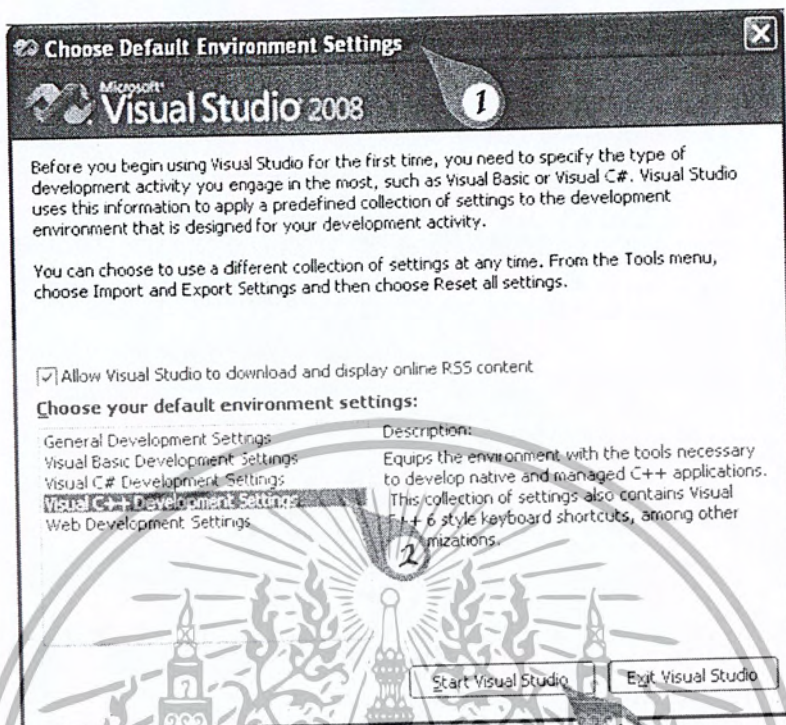
เมื่อเราริเริ่มต้นใช้งาน Visual Studio 2008 เป็นครั้งแรกจะมีขั้นตอนเพื่อเลือกใช้ Visual C# 2008 เป็นภาษาหลักสำหรับเขียนโปรแกรม ดังนี้

2.10.1.1 คลิกปุ่ม Start > All Programs > Microsoft Visual Studio 2008 > Microsoft Visual Studio 2008 จะปรากฏหน้าต่าง Choose Default Environment Setting ขึ้นมา

2.10.1.2 คลิกเลือก Visual C# Development Settings เพื่อใช้ภาษา C# เป็นภาษาหลักสำหรับเขียนโปรแกรม

2.10.1.3 คลิกปุ่ม

เอกสารนี้เป็นเอกสารที่สงวนไว้สำหรับการใช้งานเพื่อการศึกษาเท่านั้น ไม่อนุญาตให้นำไปใช้ประโยชน์ด้านการค้าไม่ว่ากรณีใดๆ ทั้งสิ้น อีกทั้งห้ามมิให้ดัดแปลงเนื้อหา และต้องอ้างอิงถึงเจ้าของเอกสารทุกครั้งที่มีการนำไปใช้

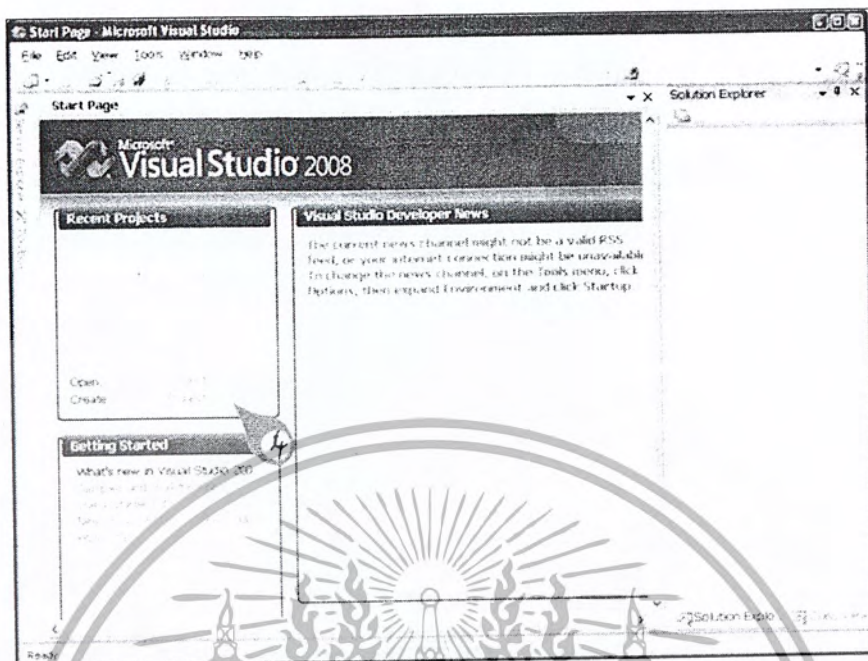


รูปที่ 2.32 ตัวอย่างการเริ่มต้นใช้งานโปรแกรม Visual Studio 2008

2.10.14 จะปรากฏหน้าต่าง Start Page ของ Visual Studio 2008 คลิกลิงก์

Creat Project เพื่อสร้างโปรเจกต์ใหม่

เอกสารนี้เป็นเอกสารที่สงวนไว้สำหรับการใช้งานเพื่อการศึกษาเท่านั้น ไม่อนุญาตให้นำไปใช้ประโยชน์ด้านการค้า ไม่ว่ากรณีใดๆ ทั้งสิ้น อีกทั้งห้ามมิให้ดัดแปลงเนื้อหา และต้องอ้างอิงถึงเจ้าของเอกสารทุกครั้งที่มีการนำไปใช้

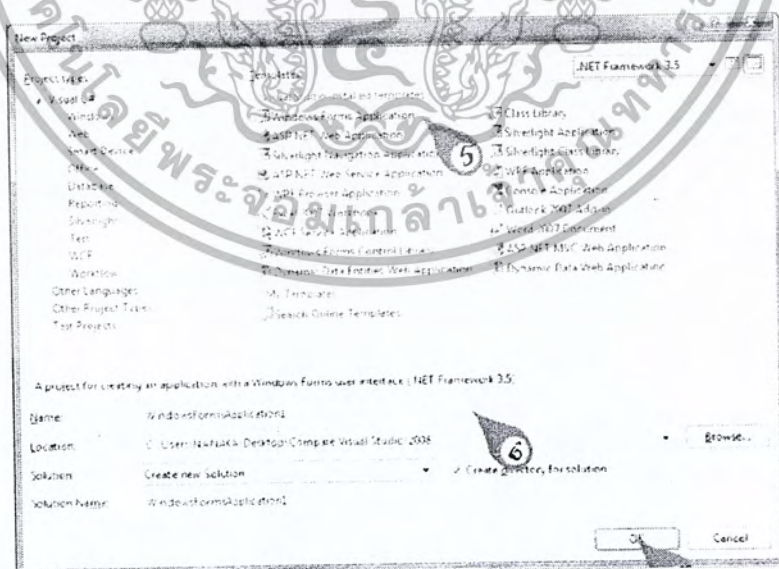


รูปที่ 2.33 ตัวอย่างการสร้างโปรเจกต์ใหม่ของโปรแกรม Visual Studio 2008(2)

2.10.1.5 คลิกไอคอน  Windows Forms Application

2.10.1.6 ตั้งชื่อ Project ซึ่งก็คือแอปพลิเคชันที่จะสร้างขึ้น

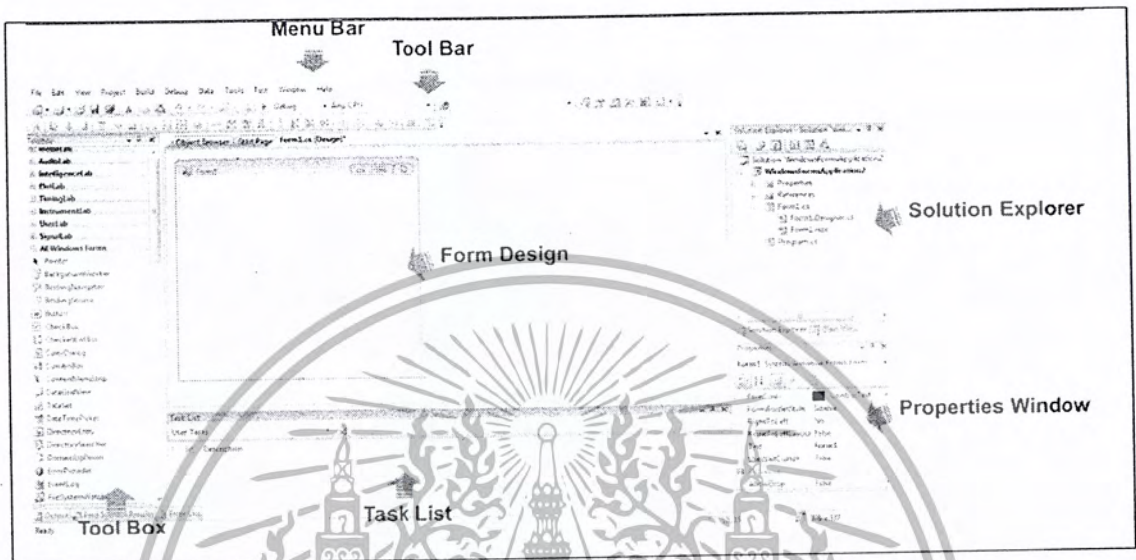
2.10.1.7 คลิกปุ่ม 



รูปที่ 2.34 ตัวอย่างการสร้างโปรเจกต์ใหม่ของโปรแกรม Visual Studio 2008(3)

เอกสารนี้เป็นเอกสารที่สงวนไว้สำหรับการใช้งานเพื่อการศึกษาเท่านั้น ไม่อนุญาตให้นำไปใช้ประโยชน์ด้านการค้า ไม่ว่ากรณีใดๆ ทั้งสิ้น อีกทั้งห้ามมิให้ตัดแปลงเนื้อหา และต้องอ้างอิงถึงเจ้าของเอกสารทุกครั้งที่มีการนำไปใช้

2.10.1.8 จากนั้นจะพบกับหน้าจอหลักของ Visual Studio 2008 หรือที่เรียกว่า IDE (ย่อมาจาก Integrated Development Environment) ซึ่งประกอบด้วยส่วนต่างๆดังนี้



รูปที่ 2.35 ตัวอย่างหน้าจอหลักของโปรแกรม Visual Studio 2008(4)

2.10.2 เครื่องมือต่างๆภายในหน้าจอหลักของโปรแกรม

2.10.2.1 เมนูบาร์ (Menu Bar)

เมนูบาร์เป็นเมนูหลักที่รวบรวมคำสั่งควบคุมการทำงานของ Visual Studio 2008 โดยจัดเป็นกลุ่มคำสั่งแยกตามประเภทการใช้งาน สามารถเรียกใช้ได้โดยการใช้เมาส์คลิกจากเมนูหรือใช้คีย์ลัดจากคีย์บอร์ดก็ได้ มีกลุ่มคำสั่งเรียกใช้งานดังนี้

File Edit View Project Build Debug Data Tools Test Window Help

รูปที่ 2.36 เมนูบาร์ (Menu Bar)

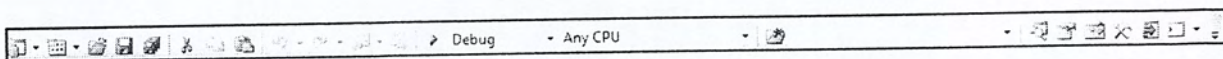
เอกสารนี้เป็นเอกสารที่สงวนไว้สำหรับการใช้งานเพื่อการศึกษาเท่านั้น ไม่อนุญาตให้นำไปใช้ประโยชน์ด้านการค้าไม่ว่ากรณีใดๆ ทั้งสิ้น อีกทั้งห้ามมิให้ตัดแปลงเนื้อหา และต้องอ้างอิงถึงเจ้าของเอกสารทุกครั้งที่มีการนำไปใช้

- 1) File กลุ่มคำสั่งเกี่ยวกับการสร้างโปรเจกต์ใหม่ เปิดโปรเจกต์ บันทึกโปรเจกต์
- 2) Edit กลุ่มคำสั่งที่ช่วยสร้างและแก้ไขการทำงานของโปรเจกต์ให้ง่ายขึ้น เช่น Copy, Paste และ Undo เป็นต้น
- 3) View กลุ่มคำสั่งเกี่ยวกับการแสดงผลหน้าต่าง IDE ของ Visual Studio 2008
- 4) Project กลุ่มคำสั่งเกี่ยวกับการจัดการโปรเจกต์ เช่น การเพิ่ม Form และ Reference เป็นต้น

- 5) Build กลุ่มคำสั่งเกี่ยวกับการคอมไพล์โปรเจกต์
- 6) Debug กลุ่มคำสั่งเกี่ยวกับการหาข้อผิดพลาดของโปรเจกต์
- 7) Data กลุ่มคำสั่งเกี่ยวกับการติดต่อกับฐานข้อมูล
- 8) Format กลุ่มคำสั่งเกี่ยวกับการออกแบบ Form
- 9) Tools กลุ่มคำสั่งเรียกเครื่องมือต่างๆ
- 10) Test กลุ่มคำสั่งเกี่ยวกับการทดสอบการทำงานของโปรแกรม
- 11) Analyze กลุ่มคำสั่งเกี่ยวกับการวัดประสิทธิภาพของโปรแกรม
- 12) Window กลุ่มคำสั่งเกี่ยวกับการจัดการรูปแบบการแสดงผล IDE ของ Visual Studio 2008
- 13) Help คำสั่งให้ความช่วยเหลือของ Visual Studio 2008

2.10.2.2 ทูลบาร์ (Toolbar)

ทูลบาร์เป็นเครื่องมือที่ช่วยให้เรียกใช้งานคำสั่งในเมนูบาร์บางคำสั่งที่ใช้งานบ่อยครั้งได้สะดวกขึ้น



รูปที่ 2.37 ทูลบาร์ (Tool Bar)

เอกสารนี้เป็นเอกสารที่สงวนไว้สำหรับการใช้งานเพื่อการศึกษาเท่านั้น ไม่อนุญาตให้นำไปใช้ประโยชน์ด้านการค้า ไม่ว่ากรณีใดๆ ทั้งสิ้น อีกทั้งห้ามมิให้ดัดแปลงเนื้อหา และต้องอ้างอิงถึงเจ้าของเอกสารทุกครั้งที่มีการนำไปใช้

2.10.2.3 หน้าต่าง Toolbox

Toolbox เป็นหน้าต่างที่แสดงคอนโทรลและคอมโพเนนต์ต่างๆ เพื่อให้สะดวกในการสร้างแอปพลิเคชัน ซึ่งมีการจัดแบ่งคอนโทรลและคอมโพเนนต์ต่างๆ ออกเป็นกลุ่มตามลักษณะการใช้งาน

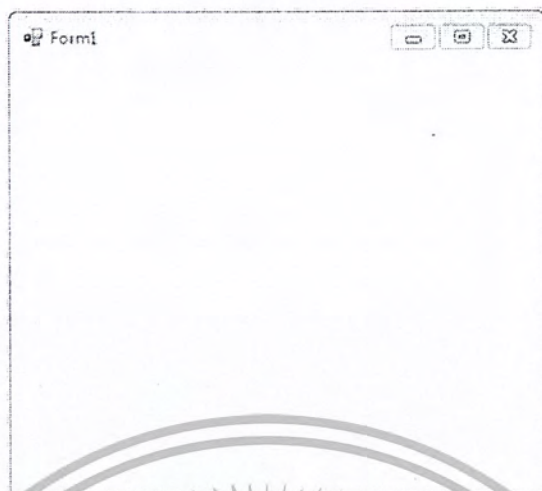


รูปที่ 2.38 หน้าต่าง Toolbox

2.10.2.4 หน้าต่าง Form Designer

Form Designer เป็นหน้าต่างที่ใช้สำหรับการออกแบบหน้าตาของแอปพลิเคชัน โดยลากคอนโทรลต่างๆ จาก Toolbox Window มาวางบน Form ตามต้องการ Visual Studio 2008 จะสร้างโค้ดการออกแบบให้โดยอัตโนมัติเป็นความสามารถของ Visual Studio 2008 ที่ช่วยให้เราพัฒนาแอปพลิเคชันได้ง่ายและมีประสิทธิภาพมากขึ้น

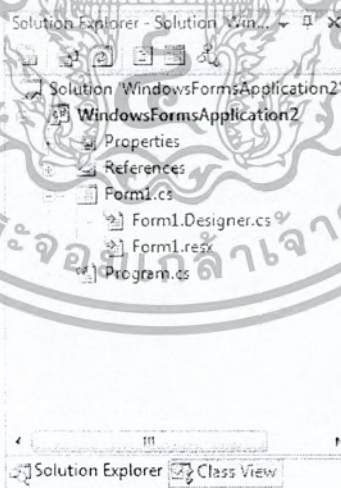
เอกสารนี้เป็นเอกสารที่สงวนไว้สำหรับการใช้งานเพื่อการศึกษาเท่านั้น ไม่อนุญาตให้นำไปใช้ประโยชน์ด้านการค้า ไม่ว่ากรณีใดๆ ทั้งสิ้น อีกทั้งห้ามมิให้ตัดแปลงเนื้อหา และต้องอ้างอิงถึงเจ้าของเอกสารทุกครั้งที่มีการนำไปใช้



รูปที่ 2.39 หน้าต่าง Form Designer

2.10.2.5 Solution Explorer

Solution Explorer เป็นหน้าต่างแสดงรายการของไอเท็ม (item) ที่มีอยู่โปรเจกต์ทั้งหมด เช่น Form Module, Component และ Class เป็นต้น ซึ่งในมุมมองของ Visual Studio นั้นจะมองว่า Solution ก็คือแอปพลิเคชันที่ผู้พัฒนากำลังสร้างขึ้นมา

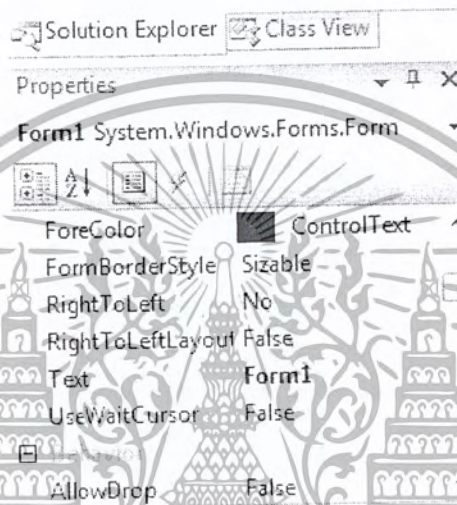


รูปที่ 2.40 หน้าต่าง Solution Explorer

เอกสารนี้เป็นเอกสารที่สงวนไว้สำหรับการใช้งานเพื่อการศึกษาเท่านั้น ไม่อนุญาตให้นำไปใช้ประโยชน์ด้านการค้าไม่ว่ากรณีใดๆ ทั้งสิ้น อีกทั้งห้ามมิให้ดัดแปลงเนื้อหา และต้องอ้างอิงถึงเจ้าของเอกสารทุกครั้งที่มีการนำไปใช้

2.10.2.6 Properties Window

Properties Window เป็นหน้าต่างแสดงและกำหนดคุณสมบัติขององค์ประกอบต่างๆที่จะเห็นเป็นหน้าตาของแอปพลิเคชันนั้นก็หมายถึง การกำหนดค่าให้กับคอนโทรลและออบเจกต์ เช่น กำหนดชื่อ, สี และ ขนาด เป็นต้น (นอกจากจะกำหนดผ่านหน้าต่างนี้เรายังกำหนดผ่านการเขียนคำสั่งใน C# ได้ด้วย)



รูปที่ 2.41 หน้าต่าง Properties Window

2.10.2.7 หน้าต่าง Task List

Task List เป็นหน้าต่างแสดงคำอธิบายต่างๆหรือเป็นคำแนะนำที่เป็นประโยชน์เกี่ยวกับการสร้างแอปพลิเคชันในแต่ละขั้นตอน อาจจะแสดงตำแหน่งของข้อผิดพลาดที่เกิดขึ้น รวมทั้งอนุญาตให้เราเขียนโน้ต/บันทึกสั้นๆ ไว้เตือนความจำได้ด้วย



รูปที่ 2.42 หน้าต่าง Task List

เอกสารนี้เป็นเอกสารที่สงวนไว้สำหรับการใช้งานเพื่อการศึกษาเท่านั้น ไม่อนุญาตให้นำไปใช้ประโยชน์ด้านการค้าไม่ว่ากรณีใดๆ ทั้งสิ้น อีกทั้งห้ามมิให้ดัดแปลงเนื้อหา และต้องอ้างอิงถึงเจ้าของเอกสารทุกครั้งที่มีการนำไปใช้

2.11 โปรแกรม Processing

Processing เป็นโปรแกรมที่เปิดให้ดาวน์โหลดได้ฟรีสำหรับผู้สนใจทุกคนที่ต้องการจะสร้างโปรแกรม โดยใช้ภาษาจาวาและยังถูกพัฒนาขึ้นมาสำหรับผู้ที่ต้องการสร้างหรือตกแต่งรูปภาพ ภาพเคลื่อนไหว อีกด้วยในตอนแรกนั้นโปรแกรม Processing ได้ถูกพัฒนาขึ้นมาสำหรับการให้บริการเกี่ยวกับการสร้างซอฟต์แวร์ และไว้สำหรับผู้เริ่มต้นเพื่อฝึกหัดการเขียนโปรแกรมเบื้องต้นในรูปแบบของ Visual Context Processing ต่อมาตัวโปรแกรมยังพัฒนาฟังก์ชันต่างๆ เพื่อสร้างและประมวลผล สำหรับงานของมืออาชีพ ในตอนนี้ก็ว่าหมื่นคนของนักเรียน นักศึกษา ศิลปิน นักออกแบบ นักค้นคว้า ได้หันมาใช้ Processing ในการศึกษาค้นคว้าและสร้างผลิตภัณฑ์ที่เป็นซอฟต์แวร์ รูปภาพ ภาพเคลื่อนไหว เสียงโดยโปรแกรม Processing สามารถดาวน์โหลดได้ที่ <http://www.processing.org/download> โดยโปรแกรมและหนังสือ “A Programming Handbook for Visual Designers and Artists” ของ Casey Reas และ Ben Fry แสดงได้ดังรูปที่ 2.43



รูปที่ 2.43 โปรแกรม Processing และหนังสือ “A Programming Handbook for Visual Designers and Artists” [11]

เอกสารนี้เป็นเอกสารที่สงวนไว้สำหรับการใช้งานเพื่อการศึกษาเท่านั้น ไม่อนุญาตให้นำไปใช้ประโยชน์ด้านการค้า ไม่ว่ากรณีใดๆ ทั้งสิ้น อีกทั้งห้ามมิให้ตัดแปลงเนื้อหา และต้องอ้างอิงถึงเจ้าของเอกสารทุกครั้งที่มีการนำไปใช้

2.11.1 คุณสมบัติของโปรแกรม Processing

2.11.1.1 Processing เปิดให้ดาวน์โหลดได้โดยไม่เสียค่าใช้จ่ายและเปิดให้
ผู้ใช้งานพัฒนาโปรแกรมได้ (Open Source)

2.11.1.2 Processing สามารถใช้งานร่วมกับภาพ 2 มิติ 3 มิติ และไฟล์ PDF

2.11.1.3 ใช้งานได้บน OS GNU/Linux, Mac OS X, and Windows

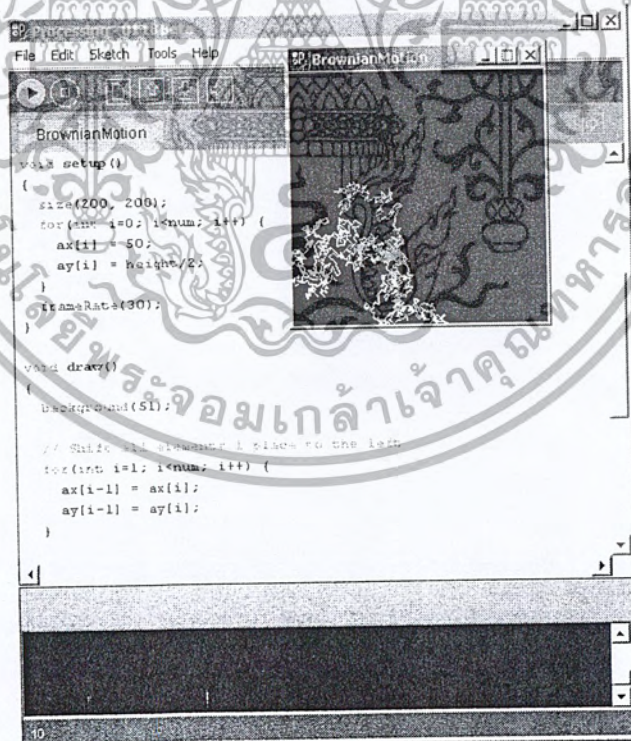
2.11.1.4 มีมากกว่า 100 Libraries Software ที่ใช้สำหรับโปรแกรมเสียง

วิดีโอ และอื่นๆ

2.11.2 หน้าต่างโปรแกรม Processing และคำสั่งบนโปรแกรม

หน้าต่าง โปรแกรม Processing และคำสั่งบน โปรแกรมแสดงได้ดังรูปที่

2.44



รูปที่ 2.44 หน้าต่างโปรแกรม Processing [11]

เอกสารนี้เป็นเอกสารที่สงวนไว้สำหรับการใช้งานเพื่อการศึกษาเท่านั้น ไม่อนุญาตให้นำไปใช้ประโยชน์ด้านการค้า
ไม่ว่ากรณีใดๆ ทั้งสิ้น อีกทั้งห้ามมิให้ตัดแปลงเนื้อหา และต้องอ้างอิงถึงเจ้าของเอกสารทุกครั้งที่มีการนำไปใช้

คำสั่งของ โปรแกรม Processing

- 1) Run คอมไพล์โค้ดที่เราเขียนขึ้น และ ประมวลผล
- 2) Stop หยุดการทำงานของคำสั่ง Run
- 3) New สร้างหน้าต่างคำสั่งเปล่าขึ้นมาใหม่
- 4) Open เป็นคำสั่งที่ใช้ในการเรียกดูไฟล์จากเครื่องคอมพิวเตอร์
- 5) Save เป็นคำสั่งที่ใช้ในการบันทึกไฟล์ลงในเครื่องคอมพิวเตอร์
- 6) Export เป็นการบันทึกไฟล์งานในรูปแบบนามสกุลอื่นๆ เพื่อประโยชน์

ในการใช้งานร่วมกับโปรแกรมอื่นๆ

2.11.3 คำสั่ง Toolbar ของโปรแกรม Processing

2.11.3.1 File หมวดจัดการไฟล์งาน ประกอบด้วยคำสั่ง

- 1) New (Ctrl+N) สร้างหน้าต่างคำสั่งเปล่าขึ้นมาใหม่
- 2) Open (Ctrl+O) เปิดไฟล์งานที่save ไว้ขึ้นมา
- 3) Sketchbook เรียกดูไฟล์Sketch จาก Sketchbook folder
- 4) Examples เรียกดูไฟล์โปรแกรมตัวอย่างของ Processing
- 5) Close (Ctrl+W) ปิดการทำงานของโปรแกรมที่เขียนอยู่
- 6) Save (Ctrl+S) บันทึกไฟล์ที่ใช้งานอยู่
- 7) Save as.. (Ctrl+Shift+S) บันทึกไฟล์ใหม่
- 8) Export (Ctrl+E) บันทึกไฟล์เป็นนามสกุลอื่นเพื่อใช้งาน ร ่วม กั น

โปรแกรมที่เกี่ยวข้อง

- 9) Export Application (Ctrl+Shift+E) บันทึกไฟล์เป็นแอปพลิเคชันจาวา

พร้อมใช้งาน

- 10) Page Setup (Ctrl+Shift+P) ยังใช้งานไม่ได้ในตอนี้
- 11) Print (Ctrl+P) ยังใช้งานไม่ได้ในตอนี้
- 12) Preferences (Ctrl+,) ปรับค่าการทำงานของโปรแกรม Processing
- 13) Quit (Ctrl+Q) ออกจากโปรแกรมProcessing

เอกสารนี้เป็นเอกสารที่สงวนไว้สำหรับการใช้งานเพื่อการศึกษาเท่านั้น ไม่อนุญาตให้นำไปใช้ประโยชน์ด้านการค้า ไม่ว่ากรณีใดๆ ทั้งสิ้น อีกทั้งห้ามมิให้ดัดแปลงเนื้อหา และต้องอ้างอิงถึงเจ้าของเอกสารทุกครั้งที่มีการนำไปใช้

2.11.3.2 Edit หมวดแก้ไขข้อความที่กำลังเขียนลงในโปรแกรม

- 1) Undo (Ctrl+Z) กลับไปยังคำสั่งหรือการทำงานก่อนหน้า
 - 2) Redo (Ctrl+Y) ยกเลิกคำสั่ง Undo
 - 3) Cut (Ctrl+X) ลบข้อความคำสั่งที่คัดลอกไว้
 - 4) Copy (Ctrl+C) คัดลอกคำสั่งหรือข้อความต่างๆ
 - 5) Copy for Discourse (Shift+Ctrl+C) คัดลอกด้วยฟังก์ชัน Discourse
- กรุณาอ่านรายละเอียดเพิ่มเติมที่เว็บไซต์

- 6) Paste (Ctrl+V) วางข้อความที่คัดลอกไว้ลงบนโปรแกรม Processing
- 7) Select All (Ctrl+A) เลือกข้อความหรือคำสั่งเนื้อหาทั้งหมดที่พิมพ์หรือเขียนไว้บนโปรแกรม Processing

- 8) Comment/Uncomment (Ctrl+/) โน้ตข้อความเพิ่มเติมหรือยกเลิก
- 9) Increase Indent (Ctrl+]) เพิ่มพื้นที่เขียนโปรแกรม
- Decrease Indent (Ctrl+[) ลดพื้นที่เขียนโปรแกรม
- 10) Find (Ctrl+F) หารหัสอักขรหรือประโยคบนหน้าต่างคำสั่ง
- 11) Find Next (Ctrl+G) ค้นหาถัดไป

2.11.3.3 Sketch เป็นคำสั่งเริ่มการทำงานและหยุดการทำงานรวมถึงการเพิ่มมีเดียไฟล์และไลบรารีของไฟล์

- 1) Run (Ctrl+R) Compile หรือ RUN เริ่มต้นการทำงานของคำสั่งโปรแกรม Processing
- 2) Present (Ctrl+Shift+R) แสดงผลที่เกิดขึ้นจากคำสั่งของโปรแกรม
- 3) Stop หยุดการทำงานของคำสั่ง RUN
- 4) Import Library เพิ่ม libraries ลงในหน้าคำสั่ง
- 5) Show Sketch Folder เปิดโฟลเดอร์ล่าสุดที่ทำการ Sketch
- 6) Add File เพิ่มหรือดึงไฟล์ลงในหน้าต่างคำสั่ง

2.11.3.4 Tools เครื่องมือจัดการฟอนต์และรูปแบบต่างๆ

1) Auto Format (Ctrl-T) เป็นตัวจัดการปรับฟอนต์บนหน้าต่างคำสั่งของเราให้เป็นแบบปกติ

2) Create Font... เปลี่ยนฟอนต์เป็นแบบของ Processing เพื่อประยุกต์การใช้งาน กรุณาอ่านรายละเอียดเพิ่มเติมที่เว็บไซต์

3) Color Selector ปรับสี

4) Archive Sketch แปลงไฟล์ Sketch ให้เป็น.zip

5) Fix Encoding and Reload เปลี่ยนรูปแบบการเข้ารหัสกรุณาอ่านรายละเอียดเพิ่มเติมที่เว็บไซต์

2.10.3.5 Help การสอนการใช้งานของโปรแกรม

1) Getting Started เปิดแหล่งข้อมูลที่มาของโปรแกรมProcessing

2) Troubleshooting เปิดตัวช่วยแก้ปัญหาต่างๆของโปรแกรมProcessing

3) Reference เปิดข้อมูลหรือแหล่งที่มาต่างๆของโปรแกรม

4) Find in Reference (Ctrl+Shift+F) ค้นหาข้อมูลต่างๆเกี่ยวกับโปรแกรม

5) Frequently Asked Questions ตอบคำถามพื้นฐานที่พบบ่อยๆ

6) Visit Processing.org (Ctrl+5) เข้าไปสู่เว็บไซต์ของโปรแกรม

Processing

7) About Processing ศึกษาคู่มือเนื้อหาคร่าวๆเกี่ยวกับโปรแกรม

Processing

บทที่ 3

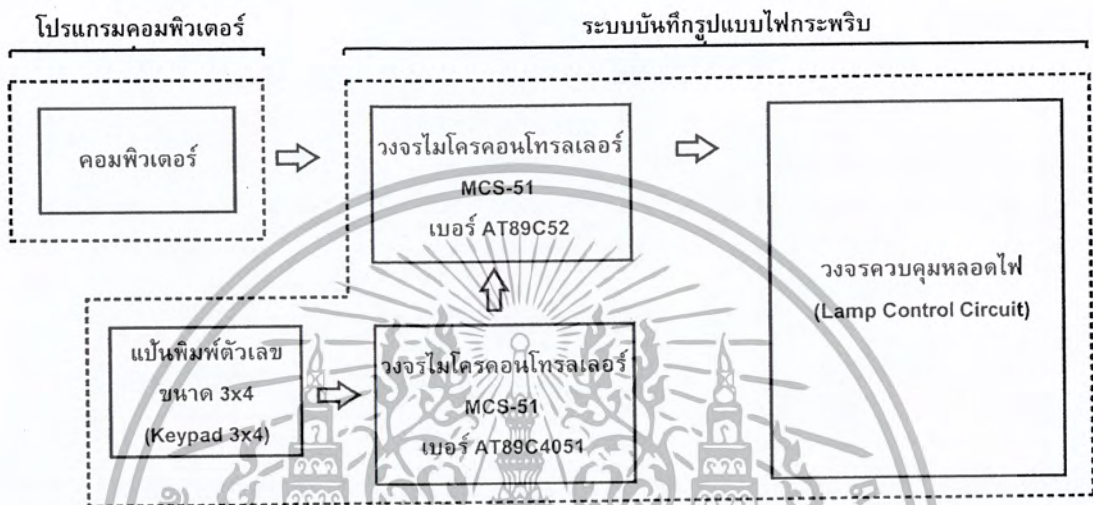
การออกแบบและการจัดทำปฏิญญาพันธ

การออกแบบระบบการทำงานของระบบไฟสถานบันเทิงแบบอัตโนมัติตามจังหวะเสียงดนตรี มีหลักการทำงานโดยรวมของระบบสองส่วนที่สำคัญคือ ในส่วนแรกจะเป็นการเขียนโปรแกรมบนคอมพิวเตอร์เพื่อตรวจจับบิตที่เกิดขึ้นจากเพลงต่างๆที่เล่นผ่านโปรแกรมที่สร้างขึ้นบนโปรแกรมจะมีโหมดการทำงานสามโหมดคือ สั่งการให้หลอดไฟกระพริบตามจังหวะเสียงเพลง (Beat Detection Mode), สุ่มเลือกรูปแบบการกระพริบตามระดับความเร็วของเพลง (Random Mode) และการกระพริบตามรูปแบบสำเร็จรูป (Manual Mode) จากนั้นคอมพิวเตอร์จะส่งข้อมูลไปสั่งการให้ระบบบันทึกรูปแบบการกระพริบของหลอดไฟซึ่งประกอบด้วยไมโครคอนโทรลเลอร์ทำการสั่งการให้หลอดไฟกระพริบตามโหมดที่เลือกโดยการเชื่อมต่อด้วยการส่งข้อมูลแบบอนุกรมตามมาตรฐาน RS-232

ส่วนที่สองจะเป็นระบบบันทึกรูปแบบการกระพริบของหลอดไฟจะเกี่ยวข้องกับ การเขียนโปรแกรมสั่งงานไมโครคอนโทรลเลอร์ให้บันทึกรูปแบบการกระพริบของหลอดไฟและ ส่งสัญญาณไปควบคุมวงจรควบคุมหลอดไฟให้กระพริบตามรูปแบบที่กำหนดโดยจะมีโหมดการทำงานที่สามารถเลือกรูปแบบการกระพริบของหลอดไฟ โดยควบคุมการทำงานด้วยคีย์แพด

3.1 การออกแบบ

การออกแบบระบบทั้งหมดสามารถแสดงเป็นบล็อกไดอะแกรม ได้ดังนี้



รูปที่ 3.1 บล็อก ไดอะแกรมระบบไฟสถานะบันทึกแบบอัตโนมัติตามจังหวะเสียงดนตรี

จากรูปที่ 3.1 ประกอบด้วยการทำงานหลักๆ 2 ส่วนได้แก่ การเขียนโปรแกรมบนคอมพิวเตอร์ในรูปแบบของโปรแกรมตรวจจับบีตด้วยภาษาจาวาโดยใช้โปรแกรม Processing และการเขียนแอปพลิเคชันบนคอมพิวเตอร์ในรูปแบบของโปรแกรมเล่นเพลงด้วยภาษา C# ด้วยโปรแกรม Visual Studio 2008 ซึ่งมีโหมดการควบคุมการกระพริบของหลอดไฟให้เรียกใช้งานประกอบด้วยสามโหมดคือ กระพริบตามจังหวะเสียงเพลง (Beat Detection Mode), สุ่มเลือกการกระพริบตามระดับความเร็วของเพลง (Select Mode), การกระพริบตามรูปแบบสำเร็จรูป (Manual Mode)

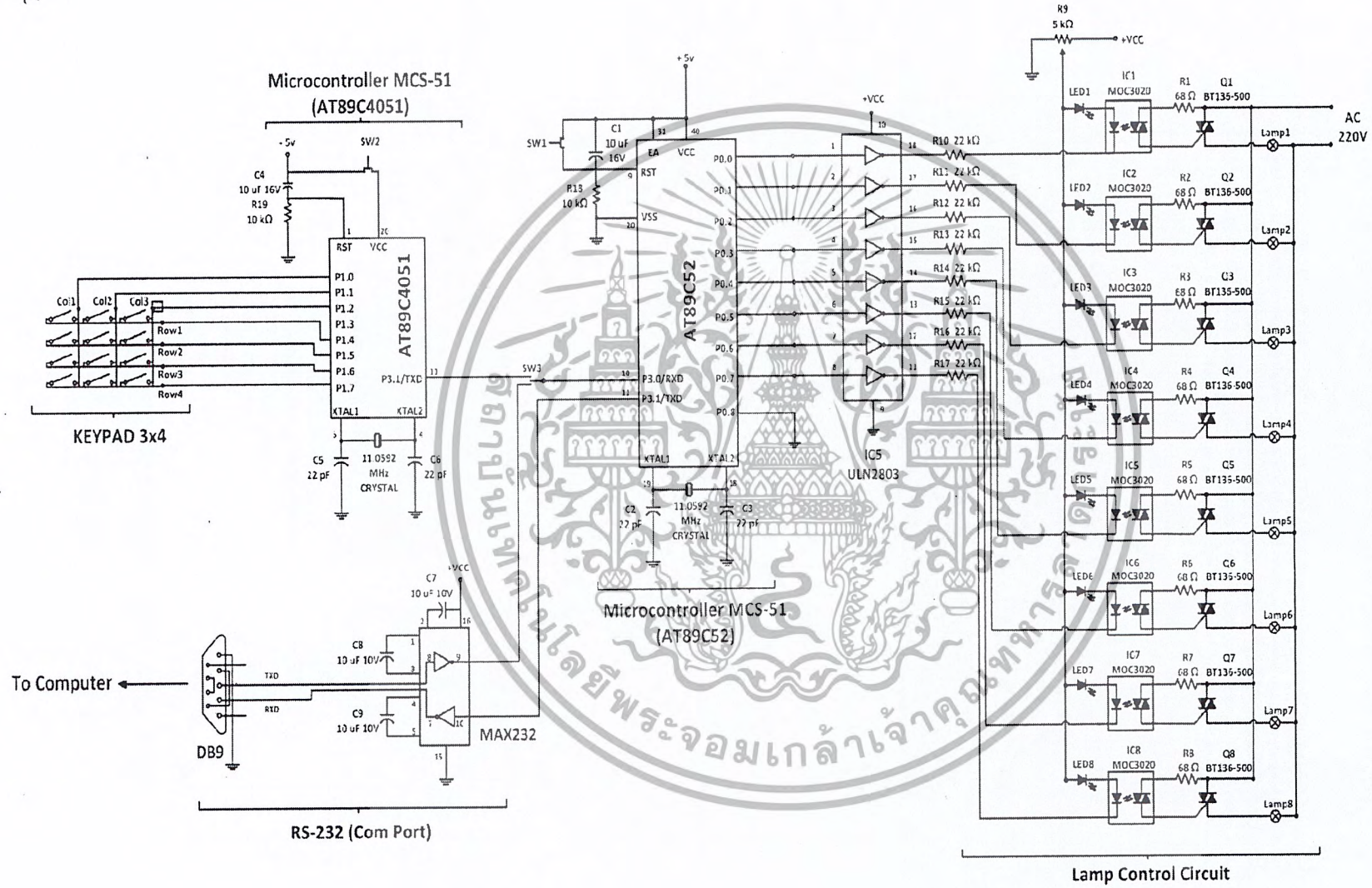
อีกส่วนหนึ่งคือส่วนบันทึกรูปแบบการกระพริบของหลอดไฟซึ่งเกี่ยวข้องกับการเขียนโปรแกรมสั่งงานไมโครคอนโทรลเลอร์เพื่อบันทึกรูปแบบการกระพริบของหลอดไฟให้กระพริบตามรูปแบบที่กำหนด บล็อกไดอะแกรมในส่วนนี้ประกอบด้วย 4 ส่วนหลัก ได้แก่ วงจรมicroคอนโทรลเลอร์ MCS-51 เบอร์ AT89C52, วงจรมicroคอนโทรลเลอร์ MCS-51 เบอร์

AT89C4051, คีย์แพดขนาด 3x4 (Keypad 3x4), วงจรควบคุมหลอดไฟ (Lamp Control Circuit) และวงจรมาตรฐาน RS-232 ซึ่งจะกล่าวเพิ่มเติมต่อไป

3.1.1 การออกแบบระบบบันทึกรูปแบบไฟกระพริบ

การออกแบบทางด้านระบบบันทึกรูปแบบไฟกระพริบเกี่ยวข้องกับทั้งในส่วนของ การออกแบบวงจรและการเขียนโปรแกรมสั่งงานไมโครคอนโทรลเลอร์เพื่อบันทึกรูปแบบการ กระพริบของหลอดไฟให้กระพริบตามรูปแบบที่กำหนด วงจรในส่วนนี้ แสดงได้ดังรูปที่ 3.2



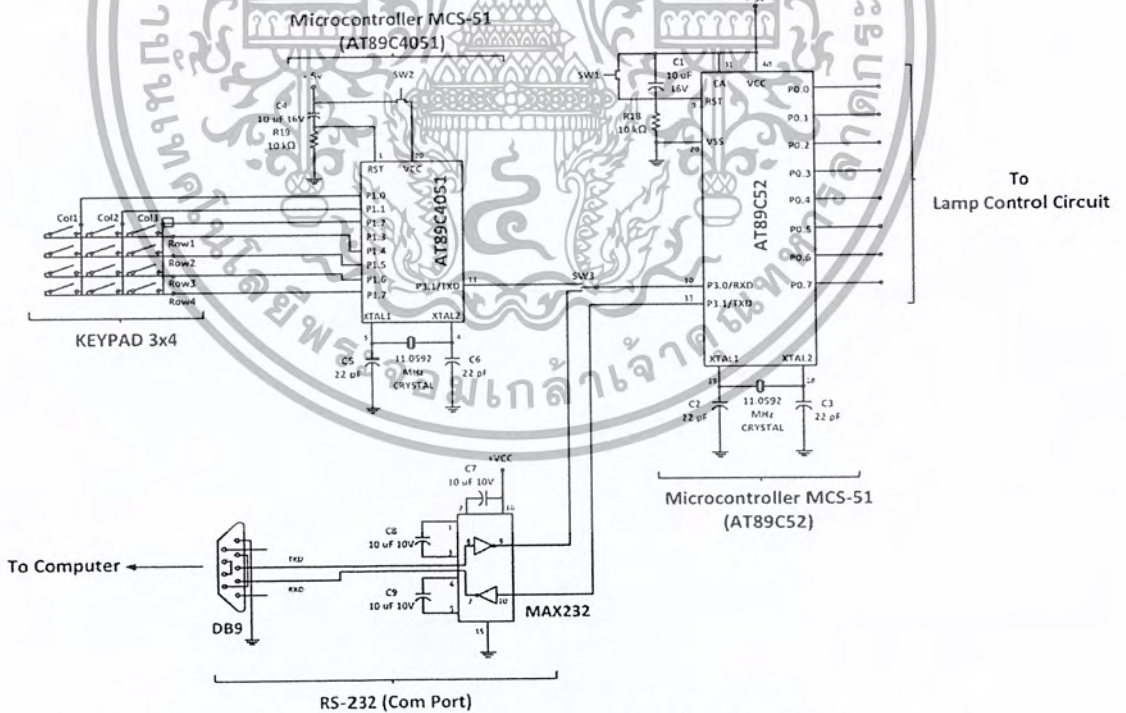


รูปที่ 3.2 วงจรควบคุมระบบไฟสถานะเป็นเชิงแบบอัตโนมัติตามจังหวะเสียงดนตรี

จากรูปที่ 3.2 วงจรประกอบด้วย 5 ส่วน ได้แก่ คีย์แพดขนาด 3x4 (Keypad 3x4) , วงจรไมโครคอนโทรลเลอร์ MCS-51 เบอร์ AT89C52, วงจรควบคุมหลอดไฟ (Lamp Control Circuit) และวงจรมาตรฐานการเชื่อมต่อ RS-232

หากพิจารณาจากรูปที่ 3.2 จะเห็นว่าไมโครคอนโทรลเลอร์ (AT89C52) ไมโครคอนโทรลเลอร์ (AT89C4051) และ วงจรมาตรฐานการเชื่อมต่อ RS-232 จะเชื่อมถึงกันอยู่ด้วยสวิทช์ (SW3) จึงจะขออธิบายในส่วนที่เชื่อมต่อกันก่อนได้แก่ คีย์แพดขนาด 3x4 (Keypad 3x4) วงจรไมโครคอนโทรลเลอร์ MCS-51 (AT89C52) , วงจรไมโครคอนโทรลเลอร์ MCS-51 (AT89C4051) และ วงจรมาตรฐานการเชื่อมต่อ RS-232 หลังจากนั้นจะอธิบายในส่วนของวงจรควบคุมหลอดไฟต่อไป

3.1.1.1 การออกแบบการเชื่อมต่อระหว่างไมโครคอนโทรลเลอร์ (AT89C51,AT89C4051), คีย์แพด และ วงจรมาตรฐาน RS-232



รูปที่ 3.3 การเชื่อมต่อระหว่างไมโครคอนโทรลเลอร์(AT89C51,AT89C4051), คีย์แพด และ วงจรมาตรฐาน RS-232

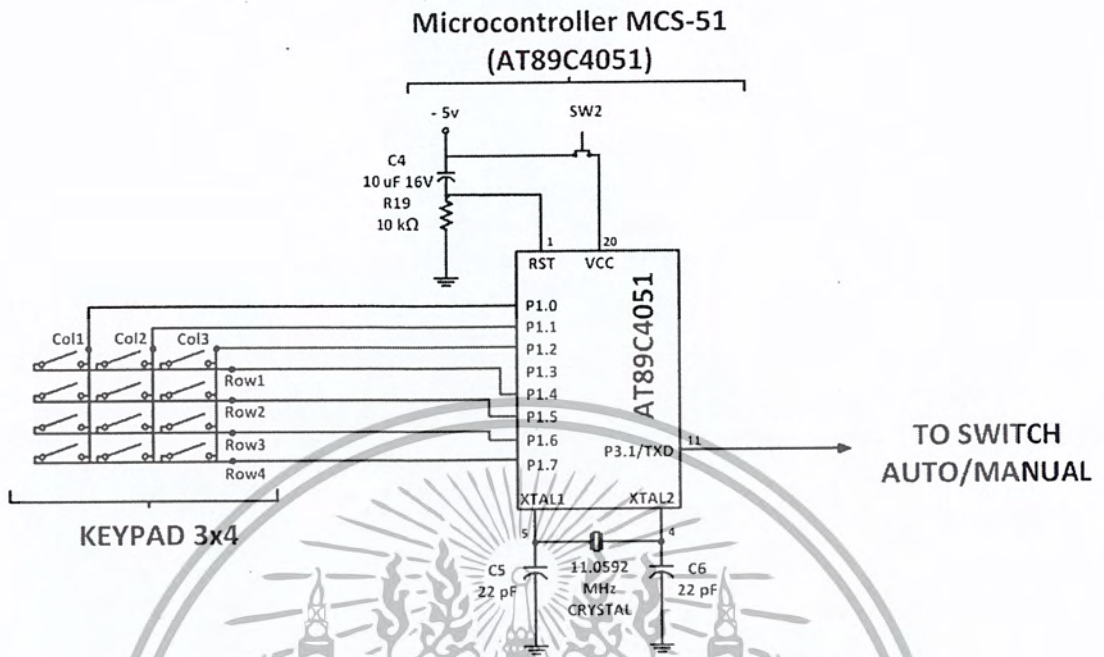
เอกสารนี้เป็นเอกสารที่สงวนไว้สำหรับการใช้งานเพื่อการศึกษาเท่านั้น ไม่อนุญาตให้นำไปใช้ประโยชน์ด้านการค้า ไม่ว่ากรณีใดๆ ทั้งสิ้น อีกทั้งห้ามมิให้ตัดแปลงเนื้อหา และต้องอ้างอิงถึงเจ้าของเอกสารทุกครั้งที่มีการนำไปใช้

เมื่อพิจารณารูปที่ 3.3 จะพบว่าการเชื่อมต่อระหว่างไมโครคอนโทรลเลอร์ (AT89C52, AT89C4051), คีย์แพด และ วงจรมาตรฐาน RS-232 เชื่อมต่อเข้าด้วยกันด้วยสวิตช์สองทาง (SW3) โดยคีย์แพดจะถูกเชื่อมต่อเข้ากับไมโครคอนโทรลเลอร์ เบอร์ AT89C4051 เนื่องจากต้องการส่งข้อมูลผ่านพอร์ตสื่อสารอนุกรม (ขา Tx ของ AT89C4051) เพื่อทำการใช้งานการอินเตอร์รัพท์จากพอร์ตอนุกรม ซึ่งจะทำให้การควบคุมรูปแบบไฟกระพริบได้อย่างอิสระเมื่อมีการส่งข้อมูลจากทั้งสองทางเช่นเมื่อมีการเปลี่ยนโหมครับค่าอินพุตจากคีย์แพดหรือจากคอมพิวเตอรื

สำหรับการเชื่อมต่ออีกรูปแบบหนึ่งคือการเชื่อมต่อระหว่างคอมพิวเตอรืผ่านวงจรมารฐาน RS-232 เชื่อมต่อเข้ากับพอร์ต P3.0/RXD ของไมโครคอนโทรลเลอร์ เบอร์ AT89C52 ซึ่งเป็นพอร์ตเดียวกันกับการเชื่อมต่อของไมโครคอนโทรลเลอร์ (AT89C4051) โดยจะรับค่าอินพุตจากคอมพิวเตอรื (ค่าอินพุตที่ใช้ระบุรูปแบบการกระพริบของหลอดไฟที่ได้รับจากการประมวลผลแล้วด้วยคอมพิวเตอรื) เพื่อเลือกรูปแบบการกระพริบของหลอดไฟเช่นเดียวกัน จึงใช้สวิตช์สองทาง (SW3) เพื่อสลับการทำงานของทั้งสองวงจรโดยแยกการทำงานเป็นสองลักษณะและเลือกทำงานอย่างใดอย่างหนึ่งเท่านั้น กล่าวคือ ลักษณะแรกจะเป็นการเลือกรูปแบบการกระพริบของหลอดไฟโดยรับค่าจากคอมพิวเตอรื หรือ ลักษณะที่สองจะเป็นการเลือกรูปแบบการกระพริบด้วยคีย์แพด โดยทั้งสองแบบจะใ้การเชื่อมต่อผ่านพอร์ตอนุกรม (Serial Port) ซึ่งกันและกัน

ในส่วนแรกนี้จะกล่าวถึงการออกแบบการเชื่อมต่อและใช้งานคีย์แพด (คีย์แพด) ขนาด 3x4 เพื่อใช้งานเป็นสวิตช์ให้กับไมโครคอนโทรลเลอร์ (AT89C4051) เพื่อแสดงรูปแบบของรูปแบบไฟกระพริบที่ต่างกัน เนื่องจากคีย์แพดประกอบด้วยสวิตช์จำนวนหลายตัวมาต่อกันเป็นเมทริกซ์ และใช้เทคนิคการถอดรหัสและการเลือกค่าคีย์ใดถูกกดให้ดูคีย์ในแนวที่แถวและคอลัมน์ตรงกัน การออกแบบใช้หลักการง่าย ๆ ว่าเมื่อคีย์ใดถูกกดค่าแถวและคอลัมน์ตรงที่ตรงกับคีย์นั้นจะมีค่าลอจิกเป็น 0 พร้อมกัน

เอกสารนี้เป็นเอกสารที่สงวนไว้สำหรับการใช้งานเพื่อการศึกษาเท่านั้น ไม่อนุญาตให้นำไปใช้ประโยชน์ด้านการค้าไม่ว่ากรณีใดๆ ทั้งสิ้น อีกทั้งห้ามมิให้ดัดแปลงเนื้อหา และต้องอ้างอิงถึงเจ้าของเอกสารทุกครั้งที่มีการนำไปใช้



รูปที่ 3.4 การเชื่อมต่อระหว่างไมโครคอนโทรลเลอร์ (AT89C4051) กับคีย์แพด

พิจารณาจากรูปที่ 3.4 ได้ทำการออกแบบ โดยใช้เทคนิค Keypad Scanning โดยทำการเชื่อมต่อคีย์แพดเข้าที่พอร์ต 1 ของไมโครคอนโทรลเลอร์ดังรูป ทำการเลือกใช้พอร์ต P1.0 - P1.2 ซึ่งก็คือคอลัมน์ 1 ถึง 3 เป็นคีย์สแกนโดยไมโครคอนโทรลเลอร์จะทำการส่งข้อมูล บิต “0” ไปยัง P1.0 - P1.2 ตามลำดับ ในทุกครั้งที่มีการส่งข้อมูลไปยังสายคอลัมน์คีย์แพด ไมโครคอนโทรลเลอร์จะทำการอ่านค่าที่ P1.4 - P1.7 เข้ามาด้วย หากไม่มีการกดคีย์ค่าของ P1.4 - P1.7 ก็จะเป็น “1” ทั้งหมด ถ้าหากมีการกดคีย์ค่าของ P1.4 - P1.7 ก็จะไม่เป็น “1111” อีกต่อไป เป็นการแจ้งให้ทราบว่ามีการกดคีย์แพดแล้วจากนั้นไมโครคอนโทรลเลอร์ก็จะทำการค้นหา ตำแหน่งของคีย์ที่กดความสัมพันธ์ระหว่างคอลัมน์และคีย์ที่ถูกเลือกแสดงได้ดังตารางที่ 3.1 ต่อไปนี้

ตาราง 3.1 ความสัมพันธ์ระหว่างคอลัมน์และคีย์ที่ถูกเลือก

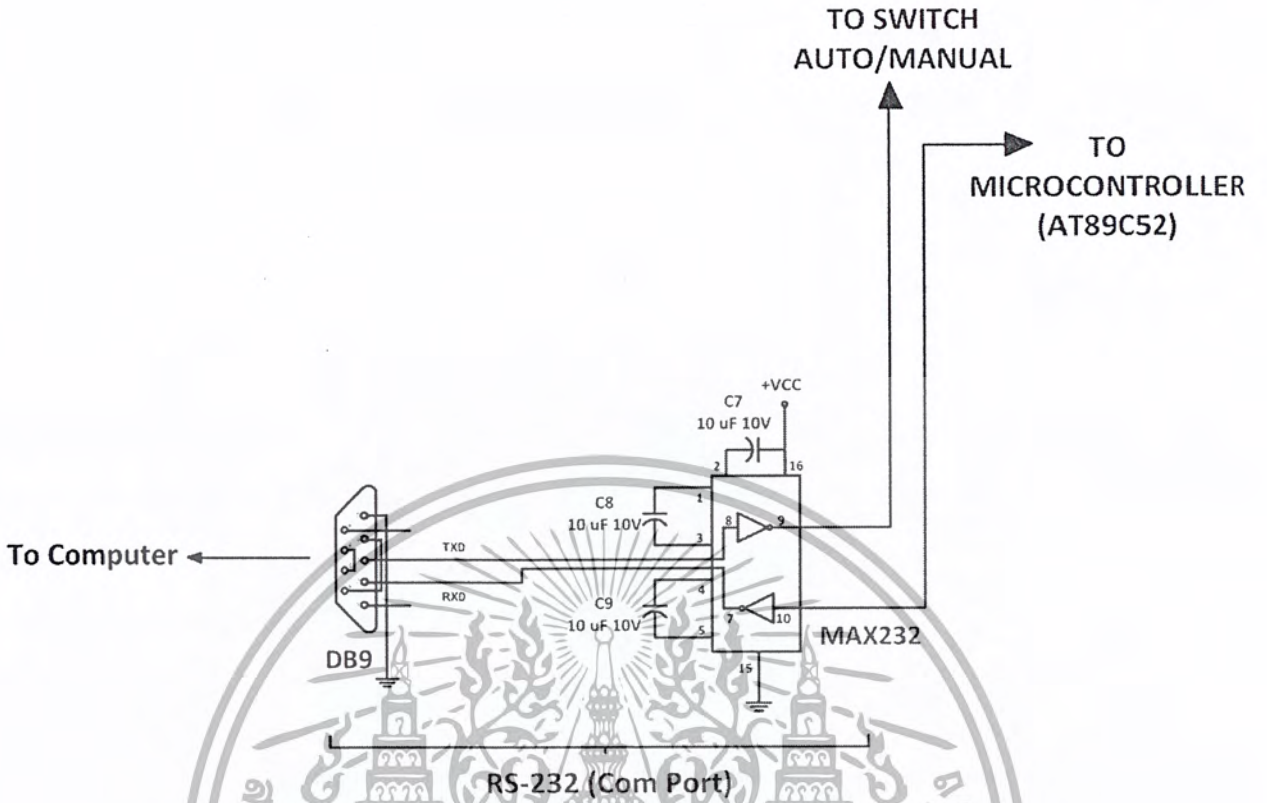
P1.0	P1.1	P1.2	คีย์ที่ถูกเลือก
0	1	1	1, 4, 7 และ *
1	0	1	2, 5, 8 และ 0
1	1	0	3, 6, 9 และ #

จากตารางอธิบายได้ว่าเมื่อคีย์แสดกนใดมีค่าเป็นลอจิก 0 คีย์ที่คาดว่าจะถูกกดจะมีแค่คีย์ที่อยู่ในคอลัมน์เดียวกับคีย์แสดกนเท่านั้น ยกตัวอย่างเช่น ถ้าคีย์แสดกน P1.0 มีค่าเป็นลอจิก 0 คีย์ที่คาดว่าจะถูกกดจะมีเพียงคีย์ 1, 4, 7 และ * เท่านั้น ในปฏิยานุทินพนธ์นี้เลือกใช้คีย์แพดสวิทช์เพียง 6 ปุ่มเท่านั้นคือคีย์ 1-6 ใช้เป็นสวิทช์แสดกรูปแบบของรูปแบบคไฟกระพริบที่ต่างกัน สถานะการทำงานของแต่ละคีย์แสดกนดังตารางที่ 3.2 ต่อไปนี้

คีย์ที่ถูกเลือก	สถานะการทำงานของแต่ละคีย์	พอร์ตที่มีสถานะลอจิกเป็น 0
1		P1.0, P1.4
2		P1.1, P1.4
3		P1.2, P1.4
4		P1.0, P1.5
5		P1.1, P1.5
6		P1.2, P1.5

ต่อมาไมโครคอนโทรลเลอร์ (AT89C4051) จะส่งสัญญาณเป็นค่าอินพุตไปยังสวิทช์สองทาง (SW3) ไปยังไมโครคอนโทรลเลอร์ (AT89C52) เพื่อเลือกรูปแบบการกระพริบของหลอดไฟต่อไป ในส่วนของการรับค่าจากคอมพิวเตอร์นั้นจะอธิบายในส่วนของวงจรมাত্রฐาน RS-232 ที่เชื่อมต่อเข้ากับสวิทช์สองทางก่อนจะเชื่อมต่อไปยังไมโครคอนโทรลเลอร์ (AT89C52) เพื่อเลือกรูปแบบการกระพริบของหลอดไฟ โดยอัตโนมัติสามารถแสดกนได้ดังรูปที่ 3.5

เอกสารนี้เป็นเอกสารที่สงวนไว้สำหรับการใช้งานเพื่อการศึกษาเท่านั้น ไม่อนุญาตให้นำไปใช้ประโยชน์ด้านการค้าไม่ว่ากรณีใดๆ ทั้งสิ้น อีกทั้งห้ามมิให้ดัดแปลงเนื้อหา และต้องอ้างอิงถึงเจ้าของเอกสารทุกครั้งที่มีการนำไปใช้



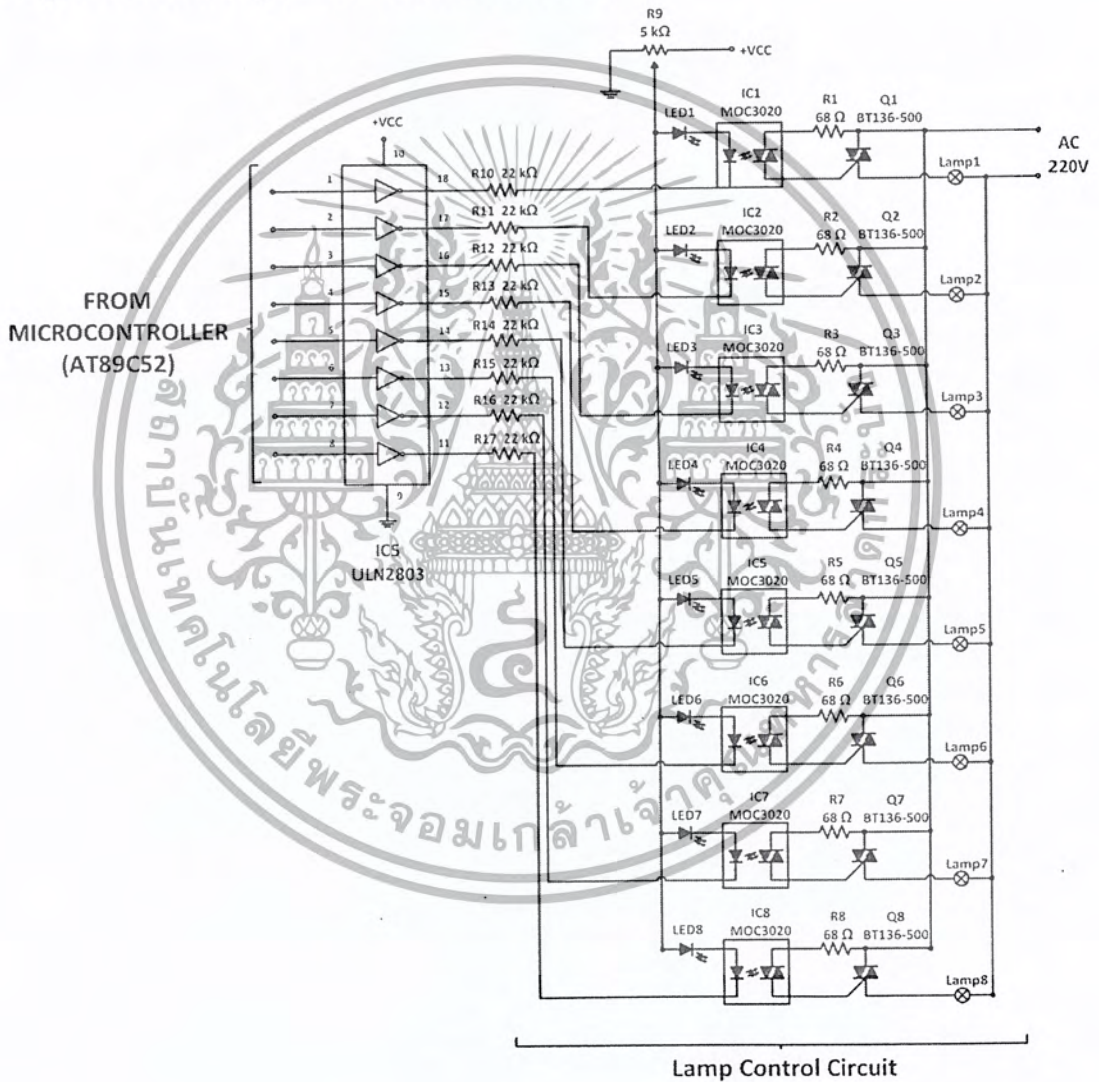
รูปที่ 3.5 การเชื่อมต่อระหว่างวงจรมาตรฐาน RS-232 กับ ไมโครคอนโทรลเลอร์ (AT89C52) และสวิตช์สองทาง

RS-232 ย่อมาจาก Recommended Standard-232 เป็นมาตรฐานการเชื่อมต่อข้อมูลแบบอนุกรม กำหนดโดย EIA (Electronics Industry Association) หรือ สมาคมผู้ประกอบการอุตสาหกรรมอิเล็กทรอนิกส์ของอเมริกา ใช้กับการสื่อสารแบบจุดต่อจุด โดยใช้สายเชื่อมต่อ DB แบบ 25 และ 9 เข็มที่ไม่ประสานกันระหว่างคอมพิวเตอร์กับอุปกรณ์ต่อพ่วง หากพิจารณาจากรูปที่ 3.5 จะพบว่าการเชื่อมต่อดังกล่าวมีไอซี MAX-232 เป็นสำคัญ เมื่อคอมพิวเตอร์ทำการส่งข้อมูลรูปแบบการกระพริบที่ต้องการ ก็จะทำการส่งข้อมูลผ่านพอร์ตอนุกรมผ่านทางสาย DB9 เข้าสู่วงจร MAX-232 และทำการส่งข้อมูลออกทางขา 9 ไปยังสวิตช์สองทางก่อนจะเข้าสู่พอร์ต P3.0/RXD ของไมโครคอนโทรลเลอร์ (AT89C52) เพื่อเลือกรูปแบบการกระพริบของหลอดไฟโดยอัตโนมัติ

เอกสารนี้เป็นเอกสารที่สงวนไว้สำหรับการใช้งานเพื่อการศึกษาเท่านั้น ไม่นอนุญาตให้นำไปใช้ประโยชน์ด้านการค้า ไม่ว่ากรณีใดๆ ทั้งสิ้น อีกทั้งห้ามมิให้ดัดแปลงเนื้อหา และต้องอ้างอิงถึงเจ้าของเอกสารทุกครั้งที่มีการนำไปใช้

3.1.1.2 การออกแบบวงจรควบคุมหลอดไฟ

เป็นส่วนที่ใช้ควบคุมการกระพริบของหลอดไฟ จากวงจรได้กำหนดช่อง
การควบคุมไว้ 4 ช่องควบคุม (ขา 1-4 ของ IC5) ซึ่งแต่ละช่องควบคุมนั้นมีโครงสร้างที่เหมือนกัน
หมด ดังนั้นการอธิบายการทำงานของวงจรจะขอเน้นอธิบายเพียงช่องควบคุมช่องเดียว พิจารณา
จากรูปที่ 3.6 วงจรควบคุมหลอดไฟ ประกอบการอธิบายดังนี้



รูปที่ 3.6 วงจรควบคุมหลอดไฟ (Lamp Control Circuit)

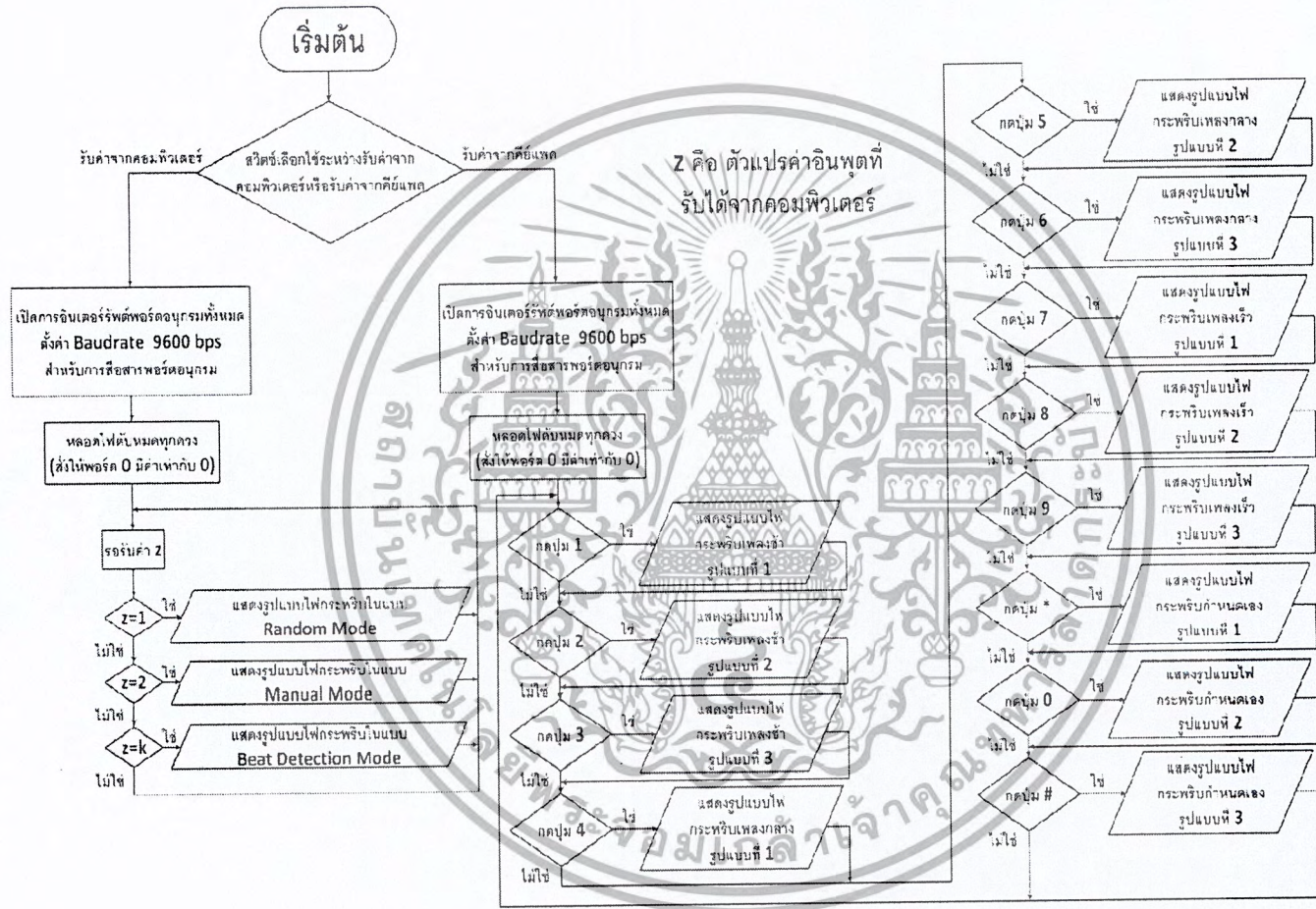
เอกสารนี้เป็นเอกสารที่สงวนไว้สำหรับการใช้งานเพื่อการศึกษาเท่านั้น ไม่อนุญาตให้นำไปใช้ประโยชน์ด้านการค้า
ไม่ว่ากรณีใดๆ ทั้งสิ้น อีกทั้งห้ามมิให้ตัดแปลงเนื้อหา และต้องอ้างอิงถึงเจ้าของเอกสารทุกครั้งที่มีการนำไปใช้

วงจรจะประกอบด้วย IC5 (ULN2803) ซึ่งเป็นไอซีไดรเวอร์ โดยภายในจะบรรจุอินเวอร์เตอร์เกต แบบคอลเล็กเตอร์เปิดจำนวน 8 ตัว โดยสามารถใช้กับแรงดันสูงสุดได้ถึง 50 โวลต์ และให้กระแสเอาต์พุตได้สูงสุดในแต่ละขา 500 mA นอกจากนี้ยังมีไดโอดป้องกันไว้ที่ทุกขาของเอาต์พุต ทำให้สามารถต่อกับโหลดที่เป็นขดลวดได้ โดยจะทำหน้าที่เป็นอินเวอร์เตอร์ควบคุมสัญญาณที่รับมาจากพอร์ต 0 ของไมโครคอนโทรลเลอร์ซึ่งจะอยู่ในลักษณะของสัญญาณระดับลอจิก (“0” หรือ “1”) สัญญาณที่ออกจาก IC5 จะถูกป้อนเข้าที่ขา 2 ของ IC1 (MOC3020) เป็นออปโตไอโซเลเตอร์ภายในประกอบด้วย LED และอุปกรณ์รับแสงแบบโฟโตไดโอด แอ่งจ่ายไฟ 12 V จะต่ออยู่กับ LED1 ซึ่งเป็น LED ขนาด 5mm. เป็นตัวบอกสถานะการทำงานของ LED ภายใน IC1

หากสัญญาณอินพุตที่เข้ามาที่ขา 2 ของ IC1 เป็นสัญญาณลอจิก “1” LED ทางด้านแคโทด ภายใน IC1 จะไม่สว่างซึ่งจะทำให้โฟโตไดโอดไม่สามารถนำกระแสไปกระตุ้นขาเกตของไทรแอก Q1 ได้ จึงไม่มีการขับแรงดันควบคุมหลอดไฟทางเอาต์พุต ในทางกลับกันหากสัญญาณอินพุตที่เข้ามาที่ขา 2 ของ IC1 เป็นสัญญาณลอจิก “0” LED ภายใน IC1 จะสว่างซึ่งจะทำให้โฟโตไดโอดสามารถนำกระแสไปกระตุ้นขาเกตของไทรแอก Q1 ได้ จึงมีการขับแรงดันควบคุมหลอดไฟทางเอาต์พุตได้ นั่นคือเอาต์พุตของไทรแอกทำงานตามสถานะทางอินพุตของ IC1

ข้อควรระวังสำหรับระดับลอจิกที่ป้อนเข้ามายัง LED ภายใน IC1 นั้นจะต้องมีระดับแรงดันไม่เกิน 3 VDC และกระแสสูงสุดไม่เกิน 50 mA หากระดับแรงดันลอจิกอินพุตเกินกว่านี้ควรเพิ่มตัวต้านทานจำกัดกระแสและแรงดันอนุกรมให้กับ LED ภายใน IC1 ด้วย

3.1.2 การเขียนโปรแกรมจัดการไมโครคอนโทรลเลอร์



รูปที่ 3.7 โฟลว์ชาร์ตของโปรแกรม

ในส่วนนี้ใช้ภาษาซีในการเขียนโปรแกรมสั่งงานไมโครคอนโทรลเลอร์ AT89C52 และ AT89C4051 สำหรับรับค่าจากคีย์แพดและสำหรับรับค่าจากคอมพิวเตอร์ ให้ทำการเก็บรูปแบบการกระพริบของหลอดไฟและส่งข้อมูลไปยังวงจรควบคุมหลอดไฟเมื่อมีการกดคีย์แพดหรือได้รับค่าอินพุตจากคอมพิวเตอร์ จากโฟลว์ชาร์ตของโปรแกรม รูปที่ 3.7 รายละเอียดของโปรแกรมหลักสามารถอธิบายได้ดังนี้

เมื่อระบบเริ่มทำงานจะทำการสวิตช์เลือกรับค่าระหว่างรับค่าอินพุตจากคอมพิวเตอร์หรือเลือกรับค่าจากคีย์แพด หากรับค่าอินพุตจากคอมพิวเตอร์ โปรแกรมจะสั่งให้ไมโครคอนโทรลเลอร์ (AT89C52) ทำการเปิดการอินเตอร์รัพต์พอร์ตอนุกรมทั้งหมดและตั้งค่า บอร์ดเรต เท่ากับ 9600 บิตต่อวินาที สำหรับการสื่อสารพอร์ตอนุกรม จากนั้นไมโครคอนโทรลเลอร์จะรอรับค่าอินพุตจากคอมพิวเตอร์ (ค่า z) เมื่อได้รับค่า z ไมโครคอนโทรลเลอร์ก็จะประมวลผลและทำการแสดงรูปแบบการกระพริบของหลอดไฟในโหมด Random Mode , Manual Mode หรือ Beat Detection Mode

แต่ถ้าหากเลือกรับค่าจากคีย์แพด โปรแกรมจะสั่งให้ไมโครคอนโทรลเลอร์ (AT89C4051) ทำการเปิดการอินเตอร์รัพต์พอร์ตอนุกรมทั้งหมดและตั้งค่า บอร์ดเรต เท่ากับ 9600 บิตต่อวินาที สำหรับการสื่อสารพอร์ตอนุกรม จากนั้นจะตั้งค่าพอร์ต P0=0 เพื่อให้ไม่มีการติดของหลอดไฟเมื่อระบบเริ่มทำงานจากนั้นจะทำการเริ่มแอสแกนบิต โดยจะเริ่มแอสแกนทีละคอลัมน์ เริ่มจากระบบจะสั่งให้บิตแอสแกนทุกบิตมีลอจิก 1 และคอลัมน์ 1 มีลอจิก 0 เพื่อทำการแอสแกนเฉพาะในคอลัมน์ 1 ก่อน จากนั้นไมโครคอนโทรลเลอร์จะรอรับค่าจากการกดคีย์แพด หากมีการกดคีย์ใดคีย์หนึ่งในคอลัมน์ 1 ระบบก็จะประมวลผลรูปการกระพริบของหลอดไฟตามค่าคีย์ที่กด เช่น หากมีการกดคีย์ 4 หมายถึงคอลัมน์ 1 และแถวที่ 1 มีค่าลอจิกเป็น 0 ระบบก็จะทำการประมวลผลรูปแบบการกระพริบของหลอดไฟ 4 เมื่อเสร็จสิ้นการประมวลผลระบบจะทำการแอสแกนบิตในคอลัมน์ 1 ต่อไปเรื่อยๆ จนครบทุกบิต จากนั้นระบบจะสั่งให้บิตแอสแกนทุกบิตมีลอจิก 1 และคอลัมน์ 2 มีลอจิก 0 เพื่อทำการแอสแกนบิตในคอลัมน์ที่ 2 และในทำนองเดียวกันเมื่อทำเสร็จสิ้นการแอสแกนในคอลัมน์ที่ 2 ระบบจะสั่งให้บิตแอสแกนทุกบิตมีลอจิก 1 และคอลัมน์ 3 มีลอจิก 0 เพื่อทำการแอสแกนบิตในคอลัมน์ที่ 3 เมื่อทำการแอสแกนบิตครบทุกคอลัมน์แล้วระบบก็จะกลับมาแอสแกนบิตเริ่มที่คอลัมน์ 1 ใหม่ไปเรื่อยๆ จากการทำงานของระบบที่ทำการแอสแกนบิตทีละคอลัมน์จะไม่มีปัญหาการ

เอกสารนี้เป็นเอกสารที่สงวนไว้สำหรับการใช้งานเพื่อการศึกษาเท่านั้น ไม่อนุญาตให้นำไปใช้ประโยชน์ด้านการค้าไม่ว่ากรณีใดๆ ทั้งสิ้น อีกทั้งห้ามมิให้ตัดแปลงเนื้อหา และต้องอ้างอิงถึงเจ้าของเอกสารทุกครั้งที่มีการนำไปใช้

$$\begin{aligned}
 &= 184 \times 1.08507 \times 10^{-6} \\
 &= 199.65228 \times 10^{-6} \text{ วินาที} \\
 &= 199.65228 \text{ uS}
 \end{aligned}$$

โดยโปรแกรมบนไมโครคอนโทรลเลอร์จะมีฟังก์ชันการหน่วงเวลาของหลอดไฟ
แสดงดังนี้

```

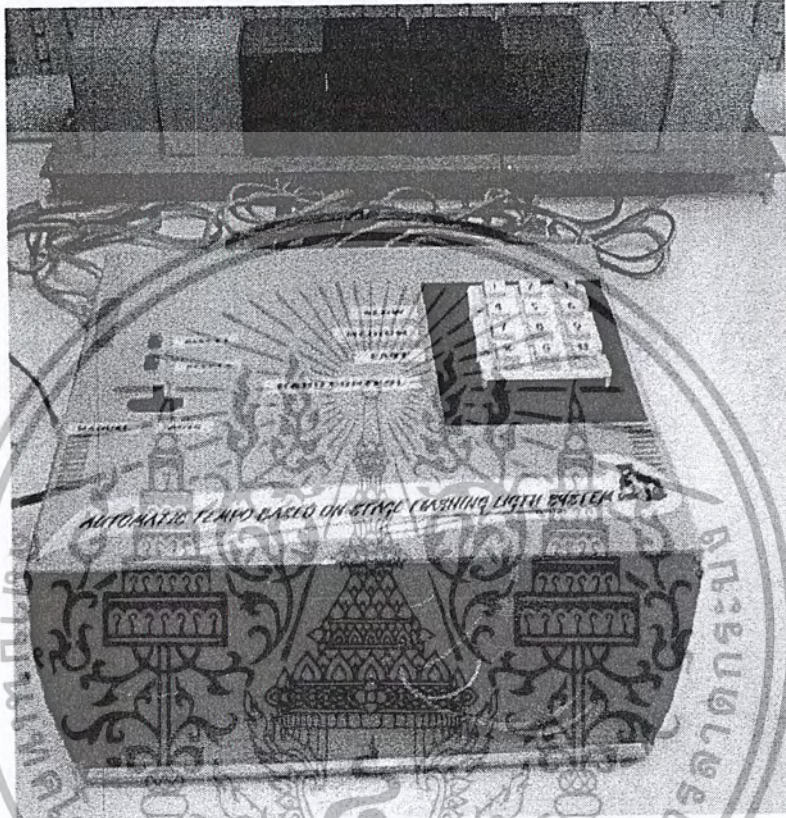
void Del_200uS(unsigned int DelLop)
{
    TR0=1;
    while(DelLop--)
    {
        while(!TF0);
        TF0=0;
    }
    TR0=0;
}

```

ฟังก์ชันหน่วงเวลาดังกล่าวจะใช้การหน่วงเวลาด้วยไทมเมอร์ เพื่อให้เกิดการโอเวอร์โฟลวทุก 200 uS โดยเริ่มจากการกำหนดให้ Timer0 เริ่มทำงาน (TR0 = 1) จากนั้นวนลูป while.. จนกว่าตัวแปร DelLop มีค่าเท่ากับ 0 และซ้อนลูป while.. เพื่อให้เกิดการโอเวอร์โฟลว (TF0 = 1) เมื่อเกิดการโอเวอร์โฟลวก็จะทำการเคลียร์ TF0 และสั่งการให้ Timer0 หยุดทำงาน (TR0 = 0)

เมื่อต้องการจะเรียกใช้ฟังก์ชันหน่วงเวลาสามารถเรียกใช้ได้ด้วยคำสั่ง Del_200uS() ยกตัวอย่างเช่น หากต้องการให้เกิดการหน่วงเวลา 1 วินาทีจะต้องใช้คำสั่ง Del_200uS(5000) ค่าพารามิเตอร์เท่ากับ 5000 ซึ่งเป็นตัวคูณค่า 200 uS ให้ได้ค่าเวลาที่ 1 วินาที

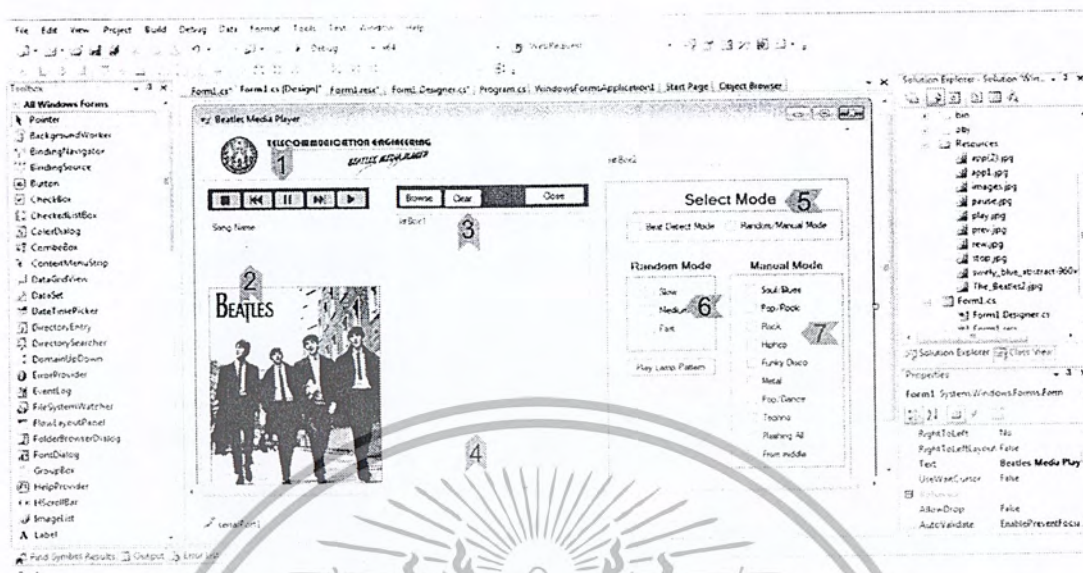
3.1.4 ฮาร์ดแวร์และการเชื่อมต่อที่เสร็จสมบูรณ์ ชิ้นงานที่เสร็จสมบูรณ์แสดงดังรูปที่ 3.8



รูปที่ 3.8 ชิ้นงานที่เสร็จสมบูรณ์

3.1.5 การออกแบบแอปพลิเคชันบนคอมพิวเตอร์

การออกแบบแอปพลิเคชันบนคอมพิวเตอร์จะใช้โปรแกรม Visual Studio 2008 และใช้ภาษา C# ในการออกแบบแอปพลิเคชัน แสดงการออกแบบแอปพลิเคชันด้วยโปรแกรม Visual Studio 2008 ได้ดังรูปที่ 3.9



รูปที่ 3.9 การออกแบบแอปพลิเคชันด้วยโปรแกรม Visual Studio 2008

แอปพลิเคชันที่ถูกเขียน โปรแกรมขึ้นเป็นลักษณะของ โปรแกรมเล่นเพลงซึ่งจะมีทูลบาร์ (Tool Bar) และฟังก์ชันในการใช้งานดังต่อไปนี้

- 1) Play Bar เป็นทูลบาร์สำหรับเล่นเพลง, หยุดเพลง, หยุดเพลงชั่วคราว และ ปุ่มเร่ง-ถอยหลัง
- 2) Song Name แสดงชื่อเพลงที่กำลังเล่นอยู่ในขณะนั้น
- 3) Queue Control เป็นทูลบาร์สำหรับเรียกเล่นเพลงจากไฟล์ในคอมพิวเตอร์ (Browse), ถ้างิ้วเพลงทั้งหมดใน Queue List (Clear) และ ปิดโปรแกรม (Close)
- 4) Queue List หน้าต่างแสดงคิวเพลงที่เลือกเล่นเรียงตามลำดับ
- 5) Select Mode เลือกโหมดการทำงาน
 - Beat Detection Mode ฟังก์ชัน โหมดการกระพริบตามจังหวะเสียงดนตรี
 - Random/Manual Mode ฟังก์ชัน โหมดการกระพริบแบบ Random และแบบ Manual จะสามารถใช้งานได้ (ลักษณะการใช้งานอธิบายดังข้อ 6 และ 7)
- 6) Random Mode แสดงการกระพริบตามระดับความเร็ว ได้แก่ สุ่มเลือกรูปแบบการกระพริบของระดับความเร็วเพลงช้า (Slow), ระดับเพลงกลาง, ระดับเพลงเร็ว

เอกสารนี้เป็นเอกสารที่สงวนไว้สำหรับการใช้งานเพื่อการศึกษาเท่านั้น ไม่นิยมนำไปใช้ประโยชน์ด้านการค้า ไม่ว่ากรณีใดๆ ทั้งสิ้น อีกทั้งห้ามมิให้ดัดแปลงเนื้อหา และต้องอ้างอิงถึงเจ้าของเอกสารทุกครั้งที่มีการนำไปใช้

7) Manual Mode แสดงการกระพริบตามรูปแบบการกระพริบสำเร็จรูป ของโปรแกรม

3.1.6 การเขียนโปรแกรมบนคอมพิวเตอร์เพื่อตรวจจับปิด

การออกแบบโปรแกรมในส่วนนี้เป็นการประยุกต์ใช้ทฤษฎีการตรวจจับจังหวะหรือ บิตของเฟดริก พาติน (Federic Patin) ซึ่งได้อธิบายไว้ในหัวข้อ 2.1 เพื่อวิเคราะห์การตรวจจับบิต ก่อนจะส่งการไปยังระบบบันทึกรูปแบบไฟกระพริบให้กระพริบตามบิตของเพลง โดยใช้ หลักการของเฟดริก พาติน หลังจากได้ทำการศึกษาวิธีการต่างๆจึงได้ทำการเลือกใช้ กระบวนการจับบิตด้วยขั้นตอนวิธีการตรวจจับบิตในเชิงสถิติแบบแบ่งช่วงความถี่ ในหัวข้อ 2.1.4 ซึ่งมีขั้นตอนและวิธีการดังต่อไปนี้

3.1.6.1 จำนวน FFT ของ 1024 แชนเนลที่นำมาจากสัญญาณ $a[n]$ และ $b[n]$ เมื่อผ่านกระบวนการ FFT จะได้ค่าจำนวนเชิงซ้อน ซึ่งแบ่งออกเป็น ส่วนจริง (Real part) จาก $a[n]$ และส่วนจินตภาพ (Imaginary Part) จาก $b[n]$ ดังสมการที่ 3.1 โดยการ FFT จะต้อง จำนวนทั้ง 1024 แชนเนล

$$(a_n) + i \times (b_n) \quad (3.1)$$

3.1.6.2 นำค่าที่ได้จาก FFT เก็บลงในบัพเฟอร์ ดังนั้นบัพเฟอร์ (B) จะเก็บ ค่าแอมพลิจูดของความถี่ไว้ทั้งหมด 1024 ค่า

3.1.6.3 แบ่งบัพเฟอร์ออกเป็น 32 ชับแบนด์ ทำการคำนวณพลังงานในแต่ละ ชับแบนด์ และเก็บค่าพลังงานของแต่ละชับแบนด์ (E_s) ดังนั้น E_s จะมี 32 ขนาด และ $E_s[i]$ จะเก็บพลังงานของชับแบนด์ i เอาไว้ แสดงได้ดังสมการที่ 3.2

$$E_s[i] = \frac{32}{1024} \times \sum_{k=i \times 32}^{(i+1) \times 32} B[k] \quad (3.2)$$

เอกสารนี้เป็นเอกสารที่สงวนไว้สำหรับการใช้งานเพื่อการศึกษาเท่านั้น ไม่อนุญาตให้นำไปใช้ประโยชน์ด้านการค้า ไม่ว่ากรณีใดๆ ทั้งสิ้น อีกทั้งห้ามมิให้ดัดแปลงเนื้อหา และต้องอ้างอิงถึงเจ้าของเอกสารทุกครั้งที่มีการนำไปใช้

3.1.6.4 จากนั้นคำนวณหาค่าพลังงานเฉลี่ยในแต่ละซับแบนด์ i (E_i)

โดยใช้สมการที่ 3.3

$$\langle E_i \rangle = \frac{1}{43} \times \sum_{k=0}^{42} E_i[k] \tag{3.3}$$

3.1.6.5 เลื่อนบัพเฟอร์เก็บค่าไปทางขวาอีก 1 ช่องข้อมูล ทำให้มีช่องข้อมูลเพิ่มขึ้น 1 ช่องสำหรับการจัดเก็บค่าพลังงานเฉลี่ยใหม่ในแต่ละซับแบนด์และลบค่าพลังงานเฉลี่ยเก่าทิ้งออกไป

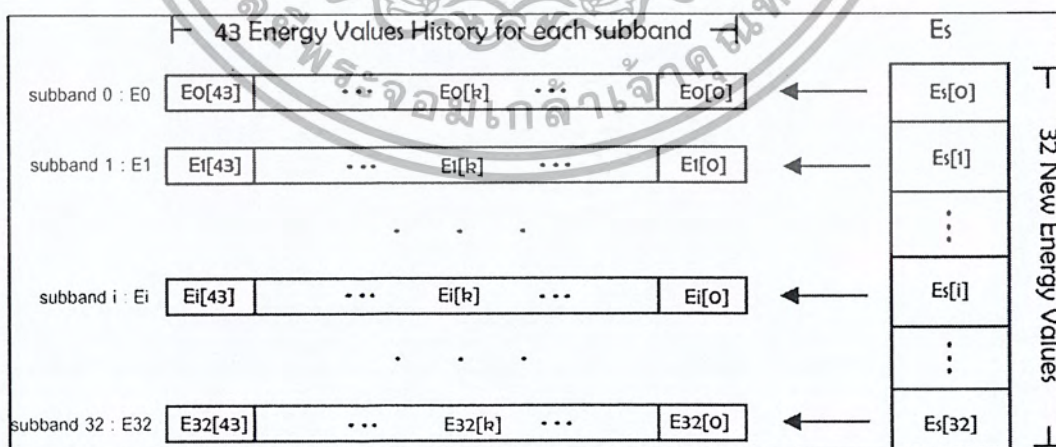
3.1.5.6 จัดเก็บค่าพลังงานเฉลี่ยของแต่ละซับแบนด์ใหม่ ลงใน $E_i[0]$

พิจารณาสมการที่ 3.4

$$E_i[0] = E_s[i] \tag{3.4}$$

3.1.6.7 หากในแต่ละซับแบนด์ i หาก $E_i[i] > (C \times \langle E_i \rangle)$ ค่าพลังงานนั้นๆคือค่าบีต

สามารถแสดงการเก็บข้อมูลในแต่ละซับแบนด์ได้ดังรูปที่ 3.9



รูปที่ 3.10 แสดงการเก็บข้อมูลในแต่ละซับแบนด์

เอกสารนี้เป็นเอกสารที่สงวนไว้สำหรับการใช้งานเพื่อการศึกษาเท่านั้น ไม่อนุญาตให้นำไปใช้ประโยชน์ด้านการค้า ไม่ว่ากรณีใดๆ ทั้งสิ้น อีกทั้งห้ามมิให้ตัดแปลงเนื้อหา และต้องอ้างอิงถึงเจ้าของเอกสารทุกครั้งที่มีการนำไปใช้

โดยสามารถคำนวณค่าความแปรปรวน (V) และค่า C ได้จากสมการดังต่อไปนี้

$$V = \frac{1}{43} \times \sum_{i=0}^{43} (E[i] - \langle E \rangle)^2 \quad (3.5)$$

$$C = (-0.0025714 \times V) + 1.514287 \quad (3.6)$$

จากทฤษฎีที่กล่าวมาข้างต้นนำมาประยุกต์ใช้งานโดยเขียนโปรแกรมคำนวณค่าบีตที่เกิดขึ้นด้วยโปรแกรม Processing โดยผลการจับตรวบิตด้วยโปรแกรมในสุดท้ายแล้วจะใช้กลุ่มเมทอด(Methods) จากคลาส BeatDetect ทำการเลือกย่านความถี่เพื่อแสดงค่าการเกิดบีต กลุ่มเมทอดเหล่านั้นได้แก่

1) isOnset() ใช้ในการจับบีตภายในเฟรมข้อมูลคล้ายกับวิธีการตรวจจับบีตในเชิงสถิติแบบที่ 1

2) isKick() ใช้ในการจับบีตเมื่อเกิดบีตจากการเหยียบกระดิ่งกลอง

3) isSnare() ใช้ในการจับบีตเมื่อเกิดบีตจากการตีสแนร์กลอง

4) isHat() ใช้ในการจับบีตเมื่อเกิดบีตจากการตีไฮแฮทกลอง

ในการทำงานของ โปรแกรมในส่วนแรกต้องทำการสร้างสตรีมไฟล์ก่อนซึ่งเป็นการรับอินพุตข้อมูลสัญญาณเสียงที่ผ่านซาวการ์ด จากนั้นสร้างบีฟเฟอร์ เพื่อใช้เก็บข้อมูลในการคำนวณค่าพลังงาน หลังจากคำนวณค่าพลังงานต่างๆที่เกิดขึ้น สุดท้ายก็จะใช้กลุ่มเมทอดที่กล่าวมาแยกจับบีตตามความสามารถของแต่ละตัว

ดังนั้นหากต้องการใช้งานในส่วนของ Beat Detection Mode ของแอปพลิเคชันโปรแกรม Visual Studio 2008 ถูกเขียนโปรแกรมให้เรียกแอปพลิเคชันภาษาจาวาของโปรแกรม Processing ซึ่งเป็นไฟล์ .exe ออกมาใช้งาน โดยการเขียน โปรแกรมใน Processing นั้นเป็นการเขียนโปรแกรมภาษาจาวาที่เกี่ยวข้องกับการตรวจจับบีตโดยใช้วิธีการของขั้นตอนวิธีการตรวจจับบีตดังที่กล่าวมาข้างต้น เมื่อทำการเขียนโปรแกรมให้คอมพิวเตอร์ประมวลผลตามขั้นตอนวิธีการ

เอกสารนี้เป็นเอกสารที่สงวนไว้สำหรับการใช้งานเพื่อการศึกษาเท่านั้น ไม่อนุญาตให้นำไปใช้ประโยชน์ด้านการค้าไม่ว่ากรณีใดๆ ทั้งสิ้น อีกทั้งห้ามมิให้ตัดแปลงเนื้อหา และต้องอ้างอิงถึงเจ้าของเอกสารทุกครั้งที่มีการนำไปใช้

3.3 การจัดเก็บผลการทดลอง

การจัดเก็บผลการทดลองแบ่งเป็น 3 ส่วนคือ ส่วนที่เป็นผลการทดลองของระบบจัดเก็บรูปแบบการกระพริบของหลอดไฟและชุดควบคุมการกระพริบของหลอดไฟ ซึ่งในส่วนนี้จะแบ่งผลการทดลองเป็นสองส่วนย่อย ได้แก่ การวัดผลสัญญาณในระดับลอจิกโดยใช้ออสซิลโลสโคปวัดสัญญาณลอจิกที่ออกจากพอร์ต 0 ของไมโครคอนโทรลเลอร์จะเป็นการแสดงตัวอย่างผลรูปแบบของไฟกระพริบ 3 รูปแบบ และการวัดผลรูปแบบการกระพริบของหลอดไฟที่ถูกต้องอยู่กับวงจรควบคุมหลอดไฟ โดยจะแสดงผลเป็นภาพถ่ายรูปแบบไฟกระพริบทั้งหมด 3 รูปแบบเพื่อพิจารณาประกอบกับผลที่ได้จากออสซิลโลสโคป โดยใช้กล้องดิจิทัลในการเก็บผลการทดลอง

ส่วนที่สองจะเป็นผลการทดลองการเขียนแอปพลิเคชัน Beatles Music Player ซึ่งก็คือแอปพลิเคชันที่เขียนด้วยโปรแกรม Visual Studio 2008 เพื่อควบคุมการเล่นเพลงและมีโหมดการควบคุมหลอดไฟให้เลือกใช้งาน

ในส่วนสุดท้ายจะเป็นผลการทดลองการบันทึกจากการตรวจนับบีตของโปรแกรมในส่วนที่เป็นการตรวจนับบีตโดยใช้วิธีการวัดผลโดยการเปรียบเทียบค่าบีตต่อนาทีมาตรฐานที่ได้จากสัญญาณเสียงเมโทรโนม (Metronome) ผลสัมฤทธิ์ของเสียงรบกวน กับค่าบีตต่อนาทีเฉลี่ยที่ได้จากการเก็บค่าด้วยเมทอด `isOnset`, `isSnare()` ซึ่งมีความสามารถในการจับบีตในย่านความถี่ของอุปกรณ์ทดลองเหตุผลที่ต้องใช้สองเมทอดนี้เพราะทั้งสองเมทอดนี้สามารถตรวจจับบีตในย่านของเสียงเมโทรโนมได้ดี และเพียงพอที่จะเปรียบเทียบผลความแม่นยำของการจับบีตของโปรแกรมได้ทั้งหมด โดยค่าบีตต่อนาทีมาตรฐานที่ได้จากเมโทรโนมนั้นสามารถใช้โปรแกรม Guitar Pro 5 ซึ่งมีฟังก์ชันเล่นเสียงเมโทรโนมหรือเสียงบีตต่อนาทีได้

บทที่ 4

ผลการทดลอง

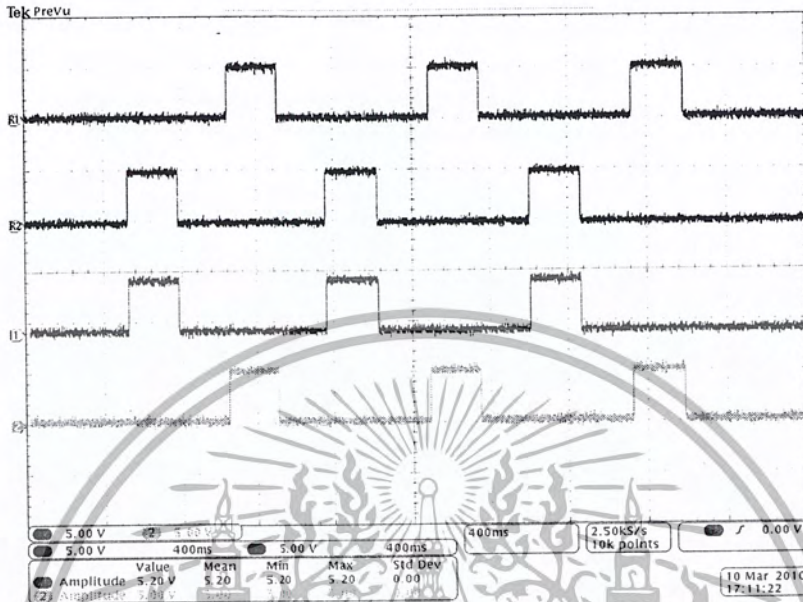
ผลการทดลองแบ่งเป็น 3 ส่วนคือส่วนที่เป็นผลการทดลองของระบบจัดเก็บรูปแบบการกระพริบของหลอดไฟและชุดควบคุมการกระพริบของหลอดไฟ ซึ่งในส่วนนี้จะแบ่งผลการทดลองเป็นส่วนย่อย ได้แก่ การวัดผลสัญญาณในระดับลอจิกโดยใช้ฮอสซิลโลสโคปวัดสัญญาณลอจิกที่ออกจากพอร์ต 0 ของไมโครคอนโทรลเลอร์จะเป็นการแสดงผลรูปแบบของไฟกระพริบทั้งหมด 3 รูปแบบ และส่วนที่เป็นการวัดผลรูปแบบการกระพริบของหลอดไฟที่ถูกต่ออยู่กับวงจรควบคุมหลอดไฟ โดยจะแสดงผลเป็นภาพถ่ายรูปแบบไฟกระพริบทั้ง 3 รูปแบบโดยใช้กล้องดิจิทัลในการเก็บผลการทดลอง ผลการทดลองในส่วนที่สองจะเป็นผลการทดลองการเขียนแอปพลิเคชัน Beatles Music Player ซึ่งก็คือแอปพลิเคชันที่เขียนด้วยโปรแกรม Visual Studio 2008 เพื่อควบคุมการเล่นเพลงและมีโหมดการควบคุมหลอดไฟให้เลือกใช้งาน และผลการทดลองในส่วนสุดท้ายจะเป็นผลของโปรแกรมตรวจจับบีตของเพลงที่เล่นด้วยโปรแกรมที่สร้างขึ้นบนคอมพิวเตอร์ ผลการทดลองจะแสดงผลการตรวจจับบีตในหนึ่งนาที(BPM) ของโปรแกรมที่สร้างขึ้นเปรียบเทียบกับค่าบีตต่อนาทีมาตรฐานที่ได้จากเมโทรโนม โดยใช้โปรแกรม Guitar Pro 5 เป็นโปรแกรมสร้างสัญญาณเสียงเมโทรโนมและกำหนดค่าบีตต่อนาทีมาตรฐาน

4.1 ผลการทดลองของระบบจัดเก็บรูปแบบการกระพริบของหลอดไฟและชุดควบคุมการกระพริบของหลอดไฟ

4.1.1 ผลการทดลองโดยการวัดผลสัญญาณระดับลอจิก

ในส่วนนี้จะทำการวัดสัญญาณลอจิกที่ออกจากพอร์ต 0 ของไมโครคอนโทรลเลอร์ด้วยฮอสซิลโลสโคป จะมีสัญญาณทั้งหมด 4 สัญญาณที่มีลอจิกเหมือนหรือต่างกันไปตามรูปแบบการกระพริบของหลอดไฟ ประกอบด้วยสัญญาณอ้างอิง R1, R2, 1 และสัญญาณอ้างอิง 2 ซึ่งก็คือระดับสัญญาณที่ออกจากพอร์ต P0.0 ถึงพอร์ต P0.3 ตามลำดับ ซึ่งจะอธิบายเป็นตัวอย่างผลการทดลองเนื่องจากมีรูปแบบไฟกระพริบเป็นจำนวนมาก ซึ่งผลการทดลองแสดงได้ดังต่อไปนี้

4.1.1.1 ผลการทดลองรูปแบบการกระพริบ ตัวอย่างที่ 1



รูปที่ 4.1 สัญญาณที่วัดจากพอร์ต P0.0 ถึงพอร์ต P0.3 ของรูปแบบการกระพริบ ตัวอย่างที่ 1

จากรูปที่ 4.1 ทำการเปรียบเทียบผลที่ได้กับค่าที่กำหนดในการออกแบบซอฟต์แวร์ โดยลอจิก “0” คือระดับสัญญาณ 0 โวลต์ และลอจิก “1” คือระดับสัญญาณประมาณ 5 โวลต์

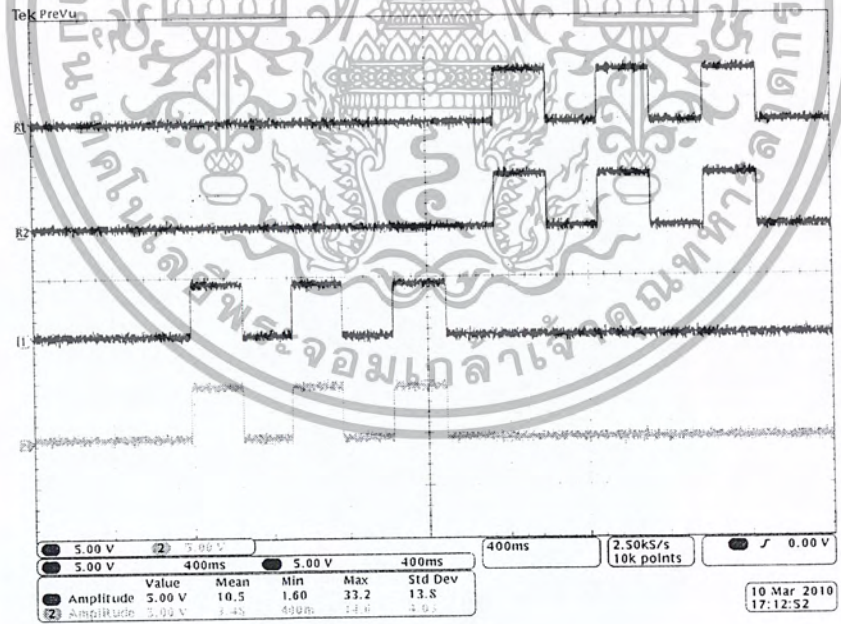
ตารางที่ 4.1 ตารางการเปรียบเทียบผลที่ได้กับค่าที่กำหนดในการออกแบบซอฟต์แวร์ (ตัวอย่างที่ 1)

ค่าที่กำหนดบนบอร์ดแสดงเป็นเลข	สัญญาณลอจิกที่อ่านจากออสซิลโลสโคป			
ฐาน 16	เริ่มนับจากสัญญาณพัลส์ลูกแรก			
(พิจารณาเฉพาะ 4 บิตล่าง)	P0.3	P0.2	P0.1	P0.0
06	0	1	1	0
00	0	0	0	0
09	1	0	0	1
00	0	0	0	0
06	0	1	1	0
00	0	0	0	0

ตารางที่ 4.1 ตารางการเปรียบเทียบผลที่ได้กับค่าที่กำหนดในการออกแบบซอฟต์แวร์ (ตัวอย่างที่ 1) (ต่อ)

ค่าที่กำหนดบนซอฟต์แวร์แสดงเป็นเลขฐาน 16 (พิจารณาเฉพาะ 4 บิตล่าง)	สัญญาณลอจิกที่อ่านจากออสซิลโลสโคป เริ่มนับจากสัญญาณพัลส์ลูกแรก			
	P0.3	P0.2	P0.1	P0.0
09	1	0	0	1
00	0	0	0	0
06	0	1	1	0
00	0	0	0	0
09	1	0	0	1
00	0	1	1	0

4.1.1.2 ผลการทดลองรูปแบบการกระพริบ ตัวอย่างที่ 2



รูป 4.2 สัญญาณที่วัดจากพอร์ต P0.0 ถึงพอร์ต P0.3 รูปแบบการกระพริบ ตัวอย่างที่ 2

เอกสารนี้เป็นเอกสารที่สงวนไว้สำหรับการใช้งานเพื่อการศึกษาเท่านั้น ไม่อนุญาตให้นำไปใช้ประโยชน์ด้านการค้า ไม่ว่ากรณีใดๆ ทั้งสิ้น อีกทั้งห้ามมิให้ตัดแปลงเนื้อหา และต้องอ้างอิงถึงเจ้าของเอกสารทุกครั้งที่มีการนำไปใช้

จากรูปที่ 4.2 ทำการเปรียบเทียบผลที่ได้กับค่าที่กำหนดในการออกแบบซอฟต์แวร์ โดยลอจิก “0” คือระดับสัญญาณ 0 โวลต์ และลอจิก “1” คือระดับสัญญาณประมาณ 5 โวลต์

ตารางที่ 4.2 ตารางการเปรียบเทียบผลที่ได้กับค่าที่กำหนดในการออกแบบซอฟต์แวร์ (ตัวอย่างที่ 2)

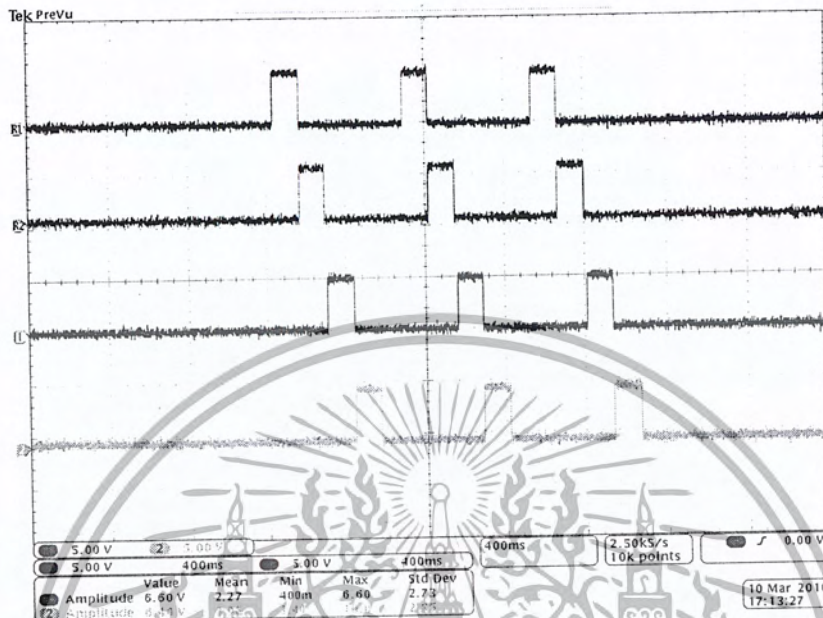
ค่าที่กำหนดบนซอฟต์แวร์แสดงเป็นเลขฐาน 16
(พิจารณาเฉพาะ 4 บิตล่าง)

สัญญาณลอจิกที่อ่านจากออสซิลโลสโคป
เริ่มนับจากสัญญาณพัลส์สูงแรก

	P0.3	P0.2	P0.1	P0.0
0C	1	1	0	0
00	0	0	0	0
0C	1	1	0	0
00	0	0	0	0
0C	1	1	0	0
00	0	0	0	0
03	0	0	1	1
00	0	0	0	0
03	0	0	1	1
00	0	0	0	0
03	0	0	1	1
00	0	0	0	0

เอกสารนี้เป็นเอกสารที่สงวนไว้สำหรับการใช้งานเพื่อการศึกษาเท่านั้น ไม่อนุญาตให้นำไปใช้ประโยชน์ด้านการค้า ไม่ว่าจะกรณีใดๆ ทั้งสิ้น อีกทั้งห้ามมิให้ดัดแปลงเนื้อหา และต้องอ้างอิงถึงเจ้าของเอกสารทุกครั้งที่มีการนำไปใช้

4.1.1.5 ผลการทดลองรูปแบบการกระพริบตัวอย่างที่ 3



รูป 4.3 สัญญาณที่วัดจากพอร์ต P0.0 ถึงพอร์ต P0.3 รูปแบบการกระพริบ ตัวอย่างที่ 3

จากรูปที่ 4.3 ทำการเปรียบเทียบผลที่ได้กับค่าที่กำหนดในการออกแบบซอฟต์แวร์ โดยลอจิก “0” คือระดับสัญญาณ 0 โวลต์ และลอจิก “1” คือระดับสัญญาณประมาณ 5 โวลต์

ตารางที่ 4.3 ตารางการเปรียบเทียบผลที่ได้กับค่าที่กำหนดในการออกแบบซอฟต์แวร์ ตัวอย่างที่ 3

ค่าที่กำหนดบนซอฟต์แวร์แสดงเป็นเลขฐาน 16 (พิจารณาเฉพาะ 4 บิตล่าง) สัญญาณลอจิกที่อ่านจากออสซิลโลสโคป (เริ่มนับจากสัญญาณพัลส์ลูกแรก)

	P0.3	P0.2	P0.1	P0.0
01	0	0	0	1
02	0	0	1	0
04	0	1	0	0
08	1	0	0	0
00	0	0	0	0
01	0	0	0	1
02	0	0	1	0

เอกสารนี้เป็นเอกสารที่สงวนไว้สำหรับการใช้งานเพื่อการศึกษาเท่านั้น ไม่อนุญาตให้นำไปใช้ประโยชน์ด้านการค้า ไม่ว่ากรณีใดๆ ทั้งสิ้น อีกทั้งห้ามมิให้ดัดแปลงเนื้อหา และต้องอ้างอิงถึงเจ้าของเอกสารทุกครั้งที่มีการนำไปใช้

ตารางที่ 4.3 ตารางการเปรียบเทียบผลที่ได้กับค่าที่กำหนดในการออกแบบซอฟต์แวร์ ตัวอย่างที่ 3 (ต่อ)

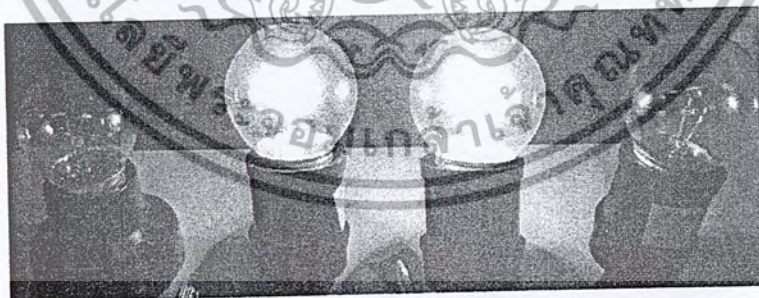
ค่าที่กำหนดบนซอฟต์แวร์แสดงเป็นเลขฐาน 16
(พิจารณาเฉพาะ 4 บิตล่าง)

สัญญาณลอจิกที่อ่านจากออสซิลโลสโคป
เริ่มนับจากสัญญาณพัลส์สูงแรก

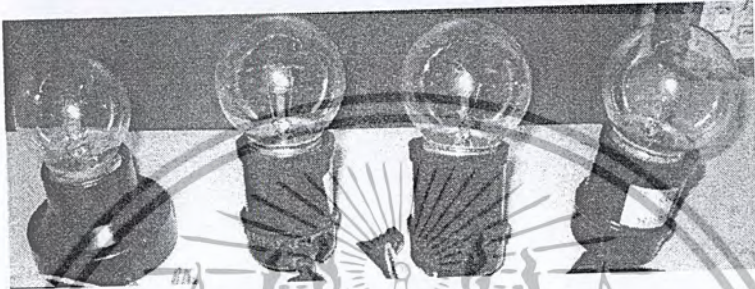
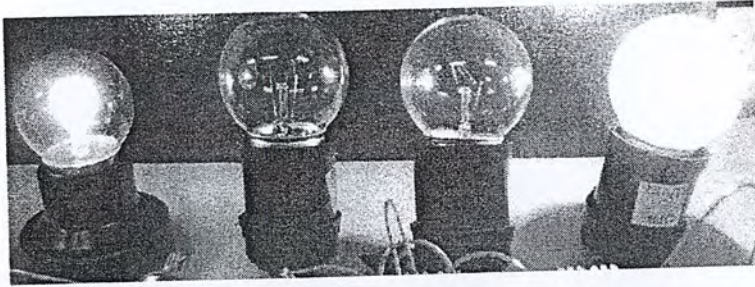
	P0.3	P0.2	P0.1	P0.0
04	0	1	0	0
08	1	0	0	0
00	0	0	0	0
01	0	0	0	1
02	0	0	1	0
04	0	1	0	0
08	1	0	0	0
00	0	0	0	0

4.1.2 ผลการทดลองโดยวัดผลรูปแบบการกระพริบของหลอดไฟแสดงเป็นภาพถ่าย

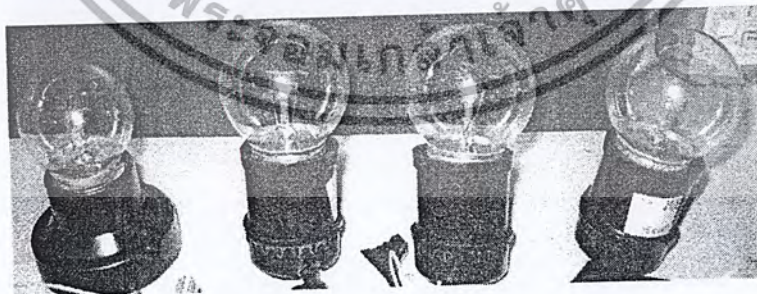
ในส่วนนี้เป็นการแสดงผลรูปแบบการกระพริบของหลอดไฟเมื่อกดคีย์ต่างๆบนคีย์แพด ผลการทดลองจะแสดงเป็นภาพถ่ายดังต่อไปนี้



เอกสารนี้เป็นเอกสารที่สงวนไว้สำหรับการใช้งานเพื่อการศึกษาเท่านั้น ไม่อนุญาตให้นำไปใช้ประโยชน์ด้านการค้า ไม่ว่ากรณีใดๆ ทั้งสิ้น อีกทั้งห้ามมิให้ดัดแปลงเนื้อหา และต้องอ้างอิงถึงเจ้าของเอกสารทุกครั้งที่มีการนำไปใช้



รูปที่ 4.4 รูปแบบการกระพริบของหลอดไฟ ตัวอย่างที่ 1



เอกสารนี้เป็นเอกสารที่สงวนไว้สำหรับการใช้งานเพื่อการศึกษาเท่านั้น ไม่อนุญาตให้นำไปใช้ประโยชน์ด้านการค้า ไม่ว่ากรณีใดๆ ทั้งสิ้น อีกทั้งห้ามมิให้ตัดแปลงเนื้อหา และต้องอ้างอิงถึงเจ้าของเอกสารทุกครั้งที่มีการนำไปใช้



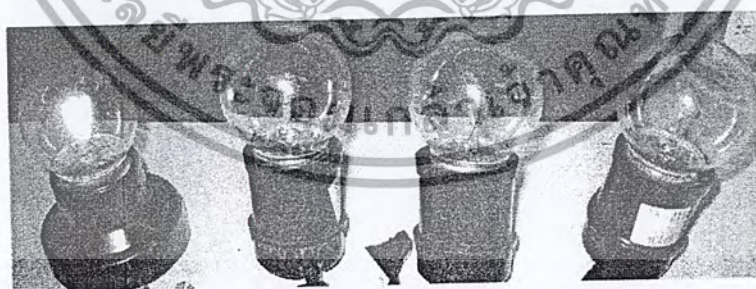
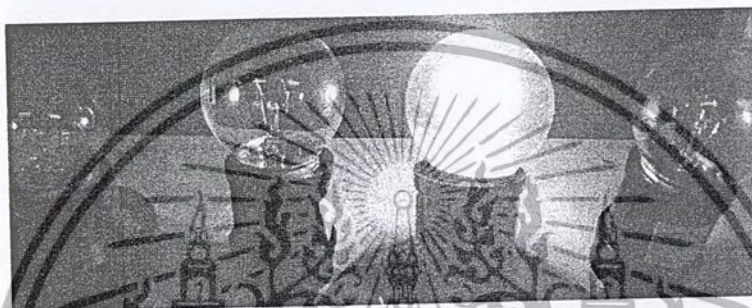
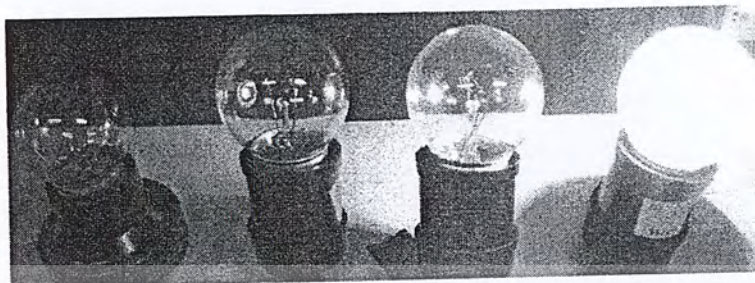
รูปที่ 4.5 รูปแบบการกระพริบของหลอดไฟ ตัวอย่างที่ 2

เอกสารนี้เป็นเอกสารที่สงวนไว้สำหรับการใช้งานเพื่อการศึกษาเท่านั้น ไม่อนุญาตให้นำไปใช้ประโยชน์ด้านการค้า ไม่ว่ากรณีใดๆ ทั้งสิ้น อีกทั้งห้ามมิให้ตัดแปลงเนื้อหา และต้องอ้างอิงถึงเจ้าของเอกสารทุกครั้งที่มีการนำไปใช้



รูปที่ 4.6 รูปแบบการกระพริบของหลอดไฟ ตัวอย่างที่ 2 (2)

เอกสารนี้เป็นเอกสารที่สงวนไว้สำหรับการใช้งานเพื่อการศึกษาเท่านั้น ไม่อนุญาตให้นำไปใช้ประโยชน์ด้านการค้า ไม่ว่ากรณีใดๆ ทั้งสิ้น อีกทั้งห้ามมิให้ตัดแปลงเนื้อหา และต้องอ้างอิงถึงเจ้าของเอกสารทุกครั้งที่มีการนำไปใช้

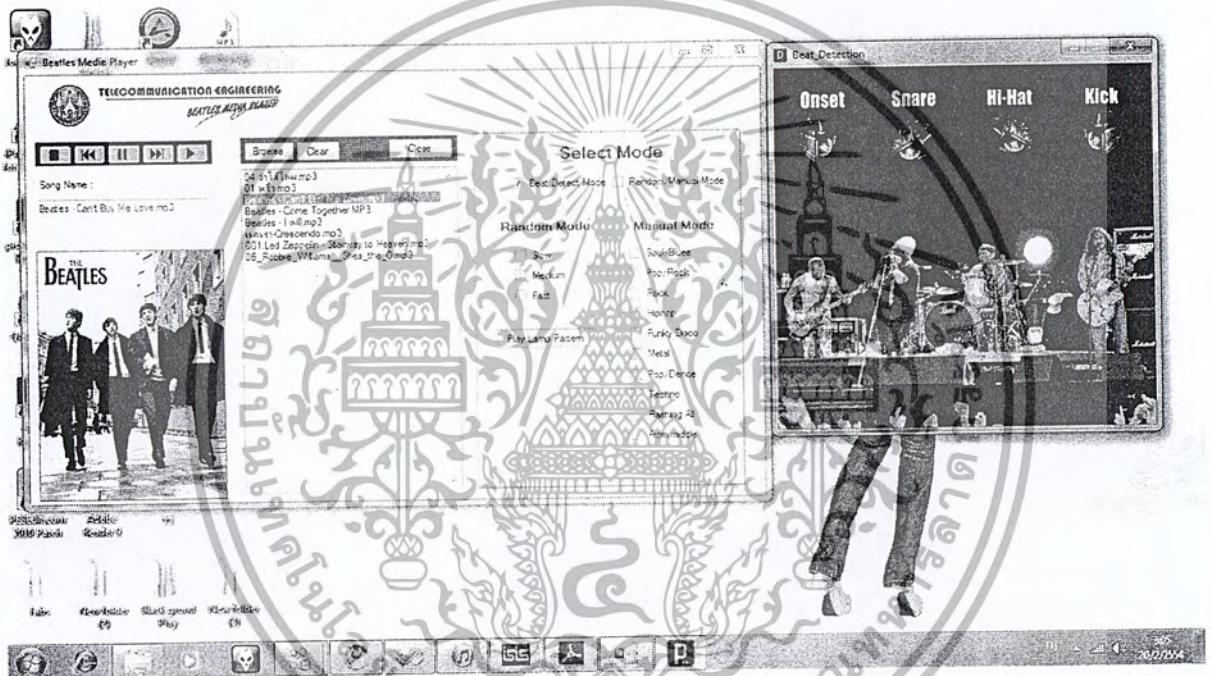


รูปที่ 4.7 รูปแบบการกระพริบของหลอดไฟ ตัวอย่างที่ 3

เอกสารนี้เป็นเอกสารที่สงวนไว้สำหรับการใช้งานเพื่อการศึกษาเท่านั้น ไม่อนุญาตให้นำไปใช้ประโยชน์ด้านการค้า ไม่ว่ากรณีใดๆ ทั้งสิ้น อีกทั้งห้ามมิให้ตัดแปลงเนื้อหา และต้องอ้างอิงถึงเจ้าของเอกสารทุกครั้งที่มีการนำไปใช้

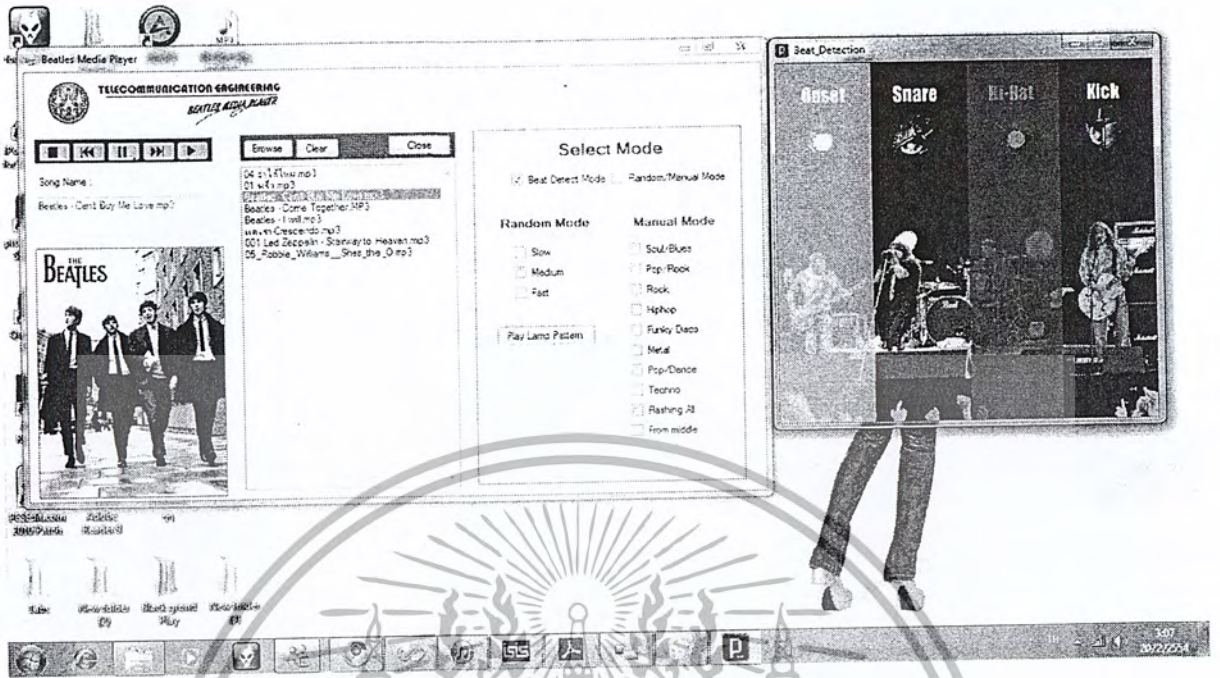
4.2 ผลการเขียนแอปพลิเคชัน Beatles Music Player

ผลการทดลองการเขียนแอปพลิเคชันบนโปรแกรม Visual Studio 2008 จะแสดงรูปลักษณะของโปรแกรมที่ใช้ในการเล่นเพลงและเลือกโหมดการกระพริบของหลอดไฟ สามารถศึกษาการใช้งานได้ในหัวข้อ 3.1.5 และศึกษาข้อมูลพื้นฐานของโปรแกรม Visual Studio 2008 ได้ในหัวข้อ 2.10 ผลการเขียนแอปพลิเคชัน Beatles Music Player แสดงผลเป็นรูปถ่ายได้ดังนี้



รูปที่ 4.8 หน้าต่างแอปพลิเคชัน Beatles Music Player

เอกสารนี้เป็นเอกสารที่สงวนไว้สำหรับการใช้งานเพื่อการศึกษาเท่านั้น ไม่อนุญาตให้นำไปใช้ประโยชน์ด้านการค้าไม่ว่ากรณีใดๆ ทั้งสิ้น อีกทั้งห้ามมิให้ตัดแปลงเนื้อหา และต้องอ้างอิงถึงเจ้าของเอกสารทุกครั้งที่มีการนำไปใช้

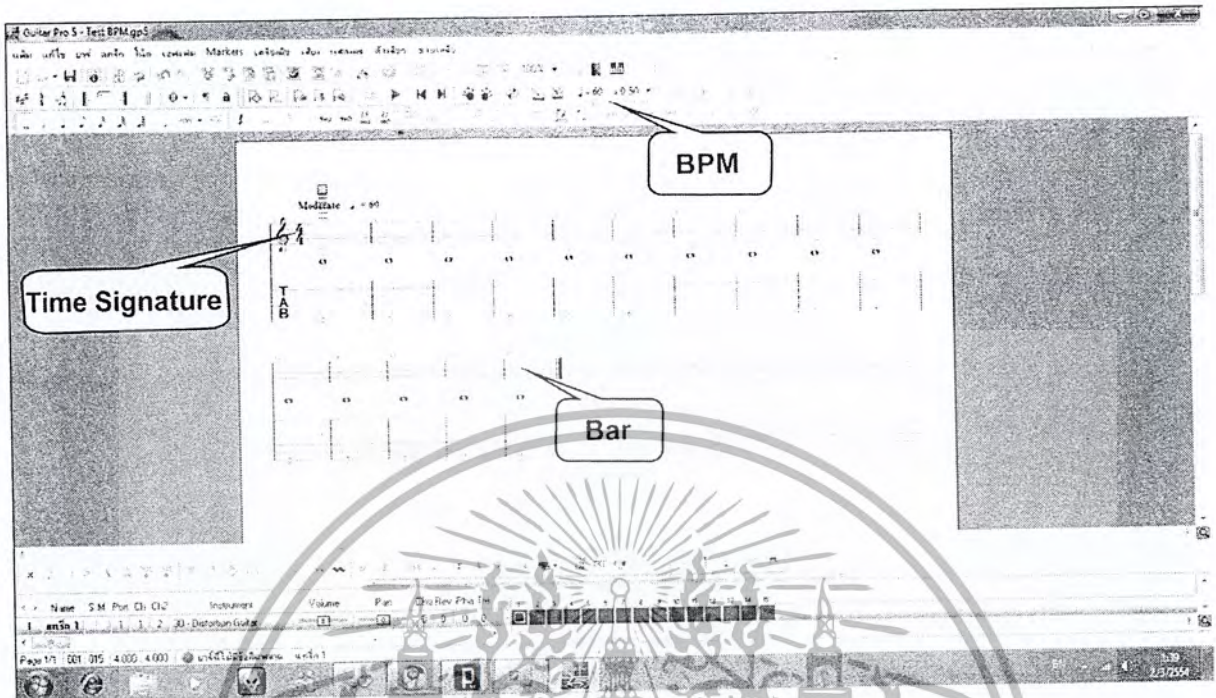


รูปที่ 4.9 หน้าต่างแอปพลิเคชัน Beatles Music Player (2)

4.3 ผลการทดลองการบันทึกจากการตรวจจับบีต

ผลการทดลองการบันทึกจากการตรวจจับบีตใช้วิธีการวัดผลโดยการเปรียบเทียบค่าบีตต่อหน้าที่มาตรฐานที่ได้จากสัญญาณเสียงเมโทรนอมกับสัญญาณเสียงรบกวน กับค่าบีตต่อหน้าที่เฉลี่ยที่ได้จากการเก็บค่าด้วยเมททอด isOnset, isSnare() ซึ่งมีความสามารถในการจับบีตในช่วงความถี่เสียงเมโทรนอมโดยค่าบีตต่อหน้าที่มาตรฐานที่ได้จากเมโทรนอมนั้นสามารถใช้โปรแกรม Guitar Pro 5 ซึ่งมีฟังก์ชันเล่นเสียงเมโทรนอมหรือเสียงบีตต่อหน้าที่ เป็นค่าบีตต่อหน้าที่มาตรฐานเพื่อใช้เปรียบเทียบ แสดงหน้าต่างโปรแกรม Guitar Pro 5 ได้ดังรูปที่ 4.8

เอกสารนี้เป็นเอกสารที่สงวนไว้สำหรับการใช้งานเพื่อการศึกษาเท่านั้น ไม่อนุญาตให้นำไปใช้ประโยชน์ด้านการค้าไม่ว่ากรณีใดๆ ทั้งสิ้น อีกทั้งห้ามมิให้ดัดแปลงเนื้อหา และต้องอ้างอิงถึงเจ้าของเอกสารทุกครั้งที่มีการนำไปใช้



รูปที่ 4.10 หน้าต่าง โปรแกรม Guitar Pro 5

จากรูปที่ 4.10 โปรแกรม Guitar Pro 5 สามารถเลือกความเร็วของเมโทรโนมได้ ซึ่งหน่วยความเร็วของเมโทรโนมคือ บิตต่อนาที (BPM) สามารถคำนวณได้โดยพิจารณาจากอัตราจังหวะ (Time Signature) ในที่นี้ใช้อัตราจังหวะประเภท 4/4 จะมีห้องทางดนตรี (Measure) ที่ถูกแบ่งออกแต่ละห้องหรือแต่ละบาร์ ในแต่ละห้องจะมีจังหวะเมโทรโนมตามอัตราจังหวะ ดังนั้นด้วยอัตราจังหวะประเภท 4/4 หมายถึงมีเสียงเมโทรโนมทั้งหมด 4 ครั้ง ต่อ 1 ห้อง หากต้องการความเร็วเมโทรโนมที่ 60 ครั้งต่อนาที หรือมีความเร็วที่ 60 บิตต่อนาที (1 ครั้งต่อ 1 วินาที) จำนวนห้องทางดนตรีจึงมีทั้งหมด 15 ห้อง

จากนั้นจะทำการวัดผลการทดลองโดยใช้ค่าบิตต่อนาทีมาตรฐานที่ได้จากสัญญาณเสียงเมโทรโนมร่วมกับสัญญาณรบกวน โดยการเปิดเสียงแตก (Distortion) ของกีตาร์เล่นควบคู่ไปกับสัญญาณเสียงของเมโทรโนม จากนั้นนำไปเปรียบเทียบกับกับค่าบิตต่อนาทีเฉลี่ยที่ได้จากการเก็บค่าด้วยเมททอด isOnset, isSnare() โดยค่าบิตต่อนาทีมาตรฐานที่ต้องการนั้นจะทำการทดสอบที่ความเร็ว 60, 92, 120, 152, 180 บิตต่อนาที จากนั้นทำการเปรียบเทียบกับเมททอด isOnset, isSnare() ทั้งหมด 3 ครั้งเพื่อหาค่าบิตต่อนาทีเฉลี่ย (BPM_{avg}) แสดงได้ดังตารางที่ 4.4 และ 4.5

เอกสารนี้เป็นเอกสารที่สงวนไว้สำหรับการใช้งานเพื่อการศึกษาเท่านั้น ไม่อนุญาตให้นำไปใช้ประโยชน์ด้านการค้า ไม่ว่ากรณีใดๆ ทั้งสิ้น อีกทั้งห้ามมิให้ดัดแปลงเนื้อหา และต้องอ้างอิงถึงเจ้าของเอกสารทุกครั้งที่มีการนำไปใช้

ตารางที่ 4.4 ตารางบันทึกค่าการเกิดบีดต่อนาทีเปรียบเทียบกับค่ามาตรฐานกับ
ค่าเฉลี่ยจากการตรวจจับด้วยเมททอด isOnset()

บีดต่อนาที (BPM)	isOnset()			บีดต่อนาทีเฉลี่ย(BPM _{av})
	ครั้งที่ 1	ครั้งที่ 2	ครั้งที่ 3	
60	61	62	63	62.00
92	94	93	93	93.33
120	121	125	121	122.33
152	129	142	131	134.33
180	133	132	132	132.33

ตารางที่ 4.5 ตารางบันทึกค่าการเกิดบีดต่อนาทีเปรียบเทียบกับค่ามาตรฐานกับ
ค่าเฉลี่ยจากการตรวจจับด้วยเมททอด isSnare()

บีดต่อนาที (BPM)	isSnare()			บีดต่อนาทีเฉลี่ย(BPM)
	ครั้งที่ 1	ครั้งที่ 2	ครั้งที่ 3	
60	61	60	60	60.33
92	92	93	91	92.00
120	125	123	120	122.67
152	139	148	139	142.00
180	142	160	144	148.67

จากตารางที่ 4.4, 4.5 สามารถสรุปผลการทดลองได้ว่า ในช่วงความเร็วที่ 60, 92, 120 บีดต่อนาทีมาตรฐานนั้น ค่าบีดต่อนาทีเฉลี่ยยังคงมีค่าที่ใกล้เคียง แต่ในช่วงความเร็วที่ 152, 180 บีดต่อนาทีมาตรฐาน ค่าบีดต่อนาทีเฉลี่ยจะเริ่มมีค่าผิดพลาดมากขึ้น จึงสรุปได้ว่าเมื่อบีดต่อนาทีมีค่ามากขึ้น หรือเมื่อเพลงเร็วขึ้น ค่าบีดต่อนาทีเฉลี่ยที่ตรวจจับได้จะมีค่าผิดพลาดมากขึ้นแต่ตามหลักการงานนั้นจะสามารถใช้

เอกสารนี้เป็นเอกสารที่สงวนไว้สำหรับการใช้งานเพื่อการศึกษาเท่านั้น ไม่อนุญาตให้นำไปใช้ประโยชน์ด้านการค้า ไม่ว่ากรณีใดๆ ทั้งสิ้น อีกทั้งห้ามมิให้คัดแปลงเนื้อหา และต้องอ้างอิงถึงเจ้าของเอกสารทุกครั้งที่มีการนำไปใช้

เมททอดหลายตัวในขั้นตอนสุดท้ายของการส่งค่าการเกิดบีตจึงสามารถทดแทนการทำงานกันได้เมื่อเพลงมีความเร็วหรือช้ามากๆ



เอกสารนี้เป็นเอกสารที่สงวนไว้สำหรับการใช้งานเพื่อการศึกษาเท่านั้น ไม่อนุญาตให้นำไปใช้ประโยชน์ด้านการค้าไม่ว่ากรณีใดๆ ทั้งสิ้น อีกทั้งห้ามมิให้ตัดแปลงเนื้อหา และต้องอ้างอิงถึงเจ้าของเอกสารทุกครั้งที่มีการนำไปใช้

บทที่ 5

สรุปผลและข้อเสนอแนะ

5.1 สรุปผล

จากการออกแบบและสร้างระบบไฟสถานบันเทิงแบบอัตโนมัติตามจังหวะเสียงดนตรีที่ได้กล่าวมาในบทก่อนหน้านี้นั้นทั้งหมด สามารถสรุปผลการทดลองได้ดังต่อไปนี้

5.1.1 สรุปผลการทดลองการออกแบบระบบบันทึกรูปแบบการกระพริบและควบคุมการกระพริบของหลอดไฟ

ผลการทดลองได้ผลการทำงานของระบบบันทึกรูปแบบการกระพริบของหลอดไฟตรงตามเป้าหมายที่วางไว้กล่าวคือ ระบบสามารถสั่งการให้หลอดไฟกระพริบตามโปรแกรมที่กำหนดได้และบันทึกรูปแบบการกระพริบของหลอดไฟไว้ในไมโครคอนโทรลเลอร์เพื่อรอการสั่งงานจากในสวนโปรแกรมบนคอมพิวเตอร์หรือจากคีย์แพดได้ จากการทดสอบการทำงานจริงเมื่อทำการเปลี่ยน โหมดการรับค่าอินพุตจากโปรแกรมบนคอมพิวเตอร์หรือจากคีย์แพด การทำงานเป็นไปอย่างราบรื่น กล่าวคือการกระพริบของหลอดไฟสามารถตอบสนองได้อย่างทันทีทันใดเมื่อทำการเปลี่ยน โหมดเหตุผลเนื่องมาจากการออกแบบการเขียน โปรแกรมบนไมโครคอนโทรลเลอร์(AT89C52)ในส่วนของารรับข้อมูลเป็นแบบอินเตอร์รัพต์พอร์ตต่อนุกรม ทำให้สามารถรับค่าอินพุตได้อย่างต่อเนื่องและตอบสนองต่อค่าอินพุตที่เป็นปัจจุบัน

5.1.2 สรุปผลการทดลองการออกแบบโปรแกรม Beatles Music Player และโปรแกรมตรวจจับจังหวะหรือบีต

ผลการทดลองการทำงานของโปรแกรม Beatles Music Player หรือโปรแกรมที่ใช้ในการเล่นเพลงและมีโหมดการกระพริบของหลอดไฟให้เลือกใช้งานตามที่ได้กล่าวไว้ในบทที่ 3 โปรแกรมสามารถทำการเรียกเพลงจากไฟล์ในคอมพิวเตอร์เพื่อเล่นเพลงได้ตามที่กำหนด ในส่วนโหมดการกระพริบของหลอดไฟก็สามารถส่งสัญญาณไปควบคุมระบบ

เอกสารนี้เป็นเอกสารที่สงวนไว้สำหรับการใช้งานเพื่อการศึกษาเท่านั้น ไม่อนุญาตให้นำไปใช้ประโยชน์ด้านการค้าไม่ว่ากรณีใดๆ ทั้งสิ้น อีกทั้งห้ามมิให้ดัดแปลงเนื้อหา และต้องอ้างอิงถึงเจ้าของเอกสารทุกครั้งที่มีการนำไปใช้

บันทึกรูปแบบการกระพริบและควบคุมการกระพริบของหลอดไฟได้เช่นกัน และในที่สุดท้ายเป็นผลการทำงานของโปรแกรมตรวจจับจังหวะหรือบีต ผลการทำงานของโปรแกรมสามารถทำการตรวจจับบีตของเพลงได้ตามที่กำหนดและสามารถตอบสนองการทำงานเมื่อมีการเรียกใช้งานจากโปรแกรม Beatles Music Player ซึ่งเป็น โปรแกรมที่ใช้ในการเล่นเพลงได้

5.2 ข้อเสนอแนะ

การทำงานของโปรแกรมตรวจจับจังหวะหรือบีตของเพลงจะมีข้อผิดพลาดเกิดขึ้นบ้างเมื่อทำการใช้งานกับเพลงช้าหรือเพลงอคูสติก(Acoustic) เนื่องจากเพลงประเภทดังกล่าวมีค่าพลังงานที่ใกล้เคียงกันในแต่ละช่วงเวลาแล้วก็เป็นเพลงประเภทไม่มีการเน้นจังหวะหรือบีตของการเล่นมากนัก แนวทางแก้ไขคือการนำข้อมูลเสียงเพลงที่จะนำมาทดสอบไปผ่านการแยกเป็นซับบเอนด์หลายๆซับบเอนด์ตามความถี่ที่กำหนดให้มีจำนวนซับบเอนด์มากขึ้น แต่ทั้งนี้ต้องคำนึงถึงการใช้ทรัพยากรที่มากขึ้นของหน่วยความจำบนคอมพิวเตอร์เพื่อให้การทำงานราบรื่นด้วย หรือประยุกต์ใช้ทฤษฎีอื่นๆดังที่กล่าวไว้ในหัวข้อที่ 2.1 ในบทที่ 2 ซึ่งอาจให้ผลการทำงานที่ดีกว่า คณะผู้จัดทำหวังว่าจะมีผู้สนใจในปริญญานีพนธ์นี้จะนำการทดลองไปพัฒนาต่อไปและขอให้ประสบความสำเร็จอย่างที่ตั้งใจไว้

บรรณานุกรม

Eric D. Scheirer. "Tempo and beat analysis of acoustic musical signals." Beat-tracking acoustic signals , Cambridge Massachusetts , 1997

Casey Reas and Ben Fry, *Processing : A Programming Handbook for Visual Designers and Artists* , London England : Massachusetts Institute of Technology, 2007

รศ. สมยศ จุณณปิยะ, *Microcontroller Applications*, กรุงเทพฯ : ภาควิชาโทรคมนาคม สถาบันเทคโนโลยีเจ้าคุณทหารลาดกระบัง, 2550.

อุดม รานอก, *ภาษา C สำหรับงานควบคุม Microcontroller MCS-51*, นนทบุรี : ไอดีซีฯ, 2548

Federic Patin. "Beat Detection Algorithm." <http://www.flipcode.com/misc/BeatDetectionAlgorithms.pdf/>

Krister Olsson. "Ess r2 sound library." <http://www.tree-axis.com/Ess/index.html>

[1] "Beat Detection Algorithm." <http://www.flipcode.com/misc/BeatDetectionAlgorithms.pdf>

[2] "PC interface Hardware and computer devices resource." <http://www.english.thaiio.com/เอสซีอาร์-scr/>

[3] "Kingsolder." <http://www.kingsolder.com/electronics/equipment/diac.asp>

[4] "Kingsolder." <http://www.kingsolder.com/electronics/equipment/triac.asp>

[5] "en-Wikipedia." http://en.wikipedia.org/wiki/Solid_state_relay

[6] "Kingsolder." <http://www.kingsolder.com/electronics/light/opto-isolator.asp>

[7] "Circuit and Datasheets World." <http://circuits.datasheetdir.com/17/AT89C51-pinout.jpg>

[8] "Acroname." <http://www.acroname.com/robotics/parts/R257-3X4-KEYPAD.jpg>

[9] "Keil Official website." <http://www.keil.com/>

[10] "Visual Studio 2008." <http://kris.vizz.pl/blog/images/VS2008.jpg>

[11] "Processing." <http://www.processing.org/>

[12] "Beat Detection Algorithms." <http://www.flipcode.com/misc/>

เอกสารนี้เป็นเอกสารที่สงวนไว้สำหรับการใช้งานเพื่อการศึกษาเท่านั้น ไม่อนุญาตให้นำไปใช้ประโยชน์ด้านการค้า ไม่ว่ากรณีใดๆ ทั้งสิ้น อีกทั้งห้ามมิให้ตัดแปลงเนื้อหา และต้องอ้างอิงถึงเจ้าของเอกสารทุกครั้งที่มีการนำไปใช้



ภาคผนวก ก

เอกสารอ้างอิง

เอกสารนี้เป็นเอกสารที่สงวนไว้สำหรับการใช้งานเพื่อการศึกษาเท่านั้น ไม่อนุญาตให้นำไปใช้ประโยชน์ด้านการค้า
ไม่ว่ากรณีใดๆ ทั้งสิ้น อีกทั้งห้ามมิให้ดัดแปลงเนื้อหา และต้องอ้างอิงถึงเจ้าของเอกสารทุกครั้งที่มีการนำไปใช้

Tempo and beat analysis of acoustic musical signals

Eric D. Scheirer^{a)}

Machine Listening Group, E15-401D MIT Media Laboratory, Cambridge, Massachusetts 02139

(Received 27 December 1996; revised 26 August 1997; accepted 15 September 1997)

A method is presented for using a small number of bandpass filters and banks of parallel comb filters to analyze the tempo of, and extract the beat from, musical signals of arbitrary polyphonic complexity and containing arbitrary timbres. This analysis is performed causally, and can be used predictively to guess when beats will occur in the future. Results in a short validation experiment demonstrate that the performance of the algorithm is similar to the performance of human listeners in a variety of musical situations. Aspects of the algorithm are discussed in relation to previous high-level cognitive models of beat tracking. © 1998 Acoustical Society of America. [S0001-4966(98)02801-X]

PACS numbers: 43.75.Yy, 43.75.St [WJS]

INTRODUCTION

Automatic extraction of rhythmic pulse from musical excerpts has been a topic of active research in recent years. Also called *beat-tracking* and *foot-tapping*, the goal is to construct a computational algorithm capable of extracting a symbolic representation which corresponds to the phenomenal experience of "beat" or "pulse" in a human listener.

"Rhythm" as a musical concept is intuitive to understand, but somewhat difficult to define. Handel writes "The experience of rhythm involves movement, regularity, grouping, and yet accentuation and differentiation" (Handel, 1989, p. 384) and also stresses the importance of the phenomenalist point of view—there is no "ground truth" for rhythm to be found in simple measurements of an acoustic signal. The only ground truth is what human listeners agree to be the rhythmic aspects of the musical content of that signal.

As contrasted with "rhythm" in general, "beat" and "pulse" correspond only to "the sense of equally spaced temporal units" (Handel, 1989). Where "meter" and "rhythm" associate with qualities of grouping, hierarchy, and a strong/weak dichotomy, "pulses" in a piece of music are only periodic at a simple level. For our purposes, the *beat* of a piece of music is the sequence of equally spaced phenomenal impulses which define a tempo for the music. This paper is only concerned with beat and tempo. The grouping and strong/weak relationships which define rhythm and meter are not considered.

It is important to note that there is no simple relationship between polyphonic complexity—the number and timbres of notes played at a single time—in a piece of music, and its rhythmic complexity or pulse complexity. There are pieces and styles of music which are texturally and timbrally complex, but have straightforward, perceptually simple rhythms; and there also exist musics which deal in less complex textures but are more difficult to rhythmically understand and describe.

The former sorts of musical pieces, as contrasted with the latter sorts, have a "strong beat," and it is with them that this paper is predominantly concerned. For these kinds of

music, the rhythmic response of listeners is simple, immediate, and unambiguous, and every listener will agree on the rhythmic content. Rhythmically complex music is discussed toward the end of the paper.

Previous approaches

There is a large body of work originating in the music-psychology community which attempts to group musical *onsets* together into a rhythmic context; that is to say, to construct a model which subsumes multiple onsets separated in time into a rhythmic clock, "hierarchy," grouping, or oscillatory model.

Povel and Essens presented research (Povel and Essens, 1985) on the association of "internal clocks" with temporal onset signals. They described an algorithm which could, given a set of inter-onset intervals as input, identify the clock which a listener would associate with such a sequence of intervals. Their research was particularly interested in the way that perceived accents lead to the internal clock. Although obviously related to music, their research purports to examine time intervals in general rather than being restricted to musical stimuli. Parncutt's recent work (Parncutt, 1994) extends this type of model to include a great deal of structural information about duration and phenomenal accent.

Desain and Honing have contributed many results to the computational modeling of beat-tracking. Their models (Desain and Honing, 1992; Desain, 1995) typically also begin with inter-onset intervals and associate a rhythmic pulse with the interval stream. However, unlike the Povel/Essens and Parncutt models, these models are *process models*—they process the input sequentially rather than all-at-once—a necessary aspect of a model of human rhythmic perception. Desain's "(de)composable" model calculates rhythmic expectations due to each of the possible inter-onset times in a rhythmic stream, and sums them to create an overall rhythmic expectation.

Large and Kolen have described a beat-tracking model (Large and Kolen, 1994) based on nonlinear oscillators. The model takes a stream of onsets as input, and uses a gradient-descent method to continually update the period and phase of an oscillator. In this manner, the oscillator is matched with

^{a)}Electronic mail: eds@media.mit.edu

the input stream, and the resulting oscillation process seems to be a good match for the human perception of beat.

Longuet-Higgins and Lee have written many papers (for example, Longuet-Higgins and Lee, 1984) on the induction of rhythmic hierarchies from monophonic time sequences. They are more interested in the development of theories which describe the relationship of rhythm, meter, and phrasing than on the bootstrapping process which creates a tempo and beat percept. Tempo perception may be viewed as "underlying" their models.

These approaches, and others such as Rosenthal (1993) and Brown (1993), require that robust onset detection precede beat analysis, which entails an important restriction to their applicability. The models do not operate on acoustic signals, but on symbolic data such as event lists or MIDI. As the extraction of onsets from multitimbral, polyphonic music is itself a difficult problem, this is a serious restriction of any model which claims to treat human rhythm perception. There has been little attempt to merge these sorts of models with real-time acoustic pattern recognition to allow them to work with acoustic data.

More recently, there has been some research attempting to extract rhythm and/or pulse information directly from acoustic signals. Goto has demonstrated a system which combines both low-level "bottom-up" signal processing and high-level pattern matching and "agent-based" representations to beat-track and do simple rhythmic grouping for popular music (Goto, in press). His method extracts drum patterns from a signal and uses a template-matching model to determine the beat from the drum track. This system runs in real time on a parallel-processing computer and has been used to control interactive-graphics displays from ecological music signals. His description does not directly address the equivalent processing of signals without drums, but it seems that the required musical knowledge base would be much more difficult to acquire.

N. P. Todd's work (Todd, 1994) has described algorithms which detect onsets in monophonic music under certain timbral constraints, and then group these onsets in a rhythmic framework using a multi-scale smoothing model. The onset model used is a simple one based on leaky integration. The resulting "rhythmogram" representation conceives of pulse, and in some cases, meter and phrase, perception as a very low-level process arising directly from the time- and loudness-integration properties of the auditory periphery. The model as presented can be implemented in an incremental manner, but was only tested using toy examples (although, interestingly, a speech example was included).

All of the abovementioned research uses what has been described as a *transcriptive* metaphor for analysis (Scheirer, 1996). That is, the music is first segmented, or assumed to already be segmented, into notes, onsets, timbres, and so forth. Post-processing algorithms are then used to group rhythms and track beats. As high-quality polyphonic music transcription algorithms are still years in the future—the state-of-the-art systems cannot transcribe pieces more complex than four-voice piano music (Martin, 1996)—it seems logical for practical reasons to attempt to construct systems which can arrive at a musical understanding of a piece of

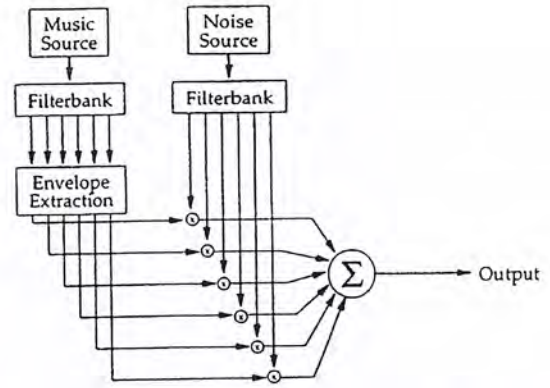


FIG. 1. Creating a "modulated noise" signal from a music signal. The output signal, for many sorts of frequency filterbanks, will have the same rhythmic percept as the input music signal, indicating that the amplitude envelopes of the bands are a sufficient representation for rhythmic analysis.

music without going through a transcription step. Further, as the validity of the transcriptive metaphor as a framework for music perception has been challenged (Scheirer, 1996), it is scientifically appropriate as well.

In the body of this paper, the following topics are discussed: psychoacoustic demonstrations which lead to processing simplifications for beat-tracking, the construction of the algorithms themselves, example results from test signals and ecological signals, a validation experiment which compares the behavior of the algorithm to that of human subjects, the relationship of this model to previous models of rhythm perception, and finally, conclusions about beat-tracking and rhythmic grouping and a description of future work to be pursued in these directions.

I. PSYCHOACOUSTIC SIMPLIFICATION

One of the key difficulties with the transcriptive models of rhythmic perception described above is the complexity of grouping harmonic partials together to form notes, and determining the onset times of those notes. Even if simplifying assumptions about the pitch and timbral content are made, identifying attack and release times is no easy task (Scheirer, in press).

However, it seems from a psychoacoustic demonstration on beat perception that certain kinds of signal manipulations and simplifications can be performed without affecting the perceived pulse content of a musical signal. Consider the signal flow network shown in Fig. 1.

An "amplitude-modulated noise" is constructed by signal by vocoding a white noise signal with the subband envelopes of a musical signal. This is accomplished by performing a frequency analysis of the music (processing through a filterbank of bandpass filters, perhaps, or grouping output from FFT bins together), and also of a white-noise signal from a pseudo-random generator. The amplitude of each band of the noise signal is modulated with the amplitude envelope of the corresponding band of the musical filterbank output, and the resulting noise signals are summed together to form an output signal.

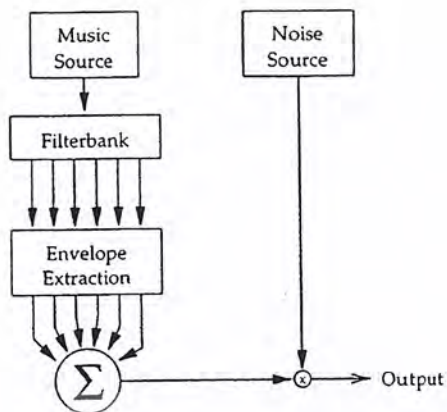


FIG. 2. A noise signal which does not have the same rhythmic characteristics as the musical input, indicating that the sum of the amplitude envelopes is not a sufficient representation for rhythm analysis. Certain types of non-linear combination by frequency channel are evidently present in the beat perception facility.

For many kinds of frequency filterbanks, the resulting noise signal has a rhythmic percept which is significantly the same as that of the original music signal. Even if there are very few, very broad bands (for example, four three-octave bands covering the audible spectrum), the pulse and meter characteristics of the original signal are instantly recognizable (sound example #1a) [Audio examples for this paper can be found on the author's WWW site at <http://sound.media.mit.edu/eds/beat/>].

Since the only thing preserved in this transformation is the amplitude envelopes of the filterbank outputs, it stands to reason that only this much information is necessary to extract pulse and meter from a musical signal; that is, algorithms for pulse extraction can be created which operate only on this much input data, and "notes" are not a necessary component for hearing rhythm. This is a vast reduction of input data size from the original signal. Shannon has reported a similar effect for the perception of speech (Shannon, 1995).

Certain other kinds of simplifications are not possible. For example, if only one band is used, or equivalently, the subband envelopes are linearly combined before modulating the noise (Fig. 2) (Vercoe, 1994) a listener can no longer perceive the rhythmic content of many signals (sound example #1b). Thus it seems that separating the signal into subbands and maintaining the subband envelopes separately is necessary to do accurate rhythmic processing.

Stated another way, the algorithm in Fig. 2 is a method for generating new signals whose representation under a filterbank-envelope-and-sum process is the same as a given piece of music. However, since these new signals often do not bear a perceptual equivalency with the originals, the filter-envelope-sum framework must be *inadequate* to represent data in the musical signal which is important for rhythmic understanding. This fact immediately leads to a psychoacoustic hypothesis regarding rhythmic perception: some sort of cross-band rhythmic integration, not simply summation across frequency bands, is performed by the auditory system.

A psychoacoustic experiment to examine the exact prop-

erties of filterbank-and-envelope manipulations which do not disturb rhythm perception is underway; in the meantime, it seems important that a rhythmic processing algorithm should treat frequency bands separately, combining results at the end, rather than attempting to perform beat-tracking on the sum of filterbank outputs.

II. DESCRIPTION OF ALGORITHM

The beat-tracking algorithm to be presented here bears most resemblance to the method of Large and Kolen (Large and Kolen, 1994) in that it uses a network of resonators to phase-lock with the beat of the signal and determine the frequency of the pulse. However, the particular method used here is somewhat different; the resonators are analytically much simpler than theirs, a bank of resonators is used rather than gradient descent, and more pre- and post-processing of the signal is necessary in order to accurately extract the desired information, as the present model operates on acoustic data rather than an event stream.

A rhythmic pulse is described in terms of a frequency and phase component, just as for a periodic sound waveform; the frequency of the pulse in a rhythmic musical signal is the tempo or rate of the rhythm, and the phase of the pulse indicates where the "downbeat" of the rhythm occurs. That is, the times at which a pulse occurs can be defined to have zero phase, and thus the points in time exactly in-between pulses have phase of π radians, etc. It is important to note that while human pitch recognition is only sensitive to signal phase under certain unusual conditions, rhythmic response is crucially a phased phenomenon—tapping on the beat is not at all the same as tapping against the beat, or slightly ahead of or behind the beat, even if the frequency of tapping is accurate.

Figure 3 shows an overall view of the tempo-analysis algorithm as a signal flow network. The functionality will be briefly described, and then more details given piece-by-piece in the following sections. The algorithms here were developed empirically; however, in Sec. V their relationship to existing models of rhythm perception is discussed.

As the signal comes in, a filterbank is used to divide it into six bands. For each of these subbands, the amplitude envelope is calculated and the derivative taken. Each of the envelope derivatives is passed on to another filterbank of *tuned resonators*; in each resonator filterbank, one of the resonators will phase-lock, the one for which the resonant frequency matches the rate of periodic modulation of the envelope derivative.

The outputs of the resonators are examined to see which ones are exhibiting phase-locked behavior, and this information is tabulated for each of the bandpass channels. These tabulations are summed across the frequency filterbank to arrive at the frequency (tempo) estimate for the signal, and reference back to the peak phase points in the phase-locked resonators determines the phase of the signal.

A. Frequency analysis and envelope extraction

As discussed in Sec. I, envelopes extracted from a small number of broad frequency channels are sufficient information to rhythmically analyze a musical signal, at least for

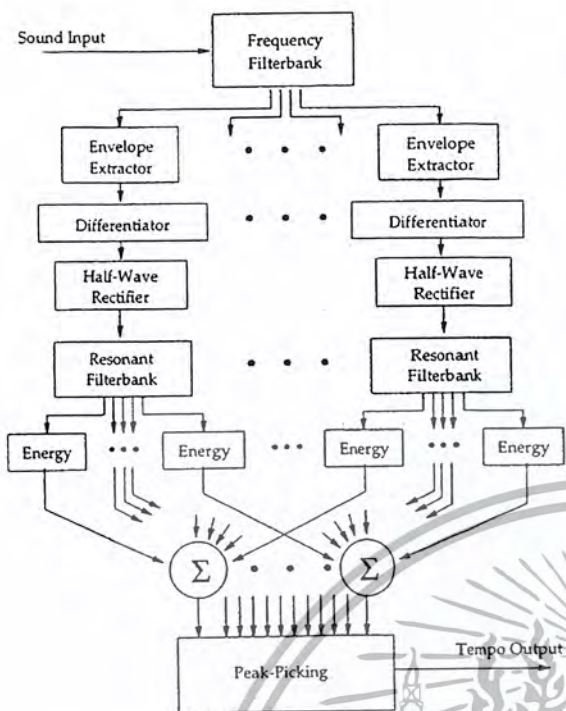


FIG. 3. Schematic view of the processing algorithm. See text for details.

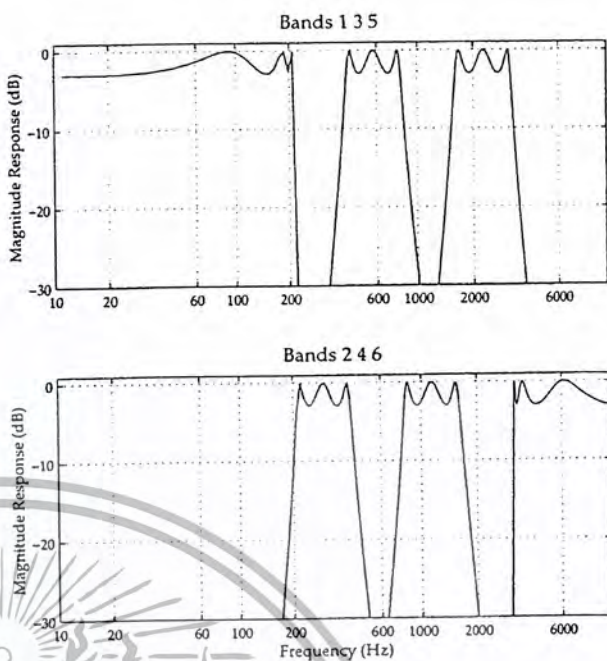


FIG. 4. Magnitude response of the frequency filterbank used in the system, plotted in two pieces for clarity. The upper plot shows the first, third, and fifth bands; the lower, the second, fourth, and sixth. Each filter is a sixth-order elliptic filter, with 3 dB of passband ripple and 40 dB of stopband rejection.

human listeners. Further, empirical studies of the use of various filterbanks with this algorithm have demonstrated that the algorithm is not particularly sensitive to the particular bands or implementations used; it is expected that psychoacoustic investigation into rhythmic perception of amplitude-modulated noise signals created with the various vocoder filterbanks would confirm that the same is true of human rhythmic perception.

The filterbank implementation in the algorithm has six bands; each band has sharp cutoffs and covers roughly a one-octave range. The lowest band is a low-pass filter with cutoff at 200 Hz; the next four bands are bandpass, with cutoffs at 200 and 400 Hz, 400 and 800 Hz, 800 and 1600 Hz, and 1600 and 3200 Hz. The highest band is high pass, with cutoff frequency at 3200 Hz. Each filter is implemented using a sixth-order elliptic filter, with 3 dB of ripple in the passband and 40 dB of rejection in the stopband. Figure 4 shows the magnitude responses of these filters.

The envelope is extracted from each band of the filtered signal through a rectify-and-smooth method. The rectified filterbank outputs are convolved with a 200-ms half-Hanning (raised cosine) window. This window has a discontinuity at time $t=0$, then slopes smoothly away to 0 at 200 ms. It has a low-pass characteristic, with a cutoff frequency at about 10 Hz ("frequency" in this case referring to envelope spectra, not waveform spectra), where it has a -15 dB response, and 6-dB/octave smooth rolloff thereafter.

The window's discontinuity in time means that it has nonlinear phase response; it passes slow envelope frequencies with much more delay than rapid ones. High frequencies, above 20 Hz, are passed with approximately zero delay;

0 Hz is delayed about 59 ms and 7 Hz advanced about 14 ms. Thus there is a maximum blur of about 73 ms between these envelope frequencies.

This window performs energy integration in a way similar to that in the auditory system, emphasizing the most recent inputs but masking rapid modulation; Todd (1992) examines the use of temporal integration filters which are directly constructed from known psychoacoustic properties. After this smoothing, the envelope can be decimated for further analysis; the next stages of processing operate on the decimated band envelopes sampled at 200 Hz. There is little energy left in the envelope spectra at this frequency, but it aids the phase-estimation process (see below) to maintain a certain precision of oversampled envelope resolution.

After calculating the envelope, the first-order difference function is calculated and half-wave rectified; this rectified difference signal will be examined for periodic modulation. The derivative-of-envelope function performs a type of onset filtering process (see, for example, Smith's work on difference-of-Gaussian functions for onset segmentations Smith, 1994) but the explicit segmentation, thresholding, or peak-peaking of the differenced envelope is not attempted. The subsequent modulation detectors in the algorithm are sensitive, similar to the sensitivity of autocorrelation, to "imperfections" in an onset track. The half-wave rectified envelope difference avoids this pitfall by having broader (in time) response to perceptual attacks in the input signal. This process might be considered similar to detecting onset points in the signal bands, and then broadening them via low-pass filtering.

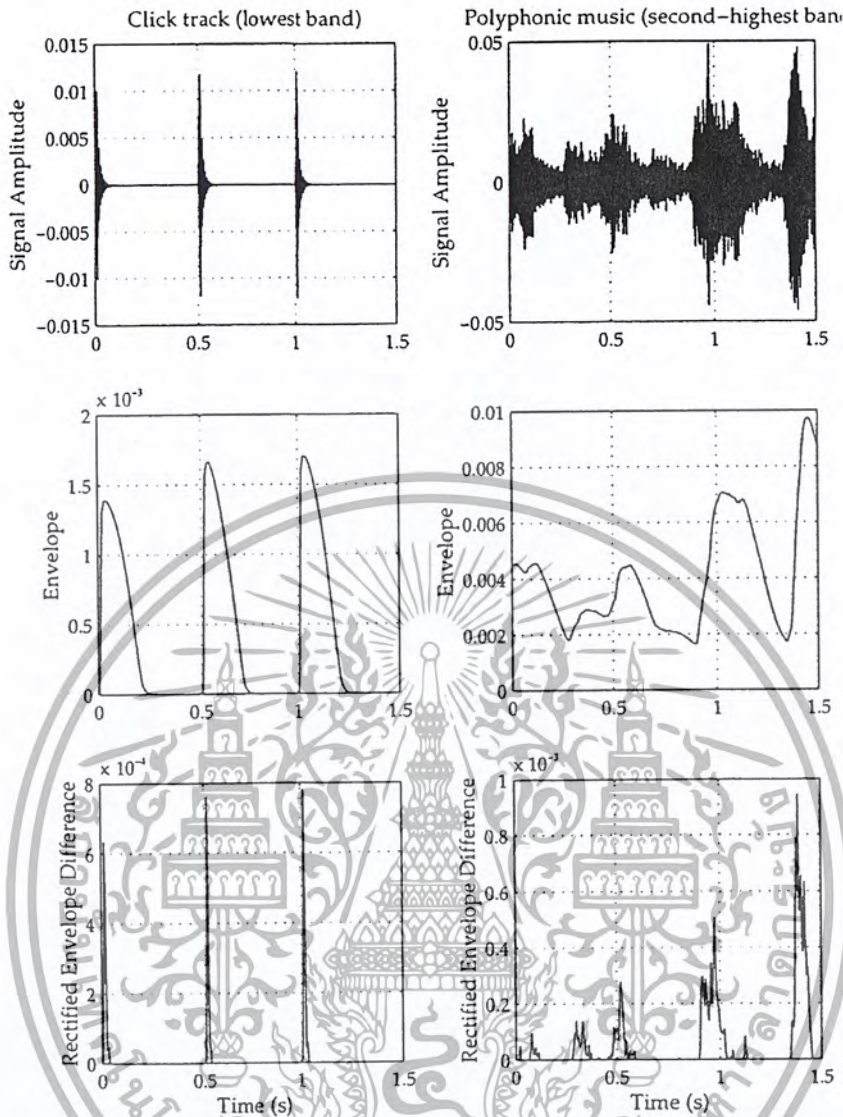


FIG. 5. Envelope extraction process, for a 2-Hz click track (left) and a polyphonic music example (right). The top panels show the audio waveforms; the middle panels, the envelopes; and the bottom, the half-wave rectified difference of envelopes. The lowest filterbank band is shown for the click track, the second-highest for the music. See text for details on algorithms.

Figure 5 shows the envelope extraction process for one frequency band in each of two signals, a 2-Hz click track and a polyphonic music example. The lowest band is shown for the click track, and the second highest for the music track.

B. Resonators and tempo analysis

After the envelope has been extracted and processed for each channel, a filterbank of comb filter resonators is used to determine the tempo of the signal. While comb filters are often used in reverberators and other sorts of audio signal processing, they also have properties which make them suitable for acting as resonators in the phase-locking pulse extraction process.

In particular, if we stimulate a comb filter with delay T and gain α with a right-sided pulse train of height A and

period κ , we get reinforcement (resonance) if $T = \kappa$. Let x_t and y_t be the input and output signals at time t ; the equation of the filter is then $y_t = \alpha y_{t-T} + (1 - \alpha)x_t$, and

$$y_0 = (1 - \alpha)A$$

$$y_\kappa = \alpha(1 - \alpha)A + (1 - \alpha)A = (1 - \alpha)A(1 + \alpha)$$

$$y_{2\kappa} = (1 - \alpha)A(\alpha^2 + \alpha + 1)$$

⋮

$$y_{n\kappa} = (1 - \alpha)A \left(\sum_{i=0}^n \alpha^i \right).$$

And so $\lim_{n \rightarrow \infty} y_{n\kappa} = [(1 - \alpha)A] / (1 - \alpha) = A$.

On the other hand, if $T \neq \kappa$, the convergence is to a smaller value. Let λ be the least common multiple (common

period) of T and κ ; there is only reinforcement every T/λ periods, and by a similar logic as the above,

$$\lim_{n \rightarrow \infty} y_{n\lambda} = \frac{(1 - \alpha)A}{1 - \alpha^{T/\lambda}},$$

and since $|\alpha| < 1$ if the filter is to be stable, and $T/\lambda \geq 1$,

$$1 - \alpha^{T/\lambda} \geq 1 - \alpha.$$

So a filter with delay matching (or evenly dividing) the period of a pulse train will have larger (more energetic) output than a filter with mismatched delay.

We can see that this is true for any periodic signal by doing the analysis in the frequency domain. The comb filter with delay T and gain α has magnitude response

$$|H(e^{j\omega})| = \left| \frac{1 - \alpha}{1 - \alpha e^{-j\omega T}} \right|,$$

which has local maxima wherever $\alpha e^{-j\omega T}$ gets close to 1, i.e., at the T th roots of unity, which can be expressed as

$$e^{-j2\pi n/T}, \quad 0 \leq n < T.$$

Using Fourier's theorem we know that these frequency-domain points are exactly those at which a periodic signal of period T has energy. Thus the comb filter with delay T will respond more strongly to a signal with period T than any other, since the response peaks in the filter line up with the frequency distribution of energy in the signal.

For each envelope channel of the frequency filterbank, a filterbank of comb filters is implemented, in which the delays vary by channel and cover the range of possible pulse frequencies to track. The output of these resonator filterbanks is summed across frequency subbands. By examining the energy output from each resonance channel of the summed resonator filterbanks, the strongest periodic component of the signal may be determined. The frequency of the resonator with the maximum energy output is selected as the tempo of the signal.

The α parameter for each comb filter is set differently, so that each filter has equivalent half-energy time. That is, a comb filter of period T has an exponential curve shaping its impulse response. This curve reaches half-energy output at the time t when $\alpha^{T/t} = 0.5$. Thus α is set separately for each resonator, at $\alpha = 0.5^{t/T}$. A half-energy time of 1500–2000 ms seems to give results most like human perception.

Figure 6 shows the summed filterbank output for a 2-Hz pulse train and for a polyphonic music example. The horizontal axis is labeled with "metronome marking" in beats per minute; this is a direct mapping of the delay of the corresponding comb filter. That is, for the 2-Hz power envelope signal, a feedback delay of 100 samples corresponds to a 500-ms resonance period, or a tempo of 120 bpm.

In the pulse train plot in Fig. 6, a clear, large peak occurs at 120 bpm, and additional smaller peaks at tempi which bear a simple harmonic relationship (3::2 or 4::5, for example) to the main peak. In the music plot, there are two peaks, which correspond to the tempi of the quarter note and half note in this piece. If the width of the upper plot were extended, a similar peak at 60 bpm would be visible.

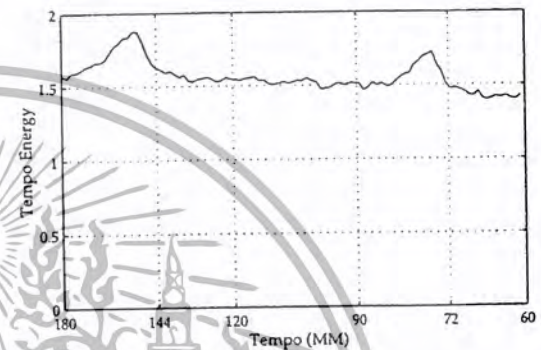
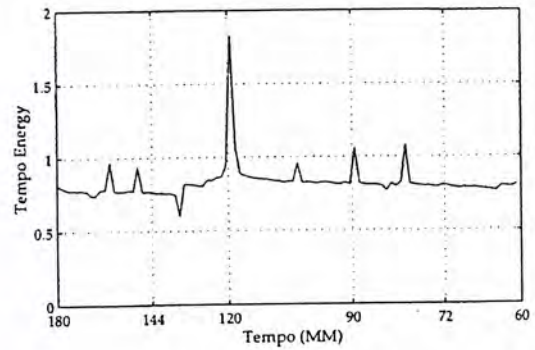


FIG. 6. Tempo estimates, after tracking 5 s of a 2-Hz click track (top) and of a polyphonic music example (bottom). The x-axes are labeled in beats per minute, that is, 120 MM = 2 Hz. The polyphonic music shows more overall energy, but the tempo is still seen clearly as peaks in the curve.

C. Phase determination

It is relatively simple to extract the phase of the signal once its tempo is known, by examining the output of the resonators directly, or even better, by examining the internal state of the delays of these filters. The implementations of the comb filters for the resonator filterbank have lattices of delay-and-hold stages. The vector w of delays can be interpreted at a particular point in time as the "predicted output" of that resonator; that is, the next n samples of envelope output which the filter would generate in response to zero input.

The sum of the delay vectors over the frequency channels for the resonators corresponding to the tempo determined in the frequency extraction process are examined. The peak of this prediction vector is the estimate of when the next beat will arrive in the input, and the ratio $\omega = 2\pi(t_n - t)/T$, where t_n is the time of the next predicted beat, t the current time, and T the period of the resonator, is the phase ω of the tempo being tracked. The phase and period may thus be used to estimate beat times as far into the future as desired.

The implementation of the model performs the phase analysis every 25 ms and integrates evidence between frames in order to predict beats. Since re-estimation occurs multiple times between beats, the results from each phase analysis can be used to confirm the current prediction and adjust it as

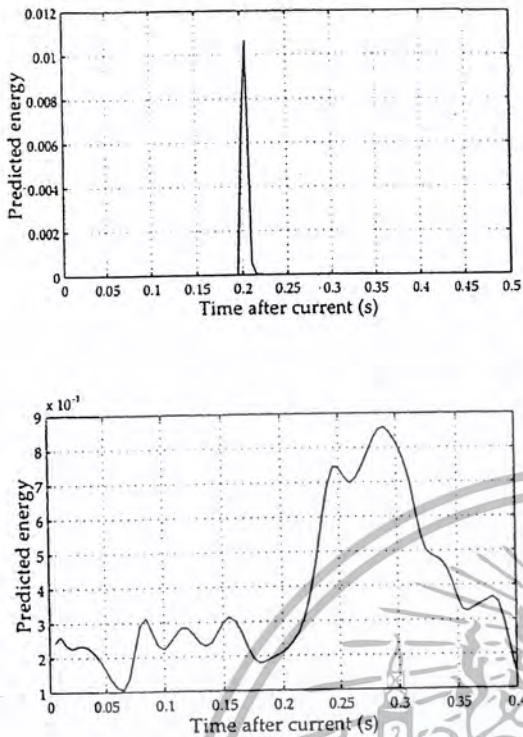


FIG. 7. Phase estimates, after tracking 5 s of a 2-Hz click track (top) and a polyphonic music example (bottom). The x-axis in each case covers the next full period of the resonator tracking the tempo, and the peak of the curve shows where the next beat is predicted to occur: about 210 ms in the future for the upper case, and 290 ms for the lower.

needed. Currently, this prediction/adjustment is done in an *ad hoc* manner, requiring only that several successive frames make the same beat prediction within a certain tolerance, and average all of these estimates to arrive at the final prediction. This stage is the appropriate one for the inclusion of high-level information, nondeterministic elements, or more sophisticated rhythmic modeling; see Sec. VI.

Figure 7 shows the phase peaks for a 2-Hz pulse train, and for a polyphonic music example. In the upper plot, as the tempo is 120 bpm, the x-axis covers the next half-second of time; and for the lower plot, the estimated tempo is 149 bpm (see Fig. 6), so one period is approximately 400 ms.

D. Comparison with autocorrelation methods

There is a certain analytical similarity between this bank-of-comb-filters approach and previous autocorrelation methods for finding tempo. Insofar as both are ways of detecting periodic energy modulations in a signal, they are performing similar calculations. However, there are several advantages to expressing these operations as multiple comb filters over expressing them as autocorrelation.

Predominantly, comb filtering implicitly encodes aspects of rhythmic hierarchy, where autocorrelation does not. That is, a comb filter tuned to a certain tempo τ has peak response to stimuli at tempo τ , but also lesser response to stimuli with tempi at multiples ($2\tau, 3\tau$), fractions ($\tau/2, \tau/3$), and simple

rational relationships ($3/2\tau, 3/4\tau$, etc). The autocorrelation only has this shared response for fractional tempi, not multiples or rationally related tempi. An autocorrelation model asserts that a click track at 60 bpm gives no sense of tempo at 120 bpm, which seems intuitively wrong. The comb filter model asserts instead, that there is such a sense, but a reduced one when compared to a click track to 120 bpm.

These responses can be understood if we imagine building an autocorrelation filter at some lag, versus a comb filter at that same delay, in an FIR manner (that is, to unroll the usual IIR expression of the comb filter into an infinitely long "FIR" filter). The autocorrelation requires only a single tap on a delay line, since it only compares "one cycle back" in time. The comb filter requires an infinite number of taps, since it compares (with less and less weight) infinitely far back in time.

Autocorrelation methods are zero phase, which means that some other method of determining signal phase must be used. The comb filtering method shown here is phase preserving, and so provides a way of simultaneously extracting tempo and phase, as discussed in the previous section. The fact that the tempo and phase representations arise together gives us additional advantages in constructing higher-level processing algorithms treating the output of the beat-tracker.

One advantage of autocorrelation schemes is that they are more efficient in memory usage than banks of comb filters, as the various lags can all access the same delay line—which is why the autocorrelation is zero phase—whereas each comb filter must maintain a delay line of its own. In return for the extra memory usage, the comb filters provide estimates of output energy at each phase angle of each lag, where the autocorrelation accumulates it and only presents the summary.

Ultimately, it is representationally satisfying to have the frequency and phase of the signal explicitly encoded in the processing units of the algorithm. In an autocorrelation methodology, the rhythmic oscillations of the signal are only represented as post-processed summary results; whereas in the comb filtering method, the filter states themselves explicitly represent the rhythmic content—that is, there is an element of the processing network which phase-locks to and oscillates in synchrony with the signal.

III. IMPLEMENTATION AND COMPLEXITY

The algorithms described above have been implemented in C++ code; the resulting program causally processes audio files captured from compact disks or other audio recordings, or coming in via a live microphone input. In this section, the parameters available for controlling the speed and accuracy of the program are described.

A. Program parameters

The current implementation of the system has a number of parameters which can be used to control the accuracy/speed relationship of the algorithms. The program will run in real time on a very fast desktop workstation such as a DEC Alpha, depending on the settings of these parameters and the sampling rate of the incoming audio stream. It is also clear, due to the highly parallel structure of Fig. 3, that the algo-

rhythm could efficiently make use of a multiple-processor architecture. This has not yet been accomplished, however.

There are four major areas where the performance and accuracy of the system can be tuned, and control over three of them has been implemented. The algorithm has been tested for audio at sampling rates from 8 KHz to 44.1 KHz and gives roughly equivalent qualitative performance in all of these.

1. Frequency filterbank

As discussed in Sec. II, there is a fair amount of latitude in choosing a frequency filterbank for decomposing the incoming audio stream without affecting human rhythmic perception, and the speed of the system will vary a great deal with the complexity of these filters (since there is a fair CPU load for implementing high-order filters in real time on high-bandwidth audio), and their number (since for each of the frequency channels, a full resonator filterbank structure is implemented).

The performance of the beat-tracking program using filterbanks other than the six-channel sixth-order IIR filterbank described above has not been tested.

2. Envelope sampling rate

The decimation rate of the channel envelopes affects the speed and performance of the system. There are two major implications for using a slow envelope sampling rate: (1) there are many resonator frequencies which cannot be represented accurately with integer delays in the comb filters; and (2) the phase extraction can only be performed with accuracy equal to the envelope sampling rate, since the vector of delays has the same sampling rate.

In tradeoff to this, using a fast sampling rate for the envelopes entails a lot of work in the comb filtering, since the number of multiplies in each comb filter varies proportionately to this rate. Empirical testing over a variety of musical examples suggests that the envelopes should be sampled at least 100 Hz or so for best performance.

3. Number of resonators per frequency channel

The amount of computing incorporated in tracking and analysis of the comb filter resonators varies directly with their number. If too few resonators are used, however, a problem develops with sampling the tempo spectrum too sparsely. That is, since each resonator is attempting to phase-lock to one particular frequency (not to a range of frequencies), if there is no resonator tuned close to the tempo of a particular signal, that signal cannot be accurately tracked.

Also affecting this sparsity consideration is the range of resonator frequencies to be tracked. The wider the range of tempi to track, the sparser a fixed number of resonators will spread over that range.

Good results have been generated using a bank of 150 resonators for each channel, covering a logarithmically spaced range of frequencies from 60 bpm (1 Hz) to 240 bpm (3 Hz).

4. Analysis frame rate

In this particular implementation, a higher-level averaging scheme is used to decide where (at what times) to deduce beats in the input signal. That is, for each analysis frame, the phases of the resonators are examined; the evidence here suggests future beat locations. These suggestions are combined over multiple analysis frames; when several frames in a row point to the same future beat location, evidence accumulates for that time, and a beat is actually assigned there.

Thus the frequency with which the procedure of examining and summing the outputs and internal states of the resonators is executed has a strong effect upon the performance and speed of the program. Good results can be obtained if the analysis frame rate is at least 15 Hz.

Real-time performance cannot be obtained with the parameter values shown above; on an Alpha 3000 using highly optimized filtering and analysis code, with the envelope rate set to 75 Hz, 50 resonators per subband, and frames of beat predictions analyzed every 10 Hz, the required performance for real-time operation on 22-KHz input is reached. This real-time performance includes reading the sound file from disk and playing it back with short noise bursts added to highlight the beats. At this level of accuracy, the algorithm still performs acceptably well on some, but not all, musical examples.

B. Behavior tuning

In addition to controlling the tradeoff between program speed and accuracy, the behavior of the algorithm can be tuned with the α parameters in the comb filters. These parameters can be viewed as controlling whether to value old information (the beat signal extracted so far) or new information (the incoming envelopes) more highly. Thus if α is large (close to unity), the algorithm tends to "lock on" to a beat, and follow that tempo regardless of the new envelope information. On the other hand, if α is small, the beat-track can be easily perturbed by changes in the periodicity of the incoming signal. Manipulating these parameters for the comb filter structure is computationally similar to manipulating the windowing function of a narrowed autocorrelation.

Higher-level or domain-specific knowledge could be used to set this parameter based on previous information. For example, in rock or pop music, the beat is usually quite steady, so a high value for α would be appropriate; while for classical music, particularly styles including many tempo changes, a smaller value would be more optimal.

IV. VALIDATION

It is somewhat of a difficult proposition to evaluate the construction of an ecological beat-tracking model, for there are few results in the literature dealing with listeners' tempo responses to actual musical excerpts. Most psychophysical research has dealt primarily with special cases consisting of simple tones in unusual temporal relationships, which will typically be more difficult to track than "real music" for a listener. Conversely, most beat-tracking systems have been

TABLE I. Performance of the beat-tracking algorithm, summarized by musical genre. Results were auditioned and classified into groups by qualitative success level. "Urban" styles include rap, funk, and R & B music; "Quiet" includes muzak and an "easy-listening" example. All sounds are available via the WWW.

Genre	No. of cases	Correct	Partial	Wrong
Rock	17	13	3	1
Country	3	3	0	0
Urban	9	7	1	1
Latin	5	3	2	0
Classical	9	4	4	1
Jazz	8	3	1	4
Quiet	3	2	0	1
Reggae	2	2	0	0
Non-Western	4	4	0	0
Total	60	41	11	8

evaluated intuitively, by using a small number of test cases (whether acoustic or MIDI-based) and checking that the algorithm "works right."

In this section, the performance of the algorithm is evaluated in both qualitative and quantitative manners. Results are provided on the qualitative performance for 60 ecological music excerpts, with sound examples publicly available for listening. Results are also provided from a short validation pilot experiment which was conducted to confirm that the performance of the algorithm is like the performance of human listeners.

A. Qualitative performance

Examples of many different types of music have been tested with the implemented algorithm, using a short application which reads a sound sample off of disk, causally beat-tracks it, and writes a new sound file with clicks (short noise bursts) added to the signal where beats are predicted to occur. A selection of these sound files is available for listening via the World Wide Web ("results" page), and the results are summarized below. The wide set of input data contains 60 examples, each 15 s long, of a number of different musical genres. Rock, jazz, funk, reggae, classical, "easy-listening," dance, and various non-Western music are represented in the data set and can be tracked properly. Some of the examples have drums, some do not; some have vocals, some do not. Five of the examples would be judged by human listeners to have no "beat." Table I summarizes the results by musical genre, and some qualitative descriptions of typical results are provided below.

Forty-one of 60 samples (68%) have been qualitatively classified as being tracked accurately, and another 11 (18%) as being tracked somewhat accurately. This accuracy percentage is not directly comparable to that reported for other systems, because the data set used here is more difficult. All of the "easy" cases of rock-and-roll with drums keeping a straightforward beat were tracked correctly; and five of the

eight examples not tracked accurately are said by human listeners to have no "beat" to begin with. It is premature to interpret these results as indicative of consistent genre-to-genre differences in accuracy; there are too few examples and the within-genre differences in accuracy too great.

For the cases which track correctly, there is a startup period between 2 and 8 s long during which the resonant filters have not yet built up an accurate picture of the signal. After this period, for most signals, the algorithm has settled down and begun to track the signal accurately, placing the clicks in the same locations a human listener would. Examining some of the other, incorrectly tracked examples, is instructive and highlights some of the deficiencies of this method.

Examples #1, #2, and #57 are all up-tempo jazz cases in which human listeners do perceive a strong beat, but no beat is ever extracted by the system. In these three cases, the beat is described by syncopated instrumental lines and complex drum patterns. That is, there is not actually very much energy modulating at the frequency which is the perceptual beat tempo for humans. Human listeners have a great ability to induce "apparent" frequencies from complicated modulation sequences. For these examples, the algorithm is not able to find a pulse frequency, and so the beat output is more-or-less random.

The same is apparent in example #37, which is a pop tune that has a "mixed" or "clave" beat—the beat is not even, but subdivided into oddly spaced groups: Each two measures, containing 16 eighth notes between them, are divided into a 3-3-3-3-2-2 pattern. A human listener has no trouble understanding the relationship between this pattern and a more common 4-4-4-4 pattern, but the algorithm seems to assume that the groups of three are the basic beat, and then get confused when the pattern doesn't come out right.

Among the examples judged as being tracked with some accuracy, but not entirely correctly, the most common problem is phase shifting. For example, in example #16, a jazz piano trio, the beat estimate is correct on the frequency, but switches back and forth between assigning beats to the "up-beat" or the "downbeat." Although this behavior is not unlike some human jazz listeners, a human would likely be more consistent in deciding where to place the beat. This behavior could be easily corrected by adding a small amount of high-level knowledge to the beat-tracking system.

Similar to this, in example #7, a rhythm and blues tune, the algorithm is uncertain about assigning the beat to the quarter-note pulse or to the eighth-note pulse, and so switches back and forth between them. A human listener might also suffer from similar confusion, but would likely make an arbitrary decision and then stay with it unless the music changed radically.

Other than these two sorts of confusions for certain rhythmically complex musics, the algorithm seems to perform quite successfully at tracking the musical beats.

1. Tempo modulation

As Todd correctly points out (Todd, 1994), to be an accurate model of human rhythm perception (and, of course, to be maximally useful as a music analysis tool), a beat-

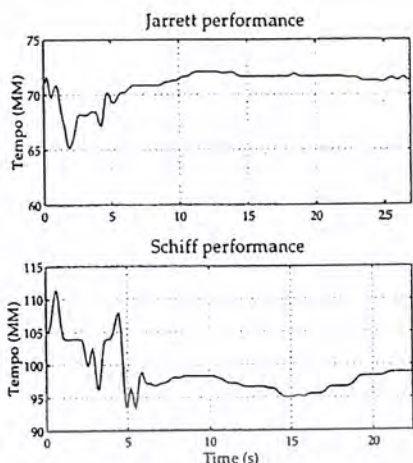


FIG. 8. "Tempo curve" for two performances of the same piece of music. Each tempo track has a short startup period during which the tempo estimation is unstable; after that there are clear differences in the two performances. The timescales are slightly different to make the performance scales align (the same musical excerpt is used in both cases).

tracking system must be robust under expressive tempo modulation. The algorithm described here is able to follow many types of tempo modulations; this is effected in the signal processing network by simply examining, over time, the resonator producing the most energetic output. That is, when the tempo of a signal modulates, the response of the resonator corresponding to the old tempo will die away, and that of the resonator corresponding to the new tempo will gain.

Figure 8 shows "tempo curves" (Desain and Honing, 1992) for two expressively modulated performances of a piece of music (Keith Jarrett and Andras Schiff performances, of the beginning of the G-minor fugue from book I of Bach's *Well-Tempered Clavier* [sound example 3]). The algorithm is quite sensitive to the variations in tempo over time.

B. Validation experiment

A short validation experiment has been conducted to confirm the qualitative results given in the previous section. This experiment was not intended to highlight important psychoacoustic effects in beat perception, but only to test whether the beat-tracking algorithm performs generally like a human listener.

1. Subjects

Five adult listeners, all graduate students and staff members at the MIT Media Laboratory, participated in the experiment. All were experienced musicians with normal hearing.

2. Overview of procedure

Subjects listened to seven musical examples, drawn from different musical genres, through headphones. They indicated their understanding of the beat in the music by tapping along with the music on a computer keyboard.

3. Materials

Seven musical excerpts from the above set were used. Each was digitally sampled from an FM radio tuner to produce a monophonic 22-KHz sound file, 15 s long. A computer interface was created on a DEC Alpha workstation with which the musical excerpts were presented to subjects at a comfortable listening level over AKG-K240M headphones.

The musical excerpts were as follows: a Latin-pop song at moderately fast tempo (#10), a jazz piano trio at fast tempo (#17), a "classic rock" song at moderately slow tempo (#20), an excerpt from a Mozart symphony at moderate tempo (#40), an "alternative rock" song at moderately slow tempo (#45), and a piano etude with varying tempo (#56).

A click track "step function" was also created for the experiment, in which 10-ms white noise bursts were presented at a tempo of 120 bpm (interonset time of 500 ms) for 6 s, then at a tempo of 144 bpm (interonset time of 417 ms) for 4.6 s, then again at 120 bpm for 6 more s. This stimulus is used to evaluate the response of human listeners and the beat-tracking algorithm to sudden changes in tempo.

A musical expert (the author) assigned exact beat times to each excerpt by listening repeatedly and placing "click" sounds in the perceptually appropriate positions. This task was different than the tapping task in which the subjects participated; the expert listened repeatedly to each stimulus, placing beats, listening to results, and adjusting the beat position if necessary. It is considered to be more accurate and robust than the real-time tapping task, although there is little literature on humans performing either of these sorts of judgments [see Drake *et al.* (1997) and Parncutt (1994) for two other "tapping tasks"]. The expert labeling was conducted separately from the tapping experiment, the expert did not know the results of the experiment or the algorithm execution, and the subjects were not presented with the expert data. The resulting "ground truth" beat times are used for the evaluation of results, below.

4. Detailed procedure

Subjects were seated in front of the computer terminal and instructed in the task: they were to listen to short musical examples and tap along with them using the space bar on the keyboard. They were instructed to tap at whatever tempo felt appropriate to the musical excerpt, but to attempt to tap in equal intervals (a pilot experiment revealed that some subjects like to "drum along" in rhythmic or even syncopated patterns with the music if they are not instructed otherwise). They listened to a 120-bpm click-track as a training sample to indicate they understood the procedure, and then proceeded with each of the seven experimental trials.

All seven trials were run in the same sequence for each listener, in a single block. The experiment was not counter-balanced based on an assumption that there is little training effect in this task. After each trial, the subject was instructed by the interface to press a key different than the space bar to continue to the next trial. The entire experiment took approximately 5 min per subject. The computer interface re-

corded the time of each tap, accurate to approximately 10 ms, and saved the times to a disk file for analysis.

Finally, the beat-tracking algorithm was executed on each of these seven stimuli to produce beat times as estimated by the model described in the previous sections. These beat times were saved to a disk file and analyzed for comparison with the human beat times. The algorithm parameters were adjusted to give optimum performance for this set of trials, but not changed from trial-to-trial.

5. Dependent measures

The human and algorithmic beat-tracks were analyzed in two ways. First, the beat placements were compared to the ideal placements as judged by the expert listener; then, the regularity of tapping was assessed by examining the variance of interonset times.

To compare the beat placements, a matching comparison was conducted. Each beat placed by a human subject or by the beat-tracking model was matched with the closest (in time) comparison beat in the expert beat-track. Initially, only the beats actually placed by the expert were used, but since some subjects and the algorithm tapped twice as fast as the expert on some examples, beats were allowed to be matched to the midpoint between expert beats. The root-mean-square deviations of the subject's taps from the expert's taps were collected for each subject and trial, averaging across taps within a trial.

This rms deviation is a measure of how close the tapper came to the "ideal" beat locations. If it is very low, all of the tapper's placements were very close to expert judgments; if high, the tapper's placements were randomly distributed compared to the expert judgments.

This measure leaves open an important aspect of beat-tracking, which is regularity. As described in the qualitative results, the algorithm sometimes demonstrates unusual behavior by switching from one tempo to another, or from off-the-beat to on-the-beat, in the middle of a trial. To evaluate the regularity of tapping, the variance of interonset interval was calculated for each trial-by-subject, each trial by the model, and each trial by the expert. Note that, as described above, the human subjects were explicitly encouraged to tap regularly.

Again, the expert's behavior is taken as ideal; if the variance is larger for some tapper than for the expert, it indicates that the tapping was irregular relative to the expert. If the variance is smaller, it indicates that the tapping was more regular than the expert (not necessarily a positive aspect in the case of changing tempi). Irregularity generally arises in this data from leaving out beats, each occurrence of which adds an inter-onset interval twice as large as the rest, increasing the variance.

6. Results and discussion

The beat-placement comparison is shown in Fig. 9. Results indicate that the performance of the algorithm in placing beats in logical locations was at least comparable to the human subjects tested for all the musical cases; in four of the seven cases, the model was the most or second-most accurate

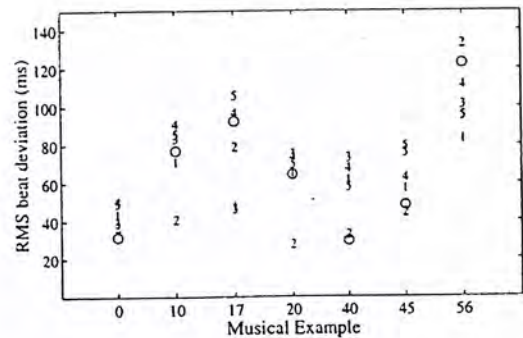


FIG. 9. Scatter plot of human (subj. number) and model (O) beat position accuracy for each of the seven experimental trials. Trial '0' corresponds to the click-track step function. Each point measures how accurate that subject was, relative to the expert, in placing beats in time. The expert judgments are at zero variance for each column. For each trial, the algorithm beat position was at least comparable to the performance of the human subjects. Overall, the algorithm performance showed a highly significant positive correlation with the human subject performance [$r=0.814$; $p(df=5) < 0.015$].

tapper. This indicates that whenever a beat position was chosen by the algorithm, the position was very close to the ideal beat position as determined by the expert judgment.

The regularity comparison is shown in Fig. 10. Results here indicate that the algorithm was as regular as a human listener for five of the seven trials, and less consistent for two of the trials. In one case, it and several of the human subjects were more consistent than the expert. More *post hoc* analysis is necessary to understand why the algorithm performance is irregular in these trials; preliminary results suggest that these two stimuli have relatively slow onsets carrying the beat (violins in one case, electronically gated drum sounds in the other).

These two results are consistent with the qualitative re-

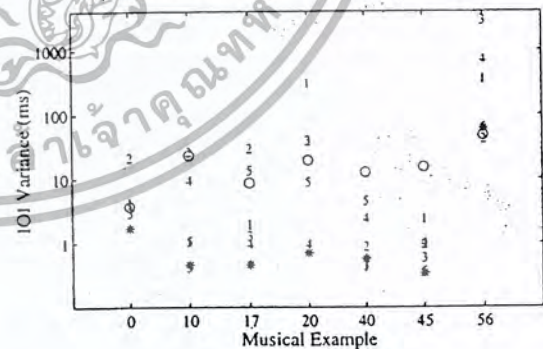


FIG. 10. Scatter plot of human (subj. number), model (O), and expert (*) IOI variances for each of the seven experimental trials. Trial '0' corresponds to the click-track step function. Each point shows the regularity of tapping of a subject for one trial; large values represent less regular tapping. For trials #40 and #45, the algorithm was not as consistent in tapping as a human listener. Overall, the algorithm performance showed a highly significant positive correlation with the human subject performance, and both the algorithm and the human subjects showed highly significant positive correlations with the expert judgement [$r=0.889$, $r=0.863$, $r=0.995$, respectively; $p(df=5) < 0.01$ in each case].

sults described above. When the algorithm chooses to place a beat, it does so with great accuracy and musical relevance; however, for certain musical excerpts, it is somewhat inconsistent in its tapping regularity. That is, for these examples, it drops beats or shifts phase more often than a human listener. This is not a bad result, because it is exactly this inconsistency which could best be addressed by including high-level information in the model (such as simply including instructions to "try to tap regularly").

V. DISCUSSION

In previous sections, the construction of a beat-tracking system has been approached from a largely empirical perspective. However, it is also valuable to compare the resulting algorithm to previous work on pulse perception in humans.

A. Processing level

Perhaps the most obvious difference between the method presented here and much of the previous work on beat-tracking is that this algorithm knows almost nothing about musical timbre, genres, or even notes or onsets. This approach to tempo analysis might be called a "perceptual model" of tempo, to contrast it with cognitive structuralist models.

That is to say, in models such as Povel and Essens (1985), Desain (1995), or Goto (in press), there are two stages of processing represented (the first is implicit in the Povel/Essen and Desain models). The first stage processes the acoustic stream, classifying the various pieces of sound into onsets and time intervals, separating the streams of sound, and understanding the accent structure and timbre of various components. Then, the second stage places these events in relationship to each other in order to determine the tempo and phase of the signal.

In contrast to this, the model presented here agrees with the viewpoint of Todd (1994), in which tempo and rhythm are low-level "perceptual judgments" about sound, with little cognition or memory required for processing. This viewpoint is intuitively appealing for at least one major reason, which is that certain features of tempo and beat are processed in non-attended auditory streams. Music listeners, even nonmusicians, often have the experience of conducting a conversation and suddenly realizing that they have been tapping their foot to background music. If the foot-tapping process requires cognitive structuring of the input data, it seems likely that other cognitive hearing tasks such as speech-understanding would interfere.

The finding of Levitin and Cook (1996) that there is a great ability for listeners to learn and remember absolute musical tempo implies that tempo is a simple, low-level perceptual quality. The body of initial work on rhythm perception in non-human animals (for example, Hulse *et al.*, 1984) would seem to imply similar conclusions.

The resemblance between the algorithm as drawn in Fig. 3 and modern models of pitch hearing is striking. Both models contain frequency-decomposition front ends followed by temporal integration. This comparison is explored in depth in

Scheirer (1997) and leads to the question of whether pitch and tempo perception might be related auditory phenomena.

Studies such as that of Povel and Essens (1985) have demonstrated convincingly that beat perception may be explained with a model in which a perceptual clock is aligned with the accent structure of the input. A clock model is fully compatible with the method proposed here; it seems natural and intuitive to posit such an internal clock. However, the Povel and Essens model of clock induction, and similarly the Parncutt model, relies heavily on structural qualities of the input, such as a sophisticated model of temporal accent, to function.

Todd has argued that such phenomena do not need to be modeled cognitively, but rather can be explained as natural emergent qualities of known psychoacoustic properties of masking and temporal integration. This model agrees here as well, for it has demonstrated empirically that musical signals can be accurately beat-tracked without any such factors explicitly taken into account. However, a more thorough evaluation of this model would include testing it on the unusual and difficult sequences tested in the course of developing accent models, to determine if changes to weighting factors or integration constants need to be made in order to replicate these psychophysical effects.

B. Prediction and retrospection

Desain's recent work on beat-tracking has included valuable discussion of the role of prediction and retrospection in rhythmic understanding. Clearly, prediction is a crucial factor in an accurate model of human rhythm perception, as simply to synchronize motor motion (like foot-tapping) with an auditory stream requires prediction. There is a pleasing symmetry between Desain's "complex expectancy" curves and the phase-prediction vectors extracted here from the comb filter delay lines (as in Fig. 7).

Desain, citing Jones and Boltz (1989), draws attention to the utility of considering prediction and retrospection to be similar aspects of a single process. "Retrospection" refers to the manner in which new stimulus material affects the memory of previous events. Although there is no retrospection included in the model—remembrance would seem to be an inherently cognitive process—the phase-prediction curves could be used as input for this process as well.

When evaluating this model, it is important to keep in mind the complexity of introspection on musical phenomena. Although after-the-fact, listeners have made a rhythmic model of the very beginning of a musical phrase, it is clear that this model must have arisen via retrospection, for there is not enough information in the signal alone to form it progressively. Simply because a listener feels that he "understands" the rhythm of the beginning of a musical segment does not mean that the beginning itself contains sufficient information to allow such understanding.

C. Tempo versus rhythm

The effects which are not explained with this model are those related to grouping of stimuli into a rhythmic hierarchy. There are many known effects in this area, ranging from

Shannon, R. V., Zeng, F.-G., Wyngoski, J., Kamath, V., and Ekelid, M. (1995). "Speech recognition with primarily temporal cues," *Science* 270, 303-304.

Smith, L. S. (1994). "Sound segmentation using onsets and offsets," *J. New Music Res.* 23, 11-23.

Todd, N. P. McA. (1994). "The auditory 'primal sketch': A multiscale model of rhythmic grouping," *J. New Music Res.* 23, 25-70.

Vercoe, B. L. (1994). "Perceptually-based music pattern recognition and response," in *Proceedings of the 1994 International Conference on Music Perception and Cognition*.



BEAT DETECTION ALGORITHMS



By Frédéric Patin aka YOY408.
Contact : Frederic.Patin@supelec.fr
Homepage : <http://yov408.free.fr>

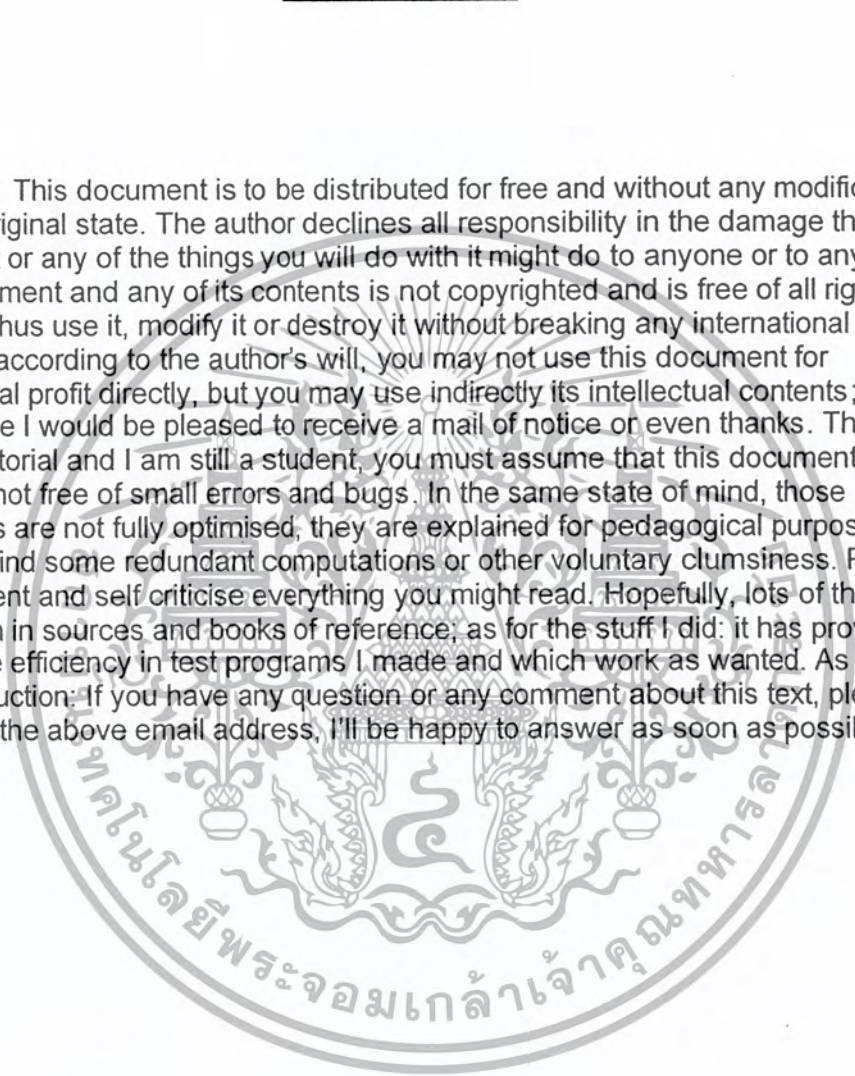
Last modified : Friday 21th of February 2003

เอกสารนี้เป็นเอกสารที่สงวนไว้สำหรับการใช้งานเพื่อการศึกษาเท่านั้น ไม่อนุญาตให้นำไปใช้ประโยชน์ด้านการค้า
ไม่ว่ากรณีใดๆ ทั้งสิ้น อีกทั้งห้ามมิให้ดัดแปลงเนื้อหา และต้องอ้างอิงถึงเจ้าของเอกสารทุกครั้งที่มีการนำไปใช้

<u>Disclaimer</u>	3
<u>Introduction</u>	4
<u>I – Statistical streaming beat detection</u>	5
1 – <i>Simple sound energy</i>	
2 – <i>Frequency selected sound energy</i>	
<u>II – Filtering rhythm detection</u>	15
1 – <i>Derivation and combfilters</i>	
2 – <i>Frequency selected processing</i>	
<u>Conclusion</u>	21
<u>Sources and links</u>	22

DISCLAIMER

This document is to be distributed for free and without any modification from its original state. The author declines all responsibility in the damage this document or any of the things you will do with it might do to anyone or to anything. This document and any of its contents is not copyrighted and is free of all rights, you may thus use it, modify it or destroy it without breaking any international law. However according to the author's will, you may not use this document for commercial profit directly, but you may use indirectly its intellectual contents; in which case I would be pleased to receive a mail of notice or even thanks. This is my first tutorial and I am still a student, you must assume that this document is probably not free of small errors and bugs. In the same state of mind, those algorithms are not fully optimised, they are explained for pedagogical purposes and you may find some redundant computations or other voluntary clumsiness. Please be indulgent and self criticise everything you might read. Hopefully, lots of this stuff was taken in sources and books of reference; as for the stuff I did: it has proven some true efficiency in test programs I made and which work as wanted. As said in the introduction: If you have any question or any comment about this text, please send it to the above email address, I'll be happy to answer as soon as possible.



INTRODUCTION

Simulating a physical phenomena which obeys to known mathematical equations is, with a number of approximations, always feasible. But what about more abstract concepts, such as feelings, which do not follow any laws ? The simplest things we can feel are often the hardest things to capture in a program. Beat detection follows this rule : feeling the beat of a song comes naturally to humans or animals. Indeed it is only a feeling one gets when listening to a melody, a feeling which will make you dance in rhythm or hit a table with your hands on the melody beats. Therefore, how can we learn this beat detection to a machine that can only compute logical operations ? In fact there are a number of algorithms which manage to approximate, more or less accurately, this beat detection. We will first study the statistical approach of beat detection on a streaming source and secondly a filtering approach of rhythm extraction on a static song.

This guide assumes the reader has basic signal processing understanding (FFT, convolutions and correlations should sound common) maybe some stuff in statistics will also help (Variance, Average, Principal Components Analysis, will be quoted among others). The point here is not to actually write the code of these algorithms, but more to understand how they work and to be able to adapt or create the appropriate algorithm to a situation. If you have a question or a comment about this text, please send it to the above email address, I'll be happy to answer as soon as possible. Anyway, the aim here is to give more precise ideas on the subject of beat detection to the reader. Enjoy.

Statistical streaming beat detection

1 - Simple sound energy

a - A first analysis.

The human listening system determines the rhythm of music by detecting a pseudo - periodical succession of beats. The signal which is intercepted by the ear contains a certain energy, this energy is converted into an electrical signal which the brain interprets. Obviously, The more energy the sound transports, the louder the sound will seem. But a sound will be heard as a **beat** only if his energy is largely superior to the sound's energy history, that is to say if the brain detects a **brutal variation in sound energy**. Therefore if the ear intercepts a monotonous sound with sometimes big energy peaks it will not detect beats, however, if you play a continuous loud sound you will not perceive any beats. Thus, the beats are big variations of sound energy. This first analysis will bring us to our simplest model : **Sound energy peaks**.

In this model we will detect sound energy variations by computing **the average sound energy** of the signal and comparing it to the **instant sound energy**. Lets say we are working in stereo mode with two lists of values : (an) and (bn). (an) contains the list of sound amplitude values captured every T_e seconds for the left channel, (bn) the list of sound amplitude values captured every T_e seconds for the right channel. So we want to compute the instant energy and the average energy of the signal. The instant energy will in fact be the energy contained in 1024 samples (1024 values of $a[n]$ and $b[n]$), 1024 samples represent about 5 hundreds of second which is pretty much 'instant'. The average energy should not be computed on the entire song, some songs have both intense passages and more calm parts. The instant energy must be compared to the nearby average energy, for example if a song has an intense ending, the energy contained in this ending shouldn't influence the beat detection at the beginning. **We detect a beat only when the energy is superior to a local energy average**. Thus we will compute the average energy on say : 44032 samples which is about 1 second, that is to say we will assume that the hearing system only remembers of 1 second of song to detect beat. This 1 second time (44032 samples) is what we could call the human ear energy persistence model; it is a compromise between being too big and taking into account too far away energies, and being too small and becoming too close to the instant energy to make a valuable comparison.

The history buffer where we will keep the last 44032 samples will contain in fact two lists of samples (B[0]) and (B[1]) corresponding to the left (an) and to the right (bn) channels history.

Simple sound energy algorithm #1:

Every 1024 samples :

- Use the 1024 new samples taken in $a[n]$ and $b[n]$ to compute the instant energy 'e', using the following formula (i_0 is the position of the 1024 samples to process) :

$$e = e_{stereo} = e_{right} + e_{left} = \sum_{k=i_0}^{i_0+1024} a[k]^2 + b[k]^2$$

(R1)

- Compute the local average energy '<E>' on the 44100 samples of a history buffer (B) :

$$\langle E \rangle = \frac{1024}{44100} \times \sum_{i=0}^{44032} (B[0][i])^2 + (B[1][i])^2$$

(R2)

- Shift the 44032 history buffer (B) of 1024 indexes to the right so that we make room for the 1024 new samples and evacuate the oldest 1024 samples.
- Move the 1024 new samples on top of the history buffer.
- Compare 'e' to 'C * <E>' where C is a constant which will determine the sensibility of the algorithm to beats. A good value for this constant is 1.3. If 'e' is superior to 'C * <E>' then we have a beat !

b - Some direct optimisations.

This was the basic version of the algorithm, its speed and accuracy can be improved quite easily. The algorithm can be optimised by **keeping the energy values computed on 1024 samples in history instead of the samples themselves**, so that we don't have to compute the average energy on the 44100 samples buffer (B) but on the instant energies history we will call (E). This sound energy history buffer (E) **must correspond to approximately 1 second of music**, that is to say it must contain the energy history of 44032 samples (calculated on groups of 1024) if the sample rate is 44100 samples per second. Thus E[0] will contain the newest energy computed on the newest 1024 samples, and E[42] will contain the oldest energy computed on the oldest 1024 samples. We have 43 energy values in history, each computed on 1024 samples which makes 44032 samples energy history, which is equivalent to 1 second in real time. The count is good. The value of 1 second represents the persistence of the music energy in the human ear, it was obtained with experimentations but it may vary a little from a person to another, just adjust it as you feel. So here is what the algorithm becomes :

Simple sound energy algorithm #2 :

Every 1024 samples :

- Compute the instant sound energy 'e' on the 1024 new sample values taken in (an) and (bn) using the following formula (R1)
- Compute the average local energy <E> with (E) sound energy history buffer :

$$\langle E \rangle = \frac{1}{43} \times \sum_{i=0}^{42} (E[i])^2$$

(R3)

- Shift the sound energy history buffer (E) of 1 index to the right. We make room for the new energy value and flush the oldest.

เอกสารนี้เป็นเอกสารที่สงวนไว้สำหรับการใช้งานเพื่อการศึกษาเท่านั้น ไม่อนุญาตให้นำไปใช้ประโยชน์ด้านการค้า

ไม่ว่ากรณีใดๆ ทั้งสิ้น อีกทั้งห้ามมิให้คัดลอกเนื้อหา และต้องอ้างอิงถึงเจ้าของเอกสารทุกครั้งที่มีการนำไปใช้

- Pile in the new energy value 'e' at E[0].
- Compare 'e' to 'C* $\langle E \rangle$ '.

c - Sensitivity detection.

The immediate drawback of this algorithm is **the choice of the 'C' constant**. For example in techno and rap music beats are quite intense and precise so 'C' should be quite high (about 1.4); whereas for rock and roll, or hard rock which contains a lot of noise, the beats are more confused and 'C' should be low (about 1.1 or 1.0). There is a way, to make the algorithm determine automatically the good choice for the 'C' constant. We must compute **the variance of the energies** contained in the energy history buffer (E). This variance, which is nothing but the average of (Energy Values – Energy average = $E[i] - \langle E \rangle$), will quantify how marked the beats of the song are and thus will give us a way to compute the value of the 'C' constant. The formula to calculate the variance of the 43 E[i] values is described below (4). Finally, the greater the variance is the more sensitive the algorithm should be and thus the smaller will become. We can choose a linear decrease of 'C' with 'V' (the variance) and for example when V = 200, C = 1.0 and when V = 25, C = 1.45 (R5). This is our new version of the sound energy beat detection algorithm :

Simple sound energy algorithm #3 :

Every 1024 samples :

- Compute the instant sound energy 'e' on the 1024 new samples taken in (an) and (bn) using the following formula (R1).
- Compute the average local energy $\langle E \rangle$ with (E) sound energy history buffer using formula (R3).
- Compute the variance 'V' of the energies in (E) using the following formula :

$$V = \frac{1}{43} \times \sum_{i=0}^{43} (E[i] - \langle E \rangle)^2$$

(R4)

- Compute the 'C' constant using a linear regression of 'C' with 'V', using a linear regression with values (R5) :

$$C = (-0.0025714 \times V) + 1.5142857$$

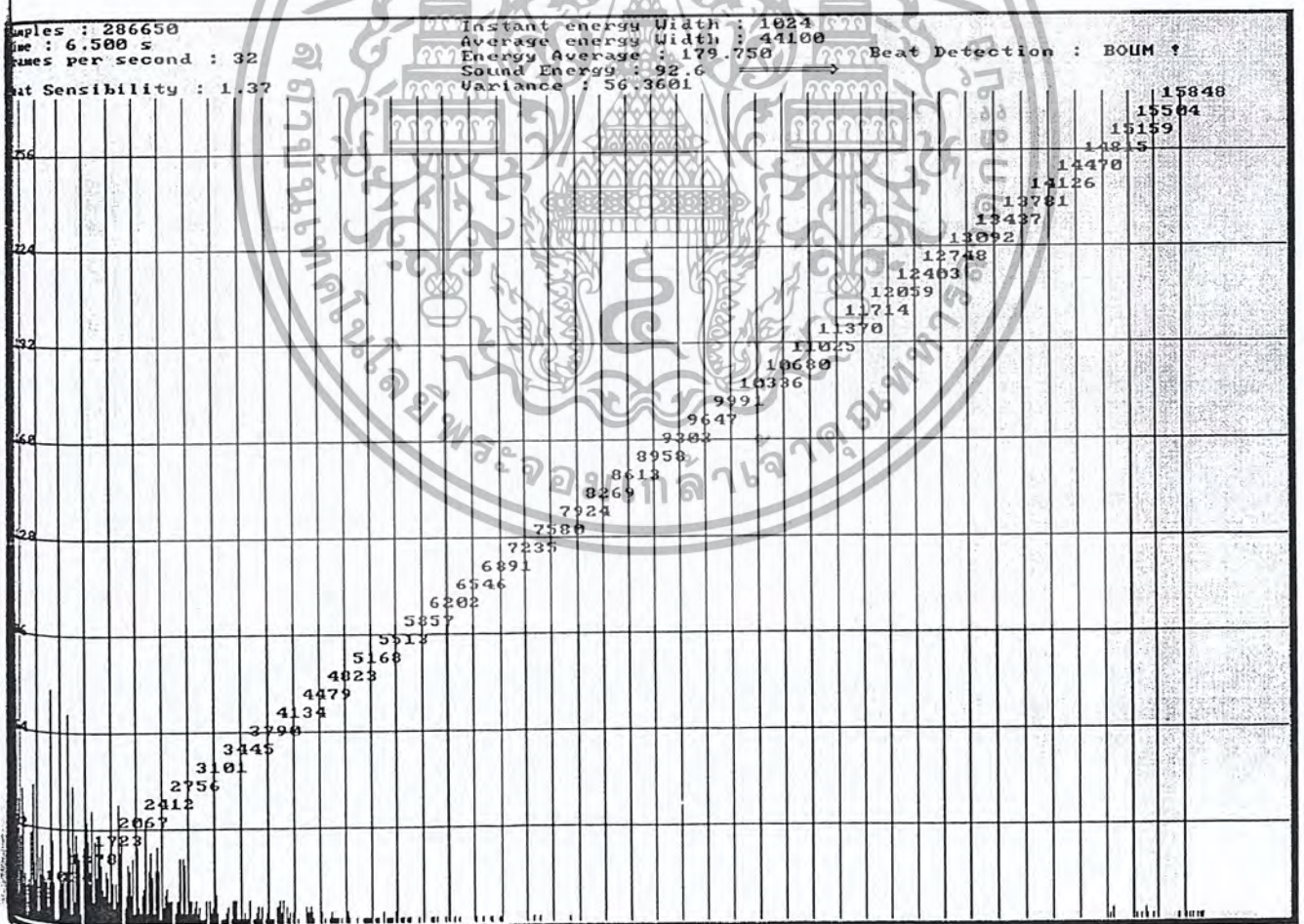
(R6)

- Shift the sound energy history buffer (E) of 1 index to the right. We make room for the new energy value and flush the oldest.
- Pile in the new energy value 'e' at E[0].
- Compare 'e' to 'C* $\langle E \rangle$ ', if superior we have a beat !

Those three algorithms were tested with several types of music, among others : pop, rock, metal, techno, rap, classical, punk. The fact is the results are quite unpredictable. I will only talk about *simple beat detection algorithm #3* as the #2 and #1 are only pedagogical intermediates to get to the #3. **early, the beat detection is very accurate and sounds right with techno and rap**, the beats are very precise and the music contains very few noise. The algorithm is quite satisfying for that kind of music and if you aim to use beat detection on techno you can stop reading here, the rest won't change anything in your beat detection. However, even if the improvement of the dynamic 'C' calculations ameliorates things a lot, **the beat detection on punk, rock and hard rock, is sometimes quite approximate**. We can feel it doesn't really get the rhythm of the song. Indeed the algorithm detects energy peaks. Sometimes you can hear a drum beat which is sank among other noises and which goes trough the algorithm without being detected as a beat.

To explain this phenomena lets say a guitare and flute make alternatively an amplitude constant note. Each time the first finishes the other starts. The note made by the guitare and the note made by the flute have the same energy but the ear detects a certain rhythm because the notes of the instruments are at different pitch. For our algorithm (who is one might say colorblind) it is just an amplitude constant noise with no energy peaks. This partly explains why the algorithm doesn't detect precisely beats in songs with a lot of instruments playing at different rythms and simultaneously. Our next analysis will make us walk through this difficulty.

Comparing the results we have obtained with the *Simple beat detection algorithm #3* to its computing cost, this algorithm is very efficient. If you are not looking for a perfect beat detection than I recommend you use it. Here is a screenshot of a program I made using this algorithm. You will find the binaries and the sources on my homepage.



The spectrum analyser is not useful for the beat detection it is only for visual matters, but you can see at the top some of the parameters the program computes to execute the algorithm. (fig1)

2 – Frequency selected sound energy.

a - The idea and the algorithm.

The issue with our last analysis of beat detection is that it is colorblind. We have seen that this could raise quite a few problems for noisy like songs in rock or pop music. What we must do is give our algorithm the ability to determine on which frequency subband we have a beat and if it is powerful enough to take it into account. Basically we will try to detect **big sound energy variations in particular frequency subbands**, just like in our last analysis; unless this time we will be able to separate beats regarding their color (frequency subband). Thus If we want to give more importance to low frequency beats or to high frequency beats it should be more easy. Notice that the energy computed in the time domain is the same as the energy computed in the frequency domain, so we don't have any difference between computing the energy in time domain or in frequency domain. For maths freaks this is called the Parseval Theorem.

Okay that was just a bit of sport, lets go back to the mainstream; Here is how the **frequency selected sound energy** algorithm works: The source signals are still coming from (an) and (bn). (an) and (bn) can be taken from a wave file, or directly from a streaming microphone or line input. Each time we have accumulated 1024 new samples, we will pass to the frequency domain with a **Fast Fourier Transform (FFT)**. We will thus obtain a 1024 frequency spectrum. We then divide this spectrum into however many subbands we like, here I will take 32. The more subbands you have, the more sensitive the algorithm will be but the harder it will become to adapt it to lots of different kinds of songs. Then we compute the **sound energy** contained in **each of the subbands** and we compare it to the **recent energy average corresponding to this subband**. If one or more subbands have an energy superior to their average we have detected a beat. The great progress with the last algorithm is that we now know more about our beats, and thus we can use this information to change an animation, for example. So here is more precisely the *Frequency selected sound energy algorithm #1* :

Frequency selected sound energy algorithm #1 :

Every 1024 samples :

- Compute the FFT on the 1024 new samples taken in (an) and (bn). The FFT inputs a complex numeric signal. We will say (an) is the real part of the signal and (bn) the imaginary part. Thus the FFT will be made on the 1024 complex values of :

$$(a_n) + i \times (b_n)$$

You can find FFT tutorials and codes in C, Visual Basic or C++ on my homepage in the 'tutorials' section or by typing 'FFT' on www.google.com

- From the FFT we obtain 1024 complex numbers. We compute the square of their module and store it into a new 1024 buffer. This buffer (B) contains the 1024 frequency amplitudes of our signal.
- Divide the buffer into 32 subbands, compute the energy on each of these subbands and store it at (Es). Thus (Es) will be 32 sized and Es[j] will contain the energy of subband 'j' :

$$Es[i] = \frac{32}{1024} \times \sum_{k=i \times 32}^{(i+1) \times 32} B[k]$$

(R7)

- Now, to each subband 'i' corresponds an energy history buffer called (Ei). This buffer contains the last 43 energy computations for the 'i' subband. We compute the average energy <Ei> for the 'i' subband simply by using :

$$\langle Ei \rangle = \frac{1}{43} \times \sum_{k=0}^{42} Ei[k]$$

(R8)

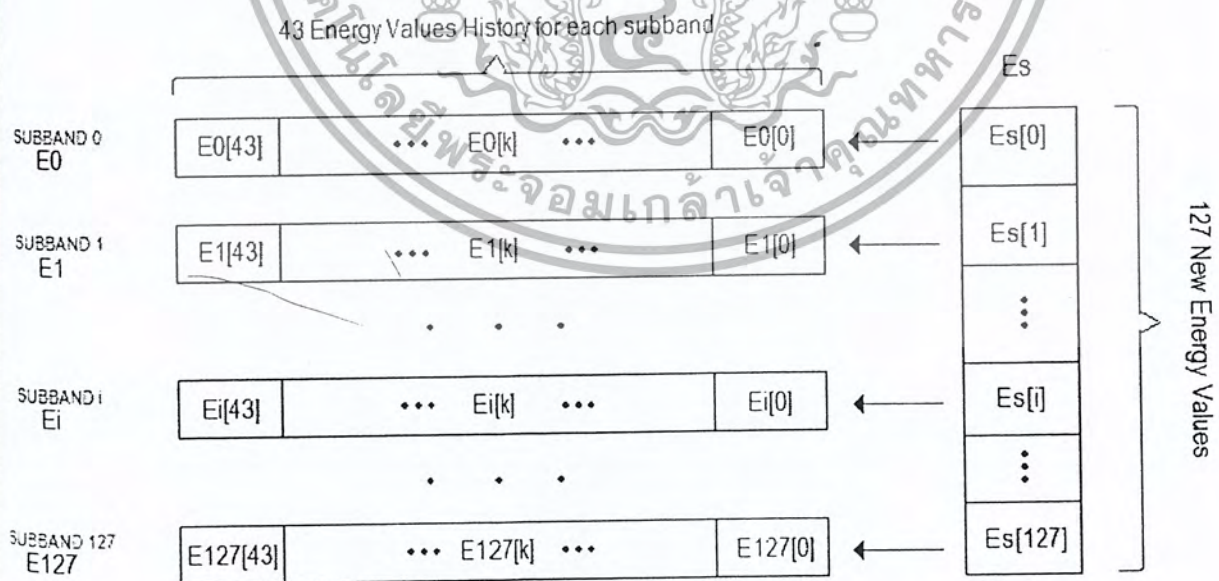
- Shift the sound energy history buffers (Ei) of 1 index to the right. We make room for the new energy value of the subband 'i' and flush the oldest.
- Pile in the new energy value of subband 'i' : Es[i] at Ei[0].

$$Ei[0] = Es[i]$$

(R9)

- For each subband 'i' if $Es[i] > (C \times \langle Ei \rangle)$ we have a beat !

To help out visualising how the data piles work have a look at this scheme:



This is how the energy data is organized. (fig2)

เอกสารนี้เป็นเอกสารที่สงวนไว้สำหรับการใช้งานเพื่อการศึกษาเท่านั้น ไมอนุญาตให้นำไปใช้ประโยชน์ด้านการค้า
ไม่ว่ากรณีใดๆ ทั้งสิ้น อีกทั้งห้ามมิให้คัดแปลงเนื้อหา และต้องอ้างอิงถึงเจ้าของเอกสารทุกครั้งที่มีกรนำไปใช้

Now the 'C' constant of this algorithm has nothing to do with the 'C' of the first algorithm, because we deal here with separated subbands the energy varies globally much more than with the blind algorithms. Thus 'C' must be about 250. The results of this algorithm are convincing, it detects for example a symbol rhythm among other heavy noises in metal rock, and indeed the algorithm separates the signal into subbands, therefore the **symbol rhythm cannot pass through the algorithm without being recognized because it is isolated in the frequency domain from other sounds.** However the complexity of the algorithm makes it useful only if you are dealing with very noisy sounds, in other cases, *Simple beat detection algorithm #3* will do the job.

b - Enhancements and beat decision factors.

There are ways to enhance a bit more our *Frequency selected sound energy algorithm #1*. First we will increase the **number of subbands from 32 to 64**. This will take obviously more computing time but it will also give us more precision in our beat detection. The second way to develop the accuracy of the algorithm uses the defaults of human ears. Human hearing system is not perfect; in fact its transfer function is more like a low pass filter. We hear more easily and more clearly low pitched noises than high pitch noises. This is why it is preferable to make a logarithmic repartition of the subbands. That is to say that subband 0 will contain only say 2 frequencies whereas the last subband, will contain say 20. **More precisely the width 'wi' of the 'n' subbands indexed 'i' can be obtained using this argument :**

- Linear increase of the width of the subband with its index :

$$w_i = a \cdot i + b \quad (R10)$$

- We can choose for example the width of the first subband :

$$w_1 = a + b \quad (R11)$$

- The sum of all the widths must not exceed 1024 ((B)'s size) :

$$\sum_{i=1}^n w_i = 1024 = n \cdot b + a \cdot \sum_{i=1}^n i = n \cdot b + a \cdot \frac{n \cdot (n+1)}{2} = 1024$$

$$(R12)$$

Once you have equations (R11) and (R12) it is fairly easy to extract 'a' and 'b', and thus to find the law of the 'wi'. This calculus of 'a' and 'b' must be made manually and 'a' and 'b' defined as constants in the source; indeed they do not vary during the song.

So in fact in *Frequency selected sound energy algorithm #1*, all we have to modify is the number of subbands we will take equal to 64 and the (R7) relation. This relation becomes:

เอกสารนี้เป็นเอกสารที่สงวนไว้สำหรับการใช้งานเพื่อการศึกษาเท่านั้น ไม่นอนุญาตให้นำไปใช้ประโยชน์ด้านการค้า

ไม่ว่ากรณีใดๆ ทั้งสิ้น อีกทั้งห้ามมิให้คัดแปลงเนื้อหา และตั้งอ้างอิงถึงเจ้าของเอกสารทุกครั้งที่มีการนำไปใช้

$$Es[i] = \frac{wi}{1024} \times \sum_{k=\sum_{j=1}^{i-1} wj}^{\sum_{j=1}^i wj} B[k]$$

(R7)'

It may seem rather complicated but in fact it is not (☺). Replacing this relation (R7) with (R7)' we have created *Frequency selected sound energy algorithm #2*. If you have musics with very tight and rapid beats, you may want to compute the stuff more frequently than every 1024 samples, but this is only for special cases, normally the beat should not be shorter than 1/40 of second.

Using the advantages of Frequency selected beat detection you can also enhance the beat decision factor. Up to now it was based on a simple comparison between the instant energy of the subband and the average energy of the subband. This algorithm enables you to decide beats differently. You may want for examples to cut beats which correspond to high pitch sounds if you run techno music or you may want to keep only [50-4000Hz] beats if you are working with speech signal. This algorithm has the advantage of being perfectly adaptable to any kind or category of signal which was not the case of *Simple beat detection algorithm #3*. Notice that the correspondants between index 'i' of the FFT transform and real frequency is given by formula :

• If 'i' < 'N/2' then

$$f = \frac{i \times fe}{N}$$

(R13)

• Else 'i' >= 'N/2' then :

$$f = \frac{(N-i) \times fe}{N}$$

(R14)

So 'i' is the index of the value in the FFT output buffer, N is the size of the FFT transform (here 1024), fe is the sample frequency (here 44100). Thus index 256 corresponds to 10025 Hz. This formula may be useful if you want to create your own subbands and you want to know what the correspondants **between indexes and real frequency** are.

Another way of filtering the beats, or selecting them, is choosing only those which are marked and precise enough. As we have seen before, **to detect the accuracy of beats we must compute the variance of the energy histories for each subband**. If this variance is high it means that we have great differences of energy and thus that the beat are very intense. Thus all we have to do is compute this variance for each subband and add a test in the beat detection decision. To the "Es[i]>

เอกสารนี้เป็นเอกสารที่สงวนไว้สำหรับการใช้งานเพื่อการศึกษาเท่านั้น ไม่นอนุญาตให้นำไปใช้ประโยชน์ด้านการค้า

ไม่ว่ากรณีใดๆ ทั้งสิ้น อีกทั้งห้ามมิให้ตัดแปลงเนื้อหา และต้องอ้างอิงถึงเรา ของเอกสารทุกครั้งที่มีการนำไปใช้

"<Ei>" condition we will add "and V((Ei))>V0". V0 will be the variance limit, with experience 150 is a reasonable value. Now the V((Ei)) value is easy to compute, just follow the following equality if you don't know how :

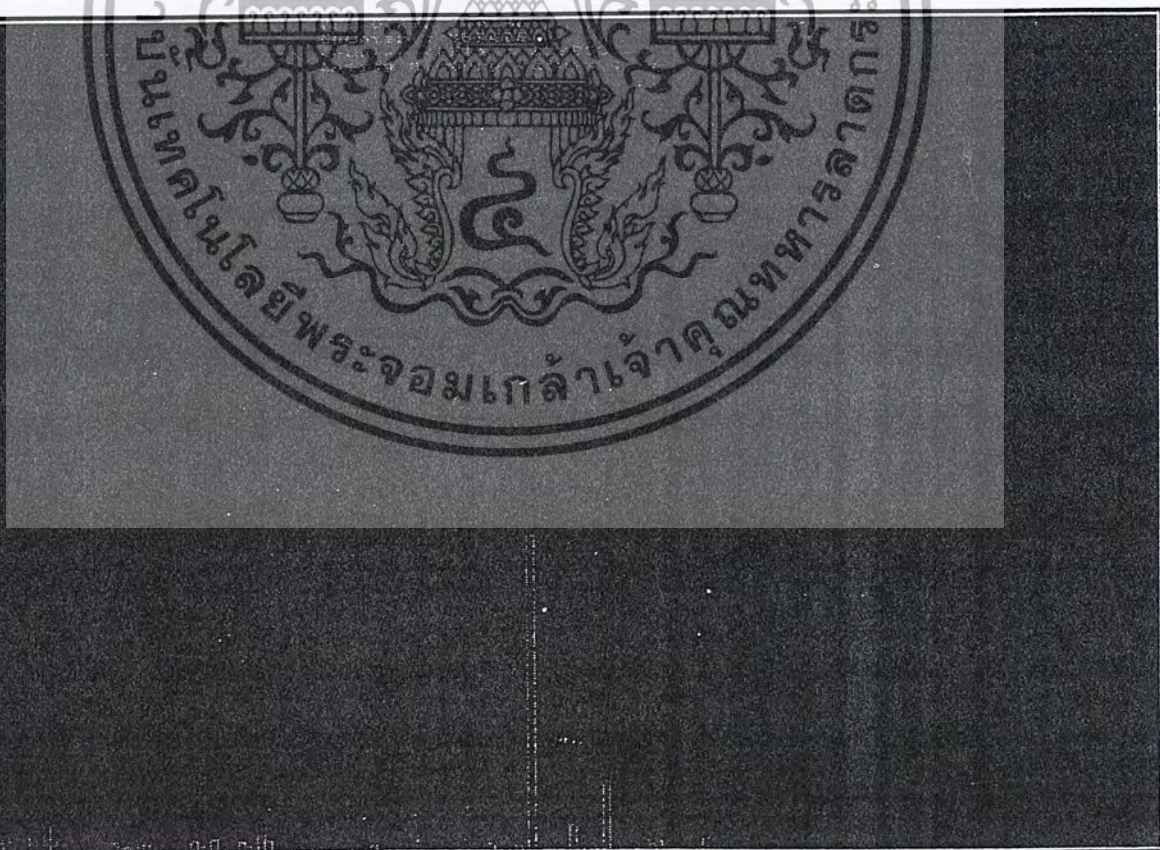
$$V((Ei)) = \frac{1}{43} \times \sum_{k=0}^{42} (Ei[k] - \langle Ei \rangle)^2$$

(R15)

The last (finally) way to enhance your beat detection, is to make the source signal pass through a **derivation filter**. Indeed differentiating the signal makes big variations of amplitude more marked and thus makes energy variations more marked and recognisable later in the algorithm. I haven't tried this optimisation but according to some sources this is quite useful. If you try it please give me your opinion on it!

Concerning the results of the *Frequency selected sound energy algorithm #2* I must admit they are way more satisfying than the *Simple sound energy algorithm #3*. In a song the algorithm catches the bass beats as well as the tight cymbals hits. I insist on the fact that you may also select the beats in very different ways, which becomes quite useful if you know you are going to run techno music with low pitch beats for example. You may also select the beats differently according to their accuracy with the variance criteria. There are many other ways to decide beats; it is up to you to explore them and find the one which fits the most your needs.

I used *Frequency selected sound energy algorithm #2* algorithm in a demo program of which you can see some screenshots just below. One can see quite clearly that there is a beat in low frequencies (probably a bass or drum hit) and also a high pitch beat (probably a cymbal or such):



The histogram represents the instant energy of the 128 subbands. (fig3)

เอกสารนี้เป็นเอกสารที่สงวนไว้สำหรับการใช้งานเพื่อการศึกษาเท่านั้น ไมอนุญาตให้นำไปใช้ประโยชน์ด้านการค้า
ไม่ว่ากรณีใดๆ ทั้งสิ้น อีกทั้งห้ามมิให้ดัดแปลงเนื้อหา และต้องอ้างอิทธิพลของเอกสารทุกครั้งที่มีการนำไปใช้

Sound Energy Values :

stant E<E> :	6.152	2.949	2.917	5.525	1.004	0.192	1.986	3.692	3.471
bandwidth :									
band Number :	#0	#1	#2	#3	#4	#5	#6	#7	#8
stant E<E> :	14.341	2.579	0.819	13.780	4.369	2.957	11.481	0.919	4.626
bandwidth :									
band Number :	#10	#11	#12	#13	#14	#15	#16	#17	#18
stant E<E> :	5.711	2.633	6.017	5.367	2.958	6.000	2.661	13.293	9.651
bandwidth :									
band Number :	#20	#21	#22	#23	#24	#25	#26	#27	#28
stant E<E> :	12.233	7.656	4.565	5.338	10.090	4.174	13.660	13.293	9.651
bandwidth :									
band Number :	#30	#31	#32	#33	#34	#35	#36	#37	#38
stant E<E> :	6.237	7.682	10.244	11.973	7.783	4.156	7.688	5.486	12.488
bandwidth :									
band Number :	#40	#41	#42	#43	#44	#45	#46	#47	#48
stant E<E> :	9.163	9.671	14.802	11.293	6.828	11.559	5.419	9.674	12.864
bandwidth :									
band Number :	#50	#51	#52	#53	#54	#55	#56	#57	#58
stant E<E> :	14.833	8.444	6.239	13.659	9.269	10.588	14.267	12.864	
bandwidth :									
band Number :	#60	#61	#62	#63	#64	#65	#66	#67	#68
stant E<E> :	4.947	14.182	11.133	8.350	5.040	23.512	10.736	11.429	10.370
bandwidth :									
band Number :	#70	#71	#72	#73	#74	#75	#76	#77	#78
stant E<E> :	6.581	13.065	9.833	10.692	11.160	8.517	7.519	2.756	8.563
bandwidth :									
band Number :	#80	#81	#82	#83	#84	#85	#86	#87	#88
stant E<E> :	7.967	1.256	3.054	9.604	8.265	8.893	8.206	8.333	9.038
bandwidth :									
band Number :	#90	#91	#92	#93	#94	#95	#96	#97	#98
stant E<E> :	5.382	11.822	9.280	11.043	8.468	12.611	12.611	12.611	12.611
bandwidth :									
band Number :	#110	#111	#112	#113	#114	#115	#116	#117	#118
stant E<E> :	5.935	3.692	9.727	1.360	3.723	2.243			
bandwidth :									
band Number :	#120	#121	#122	#123	#124	#125	#126	#127	

On this screenshot you can see the 128 subbands E<E> ratios, and the bandwidth of the subbands. When the algorithm detects a beat in a subband, it overwrites the ratio in red. (fig4)

The reason why I called this part of the document, 'Statistical streaming beat detection', is that the energy can be considered as a random variable, of which we have been calculating values over time. Thus we could interpret those values as a sampling for the statistical analysis of a random variable. One can push this approach further. When we have separated the energies histories into 128 subbands we created in fact 128 random energy variables. We can then apply some of the general statistical methods of analysis. For example, the principal components analysis method will enable you to determine if some of the subbands are directly linked or independent. This would help us to regroup some subbands which are directly linked and thus make the beat decision more efficient. However, this method is basically just far too computing expensive and maybe just too hard to implement comparing to the results we want. If you are looking for a really good challenge in beat detection you could push in this direction.

Filtering rhythm detection

1 - Derivation and Comb filters.

a - Intercorrelation and train of impulses.

While in the first part of this document we had seen beat detection as a statistical sound energy problem, we will approach it here as a **signal processing issue**. I haven't tried myself this algorithm but I greatly inspired myself of some work which was done and tested with this algorithm (see the sources section), so it really works but I won't detail so much its implementation as I did in the first part. The basic idea is the following. **If we have two signals $x(t)$ and $y(t)$** , we can evaluate a function which will give us an idea of how **much those two signals are similar**. This function called 'inter correlation function' is the following:

$$\gamma_{xy}(\alpha, \beta) = \int_{-\infty}^{+\infty} [x(t) \cdot y(\alpha \cdot (t - \beta))] \cdot dt \quad (R16)$$

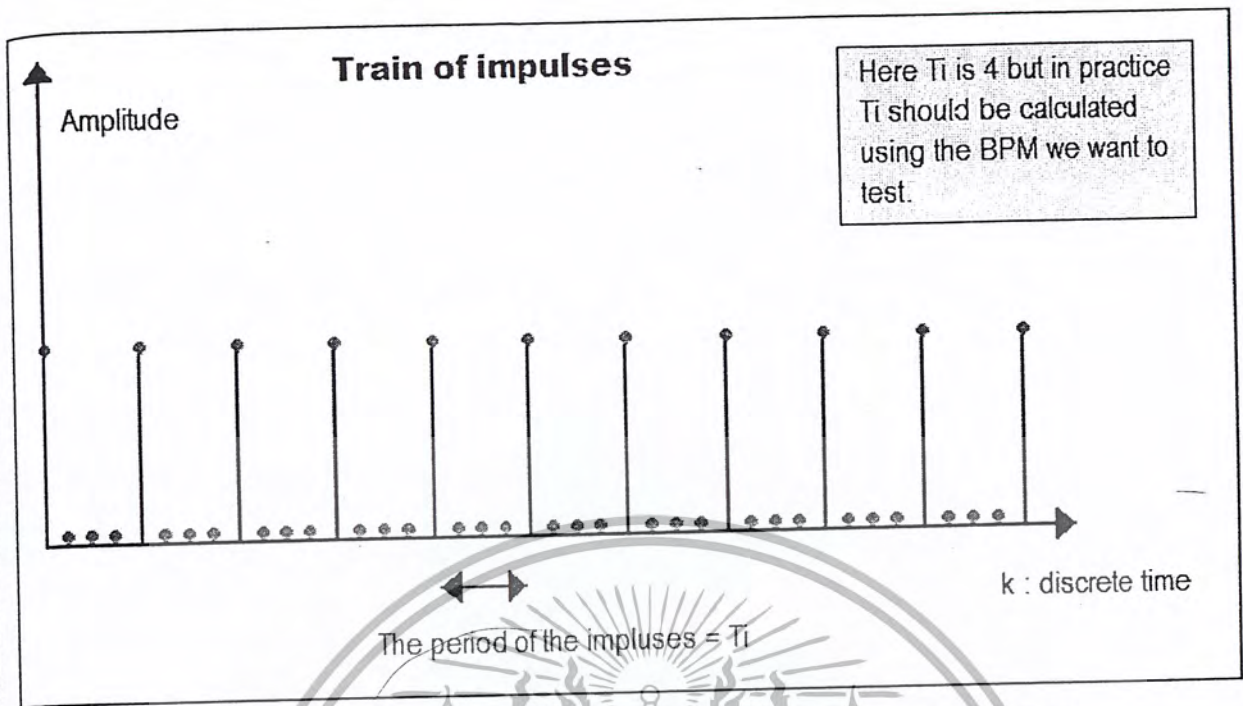
For our purposes we will always take $\alpha=1$. This function quantifies the energy that can be exchanged between the signal $x(t)$ and the signal $y(t - \beta)$, it gives an evaluation of how much those two functions look like each other. The role of the ' β ' is to eliminate the time origin problem; two signals could be compared without regarding their possible time axis translation. As you may have noticed, we are creating this algorithm for a computer to execute; basically we have to re-write this formula in discrete mode, it becomes:

$$\gamma_{xy}[\beta] = \sum_{k=-\infty}^{+\infty} [x[k] \cdot y[k - \beta]] \quad (R17)$$

Now the point is we can evaluate the **similarity** of our song and of a train of impulses using this function. The train of impulses being at a known frequency (the beats per minute we want to test) is what we call a comb filter. The energy of the ? function gives us an evaluation of the **similarity between our song and this train of impulses**, thus it quantifies how much the **rhythm of the train of impulses is present in the song**. If we compute the energy of the ? function for different train of impulses, we will be able to see for which of them the energy is the biggest, and thus we will know what is the principal Betas Per Minute rate. This is called **combfilter processing**. We will note ' E_y ' this energy, where $x[k]$ is our song signal and $y[k]$ our train of impulses:

$$E_y = \sum_{\beta=-\infty}^{+\infty} \gamma_{xy}[\beta]^2 \quad (R18)$$

By the way, here is what a train of impulses looks like :



This is the train of impulses function, it is characterised by its period T_i . (fig5)

So the period T_i of the impulses must correspond to the beats per minutes we want to test our song. The formula that links a beat per minute value with the T_i in discrete time is the following:

$$T_i = \frac{60}{BPM} \times fs \quad (R19)$$

- fs is the sample frequency, if you are using good quality wave files, it is usually of 44100. BPM is the beats per minute rate. Finally, T_i is the number of indexes between each impulse.

Now because it is quite computing expensive to compute the (R17) formula, we pass to the frequency domain with a FFT and compute the product of the $X[v]$ and $Y[v]$ (FFT's of $x[k]$ and $y[k]$). Then we compute the energy of the ? function directly in the frequency domain, thus E_y is given by the following formula:

$$E_y = \sum_{k=0}^N |X[k] \cdot Y[k]|^2 \quad (R17)'$$

b - The algorithm.

Note that this algorithm is much too computing expensive to be ran on a streaming source, on a song in a whole. It is executed on a part of the song, like 5 seconds taken somewhere in the middle. Thus we assume that the tempo of the song is overall constant and that the middle of the song is tempo-representative of the rest of the song. So finally here are the steps of our algorithm:

Derivation and Combfilter algorithm #1 :

- Choose roughly 5 seconds of data in the middle of the song and copy it to the 'a[k]' and 'b[k]' lists. The dimension of those lists is noted N. As usual 'a[k]' is the array for the left values, and 'b[k]' is the array for the right values.
- Compute the FFT of the complex signal made with a[k] for the real part of the complex signal and b[k] the imaginary part of the complex signal as seen in Frequency selected sound energy algorithm #1. Store the real part of the result in ta[k] and the imaginary in tb[k].
- For all the beats per minute you want to test, for example from 60 BPM to 180 BPM per step of 10, we will note BPMc the current BPM tested :

- Compute the Ti value corresponding to BPMc using formula (R19).
- Compute the train of impulses signal and store it in (l) and (j). (l) and (j) are purely identical, we take two lists of values to have a stereo signal so that we don't have dimension issues further on. Here is how the train of impulses is generated :

```
for(k = 0; k < N; k++) {  
    if((k%Ti) == 0)  
        l[k] = j[k] = AmpMax;  
    else  
        l[k] = j[k] = 0;  
}
```

- Compute the FFT of the complex signal made of (l) and (j). Store the result in tl[k] and tj[k].
- Finally compute the energy of the correlation between the train of impulses and the 5 seconds signal using (R17)' which becomes :

$$E_{BPMc} = \sum_{k=0}^N |(ta[k] + i \cdot tb[k]) \cdot (tl[k] + i \cdot tj[k])|$$

(R20)

- Save E(BPMc) in a list.

- The rhythm of the song is given by the BPMmax, where the max of all the E(BPMc) is taken. We have the beat rate of the song !

The AmpMax constant which appears in the train of impulse generation, is given by the sample size of the source file. Usually the sample size is 16 bits, for a good quality .wav. If you are working in non-signed mode, the AmpMax value will be of 65535, and more often if you work with 16 bits signed samples the AmpMax will be 32767.

One of the first ameliorations that could be given to Derivation and Combfilter algorithm #1 indeed adding a **derivation filter** before the combfilter processing. **To make beats more detectable, differentiate the signal.** This accentuates when the sound amplitude changes. So instead of dealing with $a[k]$ and $b[k]$ directly we first transform them using the formula below. This modification added before the second step of Derivation and Combfilter algorithm #1 constitutes Derivation and Combfilter algorithm

$$\forall k \in [0, N-1]$$

$$a[k] = fs \cdot (a[k+1] - a[k])$$

$$b[k] = fs \cdot (b[k+1] - b[k])$$

(R21)

As I said before, I haven't tested this algorithm myself, I can't compare its results with the algorithms of the first part. However, throughout the researches I made this seems to be the algorithm universally accepted as being the most accurate. It does have disadvantages: Great computing power consumption, can only be done on a small part of a song, assumes the rhythm is constant throughout the song, no possible streaming input (for example from a microphone), the signal needs to be known in advance. However it returns a deeper analysis than the first part algorithms, indeed for each BPM rate you have a value of its importance in the song.

2 - Frequency selected processing

a - Curing colorblindness

As in the first part of the tutorial, we have the same problem our last algorithm doesn't make the difference between cymbals beat or a drum beat, so the beat detection becomes a bit dodgy on very noisy music like hard rock. To heal our algorithm we will proceed as we had done in Frequency selected sound energy algorithm #1 we will separate our source signal into several subbands. Only this time we have much more computing to do on each subband so we will be much more limited in their number. I think that 16 is a good value. We will use a logarithmic repartition of these subbands as we had done before.

Let's modify the Derivation and Combfilter algorithm #2. The values particular to a subband will be characterized with a little 's' at the end of the name of the variable. So we will separate $ta[k]$ and $tb[k]$ into 16 subbands. Each subbands values array will be called $tas[k]$ and $tbs[k]$ ('s' varies from 1 to 16).

Frequency selected processing combfilters algorithm #1:

- Choose roughly 5 seconds of data in the middle of the song and copy it to the 'a[k]' and 'b[k]' lists. The dimension of those lists is noted N. As usual 'a[k]' is the array for the left values, and 'b[k]' is the array for the right values.
- Differentiate the a[k] and b[k] signals using (R21).
- Compute the FFT of the complex signal made with a[k] for the real part of the complex signal and b[k] the imaginary part of the complex signal as seen in Frequency selected sound energy algorithm #1. Store the real part of the result in ta[k] and the imaginary in tb[k].
- Generate the 16 subband array values tas[k] and tbs[k] by cutting ta[k] and tb[k] with a logarithmic rule.
- For all the subbands tas[k] and tbs[k] (s goes from 1 to 16). Ws is the length of the 's' subband.
- For all the beats per minute you want to test, for example from 60 BPM to 180 BPM per step of 10, we will note BPMc the current BPM tested :

- Compute the Ti value corresponding to BPMc using formula (R19).
- Compute the train of impulses signal and store it in (l) and (j). (l) and (j) are purely identical, we take two lists of values to have a stereo signal so that we don't have dimension issues further on. Here is how the train of impulses is generated :

```
for(k = 0; k < ws; k++) {  
    if ((k % Ti) == 0)  
        l[k] = j[k] = AmpMax;  
    else  
        l[k] = j[k] = 0;  
}
```

- Compute the FFT of the complex signal made of (l) and (j). Store the result in tl[k] and tj[k].
- Finally compute the energy of the correlation between the train of impulses and the 5 seconds signal using (R17)' which becomes :

$$E_{BPMc,s} = \sum_{k=0}^{ws} |(tas[k] + i \cdot tbs[k]) \cdot (tl[k] + i \cdot tj[k])|$$

(R22)

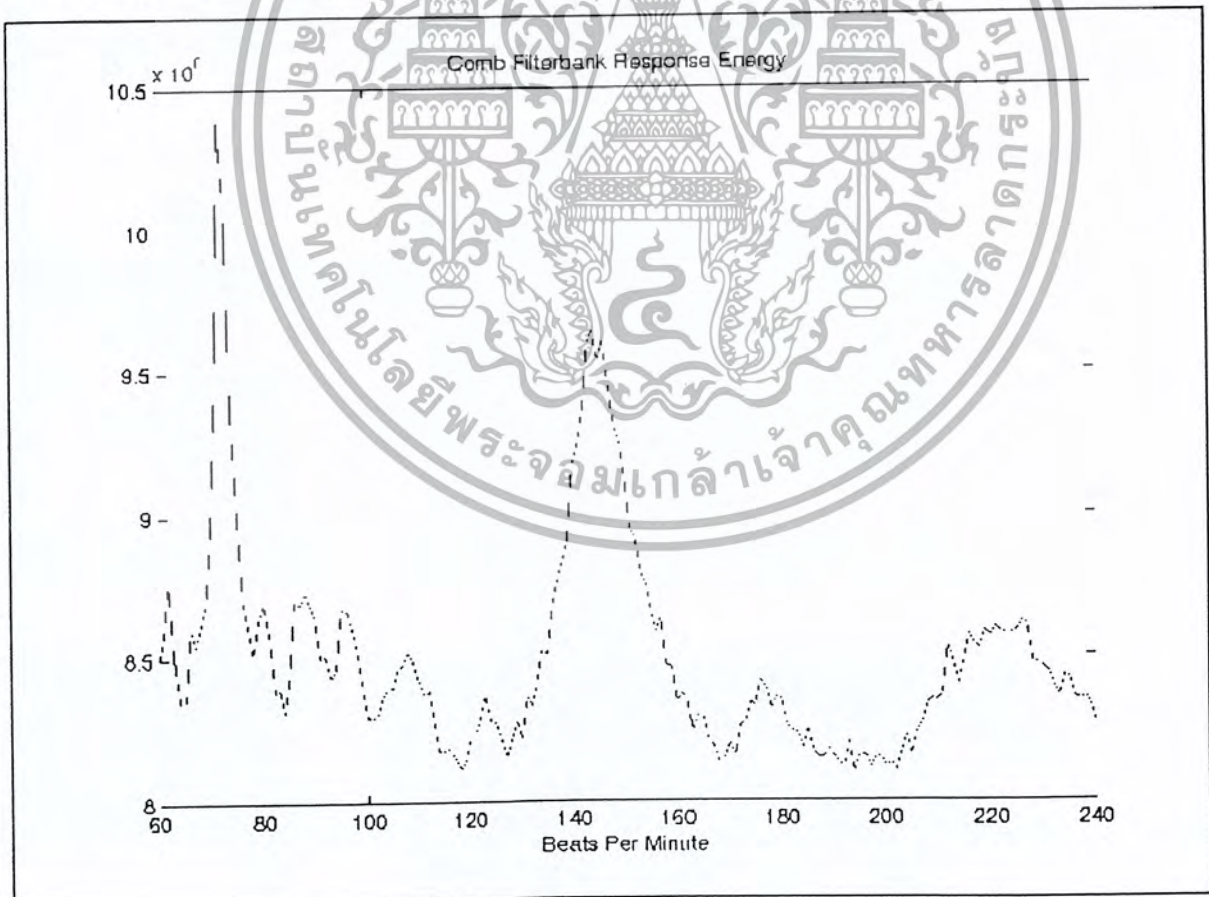
- Save E(BPMc,s) in a list.

- The rhythm of the subband is given by the BPMmaxs, where the max of all the $E(\text{BPMc}, s)$ is taken (s is fixed). We will call this max EBPMmax_s . We have the beat rate of the subband we store it in a list.
- We do this for all the subbands, we have a list of BPMmax_s for all subbands, we can then decide which one to consider.

As in *Frequency selected sound energy algorithm #2* we will then be able to decide the rhythm according to frequency bandwidth criteria. Or, if you want to take all the subbands into account you can compute the final BPM of the song, by calculating the barycentre of all the BPMmax_s affected with their max of $E(\text{BPMc}, s)$. Like this:

$$BPM = \frac{1}{\sum_{s=1}^{16} (\text{EBPMmax}_s)} \sum_{s=1}^{16} (\text{EBPMmax}_s) \cdot (\text{BPMmax}_s) \quad (R23)$$

I must admit I haven't concretely tested this algorithm. Others have done this already and here is an overview of the results for *Derivation and Combfilter algorithm #2* (source: http://www.owl.net.rice.edu/~elec301/Projects01/beat_sync/beatalgo.html).



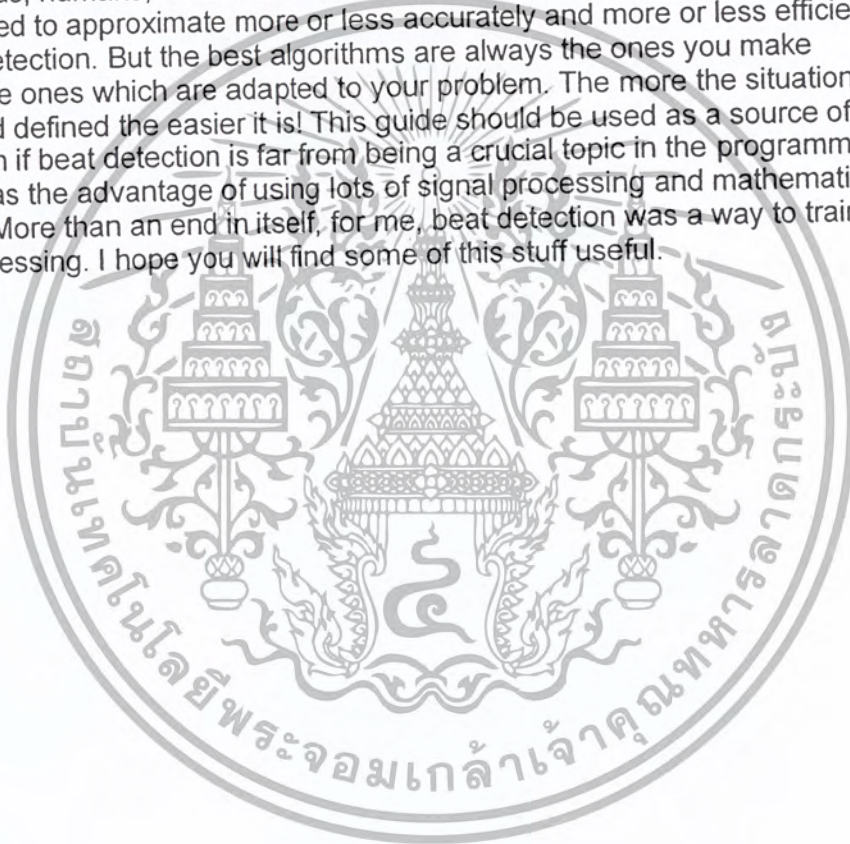
This is plot of the EBPMc values function of BPMc . The algorithm will take the max of the EBPMc value to find the final BPM of the song. Here we see this max is reached for $\text{BPMc}=75$. The final BPM

is 75 ! (fig6)

เอกสารนี้เป็นเอกสารที่สงวนไว้สำหรับการใช้เพื่อการศึกษาเท่านั้น ไม่อนุญาตให้นำไปใช้ประโยชน์ด้านการค้า
ไม่ว่ากรณีใดๆ ทั้งสิ้น อีกทั้งห้ามมิให้ตัดแปลงเนื้อหา และต้องอ้างอิงถึงเจ้าของเอกสารทุกครั้งที่มีการนำไปใช้

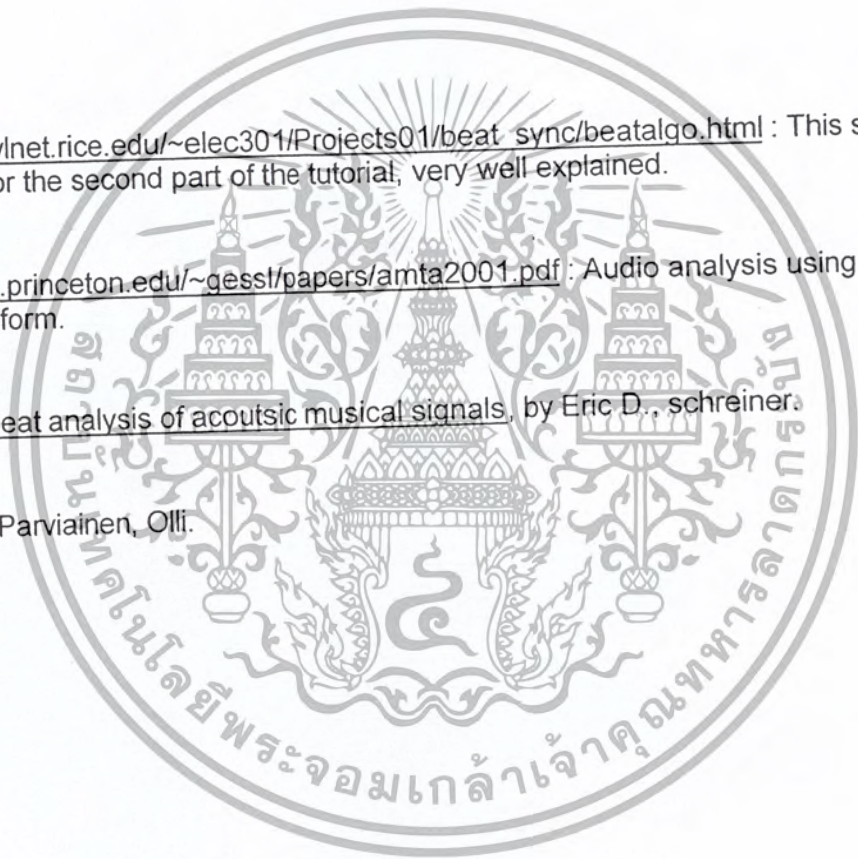
CONCLUSION

Finding algorithms for beat detection is very frustrating. It seems so obvious to us, humans, to hear those beats and somehow so hard to formalise it. We managed to approximate more or less accurately and more or less efficiently this beat detection. But the best algorithms are always the ones you make yourself, the ones which are adapted to your problem. The more the situation is precise and defined the easier it is! This guide should be used as a source of ideas. Even if beat detection is far from being a crucial topic in the programming scene, it has the advantage of using lots of signal processing and mathematical concepts. More than an end in itself, for me, beat detection was a way to train to signal processing. I hope you will find some of this stuff useful.



SOURCES AND LINKS

- http://www.owl.net.rice.edu/~elec301/Projects01/beat_sync/beatalgo.html : This site greatly inspired me for the second part of the tutorial, very well explained.
- <http://www.cs.princeton.edu/~gessl/papers/amta2001.pdf> : Audio analysis using the discrete wavelet transform.
- [Tempo and beat analysis of acoustic musical signals](#), by Eric D., schreiner.
- [Pacemaker](#), Parviainen, Olli.

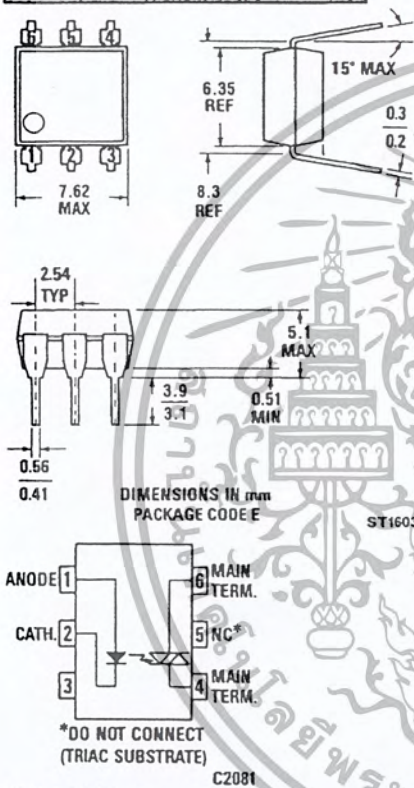




เอกสารนี้เป็นเอกสารที่สงวนไว้สำหรับการใช้งานเพื่อการศึกษาเท่านั้น ไม่อนุญาตให้นำไปใช้ประโยชน์ด้านการค้า
ไม่ว่ากรณีใดๆ ทั้งสิ้น อีกทั้งห้ามมิให้ดัดแปลงเนื้อหา และต้องอ้างอิงถึงเจ้าของเอกสารทุกครั้งที่มีการนำไปใช้

**MOC3020 MOC3021
MOC3022 MOC3023**

PACKAGE DIMENSIONS



DESCRIPTION

The MOC3020, MOC3021, MOC3022 and MOC3023 are optically isolated triac driver devices. These devices contain a GaAs infrared emitting diode and a light activated silicon bilateral switch, which functions like a triac. This is designed for interfacing between electronic controls and power triacs to control resistive and inductive loads for 240 VAC operations.

FEATURES

- Excellent I_r stability—IR emitting diode has low degradation
- High isolation voltage—minimum 7500 VAC peak
- Underwriters Laboratory (UL) recognized—File #E90700

APPLICATIONS

- European applications for 240 VAC
- Triac driver
- Industrial controls
- Traffic lights
- Vending machines
- Motor control
- Solid state relay

Equivalent Circuit

ABSOLUTE MAXIMUM RATINGS

TOTAL PACKAGE		INPUT DIODE	
Storage temperature	-55°C to 150°C	Forward DC current	50 mA
Operating temperature	-40°C to 100°C	Reverse voltage	3 V
Lead temperature		Peak forward current	
(soldering, 10 sec)	260°C	(1 μ s pulse, 300 pps)	3.0 A
		Power dissipation (25°C ambient)	100 mW
		Derate linearly (above 25°C ambient)	1.33 mW/°C
		OUTPUT DRIVER	
		Off-state output terminal voltage	400 Volts
		On-state RMS current	$T_A=25^\circ\text{C}$ 100 mA
		(Full cycle, 50 to 60 Hz)	$T_A=70^\circ\text{C}$ 50 mA
		Peak nonrepetitive surge current	1.2 A
		(PW=10 ms, DC=10%)	
		Total power dissipation (25°C ambient)	300 mW
		Derate above 25°C	4.0 mW/°C

ELECTRO-OPTICAL CHARACTERISTICS (25°C Temperature Unless Otherwise Specified)

INDIVIDUAL COMPONENT CHARACTERISTICS						
CHARACTERISTIC	SYMBOL	MIN.	TYP.	MAX.	UNITS	TEST CONDITIONS
INPUT DIODE						
Forward voltage	V_f		1.2	1.50	V	$I_f = 10 \text{ mA}$
Junction capacitance	C_j		50		pF	$V_f = 0 \text{ V}, f = 1 \text{ MHz}$
Reverse leakage current	I_r			100	μA	$V_r = 3.0 \text{ V}$
OUTPUT DETECTOR						
Peak blocking current, either direction	I_{DM}	—	10	100	nA	$V_{DM} = 400 \text{ V}$, Note 1
Peak on-state voltage, either direction	V_{FM}	—	2.5	3.0	Volts	$I_{FM} = 100 \text{ mA Peak}$

Note 1. Test voltage must be applied within dv/dt rating.

TRANSFER CHARACTERISTICS						
DC CHARACTERISTICS	SYMBOL	MIN.	TYP.	MAX.	UNITS	TEST CONDITIONS
LED trigger current (current required to latch output)	MOC3020	I_{FT}	—	30	mA	Main terminal voltage = 3.0 V, $R_L = 150 \Omega$
	MOC3021	I_{FT}	—	15	mA	
	MOC3022	I_{FT}	—	10	mA	
	MOC3023	I_{FT}	—	5	mA	
Holding current	I_H	—	100	—	μA	Either direction

TRANSFER CHARACTERISTICS						
CHARACTERISTICS	SYMBOL	MIN.	TYP.	MAX.	UNITS	TEST CONDITIONS
dv/dt RATING						
Critical rate of rise of off-state voltage	dv/dt	—	12	—	V/ μs	Static dv/dt, $T_a = 85^\circ\text{C}$ (see Fig. 3)
Critical rate of rise of commutating voltage	dv/dt	—	0.2	—	V/ μs	Commutating dv/dt, $I_{L(0)} = 15 \text{ mA}$ (see Fig. 4)

ISOLATION CHARACTERISTICS						
CHARACTERISTICS	SYMBOL	MIN.	TYP.	MAX.	UNITS	TEST CONDITIONS
Isolation voltage	V_{iso}	5300			V_{acRMS}	$I_{L0} < 1 \mu\text{A}$, 1 Minute
	V_{iso}	7500			V_{acPEAK}	$I_{L0} < 1 \mu\text{A}$, 1 Minute
Isolation resistance	R_{iso}	10 ¹¹			ohms	$V_{L0} = 500 \text{ VDC}$
Isolation capacitance	C_{iso}		0.5		pF	$f = 1 \text{ MHz}$

Note 1: Ratings apply to either polarity of pin 6 — referenced to pin 4. Voltages must be applied within dv/dt rating.

เอกสารนี้เป็นเอกสารที่สงวนไว้สำหรับการใช้งานเพื่อการศึกษาเท่านั้น ไม่นิยมนำไปใช้ประโยชน์ด้านการค้า ไม่ว่ากรณีใดๆ ทั้งสิ้น อีกทั้งห้ามมิให้คัดลอกเนื้อหา และต้องอ้างอิงถึงเจ้าของเอกสารทุกครั้งที่มีการนำไปใช้

TYPICAL ELECTRICAL CHARACTERISTIC CURVES

(25°C Free Air Temperature Unless Otherwise Specified)

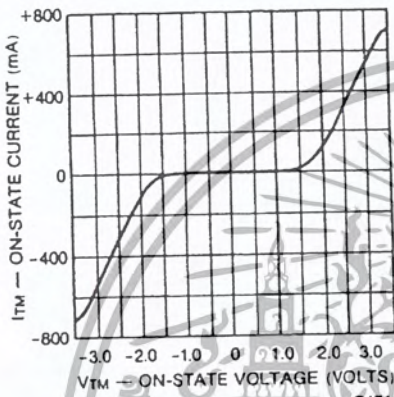


Fig. 1. On-State Characteristics

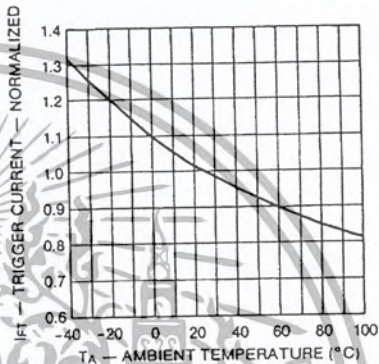


Fig. 2. Trigger Current vs. Temperature

TEST CIRCUITS FOR dV/dt MEASUREMENTS

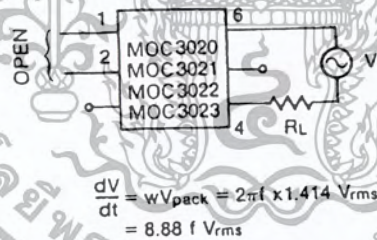


Fig. 3. Static dV/dt

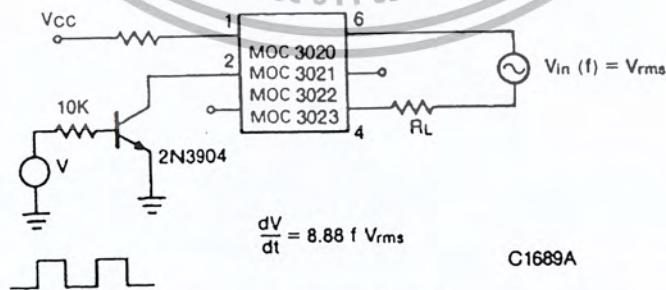


Fig. 4. Commutating dV/dt

เอกสารนี้เป็นเอกสารที่สงวนไว้สำหรับการใช้งานเพื่อการศึกษาเท่านั้น ไม่อนุญาตให้นำไปใช้ประโยชน์ด้านการค้า ไม่ว่ากรณีใดๆ ทั้งสิ้น อีกทั้งห้ามมิให้คัดแปลงเนื้อหา และต้องอ้างอิงถึงเจ้าของเอกสารทุกครั้งที่มีการนำไปใช้

This datasheet has been download from:

www.datasheetcatalog.com

Datasheets for electronics components.



เอกสารนี้เป็นเอกสารที่สงวนไว้สำหรับการใช้งานเพื่อการศึกษาเท่านั้น ไม่อนุญาตให้นำไปใช้ประโยชน์ด้านการค้า
ไม่ว่ากรณีใดๆ ทั้งสิ้น อีกทั้งห้ามมิให้ตัดแปลงเนื้อหา และต้องอ้างอิงถึงเจ้าของเอกสารทุกครั้งที่มีการนำไปใช้



Octal High Voltage, High Current Darlington Transistor Arrays

The eight NPN Darlington connected transistors in this family of arrays are ideally suited for interfacing between low logic level digital circuitry (such as TTL, CMOS or PMOS/NMOS) and the higher current/voltage requirements of lamps, relays, printer hammers or other similar loads for a broad range of computer, industrial, and consumer applications. All devices feature open-collector outputs and free wheeling clamp diodes for transient suppression.

The ULN2803 is designed to be compatible with standard TTL families while the ULN2804 is optimized for 6 to 15 volt high level CMOS or PMOS.

ULN2803 ULN2804

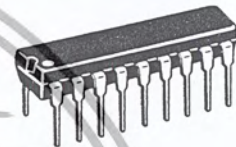
OCTAL PERIPHERAL DRIVER ARRAYS

SEMICONDUCTOR TECHNICAL DATA

MAXIMUM RATINGS ($T_A = 25^\circ\text{C}$ and rating apply to any one device in the package, unless otherwise noted.)

Rating	Symbol	Value	Unit
Output Voltage	V_O	50	V
Input Voltage (Except ULN2801)	V_I	30	V
Collector Current - Continuous	I_C	500	mA
Base Current - Continuous	I_B	25	mA
Operating Ambient Temperature Range	T_A	0 to +70	$^\circ\text{C}$
Storage Temperature Range	T_{stg}	-55 to +150	$^\circ\text{C}$
Junction Temperature	T_J	125	$^\circ\text{C}$

$R_{\theta JA} = 55^\circ\text{C/W}$
Do not exceed maximum current limit per driver.

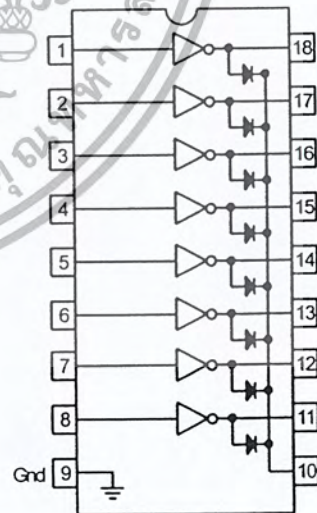


A SUFFIX
PLASTIC PACKAGE
CASE 707

ORDERING INFORMATION

Device	Characteristics		
	Input Compatibility	$V_{CE}(\text{Max})/I_C(\text{Max})$	Operating Temperature Range
ULN2803A	TTL, 5.0 V CMOS	50 V/500 mA	$T_A = 0$ to $+70^\circ\text{C}$
ULN2804A	6 to 15 V CMOS, PMOS		

PIN CONNECTIONS



เอกสารนี้เป็นเอกสารที่สงวนไว้สำหรับการใช้งานเพื่อการศึกษาเท่านั้น ไม่อนุญาตให้นำไปใช้ประโยชน์ด้านการค้า
ไม่ว่ากรณีใดๆ ทั้งสิ้น อีกทั้งห้ามมิให้ดัดแปลงเนื้อหา และต้องอ้างอิงถึงเจ้าของเอกสารทุกครั้งที่มีการนำไปใช้

ULN2803 ULN2804

ELECTRICAL CHARACTERISTICS (T_A = 25°C, unless otherwise noted)

Characteristic		Symbol	Min	Typ	Max	Unit
Output Leakage Current (Figure 1) (V _O = 50 V, T _A = +70°C) (V _O = 50 V, T _A = +25°C) (V _O = 50 V, T _A = +70°C, V _I = 6.0 V) (V _O = 50 V, T _A = +70°C, V _I = 1.0 V)	All Types	I _{CEX}	-	-	100	μA
	All Types		-	-	50	
	ULN2802		-	-	500	
	ULN2804		-	-	500	
Collector-Emitter Saturation Voltage (Figure 2) (I _C = 350 mA, I _B = 500 μA) (I _C = 200 mA, I _B = 350 μA) (I _C = 100 mA, I _B = 250 μA)	All Types	V _{CE(sat)}	-	1.1	1.6	V
	All Types		-	0.95	1.3	
	All Types		-	0.85	1.1	
Input Current – On Condition (Figure 4) (V _I = 17 V) (V _I = 3.85 V) (V _I = 5.0 V) (V _I = 12 V)	ULN2802	I _{I(on)}	-	0.82	1.25	mA
	ULN2803		-	0.93	1.35	
	ULN2804		-	0.35	0.5	
	ULN2804		-	1.0	1.45	
Input Voltage – On Condition (Figure 5) (V _{CE} = 2.0 V, I _C = 300 mA) (V _{CE} = 2.0 V, I _C = 200 mA) (V _{CE} = 2.0 V, I _C = 250 mA) (V _{CE} = 2.0 V, I _C = 300 mA) (V _{CE} = 2.0 V, I _C = 125 mA) (V _{CE} = 2.0 V, I _C = 200 mA) (V _{CE} = 2.0 V, I _C = 275 mA) (V _{CE} = 2.0 V, I _C = 350 mA)	ULN2802	V _{I(on)}	-	-	13	V
	ULN2803		-	-	2.4	
	ULN2803		-	-	2.7	
	ULN2803		-	-	3.0	
	ULN2804		-	-	5.0	
	ULN2804		-	-	6.0	
	ULN2804		-	-	7.0	
	ULN2804		-	-	8.0	
	ULN2804		-	-	-	
Input Current – Off Condition (Figure 3) (I _C = 500 μA, T _A = +70°C)	All Types	I _{I(off)}	50	100	-	μA
DC Current Gain (Figure 2) (V _{CE} = 2.0 V, I _C = 350 mA)	ULN2801	h _{FE}	1000	-	-	-
Input Capacitance		C _I	-	15	25	pF
Turn-On Delay Time (50% E _I to 50% E _O)		t _{on}	-	0.25	1.0	μs
Turn-Off Delay Time (50% E _I to 50% E _O)		t _{off}	-	0.25	1.0	μs
Clamp Diode Leakage Current (Figure 6) (V _R = 50 V)	T _A = +25°C	I _R	-	-	50	μA
	T _A = +70°C		-	-	100	
Clamp Diode Forward Voltage (Figure 7) (I _F = 350 mA)		V _F	-	1.5	2.0	V

ULN2803 ULN2804

TEST FIGURES

(See Figure Numbers in Electrical Characteristics Table)

Figure 1.

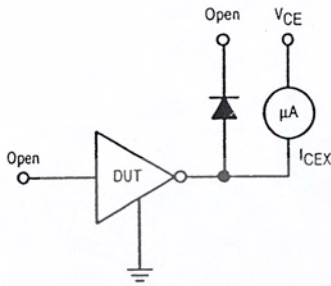


Figure 2.

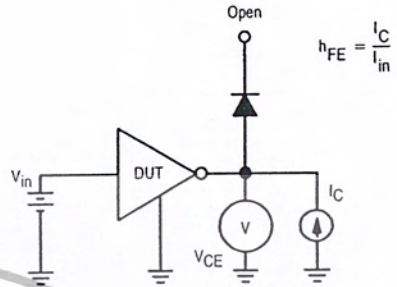


Figure 3.

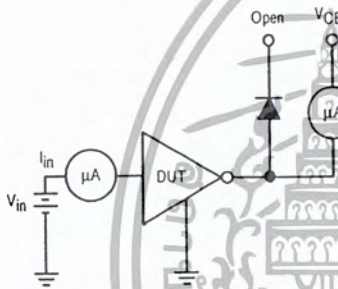


Figure 4.

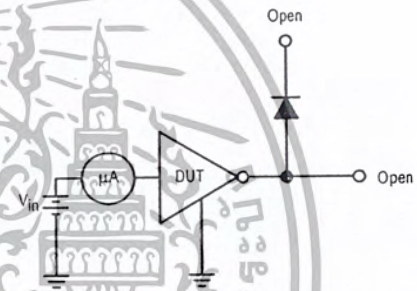


Figure 5.

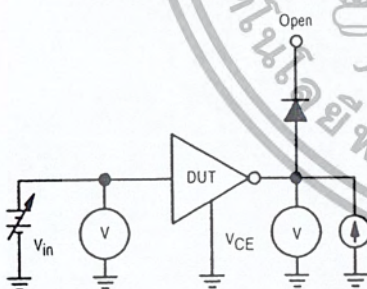


Figure 6.

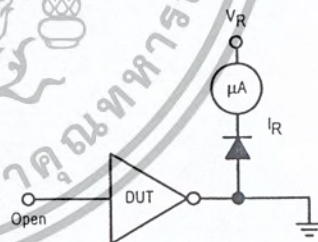
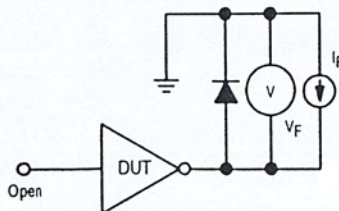


Figure 7.



ULN2803 ULN2804

TYPICAL CHARACTERISTIC CURVES – $T_A = 25^\circ\text{C}$, unless otherwise noted
Output Characteristics

Figure 8. Output Current versus Saturation Voltage

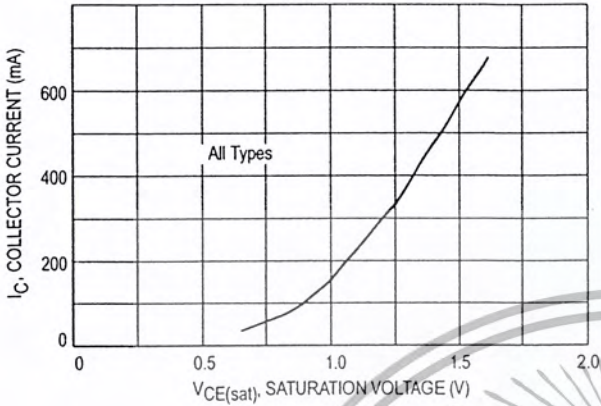
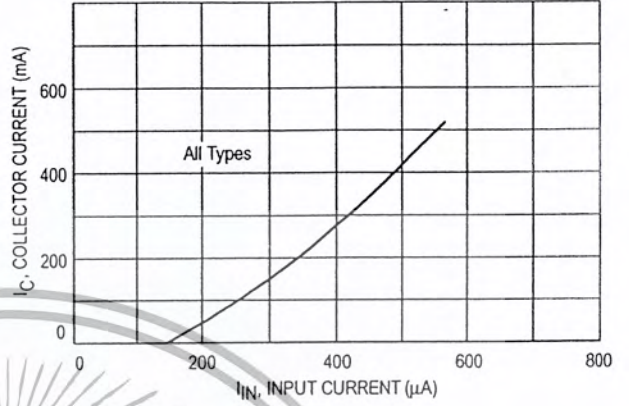


Figure 9. Output Current versus Input Current



Input Characteristics

Figure 10. ULN2803 Input Current versus Input Voltage

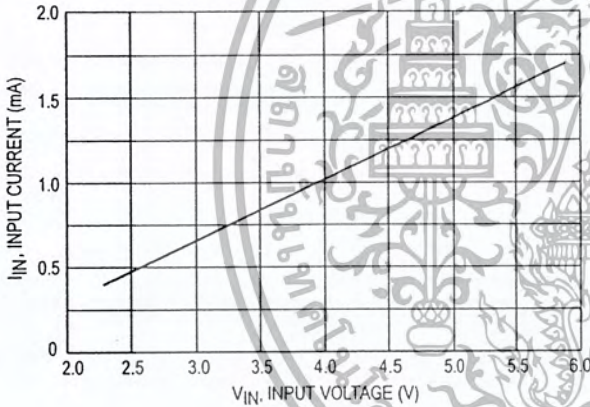


Figure 11. ULN2804 Input Current versus Input Voltage

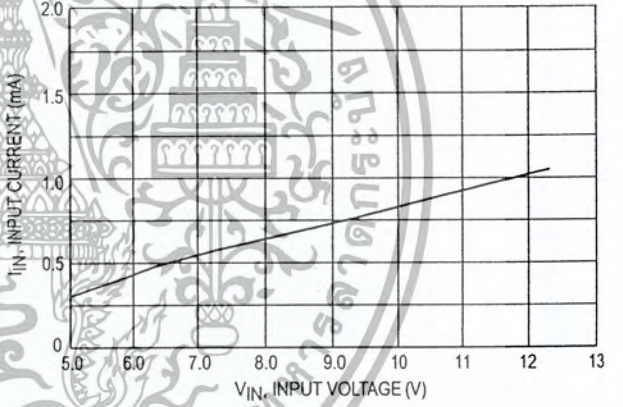
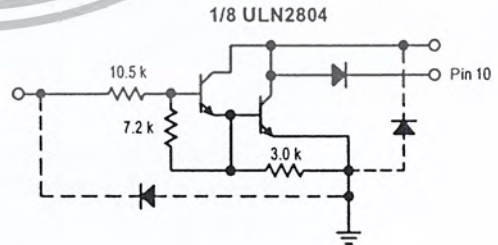
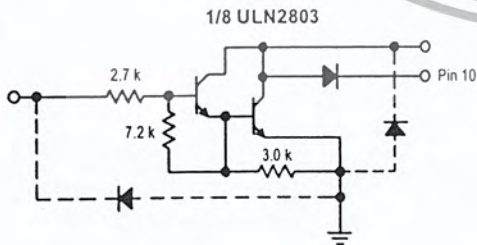


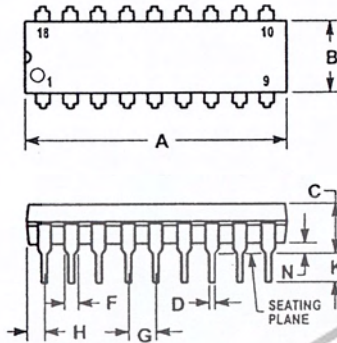
Figure 12. Representative Schematic Diagrams



ULN2803 ULN2804

OUTLINE DIMENSIONS

A SUFFIX
PLASTIC PACKAGE
CASE 707-02
ISSUE C




NOTES:

1. POSITIONAL TOLERANCE OF LEADS (D), SHALL BE WITHIN 0.25 (0.010) AT MAXIMUM MATERIAL CONDITION, IN RELATION TO SEATING PLANE AND EACH OTHER.
2. DIMENSION L TO CENTER OF LEADS WHEN FORMED PARALLEL.
3. DIMENSION B DOES NOT INCLUDE MOLD FLASH.

DIM	MILLIMETERS		INCHES	
	MIN	MAX	MIN	MAX
A	22.22	23.24	0.875	0.915
B	6.10	6.60	0.240	0.260
C	3.56	4.57	0.140	0.180
D	0.36	0.56	0.014	0.022
F	1.27	1.78	0.050	0.070
G	2.54 BSC		0.100 BSC	
H	1.02	1.52	0.040	0.060
J	0.20	0.30	0.008	0.012
K	2.92	3.43	0.115	0.135
L	7.62 BSC		0.300 BSC	
M	0°	15°	0°	15°
N	0.51	1.02	0.020	0.040





Motorola reserves the right to make changes without further notice to any products herein. Motorola makes no warranty, representation or guarantee regarding the suitability of its products for any particular purpose, nor does Motorola assume any liability arising out of the application or use of any product or circuit, and specifically disclaims any and all liability, including without limitation consequential or incidental damages. "Typical" parameters which may be provided in Motorola data sheets and/or specifications can and do vary in different applications and actual performance may vary over time. All operating parameters, including "Typicals" must be validated for each customer application by customer's technical experts. Motorola does not convey any license under its patent rights nor the rights of others. Motorola products are not designed, intended, or authorized for use as components in systems intended for surgical implant into the body, or other applications intended to support or sustain life, or for any other application in which the failure of the Motorola product could create a situation where personal injury or death may occur. Should Buyer purchase or use Motorola products for any such unintended or unauthorized application, Buyer shall indemnify and hold Motorola and its officers, employees, subsidiaries, affiliates, and distributors harmless against all claims, costs, damages, and expenses, and reasonable attorney fees arising out of, directly or indirectly, any claim of personal injury or death associated with such unintended or unauthorized use, even if such claim alleges that Motorola was negligent regarding the design or manufacture of the part. Motorola and  are registered trademarks of Motorola, Inc. Motorola, Inc. is an Equal Opportunity/Affirmative Action Employer.

How to reach us:

USA/EUROPE/Locations Not Listed: Motorola Literature Distribution;
P.O. Box 20912; Phoenix, Arizona 85036. 1-800-441-2447 or 602-303-5454

JAPAN: Nippon Motorola Ltd.; Tatsumi-SPD-JLDC, 6F Seibu-Butsuryu-Center,
3-14-2 Tatsumi Koto-Ku, Tokyo 135, Japan. 03-81-3521-8315

MFAX: RMFAX0@email.sps.mot.com - TOUCHTONE 602-244-6609
INTERNET: <http://Design-NET.com>

ASIA/PACIFIC: Motorola Semiconductors H.K. Ltd.; 8B Tai Ping Industrial Park,
51 Ting Kok Road, Tai Po, N.T., Hong Kong. 852-26629298



ULN2803/D

เอกสารนี้เป็นเอกสารที่สงวนไว้สำหรับการใช้งานเพื่อการศึกษาเท่านั้น ไม่ควรเผยแพร่หรือใช้เพื่อการค้า
ไม่ว่ากรณีใดๆ ทั้งสิ้น อีกทั้งห้ามมิให้ดัดแปลงเนื้อหา และต้องอ้างอิงถึงเจ้าของเอกสารทุกครั้งที่มีการนำไปใช้

This datasheet has been download from:

www.datasheetcatalog.com

Datasheets for electronics components.



เอกสารนี้เป็นเอกสารที่สงวนไว้สำหรับการใช้งานเพื่อการศึกษาเท่านั้น ไม่อนุญาตให้นำไปใช้ประโยชน์ด้านการค้า
ไม่ว่ากรณีใดๆ ทั้งสิ้น อีกทั้งห้ามมิให้ดัดแปลงเนื้อหา และต้องอ้างอิงถึงเจ้าของเอกสารทุกครั้งที่มีการนำไปใช้

Triacs

BT136 series

THERMAL RESISTANCES

SYMBOL	PARAMETER	CONDITIONS	MIN.	TYP.	MAX.	UNIT
$R_{th\ j-mb}$	Thermal resistance junction to mounting base	full cycle	-	-	3.0	K/W
$R_{th\ j-a}$	Thermal resistance junction to ambient	half cycle	-	-	3.7	K/W
		in free air	-	60	-	K/W

STATIC CHARACTERISTICS

 $T_j = 25\text{ }^\circ\text{C}$ unless otherwise stated

SYMBOL	PARAMETER	CONDITIONS	MIN.	TYP.	MAX.	UNIT		
I_{GT}	Gate trigger current	BT136- $V_D = 12\text{ V}; I_T = 0.1\text{ A}$ T2+ G+ T2+ G- T2- G- T2- G+	-	5 8 11 30	35 35 35 70	25 25 25 70	50 50 50 100	mA mA mA mA
I_L	Latching current	$V_D = 12\text{ V}; I_{GT} = 0.1\text{ A}$ T2+ G+ T2+ G- T2- G- T2- G+	-	7 16 5 7	20 30 20 30	20 30 20 30	30 45 30 45	mA mA mA mA
I_H	Holding current	$V_D = 12\text{ V}; I_{GT} = 0.1\text{ A}$	-	5	15	15	30	mA
V_T	On-state voltage	$I_T = 5\text{ A}$	-	1.4	-	1.70	-	V
V_{GT}	Gate trigger voltage	$V_D = 12\text{ V}; I_T = 0.1\text{ A}$ $V_D = 400\text{ V}; I_T = 0.1\text{ A};$ $T_j = 125\text{ }^\circ\text{C}$	-	0.7 0.4	-	1.5	-	V V
I_D	Off-state leakage current	$V_D = V_{DRM(max)}$ $T_j = 125\text{ }^\circ\text{C}$	-	0.1	-	0.5	-	mA

DYNAMIC CHARACTERISTICS

 $T_j = 25\text{ }^\circ\text{C}$ unless otherwise stated

SYMBOL	PARAMETER	CONDITIONS	MIN.	TYP.	MAX.	UNIT		
dV_D/dt	Critical rate of rise of off-state voltage	BT136- $V_{DM} = 67\% V_{DRM(max)}$ $T_j = 125\text{ }^\circ\text{C}$; exponential waveform; gate open circuit	100	50	200	250	-	V/ μs
dV_{com}/dt	Critical rate of change of commutating voltage	$V_{DM} = 400\text{ V}; T_j = 95\text{ }^\circ\text{C};$ $I_{T(RMS)} = 4\text{ A};$ $di_{com}/dt = 1.8\text{ A/ms}$; gate open circuit	-	-	10	50	-	V/ μs
t_{gt}	Gate controlled turn-on time	$I_{TM} = 6\text{ A}; V_D = V_{DRM(max)}$ $I_G = 0.1\text{ A}; di_G/dt = 5\text{ A}/\mu\text{s}$	-	-	-	2	-	μs

Triacs

BT136 series

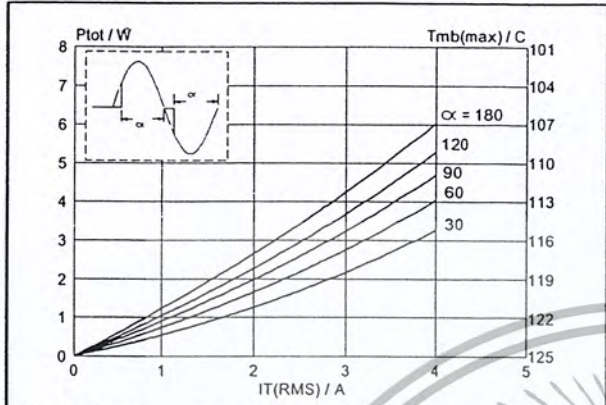


Fig. 1. Maximum on-state dissipation, P_{tot} , versus rms on-state current, $I_{T(RMS)}$, where α = conduction angle.

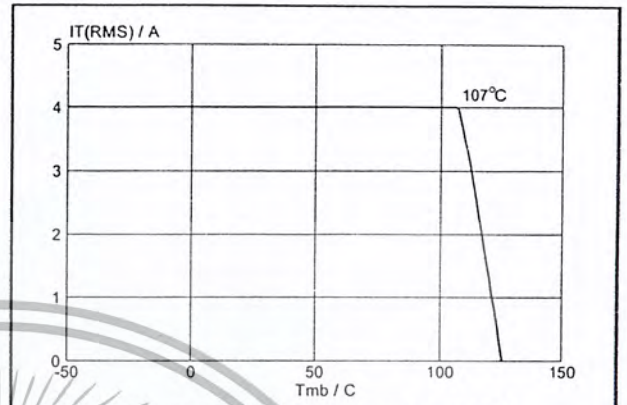


Fig. 4. Maximum permissible rms current $I_{T(RMS)}$, versus mounting base temperature T_{mb} .

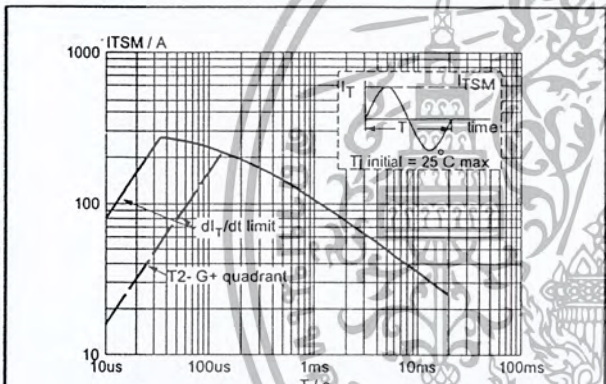


Fig. 2. Maximum permissible non-repetitive peak on-state current I_{TSM} , versus pulse width t_p , for sinusoidal currents, $t_p \leq 20ms$.

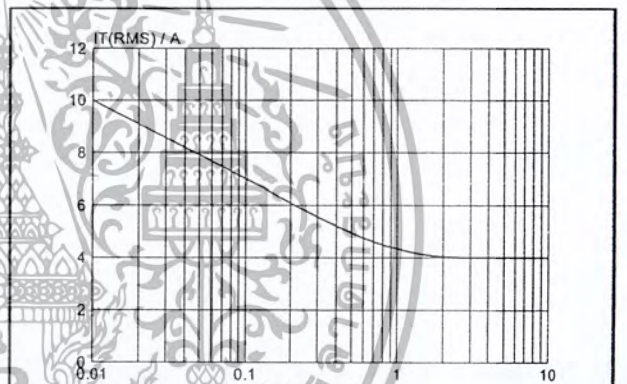


Fig. 5. Maximum permissible repetitive rms on-state current $I_{T(RMS)}$, versus surge duration, for sinusoidal currents, $f = 50 Hz$, $T_{mb} \leq 107^\circ C$.

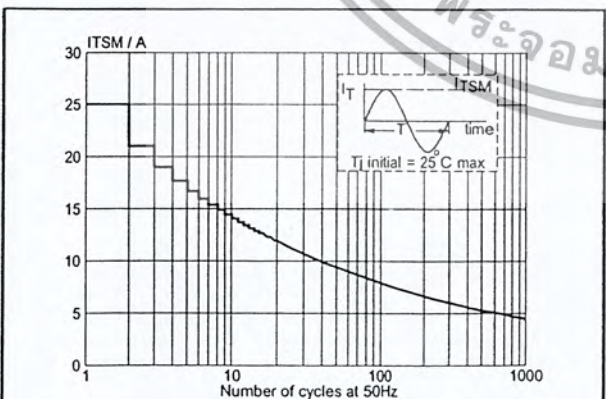


Fig. 3. Maximum permissible non-repetitive peak on-state current I_{TSM} , versus number of cycles, for sinusoidal currents, $f = 50 Hz$.

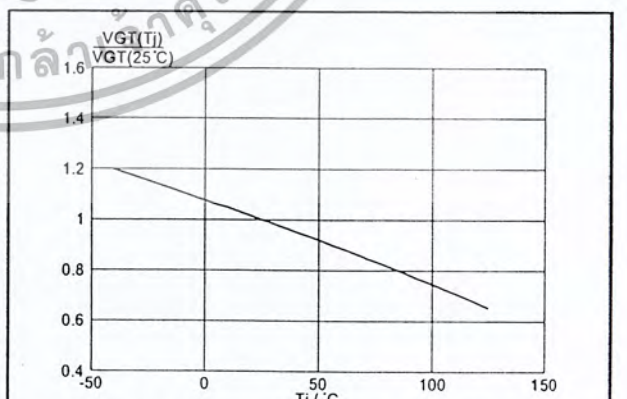
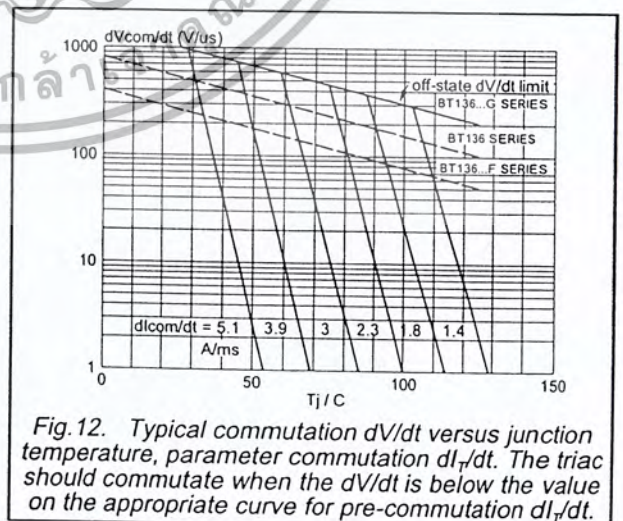
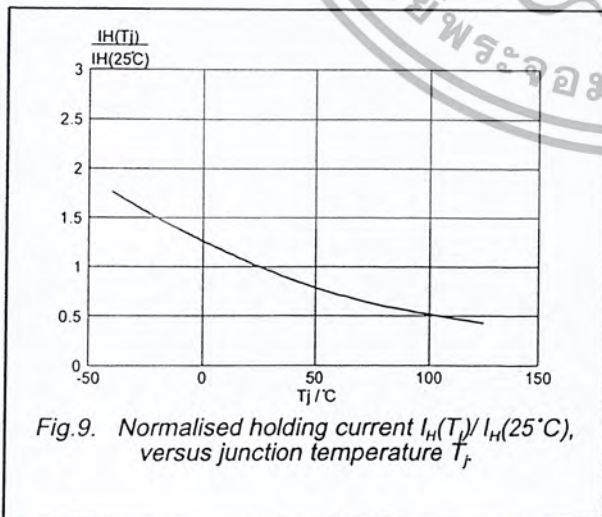
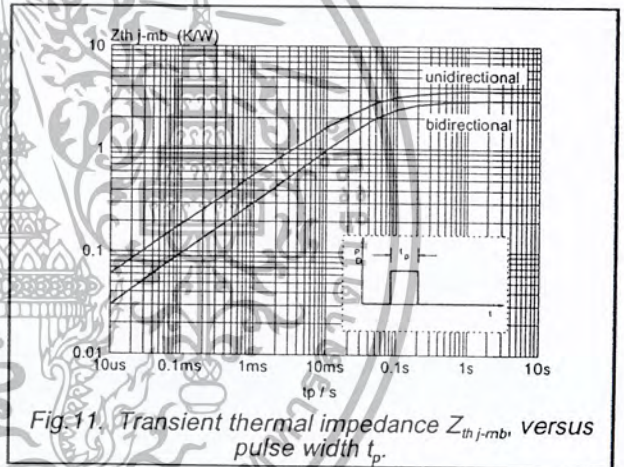
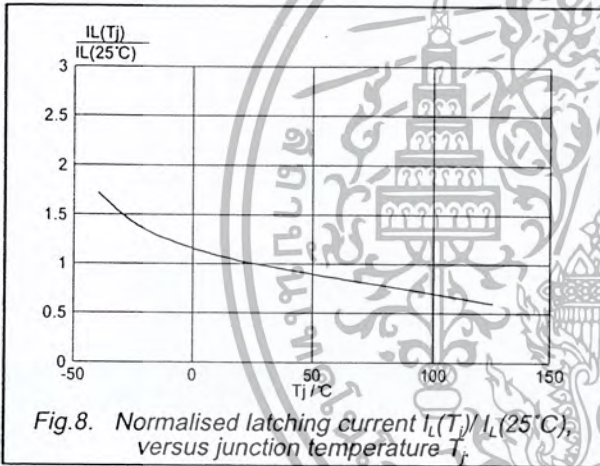
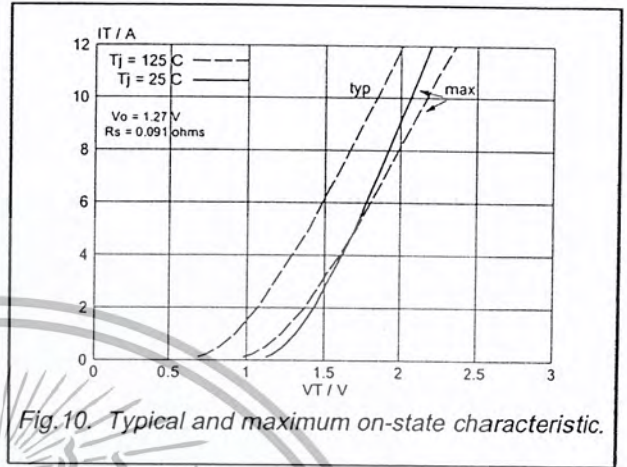
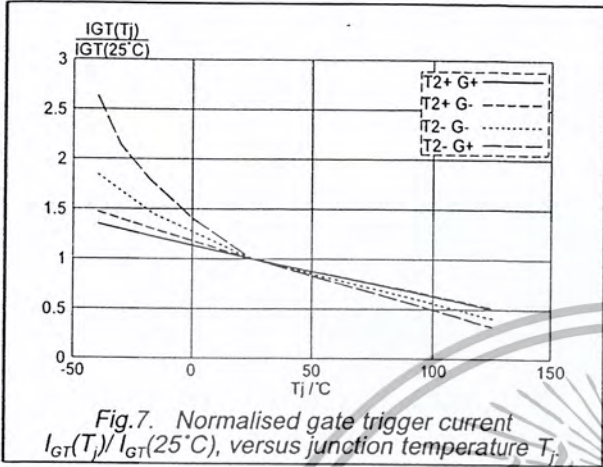


Fig. 6. Normalised gate trigger voltage $V_{GT}(T_j) / V_{GT}(25^\circ C)$, versus junction temperature T_j .

Triacs

BT136 series



Triacs

BT136 series

MECHANICAL DATA

Dimensions in mm

Net Mass: 2 g

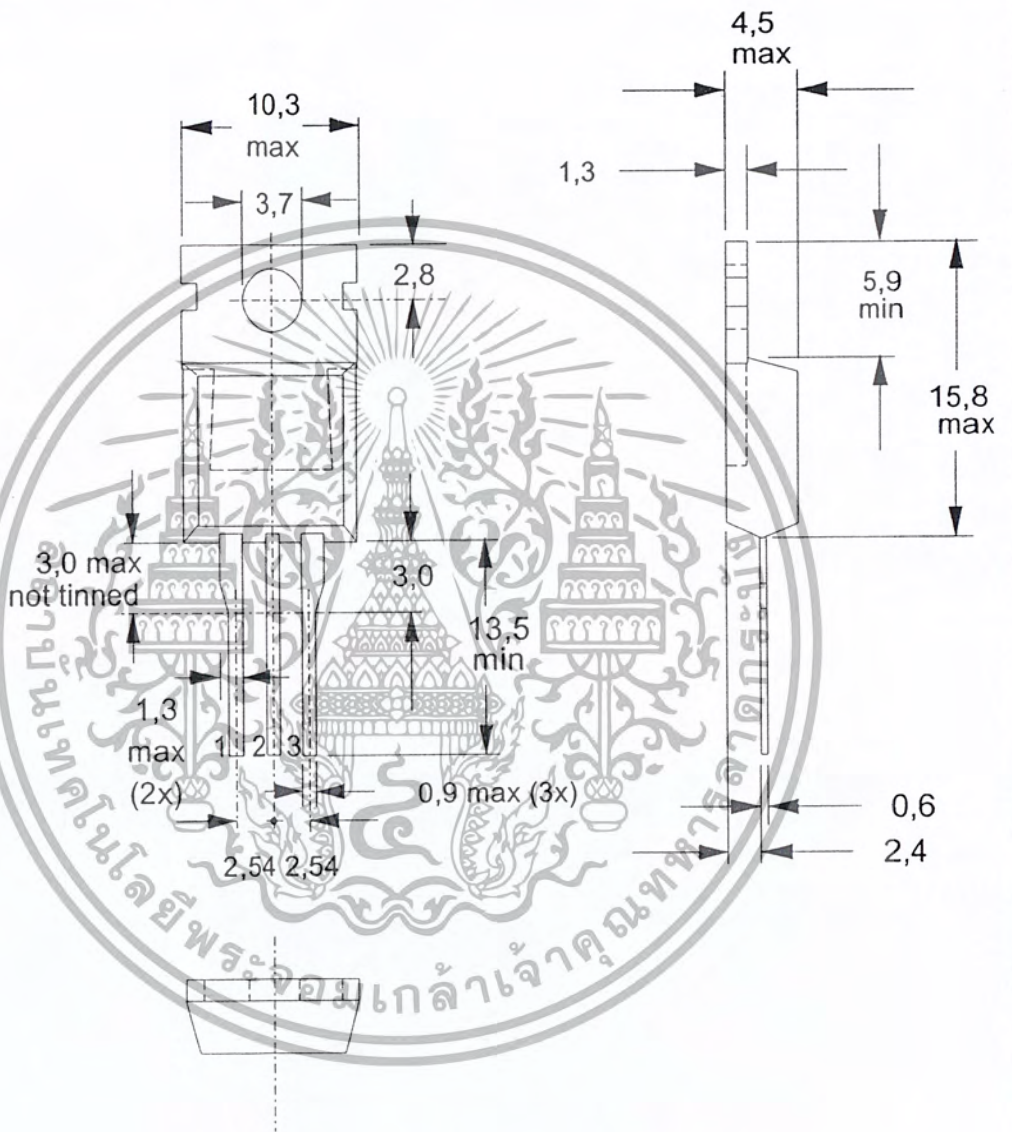


Fig.13. TO220AB; pin 2 connected to mounting base.

Notes

1. Refer to mounting instructions for TO220 envelopes.
2. Epoxy meets UL94 V0 at 1/8".

Triacs

BT136 series

DEFINITIONS

Data sheet status	
Objective specification	This data sheet contains target or goal specifications for product development.
Preliminary specification	This data sheet contains preliminary data; supplementary data may be published later.
Product specification	This data sheet contains final product specifications.
Limiting values	
Limiting values are given in accordance with the Absolute Maximum Rating System (IEC 134). Stress above one or more of the limiting values may cause permanent damage to the device. These are stress ratings only and operation of the device at these or at any other conditions above those given in the Characteristics sections of this specification is not implied. Exposure to limiting values for extended periods may affect device reliability.	
Application information	
Where application information is given, it is advisory and does not form part of the specification.	
© Philips Electronics N.V. 1997	
All rights are reserved. Reproduction in whole or in part is prohibited without the prior written consent of the copyright owner.	
The information presented in this document does not form part of any quotation or contract, it is believed to be accurate and reliable and may be changed without notice. No liability will be accepted by the publisher for any consequence of its use. Publication thereof does not convey nor imply any license under patent or other industrial or intellectual property rights.	

LIFE SUPPORT APPLICATIONS

These products are not designed for use in life support appliances, devices or systems where malfunction of these products can be reasonably expected to result in personal injury. Philips customers using or selling these products for use in such applications do so at their own risk and agree to fully indemnify Philips for any damages resulting from such improper use or sale.